Oncología

Órgano Oficial de Comunicación del Instituto Oncológico Nacional "Dr. Juan Tanca Marengo" de la Sociedad de Lucha Contra el Cáncer del Ecuador (ION-SOLCA) Guayaquil, Sede Nacional

Fundada en Julio 30 / 1993



Vol. 10 • Nº 3 • Julio - Septiembre, 2000

ONCOLOGÍA (ISSN 1390-0)10)

Vol. 10 - No. 3-4 Julio - Diciembre 2000

Publicada trimestralmente por la

Sociedad de Lucha Contra el Cáncer,

del Ecuador, SOLCA, Guayaquil, Sede Nacional,

Dirección para información, suscripción,

órdenes y cambios de domicilio:

Revista Oncología

SOLCA, Av. Pedro J. Menéndez Gilbert (Junto a la Ciudadela Atarazana) Apt. Postal 5255 /6 3623 Guayaquil, Ecuador Teléfonos: 281-744, 288-088 Costo anual de suscripción en Ecuador (dólar): Estudiantes y médicos residentes \$ 10

Médicos \$ 20 Instituciones \$ 50

Internacional (USD): Estudiantes y médicos residentes \$ 100 USD Médicos \$ 150 USD Instituciones \$ 200 USD

Correo Electrónico (Internet - E mail); Para recibir artículos: revista@solca.med.ec Cartas al editor: editor@solca.med.ec website:www.pub.ecuat.net.ec/solca Esta publicación no puede ser reproducida, trasmitida total o parcialmente en ninguna forma ya sea electrónica, mecánica o de fotocopia si el permiso del editor.



Impreso por Offset Abad Cía, Ltda. Guayaquil, Ecuador.

Oncología

Revista trimestral dedicada al cáncer y enfermedades afines publicada por SOLCA. Órgano Oficial de Comunicación del Instituto Oncológico Nacional Dr. Juan Tanca Marengo (ION-SOLCA) de la Sociedad de Lucha contra el Cáncer, del Ecuador Sede Nacional, Guayaquil

Fundada en Julio de 1993

Directorio de SOLCA · Sociedad de Lucha contra el Cáncer, del Ecuador

Sr. Juan Paulson Andrade Presidente del Consejo Directivo Nacional Dr. Gustavo Calderón Von Buchwald Vice Presidente del Consejo Directivo Nacional Sr. José González-Artigas Vásquez Secretario del Consejo Directivo Nacional Ing. Santiago Peré Cabanas Pro- Secretario del Consejo Directivo Nacional Dr. Juan Falconí Puig Síndico Principal Dr. Efrén Chérres Delgado Síndico Suplente Ab. Paúl Franco Pombo Gerente General de SOLCA Dr. Guillermo Paulson Vernaza. Director Técnico del Instituto Dr. Félix Cruz Bahamonde Gerente del Instituto Ab. Eduardo Vergara Saltos

Miembros del Consejo Directivo Nacional de SOLCA Ab. Augusto Alvarado García

Secretario General

Ab. Antonio Arosemena Gómez-Lince Dr. Alfredo Baquerizo Lince Dr. José Baquerizo Maldonado Dr. Luis Blum Narváez Dr. Gustavo Calderón von Buchwald Dr. Efrén Chérres Delgado Dr. Juan Falconí Puig Ing. Gustavo Fassio Arzube Ing. Ramón Fernández Vásquez Dr. Carlos Ferretti Robles Sr. José González-Artigas Vásquez Ing. Jorge Gallardo Zavala Dr. Manuel Ignacio Gómez Lince Dr. Eduardo Hidalgo Febres-Cordero Sr. Antenor Yturralde Rivera Dr. Teodoro Maldonado Riera Sr. Juan Paulson Andrade Ing. Santiago Peré Cabanas Sr. Antonio Pino Ycaza

Dr. Luis Plaza Febres-Cordero Sra. Patricia Tanca Campozano Ing. Fernando Jiménez Carbo Sr. Ernesto Weisson Pazmiño Sr. Gustavo Wray Ycaza

Representaciones

Dr. José Fernando Gómez Rosales Representante del Presidente de la República Representante del Ministerio de Salud Pública Sra. Consuelo Franco de Wray Presidenta del Comité de Damas de SOLCA

Presidentes de los Núcleos de SOLCA Ecuador

Ing. Solón Espinoza Ayala
Presidente del Núcleo de SOLCA, Quito
Dr. Alejandro Serrano Aguilar
Presidente del Núcleo de SOLCA, Cuenca
Presidente del Núcleo de SOLCA
Portoviejo, Manabí
Econ. Oswaldo Burneo Castillo
Presidente del Núcleo de SOLCA
Loja, Loja

Presidentes de los Comités de Amigos de SOLCA, Ecuador

Ing. Eduardo Véjar Beltrán Presidente del Comité de Amigos de SOLCA Machala, El Oro Dra. Magdalena Rea de Garcés Presidente del Comité de Amigos de SOLCA Ambato, Tungurahua Dr. Jaime Poveda Vargas Presidente del Comité de Amigos de SOLCA Guaranda, Bolívar Dr. Marco Argudo Sempertegui Presidente del Comité de Amigos de SOLCA Quevedo, Los Ríos Ing. Felipe de la Cuadra Moreira Presidente del Comité de Amigos de SOLCA Península de Santa Elena Comité de Amigos de SOLCA

1390-0110 Oncología • 129



Oncología

Vol. 10 • Nº 3 • Julio - Septiembre, 2000

Simposium Urología Oncológica

Índice

Editorial Cáncer Urológico Urologycal Cancer Dr. Marcel Pozo Palacios	131
Artículos Originales (Original articles)	
Incidencia del Cáncer de Riñón en el ION, Solca Guayaquil Incidence of Kidney Cancer at ION, Solca Guayaquil Drs. Marcel Pozo P., Marcos Rendón, Max Gubitz, Xavier Mateus Servicio de Urología. ION-SOLCA. Guayaquil-Ecuador	133
Prostactetomía Radical en el Hospital de Solca 1996-1999. Estudio Crítico. Radical Prostatectomy at the Solca Hospital. Guayaquil-Ecuador. Drs. Marcos Rendón J, Marcel Pozo P., Max Gubitz, Xavier Mateus Servicio de Urología. ION-SOLCA. Guayaquil-Ecuador	137
Carcinoma de Vejiga: Estudio retrospectivo 1990 a 1999 en ION-SOLCA Guayaquil. Bladder Carcinoma: Retrospective study from 1990-1999 at ION-SOLCA Guayaquil. Drs. Max Gubitz Scheibe, Marcel Pozo Palacios, Xavier Mateus Chérrez, Marcos Rendón Jonioux Dra. Paola Ortiz Acosta. Servicio de Urología. ION-SOLCA. Guayaquil-Ecuador	143
Alternativas de derivación urinaria en mujeres posterior a cistectomía radical. Alternatives of urinary deviation in women after radical cistectomy. Drs. Max Gubitz Scheibe, Marcel Pozo Palacios, Xavier Mateus Chérrez, Marcos Rendón Jonioux Servicio de Urología. ION-SOLCA. Guayaquil-Ecuador	147
La Gammagrafía Renal y de Vías Urinarias en la práctica médica: Valor Clínico y Aplicaciones. Renal and urinary trace gamma graphy in medical practice: Clinical value and application. Drs. René Cárdenas Valdés, Rosalía Durán Sarduy, Elfa Haro Salvatierra, Marcel Pozo Palacios, Max Gubitz Scheibe Servicio de Medicina Nuclear ION-SOLCA. Guayaquil-Ecuador	t51
Indice Vol. 10 No. 4 Index Vol. 10 No. 4	162



130 · Oncología

Vol. 10 • N° 3. Jul.-Sep. 2000

Oncología

Órgano Oficial de Comunicación del Instituto Oncológico Nacional Dr. Juan Tanca Marengo ION-SOLCA de la Sociedad de Lucha contra el Cáncer, del Ecuador SOLCA Sede Nacional, Guayaquil Fundada julio 30 / 93

Consejo Editorial

Director

Dr. Juan Tanca Campozano Sub- Director/Editor Dr. Jaime Sánchez Sabando

Editor Asociado Dr. Amado X. Freire Torres, MPH.

Jefe de Redacción Dr. René Cárdenas Valdes

Comité Editorial Nacional: Dr. Raúl Alvarado (Azuay)

Dr. Aníbal Bonilla N. Dra. Julieta Caicedo S. Dr. Gustavo Calderón von Buchwald Dr. Rafael Caputi O. Dr. Francisco Ceballos E. Dr. Manuel Contreras R. Dr. Santiago Contreras V. Dr. Félix Chang C.

Dr. Fernando Checa (Pichincha) Dra. Olivia de la Torre Dr. Carlos Ferretti Robles Dr. Max Gubitz

Dr. Pedro Herrera G. (Pichincha) Dr. Miguel Jervis (Azuay) Dr. Mario Leone P. Dr. Carlos Marengo B. Dr. Nalo Martínez (Tungurahua) Dr. Luis Pacheco O. (Pichincha) Dr. Guillermo Paulson V. Dr. Luis Péndola G. Dr. Jaime Plaza C. Dr. Marcel Pozo Dr. Marcelo Recalde (Pichincha)

Dr. Carlos Robles J. (Manabí)

Dr. Hugo Sánchez A. (El Oro)

Dr. Mario Veloz G. Comité Editorial Internacional: Dr. Carlos Luis Arteaga (EE.UU./ECU)

Dr. Hernán Baquerizo (EE.UU./ECU) Dr. André Baruchel (Francia) Dr. Luis Camputaro (Argentina) Dr. Juan Cassola S. (Cuba) Dr. Jorge Cervantes (México) Dr. Juan Eduardo Contreras (Chile) Prof. Gerard Champault (Francia) Dr. José Ramón Díaz M. (Cuba) Dr. Gerard Fchaison (Francia) Dr. Carlos Miguel Franco (EE.UU./ECU) Dr. Luis Kowalski (Brasil) Prof. Dr. E. Lanzós González (España) Dr. José Luis Guerra Mesa (Cuba) Dr. Ademar López (Brasil) Dr. René Guarnaluce B. (Cuba) St. Rafael Jurado V. (EE.UU/ECU) Dr. Phillippe Laser (Francia) Dr. Joe Levi (EE.UU.) Dr. Hugo Marsiglia (Francia) Prof. Jean Michel Zucker (Francia) Prof. Jean Michon (Francia) Dr. Andrés Moral G. (EE.UU./ECU) Dr. Luis Alberto Palaoro (Argentina) Dr. Manuel Penalver (EE.UU.) Dr. Alejandro Preti (EE.UU.) Dr. Charles Smart (EE.UU.) Dr. Saul Suster (EE.UU./ECU)

Editorial

Cáncer Urológico

Dr. Marcel Pozo Palacios

Sept. 2000

Sin lugar a dudas el siglo que acaba de terminar deja una medicina en franco proceso de desarrollo en implementación de especialidades, y la Urología es una especialidad que ha tenido un acápite importante dentro de esta revolución tecnológica.

En el Ecuador la Urología se implementa en la década del cincuenta y por supuesto el desarrollo de la Urología Oncológica adquiere importancia desde el momento en que SOLCA Guayaquil se forma un servicio de Urología cuyo jefe el Dr. Gustavo Calderón Von Buchwald hizo de el mismo, un lugar de formación y capacitación de futuros urólogos con amplios y vastos conocimientos de la especialidad.

También en el mundo el avance de la Urología como especialidad permitió tratamientos que cambiaron el rumbo de la medicina, por supuesto acompañados del desarrollo tecnológico de otras especialidades como laboratorio, imágenes y la implementación de nuevas técnicas quirúrgicas.

Cabe destacar que los nuevos tratamientos oncológicos crean mejores expectativas de vida: en próstata el desarrollo de imágenes con la Ecosonografía transrectal, laboratorio con el PSA, quirúrgica con la prostatectomía radical conservando nervios y por consiguiente la erección. En vejiga, con la utilización de intestino para realizar bolsas continentes que tratan de cumplir la función vesical. En testículo, con la aplicación de marcadores tumorales AFP, HCG y la utilización de la poliquimioterapia, han beneficiado al paciente al mejorar su espectativa y calidad de vida.

Estos avances, son utilizados en el Servicio de Urología y a continuación presentamos algunos trabajos retrospectivos de los últimos cinco años, para la revista Oncología.

REVISTA ONCOLOGÍA

Fundada 30 de Julio de 1993

Como consecuencia de la grave situación económica que atraviesa el país nos vemos obligados, para mantento calidad y continuidad de nuestra revista, reducir a 2 publicaciones anuales en las cuales se incluiron números correspondientes al volumen. Agradecemos a nuestros suscriptores su comprensión.

> 2000 **VOLUMEN 10 No. 3-4**

No. 3 JULIO - SEPTIEMBRE SIMPOSIUM DE UROLOGÍA



Dr. Marcel Pozo



Dr. Max Gubitz

PRÓXIMOS NÚMEROS

200 I **VOLUMEN 11 ENERO - JUNIO** NÚMERO 1 - 2

Nº I Enero - Junio

SIMPOSIUM DE HEMATO-ONCOLOGÍA

Editores Invitados: Dra. Katty Posligua Dra. Bella Maldonado

Del Editor:

EXENCIÓN DE RESPONSABILIDAD

La información contenida en los artículos de la revista "ONCOLOGÍA" es responsabilidad única de los autores y sus colaboradores y no de la Sociedad de Lucha Contra el Cáncer. "ONCOLOGÍA" no garantiza la calidad o seguridad de los objetos y/o de los servicios anunciados. La Sociedad de Lucha Contra el Cáncer y el Editor desligan responsabilidad del daño causado a personas o propiedades por ideas u objetos mencionados en dichos artículos.



Artículos Originales

Incidencia del Cáncer de Riñón en el ION, Solca Guayaquil (1)

Dr. Marcel Pozo P. (3)

Dr. Marcos Rendón (2)

Dr. Max Gubitz (2). Dr. Xavier Mateus (2)

(1) Servicio de Urología ION-SOLCA

(2) Circianos Urólogos

(3) Jefe Servicio de Urología Instituto Oncológico Nacional

Abstracto

La neoplasia del riñón representada por el adenacarcinoma renal o carcinoma de células claras renal, es un tumor relativamente raro que en la literatura mundial se registra entre 3 y 5 % del total de tumores malignos sólidos en el adulto. En la actualidad con el uso y el mejoramiento de las técnicas de imagen sobre todo la ecografía y la Tomografía Computada incidencia de tumores encontrados en estadios tempranos a aumentado notablemente, mejorando así también la sobrevida de los pacientes.

En nuestro Hospital entre 1995 y 1998 se observaron 36 nuevos casos de carcinomas de células claras renales que por desgracia la gran mayoría 16 pacientes que representa el 44.4 % de los pacientes acudieron al hospital con un estadio avanzado de su enfermedad e incluso 10 pacientes fallecieron antes de los cuatro meses de su primera visita hospitalaria dato que es alarmante puesto va en total desacuerdo al resto de la literatura mundial donde cada vez mas se realizan cirugías conservadoras debido a la gran cantidad de tumores pesquisados en estadios tempranos.

Palabras Claves: Cáncer Renal

Introducción

Existen una gran cantidad de tumores sólidos de ම්විත que actualmente son evidenciables con las técnicas imágenes actuales. La ecografía en los últimos años 45.5 con la Tomografía computarizada han mejorado

Abstract

Renal cancer represented by adenocarcinoma or clear cells renal carcinoma is a relatively rare tumour that represents 3 to 5% of the malignan solid tumours of

Due to improvement in technics of ultrasound and tomography the incidence of tumours in early stages has increased, improvings the survival of patients. Between 1995 and 1998, in our hospital, we have seen 36 new cases of clear cells carcinomas but the majority 16 (44.4%) came in advanced stage of their disease and 10 of them died before 4 months of their firts visit. This is an alarming fact and is totally against world literature where conservative surgeries are more and more done due to the great number tumours found in early stages.

Key Words: Renal Carcinoma

notablemente el diagnóstico de tumores sólidos renales de tal manera que actualmente la gran mayoría se diagnostica en estadios tempranos y sintomáticos y se han denominado incidentalomas.

Pero no todos los tumores sólidos que aparecen en las imágenes son malignos y tampoco no todos son quirúrgicos, es por esto la importancia de estar totalmente actualizado con los datos de las imágenes para realizar un buen diagnóstico diferencial.

Lakey en 1975 fue el primero en realizar una clasificación adecuada de los tumores renales dividiéndolos inicialmente en tumores Benignos y Malignos, pero fue Gleen que mejora esa clasificación en 1980 cuadro #1; entre los tumores benignos más frecuentes



respondencia y separatas:

Marcel Pozo P.

io de Utología

SOLCA "Dr. Juan Tanca Marengo"

Padro Monéndez Gilbert

a. Atarazana

at 288088 - 281042

Box (09-01) 15028 Paquil - Equador

ua derechos de autor de los artículos de la Revista Oncología mocen a la Sociedad de Lucha contra el Cáncer SOLCA,

[·] Nacional, Guayaquil - Ecuador

se observan los Lipomas, los Fibromas, los Oncocitomas verdaderos, los Angiomiolipomas, y entre los tumores malignos más frecuentes observamos en el adulto el adenocarcinoma renal o carcinoma de células claras, también se observan sarcomas, tumores de origen urotelial, nefroblastomas etc. Este trabajo solo estudia los pacientes cuya anatomía patológica definitiva dio como resultado carcinoma de células claras.

Materiales y Métodos

Entre los años de 1995 y 1998 se estudiaron 36 nuevos casos de carcinomas renales divididos por año de presentación. No fueron admitidos para este estudio los pacientes que fueron intervenidos quirúrgicamente por masas renales pero que en la anatomía patológica definitiva no se trataba de carcinomas renales, ni tampoco los pacientes con tumores de urotelio, los pacientes han sido estudiados por edades de presentación, por estadio de presentación, por sexo fue también estudiada sus intervenciones quirúrgicas y se ha realizado un seguimiento mínimo por consultorios externos de 2 años.

Resultados

De los 36 pacientes estudiados entre 1995 y 1998 se registraron 8 casos en 1995, 9 casos en 1996, 12 nuevos casos en 1997, y 7 en 1998 como se demuestra en la figura #1.

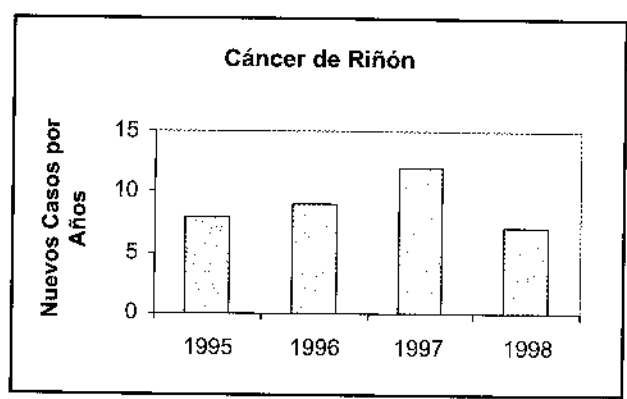


Figura #1.

No se observó una diferencia significativa en la clasificación por sexo de los pacientes siendo 17 pacientes de sexo femenino y 19 de sexo masculino. Figura # 2

La mayor incidencia se registro en pacientes de entre 50 y 60 años de edad cuyo número fueron 10



Figura #2

nuevos casos, solo hubo un caso de un paciente infante y tres entre 30 y 40 años de edad; la incidencia en la cuarta década fue de 8 pacientes y 9 pacientes en la sexta década. Figura #3

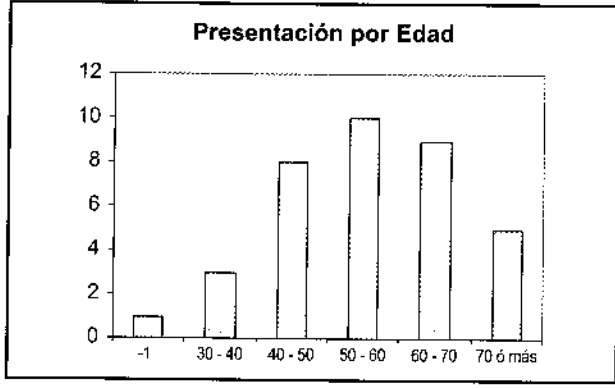
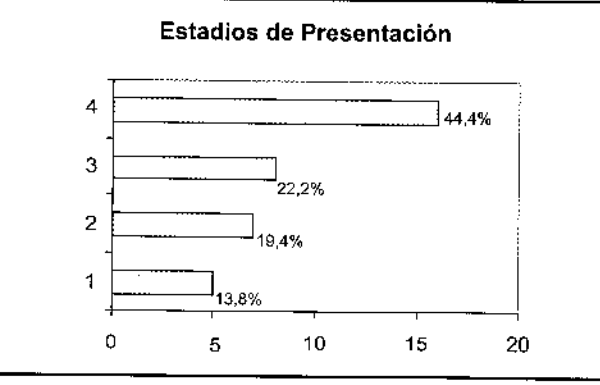


Figura #3

En relación al estadio de presentación de los pacientes solo 5 de ellos es decir el 13% de ellos tenían un estadio de presentación temprano y favorable, 7 pacientes se encontraban en estadio 2 de su enfermedad representando el 19.4% de los pacientes, en estadio tres en cambio habían 8 pacientes que era cerca del 20 % de los mismos y finalmente y por desgracia la gran mayoría es decir el 44.4 % de los pacientes acudían al hospital en estadios avanzados. Figura # 4



De los 36 pacientes tres de ellos es decir el 8.3 % no fueron resecables en el momento de la intervención quirúrgica debido a gran infiltración a órganos vecinos y murieron en los tres primeros meses y antes de los cuatro meses fallecieron 10 pacientes es decir el 27.8% de los cuales 8 eran estadio 4 y 2 eran estadio tres. Figura #5.

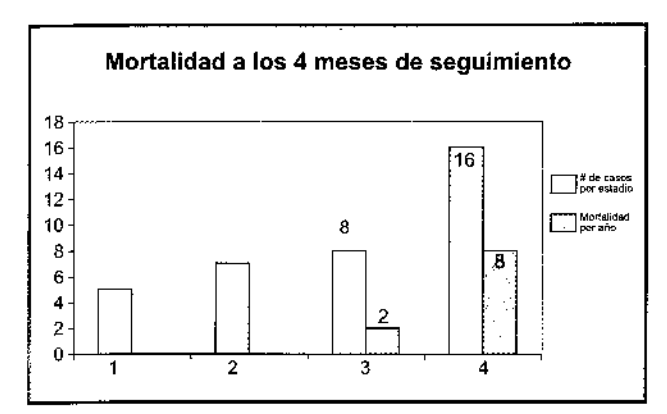
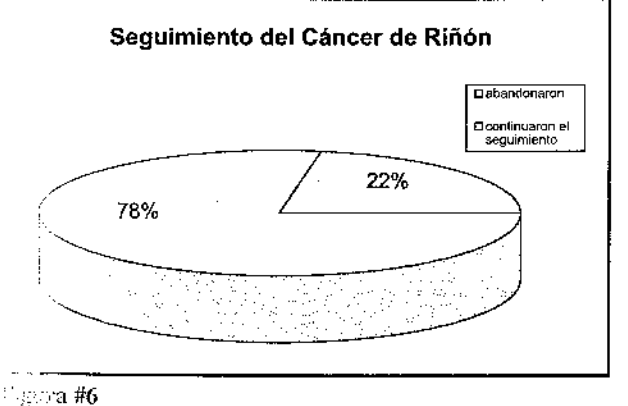


Figura #5

Entre los pacientes con anatomía patológica pt2 y pt3 están libres de enfermedad 5 pacientes y hubo una recidiva local en un paciente con supuesto estadio 1. Figura # 6



ISSN 1390-0110

De todos los pacientes estudiados el 22.2% no con fouaron en seguimiento y por lo tanto no podemos pre isar su evolución.

Conclusiones

la las principales conclusiones que podemos sacar est estudio se desprende que entre el año 96 y 97 so caservó una cantidad ligeramente mayor de casos por air - y que contrariamente a lo que dice la literatura 6. mundicii a se observó en nuestra estadística diferencia

en el sexo, nótese que en la literatura mundial existe una diferencia a favor del hombre de 2 a 1 en casos de Cáncer

También es valido resaltar que hubo un solo niño con diagnóstico de cáncer de riñón y que la gran mayoría de los casos se encontraban entre los 40 y 60 años de edad de acuerdo a lo que se conoce en el resto del planeta, hemos observado tres pacientes menores de cuarenta años con cáncer de rincón que no es una cifra despreciable y que nos hace recordar la importancia de controles ecográficos a partir de los 35 años de edad.

La conclusión más clara de este trabajo es que los pacientes siguen acudiendo a nuestros hospitales en forma muy tardía con grandes masas tumorales que en algunos casos no son resecables quirúrgicamente, nótese que el 66 % de los pacientes acudieron en estadios avanzados de su enfermedad y que el 41 % de ellos murieron antes de los cuatro meses sin que ningún tratamiento los pudieran ayudar.

Bibliografía

- 1. Baldegram Inmunotherapy for renal cell carcinoma Urology X: 23 - 27, 1992.
- 2. Licht Mr: Nefron sparing surgery for renal cell carcinoma J. Urology 149: 1 - 7, 1993,
- 3. Long JP Intropective ultrasound in the evaluation of tumor involvement of the inferior cava J. Urology 150: 13 - 17, 1993.
- 4. Minasian Interferon Alfa 2a in invaced renal cell carcinoma treatment, results and survival J. Clinic Oncologic - 1993.
- 5. Morgan Management of renal cell carcinoma onvolving a solitary Kidney Ava update series lesson 21 Vol. x 1991.
- Porzsolt Adjuvant therapy of renal cell cancer with interferon Alfa 2a Asco 11:202, 1992.

Del Editor:

OBJETIVOS Y ALCANCES DE ONCOLOGÍA

"ONCOLOGÍA" es una revista que publica temas inéditos de oncología clínica. epidemiología del cáncer y afines en forma de:

- Artículos o trabajos originales
- · Revisiones Bibliográficas
- Reportes de casos clínicos
- Temas de Actualidad y/o reseña Histórica
- · Cartas al Editor

Todos los trabajos enviados a la revista, serán sometidos al proceso de arbitraje editorial.

Del Editor:

INVITACIÓN A MANUSCRITOS

La revista "ONCOLOGÍA" está dirigida a médicos afines al manejo de pacientes oncológicos. Se invita a los médicos a enviar artículos originales e inéditos que presenten conocimiento nuevo y relevante en el área de la Oncología. El editor estará gustoso de conversar con autores potenciales sobre tópicos o artículos a ser enviados para su publicación. Los manuscritos se aceptan en español (con abstracto en inglés) o en inglés. Las instrucciones para el autor aparecen en el número de diciembre de cada año o pueden ser solicitadas por escrito al Editor.

> Dirija la correspondencia a: Editor, Revista "ONCOLOGÍA" Instituto Oncológico Nacional "Dr. Juan Tanca Marengo" ION-SOLCA Avda. Pedro J. Menéndez Gilbert (junto a la ciudadela La Atarazana) Apt. Postal No. 5255 / 6 3623 Guayaquil - Ecuador

> > Teléfonos 288-088 Fax: (593-4) 293-366 / 287-151

Prostatectomía Radical en el Hospital de Solca 1996-1999 Estudio Crítico (1)

Dr. Marcos Rendón J. (2) Dr. Marcel Pozo P. (3) Dr. Max Gubitz (2) Dr. Xavier Mateus (2)

- (1) Servicio de Urología ION-SOLCA
- (2) Cirujanos Urólogos
- (3) Jefe Servicio de Urología Instituto Oncológico Nacional

Abstracto

De acuerdo a los datos estadísticos obtenidos en nuestro instituto, el Cáncer de Próstata es la enfermedad maligna más frecuente en el hombre, lo que está en relación a la estadística mundial

Con la aparición y manejo adecuado del PSA y sumado a esto el cambio de mentalidad en nuestra población, el diagnóstico de esta enfermedad se lo está realizando en forma más temprana lo cual nos permite realizar en un número cada vez mayor tratamientos radicales.

El objetivo de este trabajo es demostrar la efectividad de la prostatectomía radical, la morbilidad v mortalidad del mismo con la finalidad de mejorar nuestros resultados.

Se estudiaron 45 prostatectomías radicales malizadas en nuestro instituto, desde el mes de febrero ie 1995 a diciembre de 1999, con un seguimiento mínimo de 10 meses, con estudios anatomopatológicos finales con niveles de psa postoperatorios y complicaciones aediatas e inmediatas observadas.

El procedimiento quirúrgico ha sido en general bien sicrado, no se ha observado muertes durante el recedimiento ni tampoco en el postoperatorio inmediato, media de hospitalización fue de 5 días, se retiró la uda transuretral a los 21 días, el 84.4% de los pacientes · disfunción sexual eréctil, el 34% de los pacientes 🗆 algún grado de incontinencia de orina.

Palabras Claves: Cáncer Próstata

- spondencia y separatas: mel Pozo P.
- de Urología
- CA "Dr. Juan Tanca Marengo"
- Menendez Gilbert
- arazana
- ---088 281042 (109-01) 15028
- ····: Ecuador
- acchos de autor de los artículos de la Revista Oncología
- em a la Sociedad de Lucha contra el Cáncer SOLCA,
- the lonal, Guayaquil Ecuador

Abstract

According to statistics in our Institute, prostate cancer in the most frequent malignant disease in men this is in relation with world statistics.

With the arrival of the PSA and it's rigth use and added to this, the change of mentality in our population, the diagnosis of this disease is being made in early stages, and able un to perform in increasing numbers more radical treatments.

The aim of this work is to prove the validity fo radical prostatectomy, the morbility and mortality of the procedure with the purpose of obtaining better results.

Forty five radical prostatectomies done in our Intitute were studied, from february 95 to december 1999 with a minimun follow up of 10 months, with final anatomopathologic results. PSA levels in the post operaty and the late and learly complications noted.

Surgical procedure is well tolerated, no deaths were observed during the procedure or in the inmediate post operative period, the average in patient time was five days the transuretral tube was removed in 21 days, 84.4% of patients had erectil disfunction, 34% of the patients had some degree of urinary incontinence.

Key Words: Prostate Cancer

Introducción

Para el tratamiento del Cáncer de Próstata existen diversas alternativas, básicamente si el paciente es portador de una enfermedad generalizada, su tratamiento será también generalizado, es decir hormono-terapia, pero si el paciente tiene enfermedad localizada, el tratamiento puede ser realizado a través de radioterapia externa, braquiterapia o prostatectomía radical.

La prostatectomía radical tratamiento que comenzó a generalizarse a través de los trabajos presentados por Walsh y cols en el año de 1982 para los casos de cáncer de próstata clínicamente localizados es una técnica que utiliza el abordaje retropúbico y cuya principal característica es la preservación de los nervios erectores.

En nuestro hospital la técnica se empezó a utilizar con mas frecuencia a partir del año de 1995, y cada año el numero de las mismas fue mayor, por lo tanto creemos muy beneficioso realizar una autocrítica del procedimiento.

Métodos

Entre febrero de 1995 y diciembre de 1999 se realizaron 45 prostatectomías radicales en el Hospital de SOLCA ION - Guayaquil, las mismas se realizaron en su totalidad por vía retropúbica y posterior a una linfadencetomia de estadiaje de las cadenas ilíacas e fleoobturatrizes.

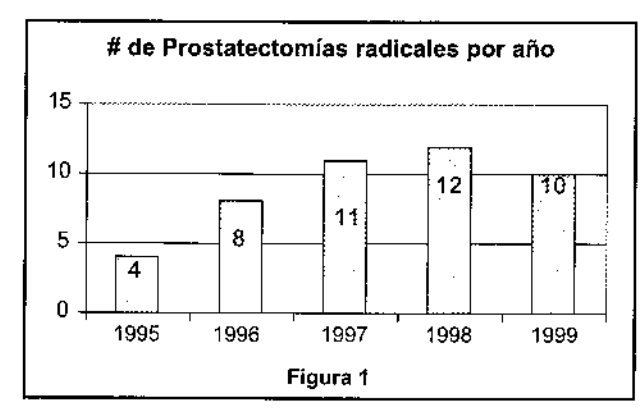
Todos los pacientes sometidos a la intervención quirúrgica fueron estudiados de manera tal que se consideraban portadores de una enfermedad localizada, es decir se realizó gamagrafía ósea, que descartaba enfermedad metastásica ósea, además de realizarse todos los estudios preoperatorios comunes como son una biometría hemática, electrocardiograma y chequeo cardiológico pre quirúrgico, tiempos de coagulación, etc.

Los pasos técnicos quirúrgicos se inician con la disección del espacio de Retzius y la apertura de la facie endopélvica, luego de lo cual se inciden ligamentos puboprostáticos, y se ligan los vasos de la vena dorsal, una vez controlada la hemostasia se incide la uretra y se dejan colocados en la misma los puntos para la anastomosis posterior. Se diseca la glándula en forma retrograda hasta el cuello vesical, el mismo que se incide y por último se disecan los vasos deferentes y las vesículas seminales. La anastomosis se realiza luego de haber realizado una plastía del cuello vesical e invertido su mucosa, se utiliza para este paso vicryl 3-0, se deja una sonda transuretral de foley no silastik por 21 días, y también se deja un drenaje tubular que se retira antes del alta aproximadamente al tercer o cuarto día de hospitalización, el post operatorio inmediato se realiza en un Área de cuidados intermedios en donde et paciente permanece por un promedio de 4 horas, luego de lo cual pasa a un Área de hospitalización común.

El alta se la realiza en término medio al quinto día de hospitalización, y sé continúa su seguimiento por consultorios externos con visitas periódicas y controles con PSA postoperatorios a partir del tercer mes.

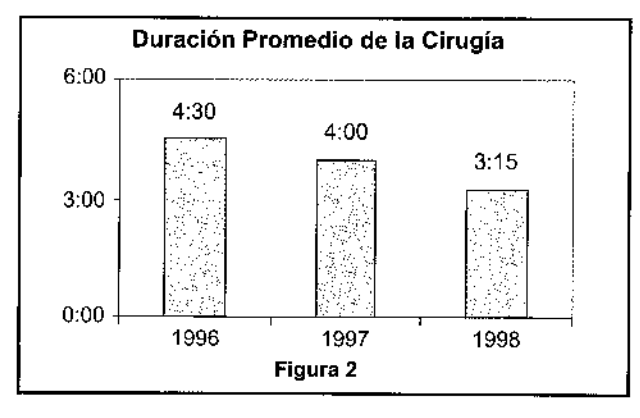
Resultados

Se realizaron un total de 45 prostatectomías radicales, entre los años de 1995 y 1999, las cuales fueron realizadas 4 en 1995, 8 en 1996, 11 en 1997, 12 en 1998 y 10 en 1999. (Fig. #1)



El psa preoperatorio en promedio fue de 13,5 ng/ ml, con un rango entre 5,8 y 22 de psa.

La duración de la cirugía fue en promedio 2:55 horas, notándose claramente una disminución del promedio del tiempo quirúrgico con el paso de la curva de aprendizaje como se nota en la figura #2.

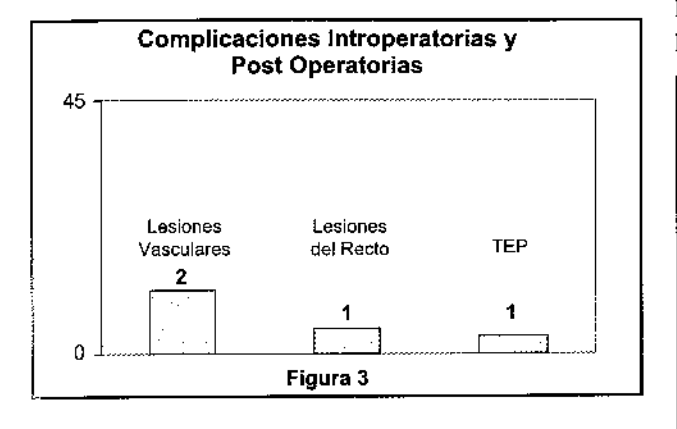


En íntima relación con el departamento de anestesia se calcula un promedio de entre 500 y 1200 ml, de pérdidas sanguíneas durante el acto operatorio en lo cual también se ha notado una disminución en los últimos dos años del

No se observó muertes ni en el acto operatorio ni en el post operatorio inmediato en la sala de cuidados intermedios.

Durante la cirugía se observaron las siguientes complicaciones:

2 lesiones vasculares, en los vasos iliacos durante la linfadenectomía preoperatorio, que fueron resueltas por el mismo equipo quirúrgico con material vascular de sutura, una lesión del recto, que se resolvió durante el acto operatorio con una colostomía de descarga, la misma que se cerró a los tres meses postoperatorios, no se observaron lesiones ureterales ni vesicales, ni lesiones con el nervio obturador. (Fig. #3)



Durante el postoperatorio inmediato el drenaje perohemático fue en promedio de 300 ml, el 85 % de los pacientes se transfundieron al menos con una unidad de sangre durante el acto operatorio o en el postoperatorio ismediato, en los últimos dos años se está realizando las cansfusiones de forma autóloga.

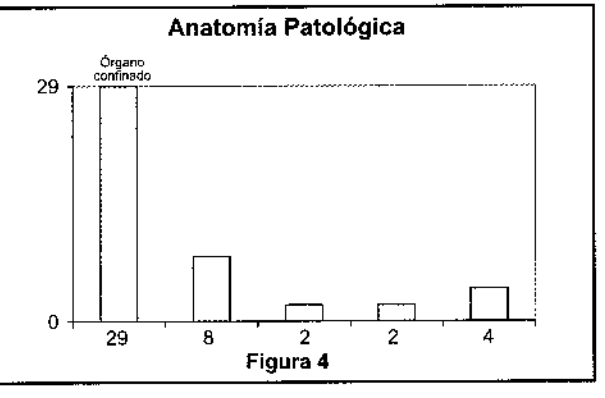
Durante el post operatorio mediato en un solo aciente se observó un trombo embolismo pulmonar que fue resuelto con tratamiento clínico en la unidad de anidados intensivos de nuestro hospital. En tres pacientes al promaie en el postoperatorio fue excesivo y confirmado acco orina, lo cual se resolvió en todos los casos con una social tracción en la sonda, no hubo reintervenciones at per fístulas urinarias ni por sangrados en el post op atorio.

La término medio la duración de la hospitalización fue to 5.5 días con un mínimo de internación de cuatro dies con máximo de catorce días con el paciente que 10 to 1788

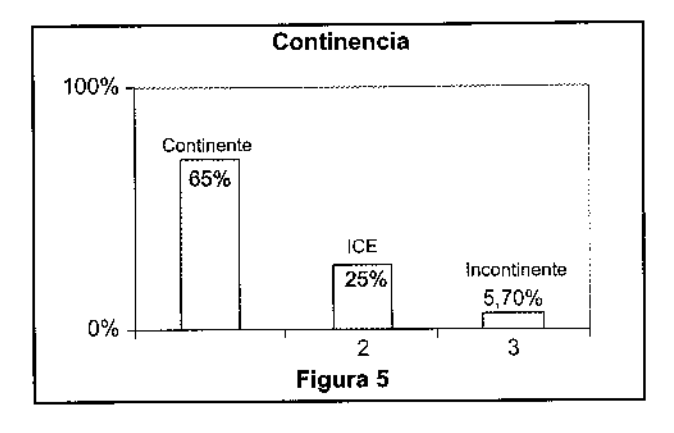
de estudio de los pacientes en seguimiento en seios externos, la mortalidad post operatoria es difficil et calcular ya que tan solo 35 de los 45 pacientes continuar la seguimiento en nuestro hospital, pero de estos 35 podemos clasificarlos para evaluar el

grado de incontinencia postoperatoria, la evaluación de la potencia sexual postoperatoria, etc.

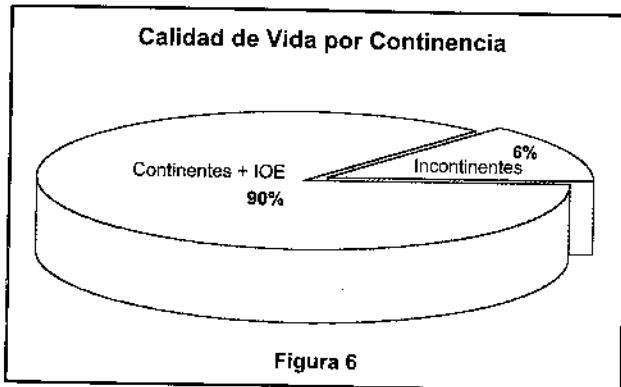
En relación a la anatomía patológica post operatoria podemos resumir que 16 pacientes que representan el 35.5% de los pacientes tuvo un resultado anátomo patológico desfavorable que se clasificaron de la siguiente manera: 8 pacientes resultaron con invasión vesículas seminales, 2 pacientes tuvieron bordes positivos para neoplasia, en dos pacientes los ganglios fueron positivos para metástasis de adenocarcinoma y cuatro pacientes resultaron con una invasión a la cápsula prostática, todos estos datos se resumen en la figura #4.

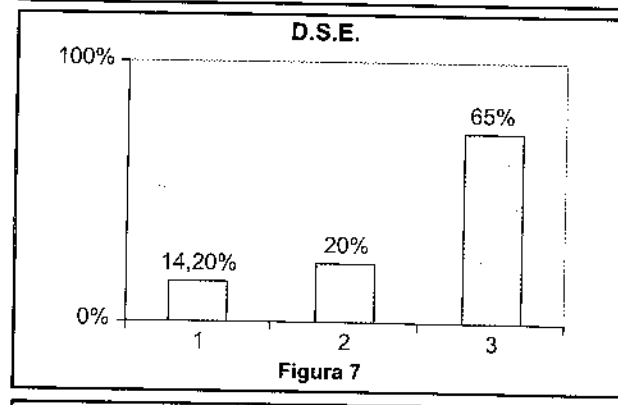


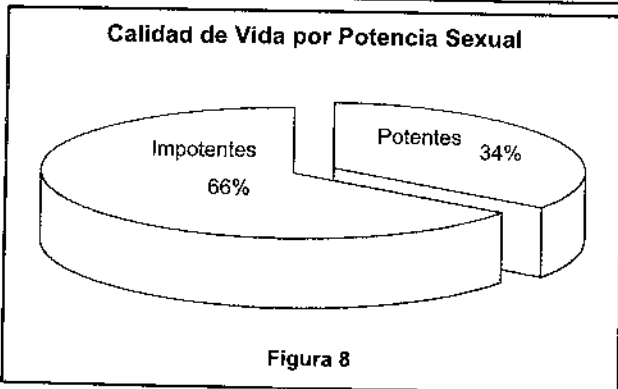
En el estudio de los pacientes por los consultorios externos se logró continuar con el seguimiento con 35 pacientes lo que representa el 78 % de los pacientes, de estos pacientes podemos observar que en cuanto se refiere a su continencia 23 de ellos es decir el 65.7% de los pacientes están completamente continentes desde los 10 meses postoperatorios, 10 pacientes están continentes pero tienen pérdidas mínimas de orinas con los esfuerzos y no necesitan el uso de ningún elemento para la incontinencia y por el contrario 2 pacientes se encuentran con incontinencia y requieren de elementos para tratamiento paliativo de la misma, estos dos pacientes representan el 5.75 % del total de pacientes en seguimiento.(Fig. #5)



En tres pacientes se evidenció una estenosis de la unión uretro vesical y esto representa el 8.8 % de los casos. Por último en la evaluación de la potencia sexual postoperatoria evaluada también a los 10 meses: 5 del total de pacientes en seguimiento es decir el 14.2% conservaron totalmente su potencia sexual, 7 pacientes es decir el 20% de los casos también conservaron la potencia con ayuda de drogas vasoactivas, y por último el 65.7% de los pacientes están en condición de impotentes es decir 23 de ellos, no ha sido evaluado ni la incontinencia ni la impotencia en relación a la curva de aprendizaje. (Figs. #6-7-8)







Conclusiones

En términos generales la cirugía ha sido bien tolerada, no se reportaron muertes ni durante el acto operatorio ni en el post operatorio inmediato, las pérdidas sanguíneas están en relación a los estudios mundialmente realizados sobre prostatectomía radical. Se observó en la curva de aprendizaje tanto una disminución del tiempo quirúrgico como de las pérdidas sanguíneas, actualmente se está procurando tener siempre disponible por lo menos una unidad de sangre autóloga previo a la realización de una prostatectomía radical.

En cuanto a las complicaciones transoperatorias, fueron resueltas satisfactoriamente por el mismo equipo quirúrgico sin poner en riesgo en ningún momento la estabilidad hemodinámica del paciente en el caso de las lesiones vasculares, en cuanto a la lesión del recto también se logro reparar la misma en el mismo acto operatorio y se realizó la colostomía por seguridad, actualmente dentro del protocolo de cirugía radical de próstata se encuentra la preparación obligatoria del colon de los pacientes, y de esta manera si fuera el caso se pueden reparar las lesiones de recto en forma primaria sin colostomías de descarga. Es de anotar que juntando todos los casos que tuvieron complicaciones transoperatorias suman 3 lo cual representa el 6.6 % de los mismos cifra que está dentro de los límites esperados para una cirugía radical.

Son muy interesantes los resultados de la anatomía patológica debido a que es una cifra alta de subestadiaje la que estamos observando (cerca del 35%), estos pacientes la mayoría progresaron la enfermedad antes del año y recibieron o radioterapia post operatoria o entraron en hormonoterapia en el caso de progresión química, es decir con PSA elevados.

En cuanto a las cifras de Continencia en nuestros pacientes están dentro de los límites internacionalmente aceptados como se observa en el cuadro #5 en trabajos publicados mundialmente, nosotros hemos hecho una distinción entre los pacientes totalmente continentes y los que son incontinentes al esfuerzo, a pesar de que este último grupo refiere una adecuada calidad de vida, pues no requieren usar paños para incontinencia, ni ningún otro mecanismo para el problema, juntando ambos grupos la cifra de pacientes con buena calidad de vida es muy alta. En cuanto a la Disfunción Sexual eréctil post operatoria, creemos que la cifra es alta con relación a otros grupos de estudio y posiblemente esto se deba a la extremadamente alta tasa de casos con anatomía patológica desfavorable que hace que en el campo quirúrgico sea muy dificultosa la preservación de los paquetes nerviosos.

Bibliografía

- Endoscopic evaluation and treatment of anastomotic stricture after radical retropubic prostatectomy
 J- UROL 1996 JAN 155 (1)
- Urinary incontinence and sexual impotence after radical prostatectomy
- SCAND J UROL NEPHROL 1996 C 30 (6).
- Trends in radical prostatectomy in New York state AN-J-MED- QUAL 1996 WINTER 11(4).
- The hemodinamics of erectile dysfunction following nerve sparing radical retropubic prostatectomy INT-J-IMPOT-RES 1996 JUN.
- 6. A prospective study of quantification of urinary incontinence an qualite of life in patients undergoing

- radical retropubic prostatectomy UROLOGY 1996 SEP48(3)
- Rectal perforation after retropublic radical prostectomy: occurrence and management. J- UROL 1997 JAN 145 (4)
- Radical prostatectomy prospective assessment of mortality and morbidity
- 9. EUR-UROL 1996 29(2)
- Early complications of anatomical radical retropubic prostatectomy: lessons from a single center experience UROL – INT 1997 59(1)
- 11. Urología CAMPBELL sexta edición tomo 2.
- 12. Oncología urológica M. SROUGI.
- 13. Tratado de cirugía Urológica . PUIGVERT.

Del Editor:

LAS REFERENCIAS

Las referencias constituyen una parte fundamental de un manuscrito científico. Las referencias seleccionadas por el autor reflejan su conocimiento del trabajo realizado por otros y que él ha consultado para realizar el suyo. Citar una referencia de una referencia, publicada previamente, sin revisar la publicación original es un mal método de investigación. Una publicación médica nunca debe citarse como referencia si el autor del nuevo manuscrito no la ha leído.

Los manuscritos con demasiadas referencias más que erudicción reflejan inseguridad. El hecho de leer una publicación mientras se está elaborando el manuscrito, no significa que deba ser citada como referencia solo deben incluirse aquellas que sean necesarias para dar al manuscrito, sustentando la información y los comentarios que se le atribuyen. Así como un buen párrafo no tiene palabras innecesarias, un buen manuscrito no tiene referencias innecesarias. La capacidad que tenga el autor para recolectar información es la clave del éxito de un trabajo científico.

Adaptado de: Am J Cardiol 1983; Mayo I,

DE GASTROENTEROLOGÍA Y HEPATOLOGÍA ONCOLÓGICAS

Departamento de Docencia e Investigación y Servicio de Gastroenterología y Hepatología Instituto Oncológico Nacional "Dr. Juan Tanca Marengo" SOLCA - Sede Nacional - Guayaguil

Del 14 al 25 de Agosto del 2000 Auditorio Guillermo Arosemena Coronel

Temas: Esófago de Barret, CA de Esófago, Helicobácter Pylori, Linfoma MALT, CA Gástrico, Linfoma Intestinal, Pólipos del Colon, CA de Colon y Recto, Proctitis Actínica, CPRE, CA de Páncreas, CA de Hígado, etc.

Profesores Invitados del Hospital "Dr. Juan Tanca Marengo SOLCA", del Hospital Teodoro Maldonado Carbo IESS, Hospital Luis Vernaza y Hospital Clínica Kennedy.

Valor de Inscripción:

Gastroenterólogos USD 12 Médicos en General USD 8

Informes:

Hospital SOLCA (Guayaguil) Teléfono: 288088 Ext. 208 Servicio de Gatroenterología Fax: 287-151

Director Dr. Juan Tanca C.

Coordinadores: Dr. Francisco Mendoza

Dr. Ernesto Paladines Dr. Iván Nieto Orellana

Secretarias: Priscila Torres M.

Maritza Guim C.

Carcinoma de Vejiga: Estudio retrospectivo 1990 a 1999 en ION -**SOLCA Guayaquil** (1).

Dr. Max Gubitz Scheibe (2) Dr. Marcel Pozo Palacios (3) Dr. Xavier Mateus Chérrez (2) Dr. Marcos Rendón Jonioux (2) *Dra. Paola Ortiz Acosta (2)

- (1) Servicio de Urología ION-SOLCA
- (2) Cirujanos Urólogos
- (3) Jefe Servicio de

Abstracto

Se revisaron 134 casos de Carcinoma de Vejiga en el periodo del 90 al 99 en el Instituto Oncológico Nacional SOLCA - Guayaquil, de los cuales 93 correspondían a pacientes masculinos y 41 casos a mujeres, el promedio de edad fue 67 años (16-90), de los tumores que se presentarion 71(52.9%) fueron superficiales, 53(39.6%) hieron invasores desde el inicio, 10 casos (7.4%) se convirtieron en invasores posterior a tratamiento local (3CG), el signo y síntoma más frecuente fue la Hematuria (90%), el diagnóstico en todos los pacientes fue mediante resección del tumor inmediatamente posterior a la citoscopía, 39 56 pacientes se realizó tratamiento intravesical con BCG. pacientes recibieron Radioterapia Externa como indea modalidad de tratamiento, 3 pacientes cistectomía archel más RT v en 34 pacientes se realizó cistectomía Fal, 16 pacientes no aceptaron ningún tipo de tratamiento.

Calabras Claves: CarcinomaVejiga Células Transicionales

Introducción

Ti Carcinoma de células transicionales de vejiga es la esta neoplasia más frecuente del aparato urinario y la an frecuencia según los datos del registro Nacional 100 100 con una relación de 2:1 hombres/mujeres, assis común entre la quinta y sexta década de vida, 🗝 factores predisponentes el hábito de fumar está are relacionado con la aparición de esta neoplasia, de screning en la población general es la citología y el gold estándar en el diagnóstico es la 👵 la alta incidencia del carcinoma de vejiga y des alternativas de tratamiento disponibles nos motivan a realizar este estudio retrospectivo.

്ഷ y separatas: ് Scheibe Juan Tanca Marengo' dez Gilbert

31042

stor de los artículos de la Revista Oncología stad de Lucha contra el Cáncer SOLCA,

Abstract

There were checked 134 cases of bladder carcinoma in the period of the 90 to the 99 in the Institute National Oncology SOLCA - Guayaquil, of those which 93 corresponding to patients masculine and 41 cases in women, the age average was 67 years (16-90), of the tumors that were presented 71 (52.9%) tumors were superficial, 53(39.6%) were invading from the beginning, 10 cases (7.4%) were converted in subsequent invaders to local treatment (BCG), the sign and symptom but frequent was the Hematuria (90%), the diagnosis in all the patients it was through resection of the immediately subsequent tumor to the diagnostic cystoscopy, in 66 patients was accomplished treatment intravesical with BCG, 15 patients received Radiotherapy as only therapeutic modality, 3 patients partial cystectomy more RT and in 34 patients was accomplished radical cystectomy, 16 patients they did not accept any type of treatment.

Key Words: Transitional Cell Bladder Carcinoma

Materiales y Métodos

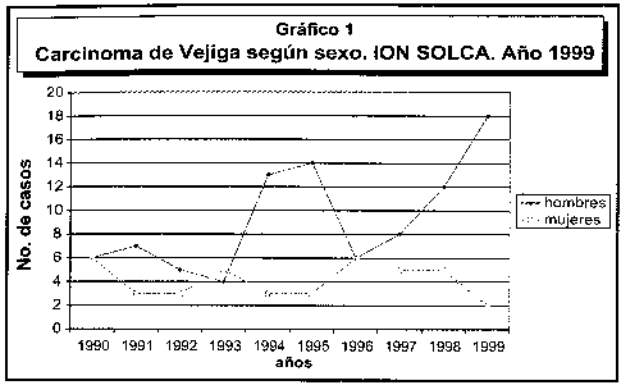
El actual trabajo es un estudio retrospectivo, descriptivo, realizado en el Instituto Oncológico nacional ION-SOLCA Guayaquil, en el periodo comprendido de Enero de 1990 a Diciembre de 1999 en el cual se consideraron todos los pacientes con diagnóstico positivo de cáncer de células transicionales de vejiga, en total comprendieron 134 casos que fueron estudiados bajo los siguientes parámetros: edad, sexo, sintomatología, método de diagnóstico, histología, tratamiento realizado, complicaciones postoperatorias. En el 100% de los pacientes se realizó citoscopía y biopsia rabdomizada como método inicial de diagnóstico, en todos se complementó con radio-grafía estándar de tórax, y tomografía abdominal y pélvica.

Resultados

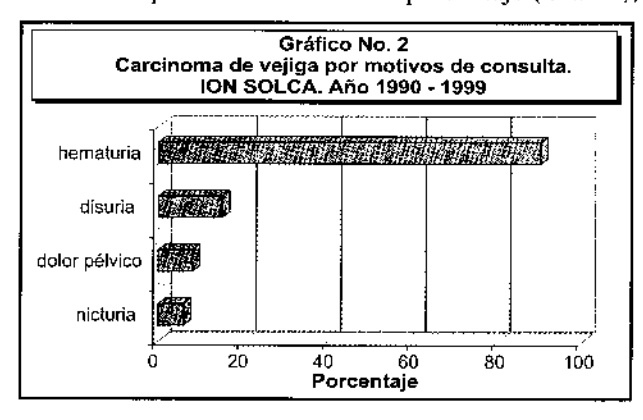
En total fueron 134 pacientes de los cuales 93(69.4%) fueron del sexo masculino y 41(30.6%) del sexo femenino (Graf. 1), la edad media fue de 67(16 - 90) años, en este

ISSN 139-

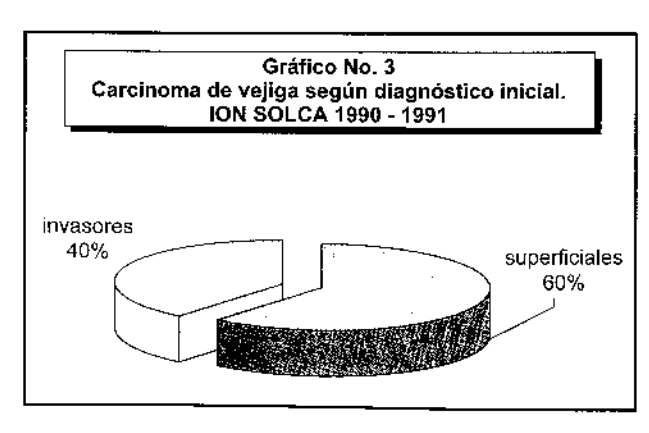
Vol. 10 • N' 3. Jul.- Sep. 2000



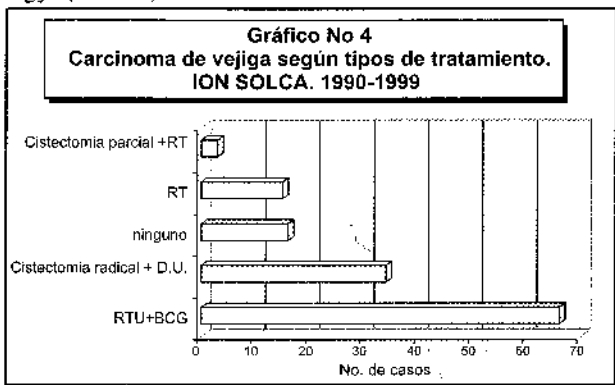
grupo de pacientes presentó como síntoma común hematuria macroscópica o microscópica en el 90% de los casos, otros síntomas como disuria, dolor pélvico, nicturia se presentaron en menor porcentaje (Graf. 2),



16 (11.9%) pacientes no aceptaron tratamiento alguno posterior al diagnóstico endoscópico todos estos pacientes fallecieron al finalizar el estudio, 81(60.3%) de los casos fueron superficiales y de estos 10(12.3%) se convirtieron en invasores después del tratamiento local de la neoplasia, el resto 53 (39.6%) fueron invasores desde él diagnostico inicial (Graf. 3), 66 pacientes correspondientes al 49.2% se realizó RTU tumor vesical seguido de inmunoterapia con BCG intravesical a dosis de 120 mg una vez por semana durante 6 semanas y posteriormente una aplicación mensual hasta completar el año, todos tenían tumor superficial no invasor.



Recibieron Radioterapia externa como única modalidad de tratamiento 15 (11.2%) pacientes, la dosis fue de 6.5 a 70 Cgy. sobre la pelvis, siendo todos los casos invasores a músculo, este grupo de pacientes se los selecciono por edad, enfermedad intercurrente grave o no aceptación del tratamiento quirúrgico radical.En 3(2.2%) pacientes se realizó cistectomía parcial por presentar tumores únicos localizados en la cúpula vesical y se realizó Radioterapia externa postoperatoria a dosis de 65 Cgy (Graf. 4).

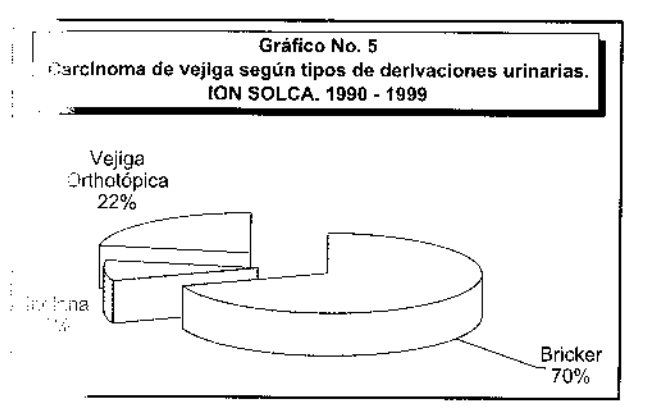


A treinta y cuatro (25.4%) pacientes se los sometió a cistectomía radical por presentar tumores invasores, el procedimiento en el hombre consiste en resección en bloque de la vejiga, próstata y vesículas seminales, en la mujer vejiga, uretra, útero y anexos mas la pared anterior de vagina, en ambos sexos se realiza linfadenectomía pélvica: obturadores, iliacos internos, iliacos externos, iliacos primitivos hasta la bifurcación de la aorta, también se incluye el resto del uraco con el peritoneo circundante hasta la cúpula vesical.

Las complicaciones varían de acuerdo al tratamiento definitivo de la neoplasia, en lo referente al tratamiento primario la resección del tumor 12 pacientes requirieron transfusión de sangre, a 6 de los cuales se realizó revisión endoscópica con evacuación de coágulos y electrofulguración de vaso sangrante, en 3 no se pudo controlar la hemorragia por este método y se instiló formaldehído al 6 % intravesical, en los 3 restantes solo se evacuó coágulos y se mantuvieron con irrigación vesical continua.

En cl grupo de pacientes con BCG terapia, los síntomas irritativos fueron comunes, dos pacientes presentaron efectos sistémicos que obligó a tratamiento con Isoniacidad y Rifampicina. En los que recibieron Radioterapia la cistitis actínica fue común, se controlo con antiespasmódicos, 3 pacientes presentaron cistitis actínica hemorrágica dos de ellos leve tratados con nitrato de plata al 1 x 1000 en varias sesiones y uno requirió de formaldehído intravesical al 6% para controlar el sangrado.

En los pacientes que se realizó cistectomía radical el tipo de derivación se vio condicionada por los hallazgos gansoperatorios que incluían extensión extravesical del annor o compromiso ganglionar por lo que se realizó 25 conductos ileales tipo Bricker, 3 reservorios continentes sipo Indiana y 8 neovejigas ileales orthotópicas, el número de complicaciones fue relativamente baja, somoximadamente 10 % de complicaciones inmediatas que incluyeron: infección de herida, hematoma pélvico, Exfocele y una fístula urocutánea que cerró espontáneamente, en un paciente hubo necrosis de la neovejiga amhotópica y se lo convirtió a conducto ileal. Las complicaciones tardías fueron mayores aproximadamente 10%, que consistieron en estenosis de la anastomosis esserointestinal, una oclusión intestinal en un paciente neovejiga orthotópica tipo Studer a los 8 meses, el aciente falleció por sepsis.



Discusión

características generales de los pacientes de la socie serie con relación a sexo y edad (69.40% con el 90% de los casos la hematuria es el signo o determinante en el diagnóstico de esta neoplasia, de mais pal factor de riesgo es el tabaquismo.

gold estándar en el diagnóstico de esta enfermedad ascopía, a pesar del avance tecnológico que nos diagnóstico por imágenes actualmente, la arinaria es diagnóstica en el 50 % de los casos adamente y esto varía dependiendo de la 3. Tota del citopatólogo.

10.3% de los casos que presentamos fueron 4. Les, de estos 10 casos el (12.3%) se convirtió 5. Les después del tratamiento local de la neoplasia, del cáncer superficial en nuestra institución es conente con BCG intravesical posterior a la completa del tumor, con una taza de respuesta

del 87.7 % a los tres años, la mayoría de nuestros pacientes abandonan el seguimiento por lo que no conocemos la respuesta a los 5 y 10 años.

En el grupo de pacientes con carcinoma invasor que corresponde al 39.6% de nuestra serie, muchos de los tratamientos fueron paliativos tanto la cistectomía como la Radioterapia, en nuestra serie no se utilizó Quimioterapia preoperatoria, si utilizándola posterior a la cistectomía radical cuando tenemos bordes positivos o presencia de ganglios, el protocolo que utilizamos es M-VAC. La Radioterapia Conformacional fue utilizada en los pacientes que rehusaron tratamiento radical, correspondieron al 28.3% de los pacientes con tumores invasores y la sobrevida aproximada fue menor al 60% a los tres años.

Conclusión

El cáncer de vejiga es una de las neoplasias que exige el concurso multidiciplinario del Urólogo, Oncólogo y del Radioterapeuta ya que la modalidad del tratamiento que se da está determinado por el tipo de paciente, localización y grado de infiltración tumoral y muchas veces se ve esto condicionado por el deseo del paciente de intentar medidas que conserve su vejiga urinaria, actualmente hemos cambiado nuestra conducta en el manejo del cacinoma invasor sometido a cistectomía tratanto siempre en la medida de los posible realizar derivación orthotópica continentes, nuestra experiencia es gratificante al ver que la calidad de vida de estos pacientes es superior a los que se realizó derivaciones no continentes, sin que esto haya afectado el manejo integral de la neoplasia.

Bibliografía

- Departamento de Estadística y Registros Médicos el Instituto Oncológico Nacional "Dr. Juan Tanca Marengo" Guayaquil-Ecuador.
- Hautmann RE. Bachor R. Bladder substitutes for continent urinary diversion. Monographs in Urology 1994, 15:47-59.
- Montie JE. Pontes JE. Smyth EM: Selection of the type of urinary diversion in conjunction with radical cystectomy. J. Urol 1988, 137:1154-1155.
- Cacket y Koshiba Manual Cirugía Urológica 1981.
- McDougal WS. Use of intestinal segments in the urinary tract: Basic principles. Emn Walsh PC, Retik AB. Stamey TA. Vaughan DE (eds). Campbell's urology 6 Edición. Filadelfia, WB Saunders, 1992:2595-2629.

III CURSO DE GINECOLOGÍA ONCOLÓGICAY II COLPOSCOPÍA

DEPARTAMENTO DE DOCENCIA E INVESTIGACIÓN Y SERVICIO DE GINECOLOGÍA INSTITUTO ONCOLÓGICO NACIONAL "DR. JUAN TANCA MARENGO" SOLCA - SEDE NACIONAL - GUAYAQUIL

DEL 14 AL 15 DE SEPTIEMBRE DEL 2000

AUDITORIUM GUILLERMO AROSEMENA CORONEL

TEMAS:

NEOPLASIA INTRAEPITELIAL CERVICAL
CÁNCER DE CÉRVIX
CÁNCER DE ENDOMETRIO
CÁNCER DE OVARIO
CÁNCER DE VULVA

TALLERES DE COLPOSCOPÍA CON DEMOSTRACIONES Y PROCEDIMIENTOS

PROFESORES INVITADOS DEL HOSPITAL "DR. JUAN TANCA MARENGO" SOLCA, DEL HOSPITAL GINECO OBSTÉTRICO Y HOSPITAL CLÍNICA MIGUEL H. ALCÍVAR.

VALOR DE LA INSCRIPCIÓN

MÉDICOS ESPECIALISTAS USD 12 MÉDICOS GENERALES USD 10 RESIDENTES Y OBSTETRICES USD 8

INFORMES

HOSPITAL DE SOLCA (GUAYAQUIL) TELÉFONO: 288-088 EXT. 401-136 SERVICIO DE GINECOLOGÍA ONCOLÓGICA

DIRECTOR: DR. JAIME SÁNCHEZ SABANDO S.

COORDINADORES:

DR. ROMMEL RAMÍREZ M. DR. NERY RIVADENEIRA DR. SALVADOR ENCALADA O.

Alternativas de derivación urinaria en mujeres posterior a cistectomía radical (1).

Dr. Max Gubitz Scheibe (2)
Dr. Marcel Pozo Palacios (3)

Dr. Xavier Mateus Chérrez (2)

Dr. Marcos Rendón Jonioux (2)

- ()) Servicio de Urología ION-SOLCA
- (2) Cirujanos Urólogos
- (3) Jefe Servicio de Urología

Abstracto

El carcinoma de células transicionales es la segunda neoplasia en frecuencia dentro del tracto urogenital, su incidencia aumenta en la población femenina al integrarse en la población productiva y exponerse a pustancias carcinógenas industriales y también por el consumo del cigarrillo.

Las alternativas actuales de derivación urinaria la población femenina son las mismas que en el flombre, esto se debe en parte a la mejor comprensión de los mecanismos esfinterianos de la uretra femenina y el conocer que el riesgo de recidiva en la uretra es noco probable cuando no hay compromiso del cuello de la vejiga.

Palabras claves: Incidencia, carcinoma, vejiga.

Introducción

La incidencia del carcinoma de vejiga en la prodeción femenina aumenta considerablemente, esto del 20 a la exposición de sustancias carcinógenas especialmente el cigarrillo.

Mace una década atrás las alternativas disponibles para sealizar una derivación urinaria posterior a la cisó ciomía radical en la mujer consistía en utilizar un seas amo intestinal aislado, sea este fleon o colon y en el treja rela los casos se realizaba un reservorio continente con un estoma cutáneo cateterizable.

Corre - ordencia y separatas: Dr. Nico Carbitz Scheibe

Dr. Mich. Carbitz Scheibe. Service. In Urología

AV Prdn. Jenéndez Gilbert

Av Pedro Henéndez Gilbert Odla, Ar Huana

Telfs., 24,468 - 281042 PO. Boy (1,-01) 15028 Guayaqui - Zouador

Los des dier de autor de los artículos de la Revista Oncología erfeneces de Sociedad de Lucha contra el Cáncer SOLCA,

de Nacional, Guayaquil - Ecuador

Abstract

The trasitional cells carcinoma is the second neoplasm in frequency within urogenital tractus, their incidence increases in the feminine population to be integrated in the productive population and be exposed to substances industrial carcinogen and also by the consumption of the cigarette.

The current alternatives of urinary tapping in the feminine population are the same that in the man, this it should be in part to the better comprehension of the sphincteral mechanisms of the faminine urethra and upon knowing that the risk of recidivisming in the urethra is little probable when there is no commitment of the neck of the bladder.

Key Words: Incidence, carcinoma, bladder.

Actualmente se conoce mejor el mecanismo de continencia de la uretra femenina, la cual depende de los dos tercios dístales, donde los músculos compresor uretral y el esfínter uretrovaginal, inervados por el nervio pudendo, son los responsables de la continencia femenina⁽¹⁾. Además los estudios de Stenzl y cols. mostraron que cuando el cuello de la vejiga no se encuentra comprometido por tumor el riesgo de recidivas uretrales es poco probable⁽²⁾⁽³⁾.

Ambas afirmaciones han permitido que actualmente se realicen neovejigas orthotópicas en mujeres sometidas a cistectomías radicales, logrando de esta manera mejorar la calidad de vida en este grupo de pacientes.

Derivación urinaria no continente

La primera descripción que se conoce de un segmento intestinal aislado para derivar la orina pertenece a Vérhoogen en 1908 que usaba íleon o colon ascendente, la construcción del conducto ileal fue descrita por primera vez por Seiffert en 1935 pero este carecía de un método eficaz para la recogida de orina, luego en 1950 Bricker describió su técnica y convirtió al asa ileal en un método aceptable para derivar la orina y que en nuestro tiempo se sigue realizando por su sencillez y baja morbilidad⁶⁰, actualmente elegimos esta técnica en pacientes con factores tumorales desfavorables como extensión extravesical o compromiso ganglionar extenso, también en los casos de cistectomías paliativas.

Caso 1.- Paciente femenina de 67 años de edad, con antecedentes de CA in situ Cérvix diagnosticado a los 48 años, tratada con histerectomía simple, en febrero de 1998 se diagnosticó Carcinoma de células transicionales infiltrante de vejiga con un Grado III de diferenciación, la ubicación del tumor fue en el hemitrígono lado derecho y pared posterior. Se realizó Cistectomía Radical y derivación urinaria no continente tipo Bricker (Fig. 1), recibió quimioterapia M-VAC postoperatoria por compromiso ganglionar, se encuentra en su tercer año de seguimiento sin actividad tumoral, maneja su estoma urinario correctamente y no presenta alteraciones en sus vías urinarias superiores.



Fig. 1

Reservorio Continente

Un reservorio continente es aquel que tiene capacidad para almacenar orina, pero debe ser cateterizado en forma intermitente por un estoma para su vaciamiento, Skinner en 1984 utilizó el principio de la bolsa de ileostomía continente de Kock como reservorio urinario, el cual se sigue utilizando con algunas modificaciones⁽⁵⁾, nosotros preferimos el reservorio ileocecal descrito por el grupo de la Universidad de Indiana en 1984 y que inicialmente lo describió Gilchrist en 1950, el cual utiliza el colon derecho incluyendo el ciego y la válvula ileocecal más 10 cm del fleon terminal, actualmente con la ayuda de la sutura mecánica se reduce notablemente el tiempo en crear el reservorio, la indicación de esta técnica es para pacientes que presentan compromiso tumoral del cuello vesical o la uretra.

Caso 2.- Paciente femenina de 41 años de cdad, en noviembre 1996 se le diagnosticó carcinoma de células transicionales superficial de vejiga GIII asociado a CA. In situ multicéntrico, se realizó inicialmente RTU del tumor mas tratamiento con BCG intravesical, en los controles a los tres meses presentó recaída tumoral por lo que se realizó Cistectomía radical mas histerectomía total se realizó derivación urinaria continente tipo Indiana (Fig.2), el estadio tumoral postoperatorio fue PT2 N0 M0 GIII mas carcinoma in situ multicéntrico, no se realizó tratamiento adyuvante postoperatorio, la paciente está en su cuarto año de control postoperatorio sin actividad tumoral, maneja su reservorio con cateterismo intermitente cada 4 horas en el día y una vez en la noche.



Fig. 2

Neovejiga orthotópica

Esta técnica anteriormente utilizada únicamente en hombres, actualmente es aplicada en mujeres, debido a que se conoce hoy en día mejor su mecanismo esfinteriano y no se compromete su manejo oncológico. Se han descrito muchas técnicas utilizando intestino delgado, colon sigmoides incluso estómago, nuestra experiencia es exclusivamente con vejiga ileales utilizando la técnica de Reddy o Studer⁶⁰, generalmente las pacientes son continentes y logran vaciar su vejiga relajando el piso pélvico y comprimiendo el abdomen.

Caso 3.- Paciente femenina de 52 años, en noviembre de 1995 se le diagnostica Carcinoma transicional de vejiga infiltrante GII asociado a Ca in situ multicéntrico. Se realizó cistectomía radical mas histerosalpingooforectomía bilateral y se realizó Neovejiga ileal orthotópica en T (Fig.3). La paciente se encuentra en su quinto año de seguimiento libre de enfermedad, presenta una ectasia ureteropielica bilateral que no ha progresado, su función genal está dentro de límites normales y no ha presentado ningún evento de pielonefritis, la capacidad de su vejiga es de 800 cc. Se la mantiene con cateterismo dos veces al día y micciones espontáneas cada 4 horas.

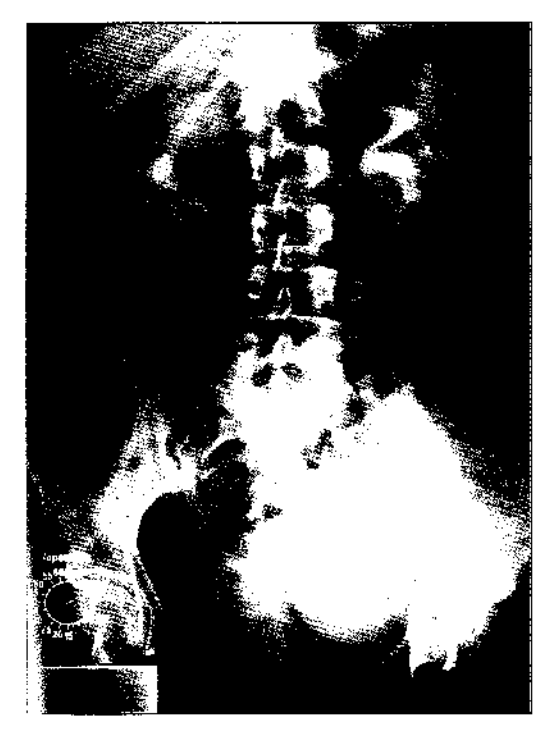


Fig. 3

Conclusiones

de se, ladividualizado, tomando en cuenta la expectativa de vide, destreza manual y extensión tumoral. El Urólogo debe de estar capacitado en todas las técnicas de derivación; a pesar que el asa ileal es una técnica de fácil

realización y baja morbilidad no es la que ofrece mejor calidad de vida, por lo que actualmente preferimos las derivaciones continentes y en especial las vejigas orthotópicas. Existen tres criterios importantes a tomar en cuenta al elegir esta técnica:

- El mecanismo esfinteriano externo debe de ser conservado para permitir la continencia y la micción voluntaria por la uretra.
- El apoyo uretral y la musculatura del suelo de la pelvis desempeñan un papel importante en el mecanismo de continencia urinaria y deben permanecer intactos.
- La cirugía del cáncer no debe verse comprometida por la sustitución vesical en la anastomosis ureteroentérica, la conservación de la uretra o los márgenes quirúrgicos⁽⁷⁾.

Bibliografía

- Stenzi A, Colleselli K, Poisel S, et al: Rationale and technique of nerve sparing radical cystectomy before and orthotopic neobladder procedure in women. J Urol 154:2044-2049, 1955.
- 2. Stenzl A, Draxl H, Posh B, et al: The risk of urethral tumours in female bladder cancer: Can the urethra be used for orthotopic reconstruction of the lower urinary tract? J Urol 153:950-955, 1995.
- Stein JP, Cote RJ, Freeman JA, et al: Indications for lower urinary tract reconstruction in women after cystectomy for bladder cancer: A pathological review of male cystectomy specimens. J Urol 154:1329,1995.
- 4. Bricker EM: Bladder substitution after pelvic evisceration. Surg Clin North Am 30:1511, 1950.
- Stein JP, Stenzl A, Estrig D, et al: Lower urinary tract reconstruction following cystectomy in women using the Kock ileal reservoir with bilateral ureteroileal uresthomy: Initial clinical experience. J Urol 152:1404, 1994
- Studer UE, Danuser H, Merz VW, et al: Experience in 100 patients with an ileal low pressure bladder substitute combined with an afferent tubular isoperistaltic segment. J Urol 154:49, 1995
- Libertino JA, Smith III JJ, Malone MJ: Utilización del intestino en cirugía urológica. Cli Urol Am 4:933, 1997.

15 - 1390-0116

SOCIEDAD ECUATORIANA DE CIRUGÍA CAPÍTULO DEL GUAYAS

(Primer curso del Milenio)

I CURSO BÁSICO DE CIRUGÍA GENERAL

DIRIGIDO A:

RESIDENTES DE CIRUGÍA DE LOS HOSPITALES **DE GUAYAQUIL:**

> **AUSPICIO:** COLEGIO DE MÉDICOS DEL GUAYAS

AVAL: UNIVERSIDAD DE GUAYAOUIL

> **DURACIÓN: 40 HORAS**

> > LUGAR:

AUDITORIUM GUILLERMO AROSEMENA CORONEL INSTITUTO ONCOLÓGICO NACIONAL **SOLCA - GUAYAOUIL**

> **FECHA:** OCT. 02-20-200

Gammagrafía Renal y de Vías Urinarias en la práctica médica: Valor gínico y Aplicaciones (1).

- Dr. René Cárdenas Valdés (2).
- Rosalia Durán Sarduy (4).
- Tra. Elfa Haro Salvatierra (3). Marcel Pozo Palacios (3).
- Max Gubitz Scheibe (3).
- (1) Servicio de Medicina Nuclear ION-SOLCA
- (2) Jefe de Servicio
- Médicos de Servicio de Medicina Nuclear
- Física del Servicio de Medicina Nuclear

Introducción

La evaluación de la función renal mediante compuestos varcados con radioisótopos data de los años 50's^(1, 2), empleándose una rica variedad de radiofármacos y concedimientos técnicos para la misma a lo largo de estos años, con hitos destacados en la realización a la gammagrafía dinámica renal mediante la cámara gorama, y el uso rutinario del 99mTc-DTPA y del 99mTc-RAG3 en la práctica de la Medicina Nuclear urológica Cabla No. 1). El empleo de la cámara gamma en los vivilios renográficos permitió disponer de imágenes managráficas para la evaluación de cada riñón por erado, mientras el uso de los radiofármacos ""Tc-DTPA To-MAG3 lograba el estudio cuantitativo del filtrado erular (FG) y del flujo plasmático renal efectivo (E) o secreción tubular.

Tabla No. 1 endimientos mediante Radioisótipos empleados camente en la evaluación de la Función renal

	Radiofármaco	Método
	l-131 Iopax	Conteo de orina
	I-131 Diodrast	Renografía
	I-131 Hippuran	Renografía
	I-131 Hippuran	Renografía con Lasix
٠.	Hg-203 Cl2	Función renal individual
	Tc-99m DTPA	Gammagrafía renal, FG
	I-131 Hippuran	FG por muestra única
•	Tc-99m DMSA	Gammagrafía cortical
	I-131 Hippuran	Test de Captopril
	Tc-99m MAG3	Gammagrafía renal

estudios gammagráficos renales dinámicos, tal realiza en años recientes mediante la cámara frecen la habilidad de combinar el examen de la

- encia y separatas:
- rdenas Valdés Medicina Nuclear 'A "Dr. Juan Tanca Marengo"
- Menéndez Gilbert
 - 138 281042 19-01) 15028

chos de autor de los artículos de la Revista Oncología a la Sociedad de Lucha contra el Cáncer SOLCA, nal. Guayaquil - Ecuador

función renal individual de cada rifión, con la anatomía renal, y estudiar la integridad funcional del sistema colector de orina ⁽³⁾. Por otra parte, en el tracto urinario bajo, la cistografía radioisotópica ha mostrado ser útil en la evaluación del reflujo vésico-ureteral, especialmente en niños. La gammagrafía cortical renal es, por otro lado, muy empleada en casos con pielonefritis recurrente, mientras que la gammagrafía escrotal ha jugado un importante rol en el diagnóstico diferencial de la torsión testicular con la orquiepididimitis aguda. En la Tabla 2 se resumen los datos mas importantes aportados por cada proceder radioisotópico renal.

Tabla 2 Técnicas de Gammagrafía Renal más empleadas en la práctica clínica actual.		
Técnica Gammagráfica	Comentarios	
Gammagrafía renal mediante 99m Tc-DTPA	Se obtienen datos sobre perfusión, filtrado glomerular, y drenaje urinario, relativos a cada riñón por separado.	
2) Gammagrafía renal mediante 99mTc-MAG3	Se obtienen datos sobre perfusión. Función tubular y drenaje urinario, relativos a cada riñón por separado	
Gammagrafía renal cortical mediante 99mTc-DMSA	Se obtiene datos sobre la función cortical renal regional, evidenciándose áreas o zonas no captantes (escaras).	

La gammagrafía dinámica renal, tal como se práctica actualmente, comprende la obtención de una serie dinámica gammagráfica rápida durante el primer minuto después de la administración endovenosa del radiofármaco, seguida de la adquisición de otra serie dinámica durante los siguientes 20-30 minutos, siendo los agentes o radiofármacos mas empleados el ^{99m}Tc-DTPA y el ^{99m}Tc-MAG3.

La serie dinámica de la gammagrafía renal es procesada en la computadora de la cámara gamma, obteniéndose imágenes gammagráficas funcionales comprimidas (Imágenes de perfusión, de filtrado glomerular o de secreción tubular, de orina residual y de drenaje urinario), las curvas renográficas clásicas, y datos cuantitativos (Perfusión renal relativa, filtrado glomerular

o secreción tubular, y drenaje de orina). Con toda esta información se evalúa clínicamente el estudio gammagráfico por el especialista en Medicina Nuclear, teniendo siempre muy presente la problemática clínica del paciente.

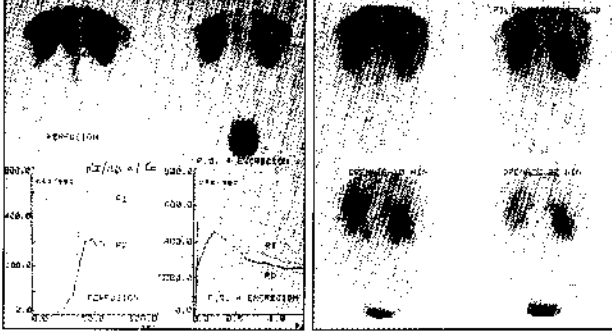
Aplicaciones Clínicas de la Gammagrafia Renal.

Patrón gammagráfico renal en sujetos normales.

El pico del bolo arterial del radiofármaco invectado en una vena periférica alcanza el riñón al cabo de unos 4-6 segundos, visualizándose el contorno de la perfusión renal de manera clara al cabo de 8-20 segundos. En un sujeto normal sin antecedentes de enfermedad renal o hipertensiva, se presenta una distribución similar en cada riñón, así como homogénea y uniforme dentro de cada uno.

Durante la fase vascular de la gammagrafía se visualizan el bazo y en menor intensidad el hígado. Las curvas de primer tránsito o pasaje renal del radiofármaco presentan un "pico" definido de la llegada del bolo a cada riñón, mientras que durante la fase de función cortical el agente radioactivo continúa acumulándose en el glomérulo o el túbuli (Fig. 1a). La corteza renal aparece intensamente captante, homogénea y uniforme, sin apreciarse zonas no captantes o hipocaptantes (Fig 1b). Con cámaras gamma de adecuada resolución, los cálices y pélvis renales son evidenciados como áreas fotopénicas o de baja o ninguna captación inicial del radiofármaco. En la fase de drenaje urinario la estructura de los cálices y las pelvis renales se van llenando paulatinamente con el radiofármaco, decreciendo la actividad renal en los siguientes 15-30 minutos. El uréter normal puede o no ser visualizado en personas normales, dependiendo del flujo mas o menos rápido o lento de orina, y desde luego, de acuerdo al grado de hidratación previa del sujeto. La vejiga es bien visualizada en normales. De la serie dinámica renal se puede extraer la curva renográfica de tránsito del radiofármaco dentro de cada riñón por separado. Esta curva, llamada clásicamente renografía, permite extraer datos cuantitativos tales como: a) perfusión renal relativa para cada riñón, b) filtrado glomerular o función tubular para cada riñón, c) tiempo de "pico", o de máxima actividad en cada lado, así como los tiempos de tránsito en cada riñón, y d) drenaje urinario relativo de cada lado (4.5).

La gammagrafía renal ha sido empleada en los últimos años sobre todo en: 1) Uropatías obstructivas, 2) Infecciones urinarias, 3) Uropatías congénitas, 4) Hipertensión renovascular, y 5) Trasplante renal.



- Curva renográfica de perfusión (primer pasaje), abajo a la izquierda denotando el pico de llegada del bolo del radiofármaco a cada riñón. La curva renográfica en todas sus tres fases se observa en la parte inferior derecha.
- Imágenes gammagráficas de los riñones en la fase vascular (arriba izquierda), de filtrado gromerular, arriba derecha, de drenaje urinario a los 10 min. (abajo izquierda), y a los 20 min. (abajo derecha).

La gammagrafía renal en las uropatías obstructivas.

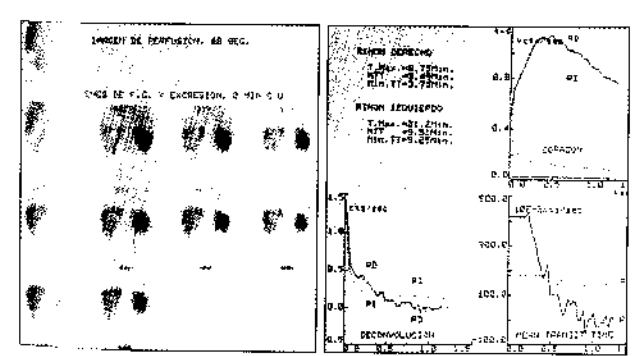
El diagnóstico y tratamiento de la uropatía obsatructiva es un problema importante en urología pediátrica y de adultos. El clínico o urólogo con frecuencia se enfrenta a un paciente con un sistema colector dilatado, debiéndose determinar si hay obstrucción y cual es el grado de la mísma, o si por el contrario se trata de un caso de atonía muscular o una anormalidad estructural del tractus de drenaje urinario. La definición de tal dilema diagnóstico permite realizar la adecuada corrección quirúrgica del caso, y evaluar posteriormente su recuperación funcional Las obstrucciones renales no corregidas quirúrgicamente, pueden presentar evolutivamente infecciones renales recurrentes, y finalmente pérdida de la función renal, hidronefrosis y/o atrofia parenquimatosa. Los cambios funcionales y estructurales renales debidos a la obstrucción pueden ser detenidos y en cierta medida hacerse regresivos después de la intervención quirúrgica, lo que debe ser controlado evolutivamente por el especialista médico.

La urografía de contraste (intravenosa o descendente, IVU), la ultrasonografía renal (USR), no muestran precisión diagnóstica para diferenciar las causas obstructivas o no obstructivas de la hidroureteronefrosis, debido a la superposición de hallazgos radiológicos y ecosonográficos entre ambas condiciones patológicas. La dilatación de vías urinarias, su opacificación demorada y lavaje demorado del contraste radiológico, son los signos fundamentales de obstrucción en la IVU, pero estos signos pueden presentarse también secundariamente a cualquier causa de dilatación del sistema colector urológico.

Por otra parte, si bien la USR es una técnica sensible para detectar hidroureteronefrosis, sin embargo no evalúa la función renal en sus diferentes aspectos. Un aspecto olínico importante en el manejo de casos con uropatía obstructiva se refiere a la evaluación de la función renal residual en riñones hidronefróticos, en los que se evalúa 22 posible extracción quirúrgica, teniendo en estos casos agammagrafía un inestimable valor, superior al de la TU. En estos casos la determinación de la función carenquimatosa residual en riñones hidronefróticos es muy valiosa, lo que se logra de manera elegante mediante gammagrafía (6.7),

En las uropatías obstructivas la gammagrafía renal ocuestra (8); a) uno o ambos riñones aumentados de ात्रवर्तेक, b) cavidades pielocaliciales dilatadas, y en coasiones uréter dilatado también, c) función glomerular ्राज्ञाडervada o dismínuida y d) drenaje urinario lento, con cosis urinario en sistema pielo-calicial y en uréter (Fig. A.A. La curva renográfica muestra en muchas ocasiones estos casos una retención del radiofármaco en la estión de interés trazada (riñón y pelvis renal), que p. hía ser interpretada como obstrucción al drenaje refazirio, pero que puede obedecer también a dilatación pisto-ureteral (Fig 2b). En esta situación el gammagrama no di con sobrecarga diurética es de utilidad (9.10).

El procedimiento de producir una sobrecarga desetica mediante la administración endovenosa de sur succession de la simágenes



Fig,

wie dinámica renal en niño con hidronefrosis pierda, apareciendo dilatado el sistema pielo-calicial ese lado.

curva renográfica muestra retención marcada del llofármaco en RI (superior derecho). Las curvas de nvolución y las de tiempo de tránsito (inferior echo) muestran tiempo de tránsito cortical prolon-ਂ en RI.

gammagráficas renales, es muy usado en la evaluación de la uropatía obstructiva (11) (Fig. 3). En el caso de sistemas colectores dilatados, con estasis de orina debido al efecto de reservorio, la sobrecarga diurética produce una salida mas o menos rápida de la orina con el radiofármaco contenidos en el sistema colector, mientras que en las verdaderas obstrucciones mecánicas del sistema colector. con estrechez luminal, no se produce un aumento del drenaje urinario, sino mas bien se aprecia una prolongada retención de la orina con el trazador, próximal al sitio de la obstrucción (Fig. 4). El procedimiento de la gammagrafía con sobrecarga diurética requiere que la función renal se





- Serie dinámica renal en niño con hidronefrosis bilateral, mostrando las imágenes retención de orina en ambas pelvis renales, indicando síndrome de la unión del RD y probablemente del izquierdo.
- Esquema que muestra la apariencia del renograma en la hidronefrosis: A) normal, B) y C) retención urinaria creciente, D) y E) obstrucción completa.

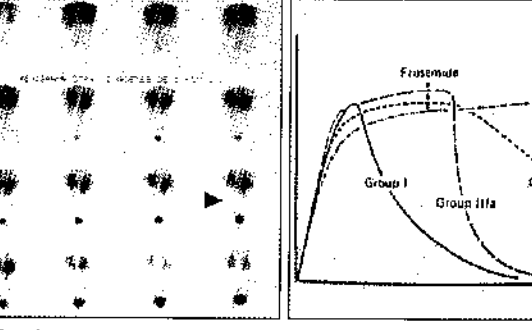


Fig. 4

- Serie dinámica renal en paciente con obstrucción de vías excretoras del lado derecho, que responde a la sobrecarga diurética, que se administró en el momento que indica la flecha.
- Esquema que muestra la respuesta de la curva renográfica a la sobrecarga diurética:

Grupo I: respuesta normal. Grupo II: sin respuesta a la sobrecarga diurética, obstrucción total.

Grupo IIIa: respuesta completa a la sobrecarga diurética, dilatación de vías excretoras,

Grupo IIIb: respuesta parcial a la sobrecarga diurética, obstrucción parcial.

mantenga en un nivel adecuado, para producir una suficiente diuresis adicional. El análisis habitual de la curva renográfica con sobrecarga diurética incluye la determinación del tiempo de semivaciamiento $(T_{1/2})$ de la colección de orina en el tractus renal (Tiempo en que se drena la mitad de la orina colectada en el tractus renal: cálices, pelvis renal y uréter): $T_{1/2}$ de menos de 10 minutos es considerado como expresión de ausencia de obstrucción mecánica significativa, mientras que $T_{1/2}$ de mas de 20 minutos es consistente con obstrucción mecánica importante. Valores de $T_{1/2}$ de 10-20 minutos es considerado como respuesta indeterminada, sin poderse precisar con este proceder la presencia o no de obstrucción mecánica.

Las uropatías obstructivas mas frecuentemente estudiadas mediante gammagrafía renal se presentan en la Tabla No. 3. El problema clínico al que mas frecuentemente se aplica el estudio mediante gammagrafía renal es la obstrucción de la unión urétero-pélvica. La sensibilidad de la gammagrafía renal con sobrecarga diurética se ha reportado entre 60 y 90% para establecer la presencia de obstrucción mecánica significativa, existiendo consenso en que una gammagrafía renal positiva para obstrucción mecánica eliminaría la necesidad de ulteriores procedimientos invasivos diagnósticos o de control evolutivo.

Tabla No. 3 Condiciones Urológicas estudiadas mediante Gammagrafía Renal con sobrecarga diurética.

- 1. Obstrucciones de la unión urétero-pélvica.
- 2. Megaureter:
 - Obstructivo
 - No obstructivo
- Reflujo vésico-ureteral.
- Riñones en herradura.
- Riñones poliquísticos.
- 5. Doble sistema colector.
- 6. Síndrome prune belly.7. Ureterocele ectópico.
- 8. Complicaciones del trasplante renal.
- 9. Valvas uretrales.
- 10. Injuria ureteral.
- 11. En el postoperatorio de:
 - Pieloplastia
 - · Reimplantación ureteral
 - Derivación urinaria

Aunque la gammagrafía renal con sobrecarga diurética es habitualmente usada para diferenciar condiciones obstructivas de no obstructivas, se emplea también para determinar la importancia funcional de una obstrucción parcial conocida, como es el caso de los tumores pelvianos (cérvix, próstata). Una obstrucción severa puede causar, en el plazo largo o mediano, daño

parenquimatoso renal y pérdida de la función renal, mientras que una obstrucción de bajo grado causaría solamente dilatación de vías excretoras, con poco o ningún efecto sobre la función renal. De esta forma, el gammagrama renal con sobrecarga diurética podría determinar la indicación de una intervención agresiva terapéutica (cirugía, stent).

Un riñón que muestra ausencia significativa de drenaje urinario después de la sobrecarga diurética, indicando un grado severo de obstrucción mecánica, presentará deterioro progresivo de la función renal si no se corrige el defecto mediante intervención quirúrgica, mientras que un riñón cuyo sistema colector presente drenaje urinario tras la sobrecarga diurética usualmente mantendrá una función conservada evolutivamente. Las obstrucciones parciales requieren de controles gammagráficos periódicos para monitorear la evolución del proceso obstructivo.

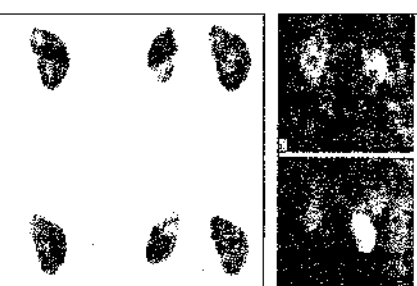
La gammagrafía renal en las infecciones urinarias.

El diagnóstico diferencial entre infecciones del tractus urinario alto o bajo puede ser difícil en ocasiones, puesto que los síntomas y signos son a menudo indistinguibles entre sí. Las complicaciones evolutivas en el largo plazo, y las implicaciones terapéuticas, para las infecciones parenquimatosas renales, son muy diferentes de las correspondientes a las infecciones del tractus urinario bajo. Especialmente las escaras o cicatrices de la corteza renal pueden conducir a insuficiencia renal o a hipertensión arterial.

En el pasado, el método estándar para estudiar las pielonefritis y escaras renales fue la IVU, basándose en esta técnica la mayoría de los datos epidemiológicos sobre la incidencia de la pielonefritis aguda y sus secuelas (escaras renales, hipertensión, insuficiencia renal). Sin embargo, desde mediados de la década de los años '80, los estudios publicados han demostrado la superioridad de la gammagrafía renal cortical para detectar la pielonefritis aguda y las escaras renales, cuando se la compara con la IVU y el USR (12, 13).

La pielonefritis es el resultado del reflujo vésicourétero-pélvico de orina infectada, resultando afectada una o varias porciones de la corteza renal, en uno o ambos lados. Los episodios repetitivos de infecciones renales pueden ocurrir si esta condición no es pronta y apropiadamente tratada. En las áreas de inflamación cortical renal aguda, la micro-circulación renal se encuentra alterada debido al edema intersticial, produciéndose compresión de los glomérulos, de los pequeños capilares peritubulares y de los vasos rectos. Estos datos fisiopatológicos del proceso infeccioso renal con importantes para comprender la sensibilidad de la gammagrafía renal cortical.

La gammagrafía renal cortical (14,15) muestra el doble defectos corticales renales que el USR, y cuatro veces defectos que el IVU, en casos de infecciones renales, gor lo que sería una técnica mas apropiada por su sansibilidad y capacidad de evaluar la extensión del proceso infeccioso (Fig. 5). El patrón gammagráfico escalarenal en la pielonefritis puede mostrar una lesión o sical solitaria en un riñón, defectos corticales múltiples, tallaterales o bilaterales, o una lesión difusa comprome-Bando todo un riñón. Un estudio gammagráfico de sommiento puede realizarse 3-6 meses después del refecció agudo, para determinar la presencia de escaras and duales, de mal pronóstico en estos casos. Las zonas conficales no captantes a la gammagrafía se explican resignte dos mecanismos: 1) la disminución de la reación es debida al flujo sanguíneo disminuido en la con inflamatoria séptica, y 2) los productos tóxicos de la Volo granulocítica producirían una parálisis del transporte accidar responsable de la localización tubular del - ∃ ∃ármaco ^{αω}.



Se tra festran defectos (escaras) corticales en dos niños con importantes urinarias recurrentes, proyectándose las imágina la iluminación normal y contrastada para visualizar propositios defectos gammagráficos.

: :::magrafía en el trasplante renal.

métodos radioisotópicos han sido aplicados
commente en la evaluación del riñón trasplantado com
concedimiento no es invasivo y de fácil realización
con concedimiento no es invasivo y de fácil realización
con concedimiento no es invasivo y de fácil realización
con concedimiento no es invasivo y de fácil realización
con concedimiento no es invasivo y de fácil realización
con concedimiento no es invasivo y de fácil realización
con concedimiento no es invasivo y de fácil realización
con concedimiento no es invasivo y de fácil realización
con concedimiento no es invasivo y de fácil realización
con concedimiento no es invasivo y de fácil realización
con concedimiento no es invasivo y de fácil realización
con concedimiento no es invasivo y de fácil realización
con concedimiento no es invasivo y de fácil realización
con concedimiento no es invasivo y de fácil realización
con concedimiento no es invasivo y de fácil realización
con concedimiento no es invasivo y de fácil realización
con concedimiento no es invasivo y de fácil realización
con concedimiento no es invasivo y de fácil realización
con concedimiento no es invasivo y de fácil realización
con concedimiento no es invasivo y de fácil realización
con concedimiento no es invasivo y de fácil realización
con concedimiento no es invasivo y de fácil realización
con concedimiento no es invasivo y de fácil realización
con concedimiento no es invasivo y de fácil realización
con concedimiento no es invasivo y de fácil realización
con concedimiento no es invasivo y de fácil realización
con concedimiento no es invasivo y de fácil realización
con concedimiento no es invasivo y de fácil realización
con concedimiento no es invasivo y de fácil realización
con concedimiento no es invasivo y de fácil realización
con concedimiento no es invasivo y de fácil realización
con concedimiento no es invasivo y de fácil realización
con concedimiento no es invasivo y de fácil realización
con concedimiento no es invasivo y de fácil realización
con concedimiento no es invasivo y de fácil realiz

que de donantes cadáveres. En la práctica solo 1 de cada tres trasplantes renales provienen de donantes vivos familiares del paciente. La mayoría provienen de cadáveres muertos por accidentes. La sobrevida del trasplante renal es en general de 86% para HLA compatibles, 82% para riñones de donantes vivos familiares y 56% para riñones de cadáveres. El tiempo transcurrido después del trasplante es un factor primordial para decidir que procedimiento de medicina nuclear debe emplearse en la evaluación de las complicaciones.

Tabla 4 Complicaciones del Ttransplante Renal.		
Complicaciones	Etapa post-trasplante	e Comentarios
Necrosis tubular aguda Rechazo:	Minutos a horas	En el riñón de cadáver
Hiperagudo	Minutos a horas irreversible	Anticuerpos preforados,
Acelerado	1-5 días	Después de trasplante previo o transfusiones
Agudo	Después de 5 días. Más comúnmente antes de los tres meses	Mediado por células; responde al tratamiento
Crónico	Meses a años	Humoral; irreversible
Toxicidad a ciclosporina	Meses	Reversible después de la suspensión de la droga
Complicaciones quirúrgi	eas:	
Fístula urinaria	Días o semanas	
Hematoma	A los primeros pocos días	
Infección de la herida	A los primeros pocos días	
Obstrucción ureteral	Días, meses, años	Coágulos,, escaras, cálculos
Linfocele	2do al 4to mes	
Estenosis de arteria renal	Después del 1er mes	5

La necrosis tubular aguda (NTA), frecuentes en los riñones de donantes cadáveres, se caracteriza gammagráficamente por una perfusión renal bien conservada, pero con pobre función cortical (Filtrado glomerular o función tubular, flujo plasmático renal efectivo: FPRE) y disminución de la excreción de orina, aunque en casos severos no hay producción de orina. Estos hallazgos se presentan usualmente en el estudio gammagráfico basal realizado en el paciente a las 24 horas del injerto renal (18). El daño isquémico se resuelve usualmente en 1-3 semanas, retornando a la normalidad la función y la excreción urinaria renal. La severidad del la NTA varía considerablemente entre diferentes pacientes, sin olvidar que esta complicación puede superponerse a otras complicaciones del trasplante renal.

El rechazo hiperagudo se refiere a una reacción inmediata debido a la presencia en el paciente de

Vol. 10 • N* 3. Jul.- Sep. 2000 €

The.

anticuerpos preformados. En estos casos un cirujano perspicaz reconoce la reacción de rechazo renal inmediata, al tornarse azulado el órgano trasplantado, inmediatamente después de su vascularización. En esta complicación usualmente hay un dano irreversible del órgano trasplantado, con presencia de trombosis de la vasculatura renal. La gammagrafía renal en el rechazo hiperagudo presenta ausencia de perfusión del riñón trasplantado, que además no presenta evidencias de función. El riñón aparece como un área "fotopénica" rodeado de alta actividad perirenal, debido a la inflamación y edema alrededor del órgano trasplantado. Este patrón gammagráfico es similar al observado en la trombosis aguda arterial o venosa renal.

El rechazo agudo puede ocurrir en 5-7 días después del trasplante, y es mas frecuentemente diagnosticada antes de los 3 meses del trasplante. Es un proceso inmunológico mediado por células, manifestándose con síntomas tales como fiebre, dolor y aumento del órgano trasplantado. El progreso del rechazo agudo conduce a la muerte del riñón trasplantado, debido a daño irreversible La gammagrafía renal en la evaluación de la hipertensión vascular y tubular. El rechazo agudo acelerado ocurre frecuentemente en un paciente sensibilizado por trasplantes o transfusiones sanguíneas previas. El patrón gammagráfico del rechazo agudo es una disminución de la perfusión del órgano trasplantado. El primer pasaje del radiofármaco muestra rápida concentración del mismo en el riñón trasplantado "normal" al cabo de 1 minuto, mientras que la concentración inicial del radiofármaco se atenúa notablemente en el riñón con rechazo agudo. En estos casos sería conveniente disponer, con propósitos comparativos, de un estudio renográfico basal realizado en el paciente antes del quinto día post-trasplante. En el rechazo agudo el filtrado glomerular y la función tubular están disminuidas, así como la excreción de orina. En casos de rechazo agudo la tendencia evolutiva gammagráfica muestra disminución mas o menos rápida de la perfusión y función renal, mientras que en la necrosis tubular aguda estos datos tienden a mejorar en el curso de 1-2 semanas.

El rechazo renal crónico es un fenómeno que ocurre meses o años después del trasplante. Presenta un curso insidioso, con deterioro gradual de la función del órgano trasplantado, siendo un fenómeno de rechazo mediado humoralmente. Tanto la perfusión como el filtrado glomerular y la función tubular disminuyen gradualmente.

Una variedad de *complicaciones* quirúrgicas pueden ser detectadas gammagraficamente. La fístula renal,

secundaria a necrosis de la anastómosis urcteral, puede ocurrir en el período postoperatorio inmediato. Dependiendo de la cuantía de orina que fluve por la fístula, esta puede ser detectada por gammagrafía en pocos minutos, o en el curso de 1-2 horas cuando el flujo es lento, pero en ambos casos una zona "fotopénica" inicial delata la presencia del urinoma. Los hematomas pueden ser vistos en el lecho del riñón trasplantado, y reconocidos así mismo como zonas "fotopénicas". Otra causa de zonas "fotopénicas" son los linfoceles, que ocurren mas comúnmente a los 2-3 meses de la operación, y que aunque ocurren en un 10% de los casos, sin embargo son clínicamente importantes solo en casos de desplazamiento importante del riñón trasplantado. La obstrucción ureteral puede ser ocasionada por compresión extrínseca de masas tales como hematomas, linfoceles, o por obstrucción endoluminal debida a coágulos sanguíneos. La estenosis de la arteria del riñón trasplantado puede ser sospechada en casos que desarrollen hipertensión postoperatoria, siendo de ayuda la gammagrafía renal mediante captopril.

La hipertensión es un problema clínico frecuente que afecta a la quinta parte de la población de los países desarrollados. En más de un 90% de los pacientes no se identifíca una causa etiológica, por lo que es catalogada como "hipertensión esencial", aunque en una pequeña proporción de estos casos la hipertensión es debida a una coartación o estenosis de una arteria renal, lo que puede ser curado totalmente. La hipertensión renovascular se refiere por ello a la hipertensión causada por la hipoperfusión renal ocasionada por un vaso renal arterial que presenta una estenosis. El proceso de estenosis de una arteria renal puede, sin embargo, no producir suficiente hipoperfusión renal como para provocar la cadena de fenómenos fisiopatológicos que desencadenan la hipertensión renovascular. Dentro de un grupo seleccionado de pacientes a los que se somete a estudio de hipertensión renovascular, se detecta efectivamente este proceso en 2-4% de ellos. La estenosis de una arteria renal, y la consiguiente disminución de la perfusión del riñón afectado, produce una secreción aumentada de renina, la que es responsable de la hipertensión que se produce en el sujeto. Por otro lado, aunque se reconocen dos grandes causas de estenosis de la arteria renal, ateroesclerosis y displasia fibromuscular, está indicada cualquier forma de restauración de la función reno-arterial, entendiéndose que mientras mas temprana la intervención mas oportunidades de curación tendrá el paciente.

Test diagnósticos en la hipertensión renovascular.

La historia clínica del paciente y el examen físico, son muy importantes para la selección de pacientes con alta posibilidad para hipertensión renovascular. Estos factores incluyen la reciente aparición de hipertensión y sa rápido curso evolutivo, hipertensión refractaria a toda verapia, enfermedad vascular sistémica generalizada, molestias abdominales, entre otras. Sin embargo, estos criterios selectivos diagnósticos son lejos de ser específicos, lo que no sería suficiente para indicar una angiografía de la arteria renal, procedimiento invasivo. Se ha utilizado extensamente la renografía gammagráfica mediante la administración de captopril, como medio de diferenciar la hipertensión arterial esencial de la renovascular (19).

La gammagrafía renal con test de captopril.

La relación estrecha entre la acumulación parenquimatosa genal del radiofármaco y el flujo renal de cada riñón forma la base del enfoque diagnóstico del test de captopril mediante gammagrafía (20, 21). Aunque la fasc vascular de la gammagrafía renal, mediante el estudio de la grimera fase renográfica o primer pasaje renal pueden mostrar disminución de la perfusión en casos de hipertensión ≈ oovascular, sin embargo este dato no presenta alta sonsibilidad, por lo que la segunda fase gammagráfica, o fisse funcional, tiene mas valor diagnóstico en estos c. sos. En casos de hipertensión renovascular por estenosis renal unilateral, en la gammagrafía renal se encuentra una función disminuida y aplanamiento de la curva renográfica del lado afectado, alteración que, sin embargo, no es essecífica de estenosis de la arteria renal (22).

El procedimiento usual gammagráfico para estudiar padentes con sospecha de hipertensión renovascular es el de realizar un estudio basal, previa suspensión de toda medicación anti-hipertensiva, y dos horas después administrar al enfermo una dosis oral de 50 mg de captopril, evaluándose la caída de la presión arterial. Una hora después de administrado el medicamento se procede a realizar el segundo estudio gammagráfico, bajo el efecto farmacológico del fármaco. Durante todo el procedimiento se registran los cambios ocurridos a las cifras de tensión arterial antes y después de la administración del captopril.

Il filtrado glomerular está gobernado principalmenta por la presión sanguínea en las arteriolas renales finalità pre-glomerulares. La estenosis renal produce una caido de la presión distal arterial, con disminución del fluje panguíneo en el territorio de la arteria estenótica y

la consiguiente disminución del filtrado glomerular. La respuesta compensatoria renal es la liberación yuxtaglomerular de renina, que convierte el angiotensinógeno hepático en angiotensina I, siendo esta última convertida a angiotensina II en los pulmones mediante la enzima convertidora de angiotensina (ECA). La angiotensina II es una potente sustancia vasoconstrictora, lo que eleva considerablemente la presión arterial del paciente, pero preserva el fluio sanguíneo del riñón con la arteria estenosada. El captopril es un inhibidor de la enzima convertidora de la angiotensina I en angiotensina II. evitando el efecto hipertensor del proceso. Al suministrarse captopril a un paciente con hipertensión renovascular la resistencia vascular post-glomerular disminuye, así como la fuerza transcapilar que mantiene el filtrado glomerular. por lo que este último parámetro disminuye en riñones con estenosis de la arteria renal, apreciándose así mismo prolongación del tiempo de "pico" del renograma. dilatación del tiempo de tránsito renal del radiofármaco, y retención cortical. Sin embargo el captopril no tiene efecto sobre la primera fase (vascular) del renograma.

En pacientes con hipertensión renovascular la curva renográfica aparece aplanada y con menos pronunciado drenaje urinario en el riñón afectado, así como disminución relativa del filtrado glomerular del mismo lado patológico. El pico del renograma en el riñón enfermo se presenta demorado o prolongado, y la fase de drenaje muestra una apariencia cóncava. No obstante, los hallazgos anteriores, encontrados muchas veces en el estudio gammagráfico renal basal en pacientes con hipertensión renovascular, no son específicos. La precisión diagnóstica de la gammagrafía renal en condiciones basales es solo ligeramente superior a la del urograma descendente en hipertensos.

Se ha reportado sensibilidad alta de más de 90 % y especificidad de más de 95 % para el test de captopril. Los resultados falsos positivos son extremadamente raros, pero el test disminuye su eficacia diagnóstica en riñones pobremente funcionantes.

La gammagrafía de vías urinarias en la evaluación del refluio vésico-ureteral. Cistografía radioisotópica.

La Cistografía radioisotópica fue introducida desde fines de los años 50's para diagnosticar el reflujo vésicoureteral, y su aceptación ha sido creciente en el manejo de niños con infecciones urinarias y reflujo. El método radioisotópico es mas sensible que la Cistografía de contraste para detectar el reflujo y su procedimiento expone considerablemente menos al niño a las radiaciones ionizantes (23, 24).

Oncología • 157

SSN 1390-0110

El reflujo vésico-ureteral y las infecciones urinarias no tratadas o mal manejadas con tratamientos inadecuados, se asocian subsecuentemente con daño renal, escaras, hipertensión e insuficiencia renal crónica. El reflujo vésicoureteral es producido una falla de las valvas uréterovesicales. El uréter normal pasa oblicuamente a través de la pared de la veiiga hasta su apertura en el trigono vesical. A medida que la vejiga se va llenando de orina la valva urétero-vesical se cierra pasivamente, previniendo el reflujo de orina hacia el uréter. Si la longitud intramural del uréter es muy corta en comparación con su diámetro, o si su curso intramural es muy directo o menos oblicuo, la valva no se cerrará completamente, resultando en un cierto grado de reflujo vésico-urcteral. A medida que el niño crece, el uréter crece también en longitud mas que en su diámetro, produciendo una disminución del reflujo y su eventual solución espontánea en el 80% de los pacientes.

Los pacientes con reflujos severos presentan mas frecuentemente daño renal, puesto que en estos casos el reflujo se acompaña de reflujo de orina infectada. El objetivo de la terapia en pacientes con reflujo ligero es prevenir la infección renal mientras el propio reflujo se resuelve espontáneamente.

Se han usado dos tipos de Cistografía radioisotópica: la directa y la indirecta⁽²⁵⁾. La Cistografía radioisotópica indirecta se realiza como parte final de la gammagrafía renal mediante 99mTc-DTPA o MAG3. Al niño o a la madre se les instruye para evitar que el niño no vacíe la vejiga hasta tanto su Ilenado sea máximo. Cuando la vejiga llega al máximo tolerado por el niño, se realiza una imagen estática pre-micción, realizándose entonces una adquisición dinámica mientras se produce la micción. Después de terminada esta se adquiere una nueva imagen estática de la post-micción. El método de la Cistografía radioisotópica indirecta no es sin embargo comúnmente usado, puesto que el estasis urinario del tractus superior usualmente introduce un problema interpretativo en las imágenes.

La Cistografía radioisotópica directa es la técnica mas comúnmente empleada, siendo usualmente realizada mediante un procedimiento de tres fases, con monitoreo continuo durante el llenado de la vejiga, durante la micción y en la post-micción. Este proceder puede determinar la presencia o ausencia de reflujo vésico-ureteral, su grado, y medir la orina residual post-micción en veiliga.

En una Cistografía radioisotópica normal no se debe visualizar presencia del radiotrazador en la región de los uréteres, por lo que cualquier reflujo puede ser visualizado

fácilmente al observar la presencia del radiofármaco por encima de la región de la vejiga. El grado del reflujo puede ser catalogado de la misma forma que en la Cistografía de contraste (Tabla No. 5), aunque debido a la menor resolución de la gammagrafía los detalles anatómicos de la pelvis renal y los cálices no permiten una precisión tal como se obtiene en la urografía descendente, por lo que los estadios del reflujo mediante Cistografía radioisotópica tienden a ser catalogados de la siguiente manera: 1) Refluio mínimo: cuando alcanza solamente la mitad inferior del uréter. 2) Reflujo mínimo a moderado: cuando alcanza la mitad superior del uréter, 3) Reflujo moderado: cuando alcanza el sistema pielo-calicial, y 4) Reflujo severo: cuando se aprecia un sistema colector distendido o un uréter redundante.

Tabla 5

Grados de reflujo vésico-uretrel mediante la cistografía de contraste (International Reflux Study Comittee):

- Grado I Reflujo vésico-ureteral solamente
- Grado II El reflujo alcanza el uréter, la pelvis renal y los cálices. No hay dilatación ureteral ni de cálices
- Grado III Reflujo vésico ureteral con dilatación moderada y tortuosidad de uréter y dilatación de pelvis renal, pero sin que los fornix estén borrados.
- Grado IV Reflujo con moderada dilatación y tortuosidad del uréter y moderada dilatación de pelvis renal. Los ángulos de los fornix están obliterados, pero se mantienen las impresiones de las papilas.
- Grado V -Refluio con gran dilatación y tortuosidad del uréter y gran dilatación de la pelvis renal y cálices, con pérdida de las impresiones papilares.

El volumen de la vejiga y el volumen residual post-micción pueden ser calculados, midiendo los cambios del conteo en el ROI vesical antes y después de la micción, y relacionándolos con el volumen de orina de la micción.

La Cistografía radioisotópica presenta mayor sensibilidad que la Cistografía de contraste para la determinación del reflujo vésico-ureteral y su grado. Esta técnica radioisotópica permite determinar volúmenes de reflujo de hasta 1 ml.

La gammagrafía de testículos.

La gammagrafía ha venido siendo usada para diagnosticar el dolor agudo escrotal o testicular. Su utilidad descansa en la habilidad para diferenciar la torsión testicular aguda de las inflamaciones agudas del epidídimo (26, 27).

La viabilidad del testículo después de la torsión del cordón espermático depende del tiempo transcurrido desde el comienzo del dolor agudo hasta su reducción -circirgica. La atrofia testicular puede ocurrir tan na roranamente como 4 horas después de la isquemia abido a la torsión del cordón, y es inevitable después de a boras de ocurrido el episodio agudo. Por ello la torsión acticular es una emergencia quirúrgica, y debe ser Assenticada con celeridad. La gammagrafía puede amplirmar prontamente el diagnóstico clínicamente percephado de torsión, diferenciándolo de la epididimitis couds, facilitando con precisión la decisión quirúrgica se puede añadir al estudio un gammagrafía mediante de caso. Puede también minimizar el tiempo necesario acta el diagnóstico, evitando exploraciones innecesarias su calos casos.

1 Doppler a color está siendo usado ahora para and for el dolor agudo escrotal, pero sin embargo no bay estacios comparativos con la gammagrafía. No obstante, para los dolores crónicos o lesiones tumorales crónicas del escroto la ecografía es el método diagnóstico de imezen de elección.

les anormalidades del desarrollo y descenso del tespicalo y sus anexos, predisponen la aparición de torsi a del cordón espermático. La mas frecuente de esto mormalidades es la situación en la que la túnica vas malis rodea completamente el testículo, epidídimo y el condón espermático, impidiendo el normal anclaje pos segr e inferior del testículo, por lo que el testículo y el gosaete vascular del cordón están suspendidos libraciente. Esta anormalidad es usualmente bilateral. El desid do no completamente descendido es también causa frecessite de la torsión del cordón.

les testículos y el escroto presentan suministro sanga 160 separado. Los vasos del cordón espermático que sombnistran sangre a los testículos incluyen: a) la arteria esticular, que nace de la aorta abdominal justo desposa del origen de las arterias renales, b) la arteria deferencial, que surge de la arteria ilíaca interna, y c) la arterio et cremaster, rama de la propia arteria deferencial. Por our parte, el escroto recibe el suministro sanguíneo de les caterias femoral e ilíaca interna, vía las arterias pudendo superficial, externa e interna. Este suministro sange so separado del testículo y el escroto pueden a veces and distinguidos por gammagrafía.

Tc-pertecnetato es usado para la gammagrafía s, sirviendo como un marcador para el flujo y el pool vascular. La diferencia o desigualdad en ia bución del pertecnetato entre ambos testículos liene. sensibilidad diagnóstica. La inflamación o inte: al como se presenta en las orquiepididimitis,

produce una hiperhemia local e incremento del flujo sanguíneo y del pool sanguíneo vascular, por lo que se evidencia una zona hipercaptante en el lado afectado, mientras, que la isquemia del testículo, ocasionada por la torsión del cordón, se evidencia como una zona fotopénica en dicho testículo.

En algunos casos en que se sospecha un varicosele glóbulos rojos marcados, lo que pone en evidencia la presencia del pool venoso escrotal.

Normalmente, en las imágenes gammagráficas del primer pasaje las arterias ilíacas se deben ver simultáneamente así como simétricas en la cantidad del radiotrazador dentro de ellas y en el decursar del mismo. Poca cantidad del trazador difunde hacia el escroto y testículos, viéndose estas estructuras difusamente captantes.

En la torsión del cordón testicular los hallazgos gammagráficos dependen del tiempo transcurrido desde el comienzo del dolor agudo. En los estudios tempranos, dentro de pocas horas de comienzo del dolor, las imágenes del flujo sanguíneo no muestran asimetría significativa, ni en el cordón espermático, ni en la fase hemiescrotal. En la imagen estatica o planar, se evidencia disminución de la captación del radiofármaco en la región del testículo comprometido. Debe ser enfatizado que el diagnóstico gammagráfico de torsión del cordón no se basa solo en la demostración de una zona isquémica hemiescrotal o testicular, puesto que el reconocimiento de la disminución de la captación hemiescrotal no siempre es fácil, de manera que una gammagrafía escrotal aparentemente normal debe ser tomada como evidencia de torsión del cordón.

En los estudio gammagráficos realizados en etapas tardías después del episodio agudo de torsión del cordón. los hallazgos cambian significativamente, encontrándose aumento de la perfusión en el lado afectado, como resultado del flujo sanguíneo aumentado desde las arterias pudendas, y se puede visualizar en la fase dinámica tardía la hiperhemia del hemiescroto, dentro de la cual se observa el testículo isquémico o fotopénico.

En fases muy tardías de torsión del cordón se aprecia hiperhemia hemiescrotal, un marcado halo hiperhémico rodeando el testículo isquémico, lo que indica una torsión testicular prolongada con probables pocas posibilidades de salvatage del testículo.

La epididimitis y la orquiepididimitis aguda ocurren

y en el more Latino Americano CICH-UNAM Periódica Con el aval de 2a Facultad de Ciencias Médicas de la Universidad de Guayaqui Médicas de la Universidad de Guayaqui

usualmente con el comienzo de la actividad sexual en adolescentes. La gammagrafía muestra en su fase dinámica de primer pasaje un incremento marcado de la captación hemiescrotal, en el cordón espermático. En la imagen estática se aprecia captación difusa marcada hemicscrotal, pero con actividad normal del radiofármaco dentro del testículo.

Bibliografía

- 1. Taplin GV, Meredith OM, Kade H and Winter CC. The radioisotope renogram. J Lab Clin Med, 48:886, 1956.
- Blaufox MD, editor. Evaluation of renal function and disease with radionuclides, ed 2, 1989, S Karger.
- 3. O'Reilly PH, Shields RA and Testa HJ, editors. Nuclear Medicine in Urology and Nephrology, Butterworths, 1986, London.
- Wedeen RP, Balufox MD. The normal radiorenogram. In "Evaluation of Renal Function and Disease with Radionuclides", eds Blaufox MD, Karger, Basel, 20. Dondi M, Tanti S, DeFebritis A. Et al. Prognostic Switzerland, 1989, pp 116-129.
- 5. Chachati A, Meyers A, Gordon JP et al. Rapid method for the measurement of differential renal function: validation. J Nucl Med, 28:829-836, 1987.
- 6. Bitton KE, Nimmon CC, Whitfield HN et al. The evaluation of obstructive nephropathy by means of parenchymal retention functions. In "Radionuclides in Nephrology", eds Hollenberg NK, Lange S, George Thieme, Stuttgart, Germany, 1980, pp 152-154.
- 7. Britton KE, Nawaz MK, Whitfield HN, et al. Obstructive nephropathy: comparison between parenchymal transit time index and frusemide diuresis. British J Urol, 59:127-132, 1987.
- 8. Tauxe WN and Dubovsky EV, editors. Nuclear Medicine in clinical urology and nephrology, Norwalk, Conn, 1985, Appleton-Century-Crofts.
- 9. O'Reilly PH. Diuresis renography 8 years later: an update. Urol, 136:993-999, 1986.
- 10. Thrall JH, Koff SA and Keyes JW Jr. Diuretic radionuclide renography and scintigraphy in the 26. Chen DCP, Holder LE and Melloul M. Radionuclide differential diagnosis of hydroureteronephrosis. Semin Nucl Med, 11:89-103, 1981.
- 11. Conway JJ. "Well-tempered" diuresis renography: its historical development, physiological and technical pitfalls, and standardized technique protocol. Semin Nucl Med, 22:74-84, 1992.
- 12. Eggli DF and Tulchinsky M. Scintigraphic evaluation

- of pediatric urinary tract infection. Semin Nucl Med, 23:199-218, 1993.
- 13. Handmaker H. Nuclear renal imaging in acute pyelonephritis, Semin Nucl Med, 12:246-253, 1982.
- 14. Merrick MV, Uttley MS and Wild SR. The detection of pyelonephritic scarring in children by radioisotope imaging. Brit J Radiol, 53:544-556, 1980.
- 15. Maid M, Rushton HG. Renal cortical scintigraphy in the diagnosis of acute pyelonephritis. Seminars Nucl Med, 22:98-111, 1992.
- 16. Schardijn GHC, Statius van Eps LW, Pauw W, Hoefnagel C and Nooyen WJ. Comparison of reliability of test to distinguish upper from lower urinary tract infection. British Med J, 289::284-287, 1984.
- 17. Kirchner PT and Rosenthall L. Renal transplant evaluation. Semin Nucl Med, 12:370-378, 1982.
- 18. Eshima D, Fritzberg AR and Taylor A. Tc-99m renal tubular function agents: current status. Semin Nucl Med. 20:28-40, 1990.
- 19. Mann SJ, Pickering TG. Detection of renovascular hypertension: state of the art. Ann Intern Med, 117:845-853, 1992.
- value of captopril renal scintigraphy in renovascular hypertension. J Nucl Med, 33:2040-2044, 1992.
- 21. Fommei E, Ghione SS, Hilson AJW et al. Captopril radionuclide test in renovascular hypertension: a European multicenter study. Eur J Nucl Med, 20:617-623, 1993.
- 22. Nally WJ, Chen C, Fine E et al. Diagnostic criteria of renovascular hypertension with captopril renography. Am J Hypertension, 4:749S-752S, 1992.
- 23. Conway JJ, King LR, Belman AB et al. Detection of vesicoureteral reflux with radionuclide cystography: a comparison study with roentgenographic cystography. Am J Roentgenol, 115:720-727, 1972.
- 24. Nasarallah PF, Nara S and Crawford J. Clinical applications of nuclear cystography. J Radiol, 51:550-553, 1982.
- 25. Conway JJ, Belma AB, King LR et al. Direct and indirect radionuclide cystography. J Urol, 113:689-693, 1975.
- scrotal imaging: further experience with 210 patients. Part I and Part II. J Nucl Med, 24:735-742, 841-853, 1983.
- 27. Eggli DF and García JE. Radionuclide imaging of the acute painful scrotum. In Van Nostrand D and Baum S, editors: Atlas of Nuclear Medicine, Philadelphia, 1988, JB Lippincott.

Oncología

Órgano Oficial de Comunicación del ituto Oncológico Nacional "Dr. Juan Tanca Marengo" de la Scaledad de Lucha Contra el Cáncer del Ecuador (ION-SOLCA) Guayaquil, Sede Nacional

Fundada en Julio 30 / 1993



ol. 10 • No 4 • Octubre - Diciembre, 2000

Oncología

		The state of the s	222
Editorial Nuestro Segundo Tomo Our Second Volume Dr. Jaime Sánchez S.	163	Electronterapia Corporal Total en Linfoma Cutáneo. Revisión de Aspectos Clínicos y Técnica de Tratamiento. Total body Electron therapy in cutaneous lymphoma. Review of clinical aspects and treatment technics Drs. María Teresa Espejo Cárdenas, Darío Sarasti Sánchez,	223
Artículos Originales (Original articles) Tumores del Sistema Nervioso Central. Características	165	Gienda Ramos, Juan Carlos Celi. Servicio de Radiotetapia ION-SOLCA, Guayaquil-Ecuador	
Macroscópicas, Microscópicas Diagnóstico Diferencial y Métodos de Inmunohistoquímica. Parte II Tumours of the central nervous system macroscopic and microscopic characteristics, differential diagnosis and immunohystochemical methods part II. Drs. Juan Carlos Pérez Merizalde, Mónica Álvarez Ortiz Servicio de Patología. ION-SOLCA		Tratamientos de Cáncer de Cérvix en el ION (1998-2000) L. Desde el Cobalto-60 Hacia la Braquiterapia Cervical cancer treatment at the ION (1998-2000 From Cobalt 60 to Brachytherapy Dra. Doris Sánchez, Tiga. Med. Angela Espinoza, Drs. Juan Carlos Celi, Robeno Falquez.	233
Midazolam Oral en Visita Preanestésica	177	Casos Clínicos (Clinical Report)	
Oral midazolam in pre anasthetics visit Instituto Oncológico Nacional "Dr. Juan Tanca Marengo" Drs. Olivia de la Torre Terranova, Julio Plaza Rubio,		Adenocarcinoma de Tipo Fetal Bien Diferenciado de Pulmón: Presentación de un Caso Clínico y Revisión	239
Mariana Vallejo Martínez, Moisés Cervantez Departamento de Anestesiología. ION-SOLCA		de la Literatura. Well differentiated fetal adenocarcinoma of the lung:	
Cirugía en el Tratamiento del Cáncer de Lengua	183	Clinical case and review of the literature. Drs. Francisco Ceballos Escala, Maritza Lara Valverde	
Estudio de 10 Años Surgery in the treatment of cancer of the tongue.		Departamento de Oncología Clínica, ION-SOLCA	
A 10 years study Drs. José Ramón Martínez, Juan Carlos Ariosa Arguelles,		Pseudomixoma Peritoneal	245
Julio César Santana Garay. La Habana		Peritoneal Pseudomyxoma Drs. Jorge Valencia Moreira, Holwin Solórzano Morales,	
Radioterapia Profiláctica sobre el Sistema Nervioso Central en pacientes pediátricos con Leucemia	187	Geovanni Gomezcoello Moya, Jaime Sánchez S. Servicio de Cirugía, ION-SOLCA.	
Aguda. Revisión de 5 años. Prophilactic radiotherapy to central nervous system in acute leukemia in pediatric patients. A 5 years review. Drs. Darío Sarasti Sánchez, María Teresa Espejo Cárdenas, Doris Sánchez Soria, Manuel Contreras Rojas Departamento de Radioterapia. ION-SOLCA		Neuroblastoma. Presentación de un caso y revisión de la bibliografía. Servicio de Oncopediatría ION-SOLCA Neuroblastoma. Presentation of one case and review of the bibliography Oncopediatry Service ION SOLCA Drs. Guillermo Paulson, Aníbal Bonilla, Luis Espín,	249
Cáncer de la Laringe	193	Soledad Jiménez. Servicio de Oncopediatría. ION-SOLCA	
Cancer of larynx Drs. José Ramón Díaz Martínez, Iván Cuevas Pérez La Habana, Cuba.		Artículos de Revisión	
	200	(Review articles) Carcinoma anaplásico de tiroides. Conceptos	253
Incidencia del Cáncer Gástrico en Solca Machala Incidence of gastric cancer. Solca Machala	209	tradicionales vigentes y consideraciones de actualidad.	
Drs. Segundo Vargas González, Jorge López Villalta Hospital Oncológico Solca Machala		Anaplastic carcinoma of the thyroid. Traditional concepts and present considerations Dr. José Luis Guerra Mesa	
Estudio Retrospectivo sobre Lesiones Prencoplásicas de Colon desde 1990-2000 en el Servicio de Gastroen- terología del Hospital Juan Tanca Marengo ION-SOLCA	213	Servicio de Cirugía Esplánica, La Habana, Cuba	
de Guayaquil y Revisión de la Literatura		Tesis de Grado	
Retrospective study about preneoplastic lesions of the colon from 1990 - 2000. Gastroenterology Service.		(Doctoral thesis) Biopsia Percutánea de Masas Guiada por Tomografía	263
Hospital Juan Tanca Marengo ION SOLCA.		Helicoideal Correlacionada con Diagnóstico	
Guayaquil. Review of the literature. Drs. Tula Verdezoto Gaibor, Ernesto Paladines Paladines,		Patológico Inmediato por Congelación.	
Francisco Mendoza Jaime, Iván Nieto Orellana, Juan Tanca Campozano. Servicio de Gastroenterología ION-SOLCA		Percutaneous biopsy guided by helicoidal tomography. Correlation with pathological diagnosis by frozen section Drs. Clayreth E. Vinueza García, Segundo J. Arias Martínez	l
Temas de Actualidad		Departamento de Imagenología. ION-SOLCA	
Current Issues	201	Índice de Anuncios	279
Evolución Cronológica de la Laringoscopía Chronological evolution of laryngoscopy	221	Announcement index	
Drs. Rodolfo Arozarena Fundora, Vladimir Tomás Pérez Báez, José Ramón Díaz Martínez, Iván Cuevas Pérez La Habana, Cuba		Índice Acumulativo de todos los Volúmenes de Oncología	281

Editorial

Nuestro Segundo Tomo

: Lime Sánchez S.

279

281

Vol. 10 • N° 4, Oct.- Dic. 20

Dic. 31 2000

Este número coincide con la finalización del segundo tomo de la Revista Oncología, misma que desde entimera publicación en diciembre de 1993 y a lo largo de los 26 números editados ha concitado el interés - la colectividad médica ecuatoriana.

anterior podría explicarse en primer lugar debido a que por su continuidad, periodicidad, en tendo y calidad de los artículos escritos a lo largo de su historia, Oncología se ha ganado un espacio a comunidad científica ecuatoriana, y en segundo lugar por la información oncológica actualizada rimer orden de las experiencias que se realizan tanto en el Instituto Oncológico Nacional de la de Guayaquil, Sede Nacional de Solca así como de los otros centros oncológicos del país y ando, constituyéndose en un obligado instrumento de consulta tanto para el diagnóstico como para el gramiento del cáncer en el Ecuador.

I analizar los trabajos publicados, con satisfacción pudimos valorar alrededor de 40 trabajos rjes provenientes de los Núcleos y Comités de Amigos que Solca tiene en el Ecuador, así como de aíses como España, México, Francia, Brasil, Estados Unidos, Chile, Cuba, Perú, por lo que al or este Volumen tenemos que reconocer que nuestras metas trazadas al inicio se han superado conforme decen los casi 200 artículos originales publicados, con alrededor de 100 casos clínicos reportados, de ellos inéditos, así como los artículos de revisión desarrollados que abarcan temas de enorme acológico. Otro de los logros obtenidos es haber realizado los simposium de neoplasias específicas modalidad de editores invitados tratando temas como: cánceres de pulmón, mama, estómago, gines delgico, enfermedades infecciosas y cáncer, Neuro-Oncología, Onco-Pediatría, Sarcomas de partes blanda y piel, tumores endocrinos, urológicos, etc., los cuales han contribuido ha enriquecer los cono amientos para el tratamiento de enfermedades específicas.

A cortir del volumen 10 se incluyó la publicación de las Tesis de Doctorales previa la obtención del especialidad de los Médicos de post grado que servirán como referencias nacionales por lo inédi. de los mismos.

Escgraciadamente la situación económica que afecta a nuestro país en general y por ende a a fastitutación en particular nos obligó a partir de 1999 reprogramar nuestras publicaciones con mes anuales, pero sin dejar de incluir los simposium de patologías específicas tal como lo venido realizando, esperando poder desarrollar los de Onco Hematología y Linfomas en el prin; a volumen del tomo 3, y continuar con otros como colon, ovario, ORL, etc.

illimo aprovechamos esta oportunidad para renovar nuestro compromiso de continuar con la labor emprendido en el fortalecimiento y desarrollo de la Revista esperando que el próximo año, que con el Cincuentenario de creación de nuestra Institución, Oncología continúe en la senda trazada ble lograr su inclusión en el Index Médicus.



V JORNADAS MÉDICAS DEL INSTITUTO ONCOLÓGICO NACIONAL Nov.-13-2000

TEMAS OFICIALES:

CÁNCER GÁSTRICO CÁNCER COLORECTAL CÁNCER DE CÉRVIX CÁNCER DE MAMA LEUCEMIAS AGUDAS DEL ADULTO LINFOMA NO HODKING

PROFESORES DE:

CUBA ESPAÑA PERÚ U.S.A.

LUGAR:

AUDITORIUM GUILLERMO AROSEMANA CORONEL

INSTITUTO ONCOLÓGICO NACIONAL **SOLCA**

GUAYAQUIL - ECUADOR

Artículos Originales

Timores del Sistema Nervioso Central. Características Macroscópicas. Microscópicas Diagnóstico Diferencial y Métodos de Inmunohistoquímica. Parte II.

Dr. Juan Carlos Pérez Merizalde Dra. Mónica Álvarez Ortiz Departamento de Patología, ION-SOLCA

Abstracto

Tumores del Sistema Nervioso Central constituidos por células de apariencia embrionaria o indiferenciada son de diversa naturaleza. Neoplasias primarias con estas características incluyen méduloblastomas, ependimoolastomas, méduloepiteliomas, neuroblastomas, tumor neuroectodérmico primitivo. Estas proliferaciones usualmente pueden ser identificadas por su presentación elícica, localización topográfica, detalles radiológicos y exemen histológico. Ocasionalmente, sin embargo, microscopía electrónica y análisis inmunohistoquímico pueden ser necesarios. Un recomendado panel de reacentes inmunohistoquímicos para la evaluación de turrores del sistema nervioso central primarias de células embeionarias incluye anticuerpos para proteína gliofibrilar ácioa, proteína S-100, anticuerpo de membrana epitelial. vircentina, queratina, synaptofisina, neurofilamento, neu ofisina, fosfatasa alcalina placentaria. Este artículo revisa las características clínico-patológicas de tales proliferaciones, elabora un planteamiento práctico para su cagnóstico y discute importantes consideraciones en el diagnóstico diferencial.

Palabras Clave: Diagnóstico Neuropatológico.

Introducción

Heoplasias embrionarias o primitivas, comprende un grupo diverso de tumores, compuestos en gran parte por calulas indiferenciadas. Se ha tratado de categorizar las neoplasias embrionarias de acuerdo con sus similares

Correspondencia y Separatas: Dr. Jusa Carlos Pérez Merizalde Servica: de Patología

ION-SCECA "Dr. Juan Tanca Marengo" Av. Pedro Menéndez Gilbert

Cdla, Augrazana Telfs.: 238088 - 281042 P.O. Estr (09-01) 15028 Guaya paii - Ecuador

U Los Grechos de autor de los artículos de la Revista Oncología pertenersin a la Sociedad de Lucha contra el Cáncer SOLCA,

Sede Dissional, Guayaquil - Ecuador

Abstract

Tumours of the central nervous system formed by embryonal or undifferentiated cells of diverse origin. Primary neoplasm with this characteristics includes meduloblastomas, ependimoblastomas, medulocpitheliomas, neuroblastomas, neurocctodermal primary tumor. These proliferations may usually be identified by clinical methods, topography, x ray and histology. In some cases they need electronic microscopy and immuno histochemical analysis. The recommended panel of immuno histochemical reagents in order to evaluate primary embryonal tumours includes: Antibodies for acid gliofibrilar protein, S-100 protein, epithelial membrane antibody, vimentin, keratin, synaptofisin, neurofilament, neurofisin, placental alkaline phosphatase. This paper reviews the special clinical pathologies of this proliferations, makes a practical statement for the diagnosis, and discusses important points in the differential diagnosis.

Key Words: Diagnosis Neuropathology.

estadíos de desarrollo embriológico, sin embargo algunas neoplasias presentan características combinadas, como aquello de embriogénesis aberrante, ocasionando dificultades diagnósticas; en este contexto, es importante recordar, como regla general, que, neoplasias del sistema nervioso central, muestran extensa heterogeneidad en su aspecto histológico, haciendo, muchas veces, virtualmente imposible un diagnóstico exacto o clasificar una lesión neuropatológica con componente indiferenciado.

Por tanto esta clasificación es hecha como una ayuda diagnóstica, sin asumir que estos tumores están relacionados a una célula embrionaria específica o a un específico estadío del desarrollo neural. Pero antes vamos a revisar la clasificación de los Tumores del Sistema Nervioso Central de la Organización Mundial de la Salud, recientemente revisada, con nuevas entidades descritas. que ha generado verdaderos consensos y la aquiescencia de la mayoría de los casos especialistas,

TABLA 1. Clasificación histogenética de los tumores cerebrales (The new WHO classification of brain tumors. Brain Pathol 1993;3:255-268)

1. Tumores de tejido neuroepitelial

- A. Tumores astrocíticos
 - 1. Astrocitoma
 - 2. Astrocitoma anaplásico (maligno)
 - 3. Astrocitoma pilocítico
 - 4. Astrocitoma subependimario de células gigantes (esclerosis tuberosa)
 - 5. Glioblastoma multiforme
 - 6. Xantoastrocitoma pleomórfico
- B. Tumores oligodendrogliales
 - 1. Oligodendroglioma
 - 2. Oligodendroglioma anaplásico (maligno)
- C. Tumores ependimarios
 - 1. Ependimoma
 - 2. Ependimoma anaplásico (maligno)
 - 3. Ependimoma mixopapilar
 - 4. Subependimoma
- D. Gliomas Mixtos
 - «1. Oligoastrocitoma
 - 2. Oligoastrocitoma anaplásico (maligno)
 - 3. Otros
- E. Tumores de los plexos coroideos
 - 1. Papiloma
 - 2. Carcinoma
- F. Tumores neuroepiteliales de origen incierto
 - 1. Astroblastoma
 - 2. Espongioblastoma polar
 - 3. Gliomatosis cerebri
- G. Tumores neuronales y neurogliales mixtos
 - 1. Gangliocitoma
 - 2. Gangliocitoma displásico del cerebelo
 - 3. Ganglioglioma desmoplásico infantil
 - 4. Tumor neuroepitelial disembrioplásico
 - 5. Ganglioglinoma
 - 6. Ganglioglioma anaplásico (maligno)
 - 7. Neurocitoma central
 - 8. Paraganglioma del filum terminal
 - 9. Neuroblastoma olfatorio (estesioneuroblastoma)

- H. Tumores del parénquima pineal
 - 1. Pineocitoma
 - 2. Pineoblastoma
 - 3. Tumores pineales mixtos/transicionales
- Tumores embrionarios
 - 1. Méduloepitelioma
 - 2. Neuroblastoma
 - 3. Ependimoblastoma
 - 4. Tumor neuroectodérmico primitivo (PNETs)
 - a. Méduloblastoma
- II. Tumores de los nervios craneales y raquídeos
 - A. Schannoma
 - B. Neurofribroma
 - C. Sarcoma neurogénico
- III. Tumores de las meninges
 - A. Tumores de células meningoteliales
 - 1. Meningioma
 - 2. Meningioma atípico
 - 3. Meningioma Papilar
 - 4. Meningioma anaplásico (maligno)
 - B. Tumores mesenquimatosos, no menínegeos
 - 1. Tumores osteocartilaginosos
 - 2. Lipomas
 - 3. Histiocitoma fibroso
 - 4. Otros tumores benignos
 - 5. Hemangiopericitoma
 - 6. Condrosarcoma
 - 7. Histiocitoma fibroso maligno
 - 8. Rabdomiosarcoma
 - 9. Sarcomatosis meníngea
 - 10. Otros tumores malignos
 - C. Lesiones melanóticas primarias
 - 1. Melanosis difusa
 - 2. Melanocitoma
 - 3. Melanoma maligno
 - D. Tumores de histogénesis incierta
 - 1. Hemangioblastoma
- VI. Linfomas y neoplasias hematopoiéticas
 - A. Linfomas malignos
 - B. Plasmacitoma
 - C. Sarcoma granulocítico
 - D. Otros
- V. Tumores de células germinales

- A. Germinoma
- B. Carcinoma embrionario
- C. Tumor del seno endodérmico
- D. Coriocarcinoma
- E. Teratoma
 - 1. Inmaduro
 - 2. Maduro
 - 3. Teratoma con transformación maligna
- F. Tumor de células germinales mixtas
- Vi. Lesiones quísticas y formas tumorales
 - A. Quiste de la hendidura de Rathke
 - B. Quiste epidermoide
 - C. Ouiste dermoide
 - D. Quiste coloide
 - E. Quiste neuroglial
 - F. Quiste enterógeno
 - G. Tumor de células granulares (coristoma, pituicitoma)
 - H. Hamartoma neuronal hipotalámico
 - T. Heterotopia glial nasal
 - 3. Granuloma de célula plasmática
- VII. Tumores de la región selar
 - A. Adenoma pituitario
 - 13. Carcinoma pituitario
 - Crancofaringioma
- VIII. Extensiones locales desde tumores regionales
 - ... Paraganglioma
 - ... Cordoma
 - . Condroma/condrosarcoma
 - Carcinoma
 - Otros
- IX. Primores metastásicos
- X. Theores clasificados

Te nores Embrionarios del S.N.C.

- mores de células pequeñas, azules, comúnmente identificados con el sufijo BLASTOMA. Algunos son indife-suciados, otros tienen una arquitectura y patrones
- inmu. Sistoquímicos que los identifica. Así tenemos: 1. MOULOEPITELIOMA: si es prominente el epitelio 11. medular.
- 2. Nº CIROBLASTOMA: Patrón neuroblástico, rosetas 6. Homer Wright, fondo fino fibrilar.
- 3. Pr. NDIMOBLASTOMA: Rosetas ependimoblásticas impos de células indiferenciadas.
- ULOBLASTOMA: Localización característica, ः nodular

La clasificación se basa en criterios de microscopía electrónica, inmunohistoquímica e histológicos.

Méduloepitelioma

Neoplasia compuesta ampliamente o parcialmente por epitelio que recuerda a aquel de tubo neural embrionario.

Características Macroscópicas:

- Tumores gris-bronceados, discretos, sólidos.
- Suaves, modificados por cambios quísticos, hemorrágicos, calcificaciones, fibrosis o en raras ocasiones formación de hueso.

Características Microscópicas:

- Epitelio pseudoestratificado de apariencia primitiva que se dispone en glándulas, túbulos o canales, poco frecuente patrón papilar. Fig. 1
- Activo mitóticamente, membrana basal PAS(+) bien definido, colágeno IV (+).
- Diferenciación no sólo glial y neuronal sino mesenquimática.
- Regiones marcadamente celulares: Abundantes neuroblastos dispuestos en rosetas (Homer Wright)
- Diferenciación astrocítica: Componente astrocítico con procesos radiados. Puede simular un GBM.
- Diferenciación oligodendroglial: Uniformidad nuclear, halos prinucleares.
- Eventual componente mesenquimatoso: Hueso, cartílago, músculo y tejido adiposo.

Inmunohistoquímica:

- GFAP (+) sólo en los elementos gliales.
- Sinaptofisina (-)
- Proteína S-100 (-)



Fig. 1 Méduloepitelioma

Tumor que crea superficies epiteliales semejantes al epitelio medular,

58N 1390-0

Diagnóstico Diferencial

- EPENDIMOBLASTOMA: Las rosetas de este tumor poseen un lumen claro pero carecen de membrana interna y externa así como la relación entre mitosis y la superficie luminal y vacuolas citoplásmicas apicales. Además su elemento celular es pequeño, indiferenciado, conspicuo, lo cual es menos visto en el méduloepitelioma.
- CARCINOMA DE LOS PLEXOS COROIDEOS: este tumor es sobradamente papilar y carece de la diferenciación divergente de los médulos epiteliomas.
- TERATOMA INMADURO: se asemeja sobre todo cuando se incluyen elementos neurocctodérmicos. Los patrones de diferenciación son los tejidos de . apariencia fetal y de otras líneas germinales.

La mayoría de estos pacientes mueren al año de diagnóstico. No es infrecuente la diseminación cerebroespinal. Otras metástasis son raras.

Neuroblastomas o Ganglioneuroblastoma

Neoplasias de células pequeñas con diferenciación neuroblástica.

Características Macroscópicas

- Circunscritos, grisáceos, carnosos.
- Variablemente desmoplásico y quístico.
- Puede haber hemorragia y necrosis.

Neuroblastoma.- Características Microscópicas:

- Fibrilaridad fina interrumpida por sábanas densas de células tumorales dispuestas en rosetas, fascículos o palizadas. Fig. 2
- Rosetas de Homer Wright, zonas anucleares perivasculares. Fig. 3

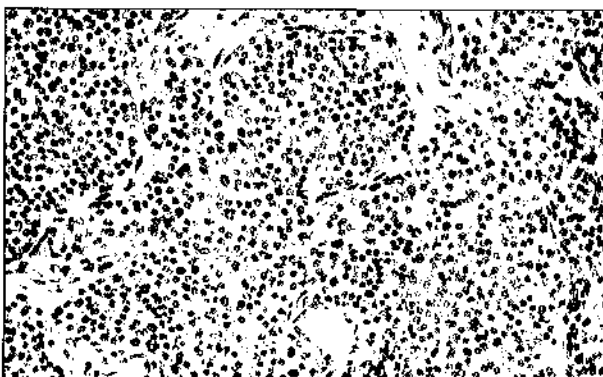
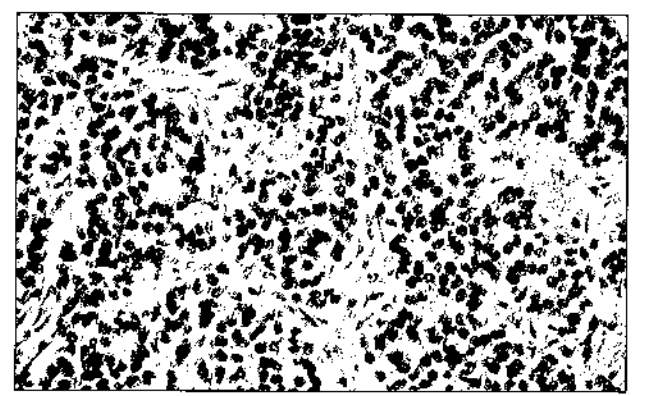


Fig. 2 Neuroblastoma.- Características microscópicas,



- Núcleos de formas, contenido o cromatina y actividad mitónica variables.
- Fibras de colágeno pueden darle un patrón lobular.
- Patrón focal de células ganglionares maduras.

Ganglioneuroblastoma. Características Microscópicas

- Lesiones raras con diferenciación neural amplia.
- Abundan células transicionales entre neuroblastomas y células ganglionares maduras. Fig. 4
- Amplias áreas con gran fibrilaridad, con un componente "salpicado" de células de tipo ganglionar. Las rosetas pueden exhibir lumen, emulando las rosetas de Flexner-Wintersteiner.

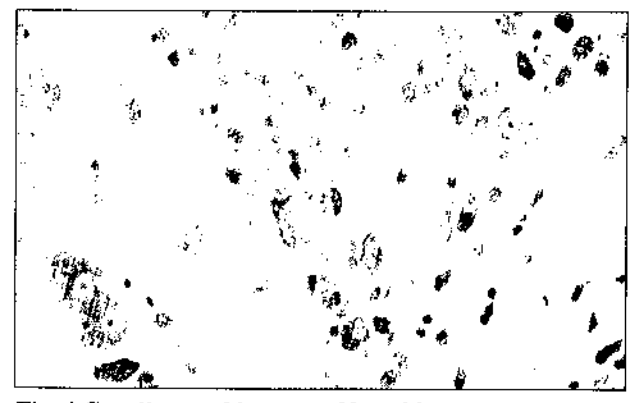


Fig. 4 Ganglioneuroblastoma.- Neuroblastoma con extensa maduración a células Ganglionares.

Inmunohistoquímica:

- Áreas fibrilares, centro de las rosetas de Homer Wright y el citoplasma de las células ganglioides y neuromas con NSE y Sinaptofisina (++).
- Las escasas zonas de astrocitos se tiñen GFAP(+).

Diagnóstico Diferencial

- Elementos neuroblásticos: La presencia de rosetas de Homer Wright del neuroblastoma simplifican el diagnóstico.
- NEOPLASIAS DENSAMENTE CELULARES: Celularidad semejante al neuroblastoma pero no hay patrón neoroblástico específico que pueda ser identificado.

- GANGLIOGLIOMA DESMOPLÁSICO INFANTIL: este tumor, es fácilmente distinguible por su localización superficial, quístico, componente desmoplásico predominante que contiene astrocitos, componente menor ganglioides e inmunoreactividad para GFAP y marcadores neuronales.
- NEUROCITOMA CENTRAL: aunque éste no parece particularmente primitivo desde que exhibe marcada uniformidad citológica con núcleos precisos, mitóticamente, con cromatina en "sal y pimienta" y micronucleolos no conspicuos.

Los neurocitomas crecen típicamente cerca del septum pellucidum de los adultos jóvenes.

Pronóstico

Son menos agresivos que otros tumores de células pequeñas. La maduración completa del Neuroblastoma a tumor de células ganglionares como ocasionalmente ocurre en los neuroblastomas periféricos, es raro. Metástasis extracrancales han sido reportadas.

Neuroblastoma Olfatorio

Tumor compuesto primeramente por neoroblastos que crece en la cripta de la nariz cubriendo la lámina cribiforme.

Ceracterísticas Macroscópicas:

- Pólipo de superficie lisa que yace encima de la mucosa respiratoria.
- Tejido gris rojizo.
- Puede haber invasión ósea hacia la lámina cribiforme.

Características Microscópicas:

- No se ve lesión precursora intraepitelial.
- Tumor ocupa la submucosa y estroma.
- Dos patrones de crecimiento:
- 1. Nidos de células de contornos lisos en un estroma vascular.
- 2. Crecimiento en sábanas difusas sostenidos sólo or delicados capilares.
- Fondo fibrilar compuesto por procesos neuroblásticos. Las células son pequeñas con núcleos redondos y cromatina delicada o en "sal y pimienta". La necrosis no es común. El pleomorfismo nuclear es mínimo.

Inmacohistoquímica:

- is células que rodean los nidos son Proteína S-100 (+).
- Casas células de los nidos tiñen (+) para S-100.
- Esitiva para NSE, Sinaptofisima, Proteína

Neurofilamento, Proteína asociado aa Microtúbulo y B-Tubulna clase III.

Diagnóstico Diferencial

- CARCINOMA INDIFERENCIADO SINUNASAL (SNUC): este tumor es muy agresivo y a diferencia del Neuroblastoma olfatorio los síntomas de corta evolución, presenta mayor variedad de patrones histológicos de presentación (lóbulo, sábanas, trabéculas) muchas mitosis e invasión a vasos, mucosa y linfáticos.
- CARCINOMA NEUROENDOCRINO: Este tumor varía de una lesión carcinoide buen diferenciada a un tumor maligno con alto grado de mitosis.
- MELANOMAS: Crecen en alto grado en al cavidad nasal, están compuestos por células pequeñas y redondas antes que espiculadas o epiteliodes. Fuertemente (+) para Proteína S-100 pero (-) para los marcadores neuronales.

Pronóstico:

- Favorable sobre todo si se logra extirpación total del tumor. Puede ocurrir diseminación del tumor residual a huesos y ganglios cervicales.
- La lesión tiene evolución lenta. Dado la rareza de este tumor, pronésticos a largo plazo no se han podido establecer.

Retinoblastoma

Neoplasia retinal de células neurosensoriales.

Características Macroscópicas:

- Masas frecuentemente calcificaciones, blanquecinogrisáceas, con focos de necrosis que se extiende al vítreo o que atraviesa la retina hasta alcanzar el espacio retineano.
- Puede tomar la porcón intracraneana del N. Óptico, el espacio subaracnoideo circundante, extenderse al tejido blando de la órbita o metastatizar a sitios distantes.

Características Microscópicas:

- Celularidad densa interrumpida por focos de necrosis y calcificación destrófica.
- Disposición en rosetas de Flexner Wintersteiner (células neoplásicas unidad por sus ápices que forman una pequeña luz interna con forma de membrana limitante).
- Núcleos basales situados en la periferia de rosetas.
- Retinocitomas: Neoplasias que presentan proyecciones apicales - floretes -.



Inmunohistoquímica:

- Reactividad de las formaciones en florete a la sinaptofisina y antígeno S-retinal.
- Las rosetas de Homer Writght también reaccionan para la B – tubulina clase III y la proteína Microtúbulo asociada.

Tumor Neuroectodérmico Melanocítico de la Infancia. (MNTI) (Progonoma Melanocítico).

Neoplasia rara que generalmente crece en el maxilar. La diseminación a huesos de la base del cráneo u otros huesos extracraneales es rara.

Características Macroscópicas:

 Tumor café-grisáceo que se expande y comprime al hueso vecino y tejido adyacente.

Características Microscópicas:

- Epitelio variablemente pigmentado e islas de células neuroblásticas cuyos procesos crean un fino fondo fibrilar.
- Disposición en patrones tubulares, glandulares o en cúmulos.

Pronóstico:

Los MNTI clásicos son localmente invasivos pero cuencia mesenquimales, usualmente resecables y curables.

Ependimoblastoma.

Neoptasia de células pequeñas con prominentes rosetas ependimoblásticas.

Características Macroscópicas:

 Tumor bien circunscrito y la mayoría de veces altamente vascularizado.

Características Microscópicas:

- Rosetas ependimoblásticas en campos de células indiferenciadas.
- Las superficies apicales de las células de las rosetas presentan complejos uncionales apicales y blefaroblastos.
- El núcleo celular reside en la porción luminal.
 Mitóticamente activo y multidispuesto.
- La periferia de las rosetas del Ependimoblastoma se presentan en el tejido circundante sin una membrana basal PAS (+), característica del méduloepitelioma.
- Proliferación vascular escasa o ausente.

Inmunohistoquímica:

- GFAP (+)
- Vimentina (+).

Diagnóstico Diferencial:

- EPENDIMOMA ANAPLÁSICO: La disposición en rosetas bien formadas en un fondo monótono de células indiferenciadas distingue al Ependimoblastoma.
- MÉDULOEPITELIOMA: Prima el reconocimiento del componente epitelial del Méduloepitelioma son más complicadas y descansan en una membrana basal. Este tumor es más complejo, exhibe diferenciación divergente hacia glias, neuronas y hasta mesénquima.

Pronóstico:

Es un tumor agresivo con tendencia a diseminación cráneoespinal. La mayoría de pacientes mucre con un año de cirugía. Hay poca información que indique la eficacia de la radio y quimioterapia.

Tumor Neuroectodérmico Primitivo. (PNET)

Inicialmente aplicado a una forma celular de tumor del SNC embrionario que mostraba una diferenciación divergente en las líneas gliales, neuronales y con frecuencia mesenquimales.

Actualmente: Tumores embrionarios más densamente celulares del SNC que tienen su origen común de células primitivas indiferenciadas y que difieren solamente en su localización y en el tipo y grado de diferenciación.

- El término PNET ha sido usado con frecuencia como sinónimo de los tumores de células embrionarias del SNC sin que esto implique que la histogénesis de este tumor esté comprendida.
- En la clasificación de la W. H. O. muchas de las lesiones incluidas bajo las siglas PNET, como el Neuroblastoma, se le ha dado su espacio separado.

Méduloblastoma

Tumor neuroectodérmico de células pequeñas el cercbelo.

Se reconoce al méduloblastoma como una entidad clinicopatológica por la gan cantidad de tipos de méduloblastomas, la experiencia terapéutica extensa y el origen de muchos de estos tumores de poblaciones celulares regionalmente distintas.

Casificación:

- CLÁSICO: Indiferenciado al microscopio de luz. (Fig. 5)
- Con DIFERENCIACIÓN NEURONAL O NEUROBLÁSTICA.
- 3. Con DIFERENCIACIÓN GLIAL.
- Con DIFERENCIACIÓN MIXTA O GLIONEURONAL.

Hay un grupo de méduloblastomas "raros" con diferenciación divergente hacia elementos melanocíticos o mesenquimáticos.



Fig. 5 Méduloblastoma.- Tumor origen vermis cerebeloso.

Méduloblastoma Clásico:

- Grupo heterogéneo de Neoplasia altamente celular. (Figs. 6 y 7)
- Atipia citológica y actividad mitótica.
- Estroma colagenoso presente ocasionalmente.
- Necrosis celular individual con picnocitosis y cariorrexis.
- Se encuentran varios grupos citológicos de este méduloblastoma:



Fig. : Méduloblastoma.- La mayoría se origina en el vermis y possen expanderse dentro del IV Ventrículo.

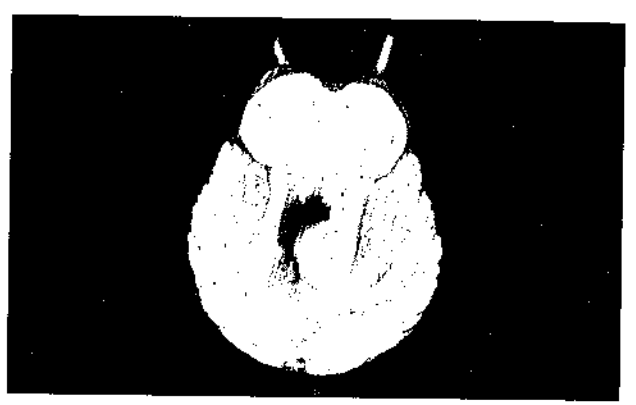


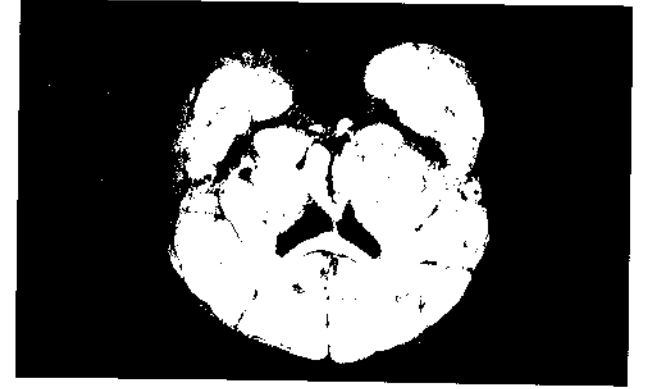
Fig. 7 Méduloblastoma que se extiende al IV Ventrículo.

- Tumores con núcleos redondos u ovales y citoplasma indistinguible que semeja pequeños linfocitos.
- 2. Aquellos con núcleo en forma de cuña y escaso citoplasma y que en algunos casos extiende cortos procesos para producir un fondo fibrilar tenue.
- 3. Tumores anaplásios o pleomórficos con cromatina vesícular, nucleolo grande y cantidades variables de citoplasma.

Méduloblastoma con Diferenciación Neuronal/Neuroblástica.

Menos frecuente que el méduloblastoma clásico. (Figs. 8, 9, 10)





Figs. 8-9 Méduloblastoma con extensa diseminación a través del espacio subaracnoideo.





Fig. 10 Méduloblastoma.- Acercamiento de extensa diseminación subaracnoideo, es un común evento terminal.

Área nodular o en "islas pálidas" y rosetas de Homer Wright o neuroblastos, células ganglionares maduras con o sin células ganglioides menos maduras; células neoplásicas grandes con cualidades neuronales más inmunohistoquímicas que histológicas. (Figs. 11-12)

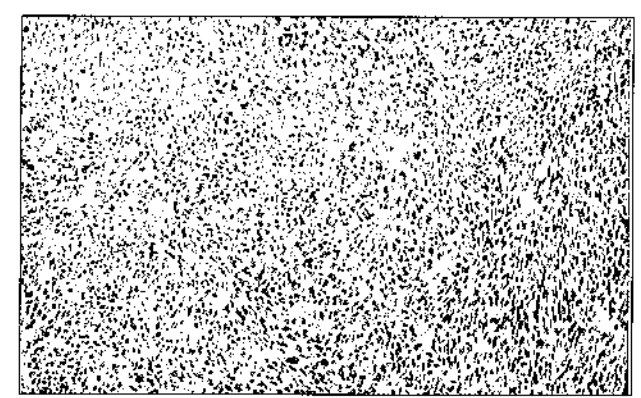


Fig. 11 Méduloblastoma.- Características microscópicas

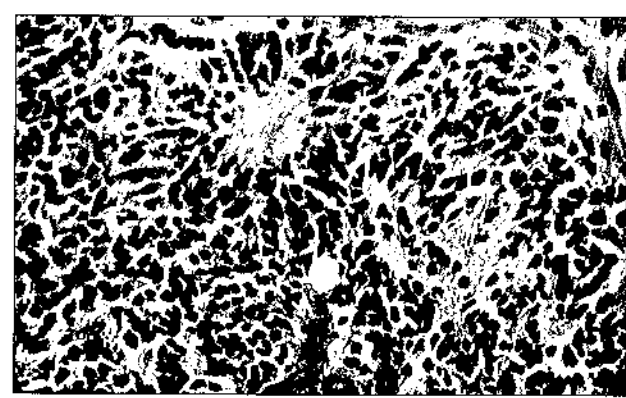


Fig. 12 Méduloblastoma.- Rosetas de Homer Wright

- Lesiones reactivas a la Sinaptofisina y al NSE.
- NEUROBLASTOMA CEREBELAR: méduloblastoma nodular cuyo estadío neurocítico es similar al del Neurocitoma central.
- El tejido intranodular es de baja celularidad, de marcada uniformidad nuclear, las células descansan

- en un fondo fino fibrilar y actividad mitótica escasa. Se encuentran infrecuentemente células ganglioides con citoplasmas abultados, nucleolos grandes, o neuronas francas con citoplasma anfofflico, conteniendo corpúsculos de Nissl, cromatina biliar y algunas veces se encuentran nucleolos grandes.
- MÉDULOBLASTOMA DESMOPLÁSICO: Tumor de nodularidad progresivamente menor y alto contenido de reticulina internodular. (Fig. 13) Los nódulos en los tumores menos diferenciados, aún cuando no tengan una apariencia oligodendroglial clara o citológicamente benigna como aquella del neuroblastoma cerebelar, son inmunoreactivos para marcadores neronales. Las células en "fila india" de pueden ver en el tejido internodular rico en reticulina. La naturaleza neuroblástica del meduloblastoma desnoplásico es más aparente en los nódulos, donde la delicada matriz fibrilar es inmunoreactiva a NSE, Sinaptofisina, Proteína asociada a microtúbulos y B - Tubulina clase III. La reactividad para proteína neurofilamento es ausente en tejidos fijados y procesados por métodos rutinarios.

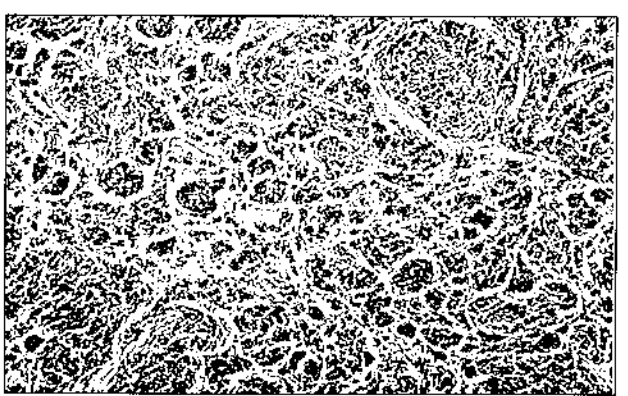


Fig. 13 Méduloblastoma Desmoplásico.

Las células estrelladas de los nódulos y hasta las células extranodulares son reactivas para el GFAP. Si tales células son neoplásicas en su naturaleza, el tumor podría clasificarse como un méduloblastoma con diferenciación mixta.

El méduloblastoma con las rosetas neuroblásticas es el que presenta imagen al microscopio de luz de una neoplasia neuroblástica. Las rosetas neuroblásticas consisten en una zona estrellada central de procesos fibrilares que emanan las células neoplásicas circundantes.

Los núcleos de las células que forman las rosetas usualmente rodean radialmente el centro. La arquitectura básica del méduloblastoma con rosetas neuroblásticas es usualmente difuso antes que nodular o rico en reticulina. (Fig. 14)

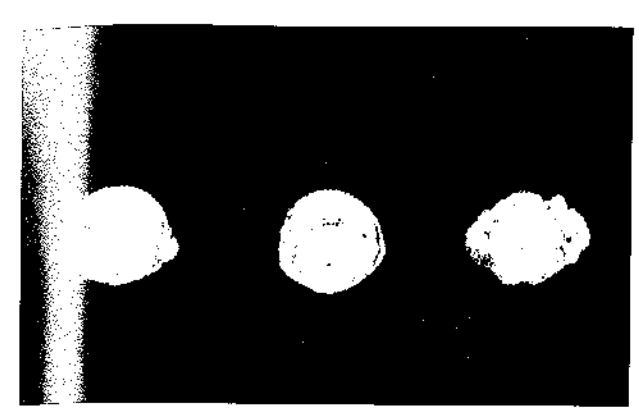


Fig. 14 Méduloblastoma con metástasis hacia espacios subaracnoideos de médula espinal.

- MÉDULOBLASTOMA CON CÉLULAS GAN-GLIONARES: Expresión final de diferenciación neuronal. Tiene sus núcleos vesiculares grandes con un nucleolo central prominente y citoplasma anfofílico conteniendo sustancia de Nissl. Las células ganglioides 30n menos maduras; núcleos pequeños, unos que otros vesiculados, nucléolos pocos conspícudos y no es perceptible sustancia de Nissl. Las células ganglioides son vistas en lesiones nodulares tanto como en el Méduloblastoma de células ganglionares y ocasionalmente en tumores muy indiferenciados. Se pueden también distinguir neuronas neoplásicas maduras de las neuronas de la capa celular de furkinje o de la de núcleo dentado.
 - Cas células ganglionares son más uniformes en su apariencia citológica, dispuestas en forma linear o rqueada y más numerosas que las neuronas neoplásicas.
- a diferenciación neuroblástica en algunos méduloblastomas se expresa como lóbulos o equeños cúmulos de células inmunoreactivas para inaptofisina y NSE.
- [→]ÉDULOBLASTOMA DE TIPO CÉLULAS TRANDES: Compuesto por células de núcleos grandes y nucleolos prominentes. Apariencia "abdoidea. El fenotipo neuroblástico / neuronal del emor es más inmunohistoquímico que citológico. Captofisina y proteína Neurofilamento (+). Necrosis ી undante.
- Oca forma de diferenciación neuronal de naturaleza manifiestan opineal es el que manifiestan in méduloblastomas con inmunoreactividad a inigeno S retinal Rodopsina.
- SDULOBLASTOMA CON DIFERENCIACIÓN UAL: Entidad que necesita de la Inmunohistomica para su estudio y diagnóstico. Aún así es cil diagnosticar si el neoplástica o reactiva. Se dicho que la mayoría de méduloblastomas wiben esta diferenciación glial, por ejemplo: cl

- méduloblastoma desmoplásico o la variante cerebelar. Esta diferenciación glial está dada por la presencia de células gliales aisladas, como en las lesiones nodulares, células pequeñas múltiples o menos comúnmente regiones grandes de citoplasma fibrilar. La presencia de células oligodendrogliales es difícil de determinar.
- La menos común forma de diferenciación glial en los méduloblastomas es EPENDIMAL; la base predominante de la fibrilaridad perivascular en los méduloblastomas es la formación de procesos por las células neuroblásticas. Un componente verdaderamente opendimal en méduloblastoma es focal y no alcanza el grado de diferenciación epitelial vista en el ependimoblastoma.
- MÉDULOBLASTOMAS CON DIFERENCIACIÓN MIXTA: Un porcentaje indeterminado de este tumor se califica como mixto. El componente puede ser glial con diferenciación neuroblástica/neuronal o con reactividad a la sinaptofisina. Raras veces estas lesiones mixtas contienen áreas de tejido cartilaginoso, adiposo o músculo esquelético.

Diagnóstico Diferencial.

- EPENDIMOMA, tumor que tiene su origen en el piso del 4to. Ventrículo y tiene una imagen calificada. Los médulobastomas son más uniformemente hipercelulares y de apariencia maligna que los ependinomas y con las tinciones de inmunohistoquímica muestran reactividad a la Sinaptofisina y negatividad para la GFAP.
- ASTROCITOMA CEREBELAR PILOCÍTICO O QUÍSTICO, pequeño problema diagnóstico dado su grado de diferenciación, relativamente escasa celularidad y carácter sobradamente glial.

En el presente, cerca de la mitad de los pacientes alcanzan una sobrevida de 5 o más años. La irradiación del neuroeje disminuye enormemente la posibilidad de diseminación cráncoespinal. Aún cuando con terapia la mayoría de recurrencias son locales, la diseminación al neuroeje terminal es común. Ocasionalmente hay metástasis a sitios extracrancales incluyendo huesos, ganglios linfáticos y pulmones.

El efecto de los patrones histológicos en el pronóstico no está establecido, aún cuando los caracteres histológicos y citológicos tales como atipia nuclear índice mitótico elevado, necrosis y ausencia de la formación de procesos citoplásmicos han sido asociados a empobrecer el pronóstico.

Médulomioblastoma y méduloblastoma melanótico

Tumores raros considerados variantes del méduloblastoma que tienen una variedad de patrones de tejido ajenos a la mayoría de méduloblastomas.

- Ocasionalmente parecería que ambos tumores exhibirían células epiteliales pigmentadas y mioides.
- El MÉDULOMIOBLASTOMA ocurre principalmente en niños, usualmente varones. Raro en adultos. Combina elemento neuroectodérmico de células pequeñas con áreas de diferenciación rabdomioblástica, la misma que está dada por células estriadas y hasta miotúbulos multinucleados que se entretejen a través de regiones celulares e hipocelulares.

La parte de apariencia indiferenciada de este tumor consiste en pequeñas células con organización histológica y densidad variables. Pueden también tener un patrón nodular. Presentan inmunoreactividad a la Sinaptofisina y a la GFAP si existe diferenciación glial.

- Las neoplasias del SNC asentadas fuera del cerebelo también exhibir diferenciación en las líneas mioides. Tumores neuroepiteliales con diferenciación muscular o Rabdomiosarcomas.
- El MÉDULOBLASTOMA MELANOCÍTICO se caracteriza por la presencia de pequeños cúmulos o túbulos de células epiteliales pigmentadas que contienen pigmento negro granular identificado ultraestructuralmente como melanina verdadera. La agresividad tumoral es la regla e incluye diseminación craneoespinal, lo cual lo diferencia del tumor neuroestodermal melanocítico de la infancia el cual, con muy pocas excepciones, es benigno.

Otros Tumores Embrionarios

Son tumores constituidos por células neoplásicas pequeñas indiferenciadas. Pueden estar compuestos por células uniformes íntimamente empaquetadas o por otra francamente malignas, exhibiendo gránulos toscos de cromatina, mitosis frecuentes y necrosis geográfica. Si estas lesiones son Sinaptofisina positivas, un diagnóstico presuntivo de neuroblastoma es apropiado. Un número de células neoplásicas cerebelares pequeñas sin evidencia microscópica de diferenciación, caen en la categoría de indiferenciadas, pero son consideradas méduloblastomas.

Los tumores embrionarios con diferenciación glial deben ser distinguidos de los tumores embrionarios de tipo neuroblástico y de los gliomas anaplásicos. El primer aspecto se resuelve con la inmunotinción para sinaptofisina. La diferenciación de los gliomas anaplásicos puede ser más difícil sobre todo en las pequeñas biopsias en las cuales un encubrimiento morfológico existe entre los tumores embrionarios y los gliomas altamente anaplásicos. Estos últimos no so usualmente monomorfos como los tumores embrionarios, con más frecuencia formas áreas diferenciadas y son más comunes en adultos. Los gliomas malignos tienden a exhibir pleomorfismo nuclear y proliferación endotelial o necrosis, patrones poco comunes en los tumores embrionarios.

Bibliografía

- Kleihues P., Burger P. C., Scheithauer B. W. Histologic typing of tumours of the central nervous system. World Health Organization. Berlin: Springer-Verlag, 1993.
- Russel D.S., Rubinstein L. J. Pathology of tumours of the nervous system. 5th ed. Baltimore: Williams &Wilkins, 1989:247-89
- Karch. S.B., Urich H. Medulloepithelioma: Definition of an entity. J. Neuropathology Exp. Neurol. 1972:31:27-53
- Dehner L.P., Abenoza P., Sibley R.K., Primary cerebral neuroectodermal tumours: neuroblastoma, differentiated neuroblastoma, and composite neuroectodermal tumor. Ultrastruct Pathol. 1988; 12:479-94.
- Yagishita S., Itoh Y., Chiba Y., Yuda K., Cerebral Neuroblastoma. Virchows Arch. (A) 1978; 1:1-11.
- Mills S.E., Fechner R.E., "Undiferentiated" neoplasms of the sinonasal region: differential diagnosis basis on clinical, light microscopic, inmunohistochemical, and ultrastructual features. Semin. Diagn. Pathol. 1989; 6:316-28.
- Fine B.S., Zimmerman L.E., The nature of retinoblastoma. I. Photoreceptor differentiation: a clinical and histopathologic study. Am. J. Ophtalmol. 1970;69:339-49.
- Miric D.R., Nemecek S., Crnoch Z., Heger L., Nozicka Z., Spacek J., Melanotic neuroectodermal tumor of infancy: clinical radiologic and pathologic findings in five cases. AJNR Am.J. Neuroradiol. 1991;12:689-97.
- Cruz-Sánchez F.F., Rossi M.L., Hughes J.T., Moss T.H., Differentiation in embryonal neuroepithelial tumors of the Central Nervous System. Cancer 1991; 67:965-76.

- Mork S., J., Rubinstein L. J. Ependymoblastoma. A reapraisal of rare embryonal tumor. Cancer 1985;55:1536-42.
- Burger P.C., Grahmann F.C., Biestle A., Kleihuesp., Oifferentiation in the medulloblastoma. A histological and inmunoistochemical study. Acta Neuropathol. 1987;73:115-23.
- 12. Caputy A.J., McCullough D.C., Manz H.J., Patterson K., Hammock M.K., A review of the factors influencing the prognosis of medulloblastoma. The importance of cell differentiation. J. Neurosurg. 1987;66:80-7.
- 13. Hazuka M. B., Debiose D. A., Henderson R.H., 18. Kinzie J.J., Survival results in adult patients treated for medulloblastoma. Cancer 1992; 69:2143-8.
- 14. Coppelson G., Linggood R.M., Kleinman G.M, Medulloblastoma. The identification of prognostic

- subgroups and implications for multimodality management. Cancer 1983;51:312-9.
- Packer R.J., Sutton L.N., Rorke L.B., et al. Prognostic importance of cellular differentiation in medulloblastoma of childhood. J. Neurosurg. 1984;61:296-301.
- Bonnin J.M., Wilson E.R., García J.H. Medullobalstoma with glial, striated muscle and pigment epithelium differentiation (Abstract). Can J Neurol Sci 1989;16:227.
- Burger P.C., Scheithauer B.W., Atlas of Tumor Pathology. Tumors of the Central Nervous System. AFIP. 1994;10:193-220.
- Gambarelli D., Hassoun J., Choux M., Toga., Complex cerebral tumor with evidence of neuronal, glial and Schwann cell differentiation. A histologic, inmunocytochemical and ultrastructural study. Cancer 1982;49:1420-8.

No Consuma Tabaco y respete al no fumador



াayaquil - Ecuador



Vol. 10 • N° 4, Oct.- Dic. 200

SOCIEDAD DE LUCHA CONTRA EL CÁNCER SOLCA

AÑO DEL CINCUENTENARIO

DEPARTAMENTO DE DOCENCIA E INVESTIGACIÓN

SERVICIO DE HEMATOLOGÍA CURSO DE HEMATOLOGÍA ONCOLÓGICA

DIRECTORAS DEL CURSO:

DRAS, KATTY POSLIGUA - BELLA MALDONADO

FECHA:

MAYO 18 A JUNIO 1 DEL 2001

LUGAR:

AUDITORIUM GUILLERMO AROSEMENA CORONEL ION-SOLCA DR. JUAN TANCA MARENGO 5TO, PISO

Hidazolam Oral en Visita Preanestésica (1)

- 2.- Dra. Olivia de la Torre Terranova
- 3.- Dr. Julio Plaza Rubio
- A. Dra. Mariana Vallejo Martínez.
- Dr. Moisés Cervantez
- 1. Instituto Oncológico Nacional "Dr. Juan Tanca Marengo" ION-SOLCA Departamento de Anestesiología,
- 2. Médico Jefe y Directora del Postgrado de Anestesiología y Terapia del Dolor ION-SOLCA.
- .- Médico Tratante y Coordinador del Postgrado de Anestesiología y Terapia del Dolor ION-SOLCA
- Médico Residente Postgradista de Anestesiología (R2) ION-SOLCA
- 5.- Médico Residente Postgradista de Anextesiología (R2) ION-SOLCA

Abstracto

Objetivo:

Determinar el grado de sedación y amnesia anterograda que ofrecen las benzodiacepinas (Midazolam - Lorazepam) en pacientes con sospecha y/o diagnóstico de cáncer que son sometidos a procedimientos quirúrgicos.

Materiales y Métodos:

Se realizó un estudio prospectivo randomizado comparativo en 200 pacientes que fueron sometidos a cir gías electivas con anestesia general y/o conductivas, con edades comprendidas entre 18 y 60 años, ASA I-II, exclivyéndose pacientes menores de edad y con glasgow <10/15; se dividieron los pacientes en dos grupos: A y B; recibiendo 22,5 mg de midazolam como dosis total, y 2 mg de lorazepam dosis total respectivamente.

Las edades de los 200 pacientes en estudio fueron entre 18 - 60 años, con una media de 43 años y una desvissión estándar de 14.22; lo más relevante del fármaco fue la amnesia anterogada que brindó a los pacientes en un percentaje importante 87%, se observó además de 6 pacies es (2%) insomnio de rebote en individuos pícnicos posiblemente debido a dosis insuficiente.

Concisiones:

El midazolam en nuestro estudio ofreció un sueño natura' a dosis óptima y despertar agradable, sin modorra o some o encia, con una amnesia anterogada satisfactoria, una impegración casi inmediata del paciente a las activides cotidanas. Los cuales constituyen un paso en la bússeeda de la benzodiacepina ideal.

Frabras Claves: Benzodiacepinas, Midazolam,

Lorazo am, amnesia, anterograda, Hipnótico.

Corres ndencia y separatas:

Plaza Rubio.

Depart. anto de Anestesiología JON-S:

A "Dr. Juan Tanca Marengo"

Menéndez Gilbert Cdla. : arazana

e-mast /allejo@yahoo.com

chos de autor de los artículos de la Revista Oncología . a la Sociedad de Lucha contra el Cáncer SOLCA,

al, Guayaquil - Ecuador

Abstract

Objetive:

To determine sedative and anterograde amnesia degree, benzodiacepinas affers (Midazolam-Lorazepam) in patients with cancer suspect and/or diagnosis subject to surgical conduct.

Methods:

A prospective comparative Ramdomized Study was performed in 200 patients who underwent elective surgery with general and/or spinal anesthesia, age ranged between 18 and 60 years old, ASA I - II, we excluded pediatric patients and a 150 patients with a glassow lowertah 10/15; patients were divided in two groups: A and B; receiving a 22.5 mg. midazolan total dosis, and 2 mg. Lorazepan total dosis respectively.

Results:

The age range of the 200 patients in the presents study, was from 18 to 60 years old with a median of 43 years old, and a stadard deviation of 14.22; the most revelant effect of the drug was the anterograde amnesia (87%) It was also observed rebound insomnia in fat patients probably due to low dosis.

Conclusions:

The midazolan in our study offered a natural dream at optimal dosis and a nice awaking without drows ness: or somnolence, with satisfactory anterograde amnesia and inmediate integration to daily activities. All this constitute a good step to the search of the ideal benzodiazepine.

Key words: Benzodiazepines, Midazolam, Lorazepam, Amnesia, anterograde and hipnotic.

Introducción

Las benzodiacepinas constituyen un grupo versátil de fármacos que se usan extensamente en la práctica anestésica. Existe una diversidad de compuestos que el anestesiólogo puede seleccionar paa un uso determinado. su versatilidad se basa en su amplio aspecto de trabajo.

que dependiendo de sus características farmacológicas se puede utilizar en diferentes campos de la medicina.

Entre las numerosas benzodiacepinas hay cambios al parecer pequeños en la estructura química que determinan diferencias en ocasiones importantes en las propiedades fisicoquímicas, actividad farmacodinámicas y farmacocinéticas (1).

De acuerdo a su vida media de eliminación las bonzodiacepinas se clasifican en:

- Acción prolongada
- Acción intermedia
- Acción corta

Recordando además las más conocidas y utilizadas en nuestro medio.

Acción Prolongada (T B 1/2 > 24 hrs)	Acción Intermedia (T b 1/2 5 - 24 Hrs)	Acción Corta (T b 1/2 < 5 hrs)
Clobazan (Urbadan) Clorazepato (Ansiopaz) Clordiacepóxido (Librium) Diacepam (Valium) Fluracepam (Dalmadorm) Medacepam Nitracepam	Alprazolam (Xanax) Bromacepam (Lexotan) Clonazcpam Flunitracepam (Rhoynol) Loracepam (Ativan) Oxacepam Temacepam	Midazolam (Dormicun) Triazolam (Somese)
Ртасераті (Едиграх)		1

Clasificación de acuerdo con la Greenblath, 1981

El Midazolam ha sido objeto de profundos estudios en varias especies de animales.

Los resultados obtenidos desde el punto de vista farmacológico demuestran que el midazolam posee el perfil clásico de las benzodiacepinas el cual comprende:

- Ansiolisis
- 2.- Sedación
- 3.-Hipnótico
- Efecto miorrelajante central
- 5.- Anticonvulsivante

El midazolam oral es una benzodiacepina cuya fórmula es (C18 H13 CI FN3), con un Pka: 6,15, un Ph 1.2, cuya base libre es lipofílica, poco hidrosoluble, benzodiacepínico caracterizado por el pronto inicio de la acción terapéutica, breve permanencia en el organismo, con menores reacciones locales, efecto amnésico (amnesia anterógrada) mayor, y efecto sedativo 3 a 4 veces mayor. Al parecer el midazolam ejerce su efecto ansiolítico por medio del incremento de los neurotransmisores inhibitorios de glicina y su efecto hipnótico por la acumulación del GABA y la ocupación de receptores bezodiacepínicos, los cuales se encuentran en orden descendente, en la

corteza cerebral, hipotálamo, cerebelo, cerebro medio hipocampo, cuerpo estriado, puente y médula oblongada y en la médula espinal. La recuperación de la conciencia es ligeramente mayor por inactivación rápida de sus metabolitos, eficacia constante y posología simple. (2.3,4).

El metabolizado (con hidroxilación y posterior formación de glucorónidos) y luego es rápidamente eliminado por el organismo principalmente en forma de alfa hidroximidazolam (1-hidroximetil-midazolam) el cual aparece en la orina al cabo de 24 horas como en forma de glucorónidos en un porcentaje del 60 - 80 % de la dosis administrada. Los otros dos metabolitos se forman en cantidades menores (5).

Después de la administración oral de este fármaco. el metabolito principal (farmacológicamente activo) se forma en un 40% durante el primer paso por el hígado, provocando una potencialización de su efecto en el lapso de 1:30 horas a 2 horas luego de su ingesta (8); siendo la absorción del principio activo mucho más rápida y casi completa.

Se han realizado una serie de investigaciones con el fin de llegar a la conclusión de que esta droga brinda eficacia y es bien tolerada, no ocasiona síntomas clínicos de rebote a dosis estándar. Aunque las benzodiacepinas tienen reputación de causar sólo una incidencia baja de abuso y dependencia, no debe soslayarse la posibilidad de esta complicación adversa con el empleo crónico del

El documento de Woods y colaboradores (1992) y un informe editado por DuPont (1998) contienen una versión más detallada sobre la dependencia de las benzodiacepinas y de su abuso 16,7,8).

Estudios clínicos efectuados con grupos de control en laboratorios de sueño demostraron que el midazolam oral reduce el tiempo de inducción al mismo y prolonga la duración de este, sin afectar cuantitativamente en sueño REM.

Así pues, luego de administrar oralmente el midazolam es absorbido muy rápido y totalmente, el sueño es inducido en un tiempo inferior a 20 minutos y se normaliza su duración de acuerdo a la edad del paciente.

Gath y colaboradores (9,10,13,13), demostraron la influencia del midazolam oral a dosis de 10 a 20 mg, en individuos sanos, en los cuales se realizaron un análisis computarizado

otta registros poligráficos continuos de EEG y EMG destin el momento de su administración hasta el despertar esmontáneo. Este trabajo lo complementaron con caesaronarios que valoraban la eficacia de la droga y que comprendía preguntas referente tanto al tiempo de adormecimiento como también la cantidad del sueño, frecuencia de despertar nocturno, grado de diurésis y estado del despertar. La conclusión de dicho estudio fue que la droga era bien tolerada, sin síntomas clínicos de rebote y con efecto significativo en la reducción de la frecuencia y duración de las fases del despertar.

El objetivo de este trabajo es fundamentalmente cambiar el malestar psicológico, el deterioro cognitivo y los miedos que presentan los pacientes por someterse a una intervención quirúrgica, los cuales nos van a originar cambios hemodinámicos importantes. Para disminuir este malestar estudiamos las ventajas que brinda la midatolam oral comparándola con otra benzodiacepina; de tal manera que lleguen al periodo preoperatorio con un grado de sedación y amnesia anterógrada aceptables y capación satisfactoria.

Justificación

His cesis

eterminar el grado de sedación y amnesia anterograda que ofrecen las benzodiacepinas (midazolam - los sepam) en pacientes con sospecha y/o diagnóstico de cómer que son sometidos a procedimientos quirúrgicos.

Objetivos:

***ncipal.- Valorar la eficacia y la seguridad en la terapro asiolítica y el grado de amnesia anterógrada con mida, cam oral en pacientes oncológicos que serán some cos a una intervención quirúrgica.

Secumilarios.-

- Esterminar el grado de somnolencia y/o conservación de un estado de sueño natural.
- Enderminar la capacidad de depresión del sistema piratorio, cardiovascular, y sistema nervioso central.
- erminar la dosis óptima de acuerdo a la edad del
- erminar la presencia o ausencia de efectos adversos. erminar efectos cualitativos y cuantitativos del

Materiales y Métodos

Mediante el consentimiento informado de los pacientes, hemos realizado en el Instituto Oncológico Nacional "Dr. Juan Tanca Marengo" un estudio prospectivo randomizado, comparativo en cirugías electivas con anestesia general y/o conductivas en 200 pacientes con diagnóstico y/o sospecha de cáncer, en edades comprendidas entre 18 y 60 años, ASA I - II.

Los criterios de exclusión fueron:

- Pacientes neurológicos con glasgow< 10/15
- Asa 4 5/5
- Pacientes menores de edad y mayores de 70 años de

Se administró por vía oral como hipnótico midazolam (dormicun), y lorazepam (ativan), a 22.5 mg dosis total y 2 mg dosis total respectivamente, estudiándose cuidadosamente la eficacia y la tolerancia de dichos fármacos.

Los pacientes fueron divididos en dos grupos de acuerdo al hipnótico.

Grupo "A" los que recibieron midazolan 15 mg vo la noche anterior a la cirugía y 7.5 mg vo 1 horas antes de pasar a quirófano.

Grupo "B" los que recibieron 1 mg de lorazepam vo la noche anterior a la cirugía y I mg 1 hora antes de pasar a quirófano.

Se valoró el estado de sedación mediante un cuestionario de preguntas sencillas a las 6 horas luego a las 12 y 24 horas de la ingesta del fármaco basados en la siguiente escala.

Sedación	Equivalente	Descripción
Nula	0	Sueño normal (fácil despertar)
Ligera]	Somnolencia ocasional (se despierta con facilidad)
Moderada	2	Frequentemente dormido (se despierta con facilidad)
Severa	3	Somnoliento (difícil despertar)

Elaboramos igualmente un formato de preguntas para evaluar la eficacia y/o efectos adversos de la droga que consistía en:

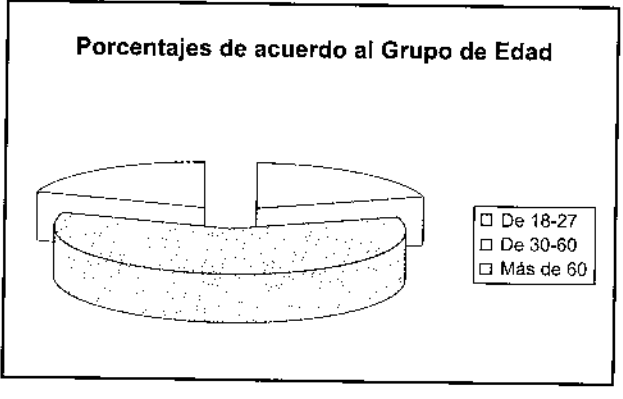
	1 Calidad del Sueño:	Bueno Regular
		Malo
	2 Horas de Sueño:	2 – 3 horas
PARÁMETROS		3 – 4 horas
		+ de 4 horas
	3 Insomnio de Rebote	
	4 Somnolencia	
	5 Amnesia Anterograda	
	6 Despertar Nocturno	
	7 Ningún efecto	

Resultados:

Se estudiaron 200 pacientes con edades comprendidas entre los 18 y + de 60 años, con una media de 43 años con una desviación estándar de 14.22, (tabla #1). De este grupo 40 pacientes fueron jóvenes correspondiendo estos a un 20% requiriendo ellos una dosis total de 22.5 mg repartidos como se indica en el grupo "A"

Tabla # 1: Distribución por edades

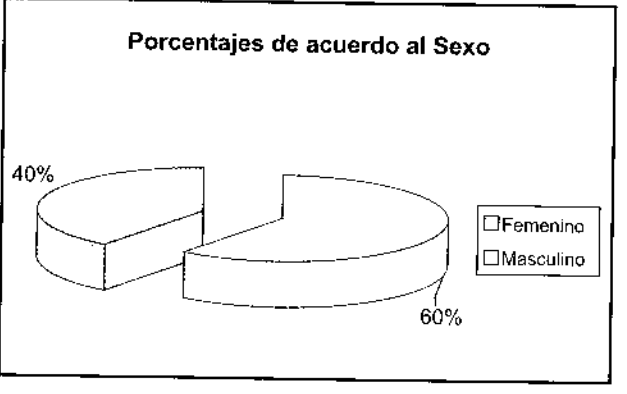
Edad (años)	# de Pacientes	%
28 -27	40	20%
30 -60	120	60%
+ 60	40	20%
Total	200	100%



El sexo predominante fue el femenino con un 60% del total de pacientes (tabla # 2)

Tabla # 2: Distribución por sexo

SEXO	# DE PACIENTES	PORCENTAJES
Femenino	120	60%
Masculino	80	40%
Total	200	100%

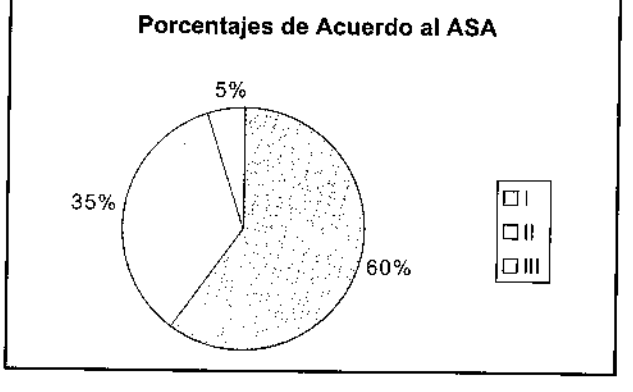


El ASA encontrada en estos pacientes fue mayor en el ASA I con un 60%, siguiendo en porcentaje el ASA II en un 35% (Tabla #3).

En relación al fármaco utilizado se agruparon los pacientes en A y B.

Tabla # 3: Distribución por ASA

ASA	# PACIENTES	PORCENTAJES
I	120	60%
11	70	35%
111	10	5%
Total	200	100%



En el Grupo A.- aquellos pacientes que requirieron 15 mg (vo) la noche previa a la intervención quirúrgica y 7,5 mg (vo) una hora antes de pasar a quirófano, se observó insomnio de rebote en 6 (6%) pacientes debido a dosis aparentemente bajas sobre todo en individuos pícnicos, amnesia anterograda 87 pacientes somnolencia 2 pacientes (2%).

Grupo B.- aquellos pacientes que recibieron lorazepam I mg (vo) la noche previa a la intervención quirúrgica y 1 mg una hora antes de pasar a quirófano, lo más relevante en este grupo fue la somnolencia en pacientes mayores de edad, escasa amnesia anterograda 33 pacientes 33% tabla # 4.

Tabla #4

	Grupo A: Midazolam 15 mg (vo) la noche previa a la cirugía, y 7,5 mg 30 minutos antes de 1Q.	Grupo B: Lorazepam 1 mg (vo) la noche previa y 1 mg 30 minutos antes de IQ.
Pacientes	100	100
Porcentajes %	100 %	100%

En relación a la calidad del sueño en ambos grupos se observó un alto porcentaje de eficacia de la droga, (63 %) de la totalidad, la cual otorgó una satisfacción de bienestar y confort que fue corroborado en el momento de la inducción, no observandose hemodinámicos importantes (Tabla # 5):

Tabla # 5

CALIDAD DEL SUEÑO	PACIENTES	PORCENTAJES
BUENO	170	85%
REGULAR	20	10%
MALO	10	5%

El tiempo de sueño inducido por el midazolam fue prodominantemente de 3 a 4 horas destacándose que en los pacientes mayores de 60 años se prolongó más de 6

La amnesia anterógrada que brindó el midazolam fue catisfactoria en un 87%, los pacientes manifestaban no recordar el memento de traslado al área prequirúrgica y quirúrgica confirmándose esto en el momento de la inducción y a las 6 - 8 horas del acto quirúrgico.

Tabla # 6

Parámetro	Nº Pacientes	Porcentajes
AMI ESIA ANTEROGRADA	120	60%
TOTA)L		

Il porcentaje minoritario que permaneció ansioso e intranquilo con insomnio de rebote acompañados de despectar nocturno más de 2 veces fueron jóvenes y pacientes picnicos cuya dosis no fue la adecuada con midepolam

Conclusiones

Al utilizar una benzodiacepina se espera que este ejerno su efecto hipnótico ideal, que no afecte la capacidad 7. de trabajo durante el resto del día después de un despertar espossianeo en la mañana.

un este campo el midazolam fue estudiado a fondo democtrando ser un hipnótico muy eficaz y bien tolerado en la experimentación clínica. La rápida iniciación de acción y la corta duración del efecto son muy marcadas.

racias a esto el midazolam (dormicum) representa 9. un adalanto real en el tratamiento de los disturbios de iniciación del sueño.

Ha droga en nuestro estudio ofreció un sueño natural a dosia óptima y despertar agradable, sin modorra o somnedencia, mareos, o nauseas, con una amnesia anterograda satisfactoria en una alto porcentaje.

Concluyendo con el estudio es menester mencionar 11. que el midazolam tiene las mismas características y ventaires seguras como las demás benzodiacepinas; en nuestos trabajo se observó que esta característica del am de recuperación rápida en relación con otras benze facepinas lo hace ideal para pacientes ambulatorios on ingresados a una clínica del día, así como la anterógrada importante, y la integración casi

inmediata del paciente a las actividades cotidianas. Estas ventajas constituyen un paso en la búsqueda de la benzodiacepina ideal.

Bibliografía

- C. Pruys Robert; Farmacocinetica de los anestésicos; Benzodiacepinas Cap. 8, Pag. 135 – 196.
- 2. Heizmann, P; Eckert, M. Ziegles; W. H: Farmacocinetics and Bioavailability of midazolam, in Man. Br J. Clin. pharmacol 16, suppl. 1,43 – 49 1983.
- 3. Ziegler, G, Ludwig, L; Klotz, U; effects of midazolam on sleep. Br J Clin pharmaco 16, suppl. 1, 81 - 86
- Data on file, F. Hoffmann La Roche & Co. Limited Company, Basle, Switzerland.
- J. Emerg Med. 1997 Mayo Junio 15 (3): 357 - 65. Midazolam a review of Therapeutic uses and toxicity.
- 6. Godmann & Gildman Las bases farmacológicas de la Terapéutica; Hipnóticos y Sedantes; Volk I 9na Ed Cap # 17 Pag 395.
- Buckling, M. P. sleep and hinoptics. An Overview; in: Hipnotics in clinical practice P. 4 de A. N. Nicholson. Oxford: Medicine Publishing Foundation, 1982.
- Lupolover, R; Ballmer, U; Helcl, J; Pavletic, B: efficacy and safety of midazolam an oxacepan in Lisomniacs Br j Clin Pharmacol 16, suppl. 1, 139 -143, 1983,
- Gath, Y; Bar on, E; Rogowski, Z; Bental, E. Computarized Analysis os sleep recording Aplied to drug evaluation: Midazolam in normal subjets. Clin pharmacol ther 29, 533 - 541 1981
- 10. Gath, Y; Bar on E. Rogowski, Z Bental, E Automatic Scornning of poligrafic sleep recordings. Midazolam in Insomniacs. Br J. Clin Pharmacol 16. suppl. 1, 89 - 96 1983.
- Revista Española Anestesiología. Reanimación. 1999, 46: 191 – 196. Estudio del malestar Psicológico y del miedo preoperatorio en pacientes quirúrgicos.
- 12. Cresvoiser, C Zeigler, W. H. Eckert, M. Mherzmann P: relation ship Between plama concentration and effect of midazolam after oral and iv administration Br. J Clin Pharmacol 16, suppl 1, 51 - 62 1983.

SOCIEDAD ECUATORIANA DE CIRUGÍA XXV CONGRESO NACIONAL

CUENCA - ECUADOR

MAYO 29 A JUNIO I DEL 2001

PROFESORES EXTRANJEROS

GILBERT CHAUVIN	FRANCIA
LAURENT HANNOUN	FRANCIA
PATRICK LOZACH	FRANCIA
STANLEY DUDRICK	EE.UU.
RONALD MERRELL	EE.UU.
WILLIAM RICHARDS	EE.UU.
ILAN CHARUZI	ISRAEL
SERGIO SUSMALLIAN	ISRAEL
SAMUEL SHUCHLEIB	MÉXICO
HARRY MILLER	MÉXICO
ADRIÁN CARVAJAL	MÉXICO
GERARDO DE LA LLERA	CUBA
RICARDO SILVERA	CUBA
ENRIQUE RODRÍGUEZ	CHILE
ÍTALO BRAGHETTO	CHILE
JORGE SALAMANCA	CHILE
XAVIER GONZÁLEZ	CHILE
LUIS F. ANDRADE	CHILE
DANTE CASTRO	PERÚ

TEMAS OFICIALES:

HÍGADO Y VÍAS BILIARES COLON HERNIAS DE LA PARED ABDOMINAL **ESÓFAGO**

Cirugía en el Tratamiento del Cáncer de Lengua. Esudio de 10 Años

Dr. José Ramón Díaz Martínez. * Dr. John Carlos Ariosa Arguelles. ** Dr. Julio Cesar Santana Garay, ***

*Especialista de II grado en Oncología Investigador Auxiliar. Circleno de Cabeza y Cuello. **Circiano Maxilofacial, *** Foctor en Ciencias Médicas.

Abstracto

de evaluaron los expedientes clínicos, de los pacientes con diagnóstico de Carcinoma de Lengua, inscriptos en nuestra Institución entre los años 1981 y 1990: la muestra estuvo constituida por 51 pacientes. correspondiendo 32 casos al sexo masculino y 12 al sexo femerino. En la distribución por edades, el mayor porcantaje, 32 pacientes, tenían edades por encima de los 61 años de edad. La punta y el borde de la lengua fueron la ub cación topográfica detectada con mayor frecuencia puer entre ambos, agruparon un total de 28 pacientes. Se clasificaron en etapas tempranas de la enfermedad un total co 37 casos, 20 pacientes clasificados como T1 y 17 come T2; 48 pacientes de los evaluados no presentaron evidencia de ganglios cervicales al examen físico inicial. El tratamiento quirúrgico usado más frecuentemente fue la el desis simple de la lesión en 38 pacientes.

el Estado Actual encontramos el 84% de la casult soa, vivos, en la última consulta de seguimiento. La Sobaevida Global fue del 85% a los 5 años y el Intervalo Libre - Enfermedad de 60% en el mismo período.

En abras Claves: Carcinoma de Lengua. Tratamiento quirúrgico.

Abstract

The clinical records of 51 patients of carcinoma of the tonque seen in our institution from 1981, to 1990, were evaluated. There were 32 males and 12 females. According to the age, 32 patients were above 61 years old. The most frecuent localization were the tip and the borders of the tonque with 28 cases. In early stage were classified 37 cases, 20 patient with stage T1 and 17 as T2, without evidence of nodal involument was noted in 48 at the initial physicalycal examination. The most frecuent surgical treatment was the simple resection of the lesion in 38 patients.

We find that 84% of the cases are alive in the last follow up visit. Total survival was 85% after 5 years and the free disease time was 60% in the same period.

Key words: Carcinoma of the tonque Surgical Treatment.

Introducción

atamiento del cáncer de la lengua depende de la histórica y de las características antomo-clínicas ేరn. En los momentos actuales la cirugía, en sus diferm es variantes, tiene las mejores posibilidades de elevation supervivencia (1), aunque la radioterapia bien en cualquiera de sus formas también brinda

Correodencia v separatas: Dr. t. Comón Díaz Martínez. Call. Ho. 2311 apto. 4 - Ente 25 playa. Jana C.P 11300.

thos de autor de los artículos de la Revista Oncología a la Sociedad de Lucha contra el Cáncer SOLCA,

anal, Guayaquil - Ecuador

buenos resultados. Desgraciadamente las formas ulceradas e infiltrante del carcinoma de la lengua responden mal a la radioterapia y presentan un alto porcentaje de fallos después de concluido el tratamiento, por lo que se prefiere la cirugía como tratamiento inicial en este tipo de pacientes. Los progresos de las técnicas quirúrgicas y el uso de los colgajos miocutáneos han permitido el rescate de un número considerable de casos en los fracasos de la radioterapia, así como tratar pacientes con tumores voluminosos y que implican una importante pérdida de tejido, su excéresis que sin aporte de tejido al sitio donde se encontraba la lesión primaria dejaría como secuela un gran defecto cosmético y funcional; a pesar de estas posibilidades reconstructivas la mayor parte de los autores han abandonado las cirugías que conlleven la excéresis de toda la lengua y de la laringe como tratamiento.

Actualmente lo más importante al evaluar el paciente inicialmente y sobre el cual se quierc ofrecer un pronóstico, continua siendo la precocidad en el inicio del tratamiento escogido, el tamaño de la lesión y la presencia o no de nódulos cervicales.

Material y Métodos

Fueron evaluados los expedientes ciínicos de 51 pacientes con diagnóstico de Carcinoma de lengua y que requirieron tratamiento quirúrgico, como terapéutica, en algún momento de su evolución clínica e inscriptos en el Instituto Nacional de Oncología de la Habana, en el periodo comprendido entre los años 1981 - 1990. evaluándose la edad, sexo, ubicación topográfica, clasificación clínica, tipo de tratamiento quirúrgico y sus complicaciones.

Resultados

La mayor parte de nuestros pacientes tratados tenían edades por encima de los 61 años de edad (Tabla 1), con 32 pacientes, seguido del grupo entre 51 y 60 años, con 12 pacientes. Al analizar la ubicación topográfica (Tabla 2), encontramos 28 casos, en los cuales la lesión se encontraba en punta y borde de la lengua, seguido de la región cara ventral, con 11 pacientes. En la clasificación clínica la clasificación T, mostró el mayor grupo de pacientes en etapas tempranas de la enfermedad, siendo clasificados como T1: 20 pacientes y 17 como T2, en otras etapas se diagnosticaron 9 casos como T3 y 5 pacientes como T4. En la clasificación N. 48 pacientes no presentaron evidencia de ganglios cervicales al examen físico inicial y fueron clasificados como NO, 2 pacientes fueron clasificados como N1 y 1 paciente presentaba adenopatías cervicales bilaterales, N2c.

Tabla 1. Carcinoma de Lengua. Grupos de Edades. 1981 - 1990.

GRUPOS DE EDADES.	NÚMERO DE CASOS
Entre 0 y 30 años.	1
Entre 31 y 40 años.	2
Entre 41 y 50 años.	4
Entre 51 y 60 años.	12
Entre 61 y 70 años.	15
71 años y más.	17
TOTAL	51

Tabla 2. Carcinoma de Lengua. Ubicación Topográfica. 1981 - 1990.

UBICACIÓN TOPOGRÁFICA.	No. DE CASOS
Cara Dorsal.	9
Punta y Borde.	28
Cara Ventral.	21
Sin Especificar.	3
TOTAL.	51

El tratamiento quirúrgico (Tabla 3), utilizado con mayor frecuencia como terapéutica inicial, fue la excéresis simple en 38 casos, seguida con la Resección Transmaxilar realizada en 9 pacientes y 2 casos a los cuales se les realizó Excéresis más Disección Funcional de Cuello. En 2 pacientes la cirugía se realizó con posterioridad al fallo del tratamiento radiante, a uno de ellos se le realizó excéresis de la lesión y el otro requirió la excéresis transmaxilar con la disección radical de cuello, tras ser diagnosticada una recidiva loco regional. Sólo se reportaron complicaciones postoperatorias en 2 pacientes, uno con sepsis de la herida y el otro presentó dehiscencia de la misma.

Tabla 3. Carcinoma de la Lengua. Estado Actual. 1981 - 1990.

TIPO DE TRATAMIENTO	No. DE CASOS
Excéresis Simple	38
Resección Transmaxilar	9
Excéresis más disección Funcional	
del cuello	2
Total	51

El estado actual (Tabla 4), ubicó a la mayoría de los pacientes como vivos con 43 casos, de ellos 30 se encuentran vivos sin actividad tumoral y 13 vivos con actividad tumoral, lo que representó el 84% de la casuística.

Tabla 4. Carcinoma de la Lengua. Estado Actual. 1981 - 1990.

ESTADO ACTUAL.	NÚMERO DE CASOS
V.S.A.T.	30
V.C.A.T.	13
M.S.A.T.	İ
M.C.A.T.	1
P.S.A.T.	3
P.C.A.T.	3
TOTAL	5

La Sobrevida Global fue del 85% a los 5 años, con an Eusevalo Libre de Enfermedad de 60% en el mismo o∃dodo de tiempo.

Discusión

Alrine (2), estudio 244 pacientes con carcinoma de los cos tercios anteriores de la lengua, utilizando implantes de radium en 152 de los mismos, empleando sólo la cirugía en 21, en 5 realizó la resección simple de nimos, en 12 una glosectornía parcial y en 4 hemiglosectornía, en ausstros casos la resección simple con 38 casos fue la técnica utilizada con mayor frecuencia. Akine no encontró diferencias significativas en la sobrevida a 5 años entre las diferentes armas terapéuticas por él utilizadas.

Wang (3), en su estudio de carcinoma temprano de cavidad bucal, reportó 112 pacientes con carcinoma de la lenges móvil tratados mediante cono intraoral con electrones, 42 pacientes fueron clasificados como T1 y 70 escos como T2, obteniendo una sobrevida a 5 años del 93% para los T1 y del 80% en los T2, sin grandes diferencias con el 35% obtenido en forma global en nuestros pacientes.

Nenick (4), realizó tratamiento del cuello como estadiamento en un estudio multi-institucional en pacientes con cocinoma de células escamosas de la cavidad bucal y la profaringe, en los cuales estaban incluidos 16 2. pacies les con lesiones de lengua móvil, reportando 4 recurrencias locales y una recurrencia cervical, de nuestros pacier es tratados; sólo en 2 se realizó la cirugía como salvamento posterior al fallo de la radioterapia con Co60. 3.

Ell un estudio realizado en nuestra institución (5), de toda lo casuística de la lengua en el mismo período, encontramos en el intervalo libre de enfermedad, que el 83.14% de los pacientes no presentaba evidencia de recidir a tumoral al año del diagnóstico, el 74,31% a los 2 años y a los 5 años el 61,03%, idéntico al resultado 5. obteni pen los pacientes tratados solamente con cirugía. La sologida global fue del 88,6% al año, el 82,94% a los 5 años difra que no presentó diferencias significativas al comprendas con el presente estudio.

F + (6), en Tata Memorial de Bombay, utilizó la cirugi, en su casuística de 181 pacientes con cáncer del alvéolo - bucal, como arma fundamental del tratage mo, encontrando la invasión linfática cervical, halmente a los níveles I y II, en el presente estudio de los pacientes no presentaron evidencia de myas canglionar.

David (7), del Centro Claudius Regaud de Toulousse, estudió 157 pacientes con carcinoma de la lengua móvil y del suelo de la boca, tratados con cirugía. en 104 de los cuales fueron utilizadas como tratamiento inicial y en 53 casos como salvamento al fallo del tratamiento inicial, en nuestra casuística la cirugía fue utilizada como salvamento en sólo 2 pacientes, David obtuvo control loco regional en el 75% de los pacientes a 2,5 años, ligeramente superior al 63,73% de nuestra casuística en igual intervalo de tiempo.

Conclusiones

La cirugía continua jugando un papel importante en el tratamiento del cáncer de lengua, fundamentalmente en aquellas lesiones úlcero-infiltrantes que responden mal al tratamiento con radiaciones ionizantes y como salvamento posterior al fallo de dicha terapéutica, en las lesiones vegetantes.

Bibliografía

- Santana Garay Julio C.: El Carcinoma de la Lengua. Editorial Científico-Técnica, Ciudad de la Habana, 1983. Pag. 231-237.
- Akine Yasuyuki et al: Stage I-II Carcinoma of the anterior two-thirds of the tongue treated with different modalities: a retrospective analysis of 244 patients. Radiotherapy and Oncology, 1991, 21:24 - 28.
- Wang C C et al: Early carcinoma of the oral cavity: A conservative approach with radiation therapy. J Oral Maxilofac Surg 1995, 53: 687 - 90.
- Henick David H et al: Supraomohyoid neck dissection as a staging procedure for squasmous cell carcinomas of the oral cavity and oropharynx. Head & Neck 1995, 17: 119 -23.
- Díaz Martínez José R, Ariosa Arguelles Juan Carlos: Carcinoma de la Lengua. Estudio de 10 años en el Instituto Nacional de Oncología y Radiobiología (1981 - 1990). Oncología 1999; 9 (2): 135 -37.
- 6. Rao Roja S, Deshmane Vinay H, Parikh Hemen K, parikh Deepack M, Sukthankan Pinni S: Extent of lymph node dissection in T3 / T4 cancer of the alveolo - buccal complex. Head & Neck 1995; 17:199 - 203.
- David J M, Barthelemy I, Bonnet F, Mihura J, Daly-Schveitzer N: Result of the surgical treatment of epidermoid carcinoma of the mobile tongue and mouth floor. A propos of 157 patients. Rev Stomatol Chir Maxillafac 1997; 98 (5): 306 - 11.

SOCIEDAD DE LUCHA CONTRA EL CÁNCER **SOLCA**

AÑO DEL CINCUENTENARIO

DEPARTAMENTO DE DOCENCIA E INVESTIGACIÓN

SERVICIO DE UROLOGÍA CURSO DE UROLOGÍA ONCOLÓGICA

DIRECTORES DEL CURSO:

DRES. MARCEL POZO P. - MAX GUBITZ S.

FECHA:

JULIO 9 AL 20 DEL 2001

LUGAR:

AUDITORIUM GUILLERMO AROSEMENA CORONEL ION-SOLCA DR. JUAN TANCA MARENGO 5TO, PISO

inchioterapia Profiláctica sobre el Sistema Nervioso Central en padientes pediátricos con Leucemia Aguda. Revisión de 5 años.

Dr. Desio Sarasti Sánchez *

Dra. Meria Teresa Espeio Cárdenas ****

Dra. Poris Sánchez Soria ***

Dr. Adanuel Contreras Rojas **

Médico Residente R-4 Radioterapia **** Médico Residente R-3 Medicina Interna

Médico Residente R-3 Radioterapia

*** Jefe Departamento de Radioterapia ION SOLCA

Abstracto

Un los pacientes pediátricos portadores de leucemia aguda con alto riesgo de recaída en el sistema nervioso central (SNC) después del control sistémico conseguido por la quimioterapia (QT), la radioterapia (RT) profiláctica crancal es una terapéutica empleada con éxito, sin embargo exis.e una posibilidad de provocar toxicidad a corto o largo plazo. Se realizó una revisión retrospectiva de las hista das clínicas de los pacientes en edad pediátrica con diagnóstico de leucemia linfoblástica aguda (LLA) y leuc enia mieloide aguda (LMA) quienes recibieron radic erapia profiláctica sobre SNC en el período enero-1992 hasta diciembre-1999 en el Departamento de Radioterapia del Instituto Oncológico Nacional "Dr. Juan Tance Marengo" SOLCA. Se analiza los resultados obtenidos en base a su distribución por diagnóstico, edad, sexe. Tratamiento, dosis, seguimiento y recurrencias; luego, se has una revisión de la morbilidad descrita en la literatura.

alabras claves: Leucemia Linfoblástica Aguda (LLA), Leucemia Mieloide Aguda (LMA), Radioterapia profilactica.

Introducción

an los últimos 30 años ha existido una importante mejo la de la sobrevida de los pacientes pediátricos con Leucemia linfoblástica aguda (LLA) y Leucemia miele de aguda (LMA) Posiblemente los factores que más loa influenciado en este incremento son: a) adecuada clasificación de pacientes en grupos de riesgo (contaje

Correspondencia y separatas:

Dr. Mo. nel Contreras Rojas

Deparimiento de Radioterapia

ION-COLCA "Dr. Juan Tanca Marengo"

Av. Pestro Monéndez Gilbert

Cdia. Asarazana

Telfs.: 203088 - 281042 P.O. le n. (09-01) 15028

Guaya mill - Ecuador

trachos de autor de los artículos de la Revista Oncología

a la Sociedad de Lucha contra el Cáncer SOLCA,

்nal, Guayaquil - Ecuador

Abstract

In the bearing pediatric patients with acute leukemia with high relapse risk in the central nervous system (CNS) after the systemic control obtained by the chemotherapy (QT), the prophylactic cranial radiotherapy (RT) is a therapeutic employed with success; however, exists a possibility of provoking toxicity to short or long term. It is accomplished a retrospective review of the clinical files of the patients of pediatric patients with diagnoses of acute lymphoblastic leukemia (ALL) and acute myelogenous leukemia (AML) who received prophylactic radiotherapy on CNS in the period January -1995 until December - 1999 in the Radiotherapy Department at Instituto Nacional Oncológico "Dr. Juan Tanca Marengo" SOLCA. It is analyzed the results and the distribution by diagnostic, age, sex, treatment, doses, morbility, follow-up and recurrences; then, it's made a review of the morbility described in the literature.

Key Words: Acute lymphoblastic leukemia (ALL), acute myelogenous leukemia (AML), prophylactic radiotherapy.

leucocitario, edad y enfermedad de células T) que permite aplicación de tratamiento según cada condición; b) nuevos protocolos de poliquimioterapia; c) tratamiento profiláctico del SNC desde mediados de los años 60 luego que esta terapia fuera descrita por Johnson; y, d) mejoría en las técnicas de soporte transfusional, nutricional, antiinfeccioso y desarrollo de los factores de crecimiento hematopoyético. El tratamiento quimioterápico sistémico es insuficiente para ciertas localizaciones a pesar que la enfermedad haya entrado en remisión en sangre periférica y médula, siendo los sitios santuarios el SNC y las gónadas. Las células leucémicas se piensa que pueden ingresar al SNC por diseminación hemática a través del sistema circulatorio o por extensión directa desde la médula ósea comprometida de los huesos del cráneo.

El tratamiento de la afectación del SNC conocida como profilaxis es en realidad un tratamiento ante la posibilidad de infiltración leucémica del mismo. Los

Ĺ.M.A.

primeros protocolos no empleaban RT, luego se comenzó a utilizar RT crancoespinal a dosis entre 5-24 Gy y posteriormente únicamente RT craneal + MTX intratecal. Más tarde se ha revisado la dosis de RT craneal y se la ha reservado exclusivamente para aquellos pacientes con alto riesgo de compromiso del SNC luego de una erradicación exitosa de células leucémicas en sangre periférica y médula ósea, esto con la intención de minimizar las secuelas neurosicológicas y endócrinas, así la decisión de RT en estos pacientes requiere un delicado balance de su eficacia y potencial toxicidad tardía La dosis más ampliamente utilizada es de 18Gy en 10 fracciones de 1,8 Gy.

La probabilidad de recaída en el SNC en pacientes con LLA que son de alto riesgo puede llegar a 50-67% sin tratamiento profiláctico, se acepta que sin el tratamiento profiláctico la incidencia de recidiva se incrementa en un 4% cada mes luego de la remisión hematológica, mientras que aquellos que lo reciben tienen una posibilidad de falla hasta 5-10% (Poplack et al, 1984; Sullivan et al, 1982; Gelber, 1993) con mejoría en la sobrevida global en un 50%. En el caso de la LMA la probabilidad de recaída en el SNC ocurre en más del 20% y la mayoría de ellos hacen recaída subsecuente en médula ósea. At igual que ocurre en la LLA, parece que la profilaxis del SNC en niños con LMA disminuye la probabilidad de recaída en este órgano, aunque no se haya demostrado que estos niños tengan una mejor sobrevida libre de enfermedad, sin embargo los autores coinciden que el tratamiento profiláctico por posible enfermedad subclínica en el SNC permite prevenir la resiembra de blastos en médula, hipótesis que aún requiere estudios futuros.

El incremento en la sobrevida de estos pacientes ha aumentado el interés por el estudio de los efectos adversos de la RT y QT para intentar mejorar en lo posible la calidad de vida de estos pacientes; así los estudios más útiles serían aquellos cuyo seguimiento haya sido hasta finalizada la etapa de desarrollo y crecimiento.

La RT craneal preventiva debe abarcar la totalidad del espacio subaracnoideo, superficie y repliegues meníngeos, teniendo especial cuidado en zonas como son la base del cráneo, sobre todo la región de fosa temporal (peñasco) y la lámina cribiforme (apófisis crista galli), se deberá además incluir los 2/3 posteriores de la órbita y et límite inferior alcanzará hasta la segunda vértebra cervical.

Materiales y Métodos:

Se realiza una revisión retrospectiva de las historias clínicas y hojas de tratamiento de radioterapia de los pacientes pediátricos con diagnóstico de LLA y LMA, con citología de líquido céfalo raquídeo (LCR) negativa al momento de su diagnóstico que recibieron radioterapia profiláctica sobre el SNC en el Instituto Oncológico "Dr. Juan Tanca Marengo" SOLCA durante el período encro-1995 hasta diciembre-1999. Durante los 5 años un total de 23 niños con estos diagnósticos recibieron radioterapia craneal de carácter profiláctico; se analizan con método estadístico porcentual los resultados de los 23 pacientes.

Resultados:

Un total de 23 pacientes pediátricos con diagnóstico de LLA y LMA con citología negativa de LCR al momento de su diagnóstico recibieron RT profiláctica sobre el SNC en el período enero de 1995 hasta diciembre de 1999 en el Instituto Oncológico Dr. Juan Tanca Marengo. De estos 14 eran de sexo masculino y 9 de sexo femenino, 20 eran portadores de LLA y 3 de LMA, en cuanto a la edad el mayor número de pacientes se encontraban en el grupo de 5-14 años (18 pacientes).

La dosis de RT administrada fue de 18Gy al 82.7% (19 pacientes) y los restantes recibieron dosis entre 20 y 36 Gy, todos fueron tratados con técnica isocéntrica a plano medio, a través de dos campos laterales paralelos y opuestos con energía de 1.25 MV (22 pacientes) y de 6 MV (1 paciente), el fraccionamiento fue de 1.8-2 Gy.

La morbilidad temprana documentada fue de cefalea (2 pacientes que corresponde al 8,7%) y otalgia (2 pacientes correspondientes a 8,7%), mientras que 19 cursaron asintomáticos durante la terapia, en cuanto a la morbilidad tardía I paciente presentó desarrollo de ginecomastia (4,3%) y otro desarrollo de vello pubiano (4,3%), en los 21 restantes no se reportó morbilidad.

Un total de 14 pacientes (60,8%) permanecen vivos sin enfermedad con un seguimiento promedio de 43 meses, 1 paciente se encuentra perdido sin enfermedad con un tiempo de seguimiento de 47 meses, 3 pacientes se han perdido de controles a un tiempo de seguimiento promedio de 14 meses.

5 pacientes (21,7%) presentaron recaída; de estos 3 fueron exclusivamente en SNC (13%) a un tiempo entre 5-28 meses y dos (8,7%) presentaron recaída sistémica y 57 SNC entre 19-20 meses del diagnóstico; estos 5 pacientes se documentaron con citología de LCR positiva y hallazgos de blastos en sangre periférica e infiltración de médula ósea determinada por aspirado y biopsia.

De estos 5 pacientes 1 abandonó los controles a los (19 meses) y los 4 restantes fallecieron a un tiempo entre 8-28 meses del diagnóstico (media 21,5 meses).

EDAD	NÚMERO PCTES (%)
1-4 años	4 (17,4)
5-14 años	18 (78,3)
>15 años	1 (4,3)
Total	23 (100)
SEXO	NÚMERO PCTES (%)
masculino	14 (60,9)
femenino	9 (39,1)
Total	23 (100)
DIAGNÓSTICO	NÚMERO PCTES (%)
L.L.A.	20 (86,9)

Total	23 (100)
DOSIS RXT(GY)	NÚMERO PCTES (%)
36	1 (4,3)
22	2 (8,7)
20	1 (4,3)
18	19(82,7)
িtal	23(100)

3(13,1)

ERACCIÓN/DÍA	NÚMERO PCTES(%)
1,8 Gy	18 (78,2)
2 Gy	5 (21,8)
Fotal	23 (100)

ENTRGÍA	TÉCNICA	NÚMERO PCTES (%)	
1,25 iM V	isocéntrica	22 (95,6)	
6 Mc∀	isocéntrica	1 (4,4)	
Total		23 (100)	
MOCBILIDA	D TEMPRANA	NÚMERO PCTES (%)	
Nic., na		19 (82,6)	
Other Jan		2 (8,7)	
Cei sa	<u> </u>	2 (8,7)	
Torgi		23(100)	
Messillidal	D TARDÍA	NÚMERO PCTES (%)	
Nitti, tia		21(91,4)	
Girer - mastia		1 (4,3)	
Vel: Elbiano		1 (4,3)	
Tota:		23 (100)	

SOBREVIDA	NÚMERO PCTES (%)	TIEMPO SEGUIMIENTO
Vivo sin enfermedad	14 (60,8)	21-66 meses (m: 43)
Vivo con enfermedad	0 (0)	*****
Perdido sin enfermedad	I (4,3)	47 meses
Perdido con enfermedad*	1 (4,3)	19 meses
Abandonaron controles	3 (13)	8-19 meses (m: 14)
Fallecidos *	4 (17.6)	8-28 meses (m: 21.5)
Total	23(100)	-

*petes con recaída documentada

LOCALIZACIÓN RECAÍDA	NÚMERO PCTES	TIEMPO DIAGNÓSTICO
Meningea + sistémica	L	20 meses
Meníngea + sistémica	1	19 meses
Sistema Nervioso Central]	28 meses
Sistema Nervioso Central	l	22 meses
Sistema Nervioso Central	1	8 meses
Total	5	

Discusión:

Los mecanismos involucrados en los cambios patológicos inducidos por la radioterapia en el sistema nervioso central no se conocen en su totalidad, se consideran que 3 podrían ser los básicos:

- 1. Injuria de las células endoteliales que pueden llevar a la muerte o a la hiperplasia endotelial.
- 2. Daño en las fibras nerviosas que incluye trastornos en la mielina; y,
- Respuesta inmunológica a los antígenos de las células gliales.

Estos mecanismos permanecen como hipótesis y se cree que pueden actuar solos o en combinación.

Fisiopatológicamente la respuesta inicial del SNC a la radiación es el incremento de la presión intracraneal debido al edema ocasionado por la misma, en las siguientes semanas ocurren cambios tempranos de desmielinización limitada a sitios dispersos y reacciones microgliales con colecciones perivasculares ocasionales de células mononucleares y pequeños focos necróticos no inflamatorios múltiples diseminados en la sustancia blanca fenómeno descrito como leucoencefalopatía necrotizante, posteriormente el tejido neural se distorsiona en su arquitectura con destrucción de mielina y cambios proliferativos y degenerativos de las células gliales. además cambios vasculares que incluyen pérdida de células endoteliales, oclusión capilar, degeneración y exudado hemorrágico que es lo que posiblemente corresponde a la microangiopatía mineralizante. Luego se desarrolla un edema vasogénico ocasionado en respuesta a la pérdida del tejido de soporte de las

Vol. 10 • N° 4, Oct.- Dic. 2

neuronas que se traducirá en atrofia cortical. La 3. desmielinización sería la causante de la atrofia cortical que provocaría el ensanchamiento ventricular.

Varias son las manifestaciones clínicas atribuidas a la radiotoxicidad en el sistema nervioso central si se toma en consideración que éste continúa creciendo de mancra rápida hasta los 3 años y luego se hace lenta hasta los 6 años, su crecimiento en esta edad es principalmente en tamaño y no en número, principalmente se encuentra un crecimiento axonal con proliferación dendrítica con incremento de la sinaptogénesis, existe además un proceso de maduración de la mielina y se estima que la radiación tiene la capacidad de afectar todos y cada uno de estos procesos además de los señalados como posibles mecanismos fisiopatológicos.

Así teniendo en cuenta el tiempo transcurrido entre la irradiación y cuando aparecen los trastornos estos pueden ser:

- Síndromes Agudos (aparecimiento entre 6-8 semanas de la irradiación):
 - a. Edema cerebral. Se caracteriza por presentación de cefalea, náusea, vómito, incremento de la temperatura e incluso el edema puede alcanzar hasta la herniación cerebral, se considera que este síndrome en gran parte se controla mediante de la instalación de corticoterapia desde el inicio del tratamiento radioterápico.
- b. Encefalopatía Aguda. Se lo relaciona con la administración concomitante de RT y methotrexate, los pacientes presentan letargia, espasticidad, ataxia fatiga, pequeñas alteraciones del electroencefalograma, refieren también somnolencia, confusión, cefalea, desorientación; puede afectar hasta un 10% de los pacientes, siendo una disfunción transitoria y ventajosamente su recuperación es completa.
- 2. Síndromes Subagudos (presentación entre 2-6 meses de la irradiación)
 - a. Síndrome de somnolencia subaguda y anormalidad neurológica focal. Descrito por Druckman en 1929, es un trastorno que dura aproximadamente 2 semanas y cede espontáneamente, puede afectar a un 50-70% de los pacientes que reciben tratamiento profiláctico. Se encuentra somnolencia, anorexia, irritabilidad, pequeñas febrículas, disfonía, ataxia, papiledema, parestesias y se cree que se debe a un disbalance en el metabolismo de la mielina.
 - b. Necrosis cerebral subaguda. Se ha encontrado presencia de necrosis fibrinoide vascular distribuida por la sustancia gris y se le atribuye a la asociación RT-QT (methotrexate)

- Síndromes tardíos (presentación luego de transcurridos los 6 meses de irradiación)
 - a. Leucoencefalopatía necrotizante. Es un trastorno serio pero ventajosamente poco frecuente, típicamente aparece entre los 4-12 meses del tratamiento, presenta disartria, demencia, disfagia, espasticidad, ataxia, convulsiones y hemiplejia. El trastorno puede permanecer sin modificación o revertirse casi completamente, sin embargo cuando evoluciona en forma severa puede ocasionar coma, descerebración y muerte. Su posible explicación estaría en una desmielinización y posterior destrucción axonal con fragmentación y reacción de gliosis y necrosis. Se considera este síndrome como el ejemplo típico de la interacción entre quimioterapia y radioterapia y su desarrollo está en relación directa a la dosis de methotrexate y radioterapia, se estima que en pacientes que reciben dosis standard de MTX y RT puede presentarse en un 2-10% de los casos. No se han reportado casos con RT sola.

TRATAMIENTO	RIESGO APROXIMADO LEUCOENCEFALOPATÍA
RT sola (>20 Gy)	< 1%
MTX intratecal	< 1%
>50mg	
MTX J.V.	< 2%
>40-80mg/m2/sem	
RT (>20Gy)	5%
MTX intratecal	
RT (>20 Gy)	15%
MTX I.V,	
MTX intratecal	2%
MTX I.V,	1
RT (>20 Gy)	
MTX I.V.	45%
MTX intratecal	

- b. Anormalidad difusa de la sustancia blanca. Se presenta con cambios de personalidad, demencia incapacitante y pérdida de la memoria, usualmente se manifiesta con dosis superiores a los 30-35Gy, su alteración se encuentra en un fenómeno de astrocitosis difusa reactiva en la sustancia blanca.
- c. Necrosis tardía focal. Puede manifestarse entre 6 meses y 2 años de la irradiación con la presentación de focos necróticos únicos o múltiples que involucran principalmente a la región supratentorial y más frecuentemente a la región periventricular; los pacientes presentan déficit focales, convulsiones y síntomas de hipertensión intracraneal. Este trastorno no ha sido reportado con RT a la dosis utilizadas

para profilaxis del SNC, puesto que aparece en pacientes que han recibido dosis mayores a los 50-60Gy pudiendo afectar a un 0,1-1% de los casos.

d. Cerebrovasculopatías. También conocida como microangiopatía mineralizante, afecta a los vasos de la sustancia gris principalmente los relacionados al putamen, núcleo lenticular y regiones de los surcos de la corteza, aparece entre los 10 meses posteriores al tratamiento, las repercusiones suelen ser mínimas pudiendo manifestar cefalea, convulsiones focales, ataxia y manifestaciones inespecíficas del electroencefalograma. Se encuentra un depósito de calcio en arterias, arteriolas, capilares y vénulas sin acompañarse de inflamación y puede presentar tejido necrótico mineralizado alrededor de los vasos afectos.

Estos síndromes se superponen y su división por tiempo de aparecimiento no es rígida, se considera en general que la mayoría de síndromes agudos son inducidos por la poliquimioterapia, mientras que los tardíos son provocados por la radiación.

Otras Alteraciones Tardías:

1. Alteraciones Neurológicas e Intelectuales. Se estima que existe daño cognitivo en pacientes a partir de los 24 Gy, sin embargo comparando la función intelectual entre los pacientes irradiados con dosis de 18 Gy y de 24 Gy no se encuentra diferencia significativa, pero es evidente que las calcificaciones cerebrales, las zonas necróticas difusas en la sustancia blanca y los trastornos del electroencefalograma pueden ser indicadores que existirá une disminución de la función cognitiva a futuro.

Básicamente el deterioro intelectual representa: disminución del cociente de inteligencia, disminución significativa de los conocimientos de lectura, lenguaje y comprensión matemática y un desajuste socio-emocional.

Los factores más importantes involucrados con las alteraciones neurológicas son la edad (menores de 5 años) y la dosis (igual o mayor a 24Gy), y se sugiere que la quimioterapia contribuye a la injuria radio-

2. Alteraciones del Crecimiento y de la Pubertad. Son varios los factores que intervienen en estas alteraciones: dosis de RT y fraccionamiento, edad del pacidate, duración de QT y tiempo del seguimiento.

La RT como se ha demostrado ocasiona pérdida de crecimiento y reducción de talla definitiva, la reducción será mayor según se incrementa la dosis, tenemos en general que dosis mayores de 30Gy ocasionará una disminución del crecimiento en menos 2 SD (desviación estandard) del promedio, los resultados no son muy claros a la dosis de 24Gy.

La mayoría de autores coinciden que dosis de RT menores de 24 Gy ocasionará trastornos de crecimiento que pueden verse luego de la prepubertad, es decir en la pubertad pudiendo disminuir el crecimiento entre 1-2 SD. La influencia de la edad es más evidente en el sexo femenino, así niñas menores de 4 años la pérdida de crecimiento será hasta de un doble de la que sufrirán aquellas niñas mayores de 4 años irradiadas, en hombres la diferencia no es tan marcada. En el estudio de Davies y cols se analizó la talla entre pacientes que recibieron 24Gy y 18Gy, no se observó diferencia mayor entre los 2 grupos en cuanto a pérdida de talla, si se encontró diferencia cuando se analizó las diferencias en cuanto a la edad, siendo la pérdida de crecimiento más acentuada en niños pequeños (menores de 4 años). Otros datos sugieren que la dosis de RT hasta 18 Gy no modifica de manera importante el crecimiento final.

Estudios actuales demuestran otro posible mecanismo para la pérdida de crecimiento como sería la alteración de la producción de GH aún con dosis de 18Gy e incluso de 14 Gy, trastorno que se manifiesta cuando han transcurrido 4 años de la irradiación, se ha podido documentar una modificación del patrón normal de secreción pulsátil

La diversidad de resultados sobre alteraciones del crecimiento en pacientes pediátricos con LLA deben ser analizadas en base a la QT utilizada puesto que la terapia citotóxica inhibe la respuesta de la placa epifisaria a la GH a través de la disminución de la producción de somatomedina por parte del condrocito.

La RT puede también ocasionar precocidad puberal en hombres y mujeres, se ha demostrado aumento de gonadotropinas hipofisarias en pacientes prepuberales ocasionado posiblemente por activación precoz del eje hipotálamo-hipofisario por la RT, esto es más evidente en mujeres menores de 4 años de edad (similar a lo que ocurre en cuanto al trastorno del crecimiento).

Posiblemente la RT sea el factor más importante involucrado con el trastorno de crecimiento por una



probable modificación del eje hipotálamo-hipofisario y se sugiere que si bien los niveles prepuberales de GH son normales no se incrementan a los valores requeridos durante la pubertad que sería lo que ocasiona la pérdida de talla.

3. Segundas Neoplasias.

Según Pratt y cols los pacientes con LLA sometidos a RT tienen un 8% de riesgo acumulado de desarrollar una segunda neoplasia a 15 años luego del diagnóstico. Neglia y Neadows reportan un riesgo de 2,5% de desarrollar una segunda neoplasia a 15 años del diagnóstico. Entre las segundas neoplasias en orden de frecuencia tenemos: segundas leucemias, linfoma No Hodgkin, tumores del SNC (meningiomas y gliomas) y carcinomas diversos.

La mayor o menor incidencia de presentación de estos trastornos están en relación con factores determinados por la terapia (en el caso de la RT la dosis, fraccionamiento, energía y volumen tratado), factores del paciente (edad, status funcional, predisposición genética, sensibilidad inherente, capacidad de reparación, otros trastornos asociados) y factores relacionados al tumor (grado, extensión y biología tumoral).

Conclusiones

La RT holocraneal profiláctica es una opción terapéutica importante para conseguir la esterilización del espacio aracnoideo intracraneal y disminuir la posibilidad de recaída en este órgano luego de la remisión 6. sistémica de la enfermedad conseguida por la quimioterapia, pero como todo tratamiento tiene una probabilidad 7. de ser tóxico e inducir morbilidad, posibilidad que se ve incrementada por la asociación con la QT, varios son los factores involucrados en la incidencia de esta morbilidad

como son los relacionados con el tratamiento empleado, condición del paciente y de la enfermedad.

Al momento actual la decisión de someter a un paciente pediátrico a RT profiláctica del SNC dependerá de un cuidadoso análisis del riesgo-beneficio y de los factores de riesgo.

En el caso del Instituto Oncológico Nacional "Dr. Juan Tanca Marengo" SOLCA el porcentaje de pacientes con morbilidad aguda y subaguda es bajo (17,4 y 8,6% respectivamente); sin embargo hace falta estudios posteriores que permitan analizar de manera más compleja, amplia y documentada la morbilidad tardía, sobre todo al finalizar la etapa de crecimiento y desarrollo de estos pacientes, en especial si se considera que la morbilidad aparecida tardíamente es inducida por la RT e influenciada por la quimioterapia.

Bibliografía

- Leucemia Linfobástica Aguda en la Infancia. Fernández R.; Molina J. Public. Lab GLAXO. 1995.
- Moss'Radiation Oncology. Rationale, Technique, Results. Cox J. 7a Ed. Mosby, 1994
- 3. Clinical Oncology. Rubin Ph. 7a Ed. Saunders, 1993.
- Leukemia. Henderson E.; Lister A.; Greaves M. 6a Ed. Saunders, 1996.
- Rosenfeld M.: Neurologic complications of radiation therapy and chemotherapy. Oncología. 1998; 8(1): 55-62.
- Radiation Therapy in Pediatric Oncology. Cassady R. Springer-Verlag. 1994.
- 7. Principles and Practice of Pediatric Oncology. Pizzo Ph.; Poplack D. 3a Ed. Lippincott Raven, 1997.
- 8. Pediatric Radiation Oncology. Halperin E.; Constine L.; Tarbell N.; Kun L. 2a Ed. Raven Press, 1994.

VALOR DEL AUTOEXAMEN MAMARIO

El autoexamen de los senos y la ecomamografía tienen un valor importante en el diagnóstico precoz del Cáncer de Mama. Es importante su realización bajo el concepto de que si no sirve para salvar una vida, sirve para salvar una mama.

Mincer de la Laringe

- José Ramón Díaz Martínez. *

Especialista de 2do. Grado en Oncología.

Registo de Cabeza y Cuello. Investigador Auxiliar

Especialista de 2do. Grado en Oncología.

Registo de Cabeza y Cuello.

Abstracto

El cáncer de laringe aunque no ocupa uno de los lugares en incidencia, es muy importante por apacidades a que pueden verse sometidos los comparos a consecuencia del tratamiento. Importancia le otorgamos al tratamiento quirúrgico, sobre trada equellas técnicas que permiten conservar la voz y de las cuales aún no son de utilización cotidiana en escara práctica médica.

e pesar de los avances evidenciados en las últimas décaden en la radio y quimioterapia, la cirugía laríngea como coupando un lugar primordial en la terapéutica de colo confermedad.

los continuación total de la laringe (1), está indicada en los contro que se dude poder circunscribir el tumor por los contro sanos con una laringectomía parcial. El descodo de la antibioticoterapia y de la anestesióloga, han podido mejorar los resultados de la cirugía radical laring opero la fístula y la sepsis de la herida continúan sucres complicaciones importantes que pueden acon diferse de necrosis del colgajo. (2.3).

ras Claves: Cáncer laringe.

Historia

que s responde con el cáncer de Laringe por Boerhave (166) (28) y la primera información de autopsia sobre dicha responde por Morgagni (1628-1771). Virchow, patól. siemán (1821-1902) y padre de la histopatología

Corres: Obencia y separatas:
Dr. In Strain Diaz Martínez.
Calle 2311 Apto. 4
Emire Playa.
Ciudio 50, Cuba.
C P. 1

Perte.
Sede : Sociedad de Lucha contra el Cáncer SOLCA,
Guayaquil - Ecuador

Abstract

Trough laryngeal cancer is not rated en the first place in incidence, is very important because of the disability that may produce to the patient as a consequence of treatment. Special importance deserves the surgical treatment mainly those techniques that permit to preserve the voice, and some of them are not frequently used in our medical practice.

Even though the advances in radio therapy and chemotherapy in the last decades, the Iaryngeal surgery is still very important en the therapy of these disease.

Total resection of the larynx (1) is indicated them there is doubt to L_v able to round the tumor with normal tissue, with the partial laryngectomy.

The development of the antibiotic therapy and anesthesiology have permitted to improve the results of the laryngeal radical surgery, though fistulization and sepsis are still important complications that may go along with wound necrosis.

Key words: Laryngeal cancer.

moderna reconoce las características morfológicas de las células y estructuras tumorales y da la posibilidad de un diagnóstico exacto como el exigido en la actualidad.

En 1854 Manuel García (1805-1906) maestro de canto español da solución al problema que representaba para la época el estudio de las cuerdas vocales en el vivo; dos años después el neurólogo vienes Ludwing Tuck, comienza a utilizar los espejos laríngeos, Johann N. Cuermak, en 1858 Budapest, se convierte en el propagandista de la laringoscopía, despertando el interés de los clínicos por los tumores de la laringe. Otro acontecimiento que igualmente incrementó el interés de los especialistas por esta enfermedad fue sin dudas el trágico destino del Kaiser Federico, afecto de un cáncer laríngeo y la intensa

polémica entre el inglés Mackenzie y los médicos. Guido Guidi en su obra sobre cirugía (París 1554) fue el primero que después de terminar la traqueotomía introduce un tubo recto en la tráquea y A. Trousseau (1801-1867) informa el uso de la cánula de trazado semilunar, en un caso de traqueotomía por un Cáncer Laríngeo. La laringotomía se encuentra mencionada en las escrituras de Antyllo. Casserius reprodujo en una tabla anatómica la laringotomía en forma de hendidura de la laringe. En 1788 Pelletar practicó una fisura laríngea para extirpar un cuerpo extraño; en 1837 Trousseau reporta un caso de Carcinoma Laríngeo, marcando una distinción entre Tuberculosis y Carcinoma. Las primeras intervenciones quirúrgicas por Cáncer Laríngeo fueron realizadas por Erhmann (1844) y Buck (1851), Czermak (1859) fue el primero en realizar la descripción laringoscópica de un cáncer de cuerda vocal, Watson en 1866 realiza la primera laringectomía con éxito en una laringe sifilítica, siendo Billroth en 1873 quien realiza la primera extirpación de una laringe cancerosa, y ya Albers en 1829 había extirpado la laringe en perros, para realizar estudios fisiológicos. En 1873 Heine informa sobre resecciones parciales en la laringe; mas emplea esta técnica en Cáncer Laríngeo y Billroth en 1878 realizó la primera hemilaringectomía subpericóndrica con cierre primario de la faringe.

Anatomía Comparada

La emisión de los ruidos es utilizada para las diferentes especies de animales superiores para comunicarse entre sí, teniendo como objetivo el cumplimiento de diversas tareas: atracción de la hembra, asustar al enemigo o prevenir de su presencia; la emisión de la voz ocupa de la voz un segundo plano con respecto a los mecanismos respiratorios y de deglución en la capas más bajas de la especie animal, pero a medida que se asciende en la misma, va alcanzando mayor importancia, siendo en la especie humana donde alcanza su punto máximo.

En casi todos los mamíferos con excepción del hombre y los antropoides, la laringe se encuentra muy alta y en contacto con el espacio nasofaríngeo, por lo que la laringe se continua inmediatamente con la región nasal de la faringe. En estos mamíferos la laringe se mantiene en posición por una sincondrosis entre la base del cráneo, el hioides y la laringe, en los mamíferos marinos las vías digestivas y respiratorias están totalmente separadas, ya que la epiglotis se ha convertido en un tubo vertical que se introduce en la nasofaringe, en un desarrollo ulterior,

en los monos y el hombre se produce secundariamente al desplazamiento oral de un desplazamiento caudal, con lo que la laringe se ubica definitivamente por debajo del hioides, quedando sustituidas sus uniones con la base del cráneo por un aparato muscular de sostén, con lo que se consigue una mayor movilidad del hioides y de la laringe.

Embriología

La laringe se origina a partir de determinadas áreas de la faringe embrionaria, como una excrecencia en forma de quilla. Durante la tercera semana de vida embrionaria, esta excrecencia constituye una depresión que se alarga hacia atrás y forma el surco laringotraqueal, cuva extremidad anterior se convierte en el aditus Laríngeo primitivo, situado entre las bases del cuarto y sexto arcos branquiales. Los primeros indicios de la formación de la laringe se encuentra en el embrión con una longitud aproximada de cuatro a cinco milímetros. Hacia la cuarta semana de la vida embrionaria, se fusionan los rebordes del surco laringotraqueal en dirección caudo- craneal, para formar el tabique traqueoesofágico. Hacia finales del primer mes embrionario el esbozo laríngeo es desproporcionadamente grande y el aditus laríngeo tiene la forma de un anzuelo; el cartílago cricoides se forma antes del final de la cuarta semana, fusionándose primeramente las partes ventrales; hacia la quinta semana se completa el cierre del surco laringotraqueal y alrededor de la hendidura sagital del aditus laríngeo primitivo crecen tres masas de tejido; por delante se forma la horquilla, que es un acumulo de mesodermo y por fuera se originan dos prominencias; las eminencias aritenoideas a partir de las extremidades ventrales de los sextos arcos branquiales, el conducto faríngeo traqueal se localiza entre las bases de las eminencias aritenoideas, las cuales se aproximan en su parte interna y formar un surco en forma de T a partir del cual se desarrolla el vestíbulo de la laringe. Durante la séptima semana aparece una fisura en la superficie interna de cada eminencia, la que se extiende hacia delante y los lados constituyendo los ventrículos. Las placas del cartílago tiroides se forman a partir del cuarto arco visceral entre las semanas 1 y 3, se fusionan para formar el mismo; el hueso hioides deriva de los arcos branquiales segundo y tercero, el segundo arco forma parte del cuerpo y el asta menor, el asta mayor y el resto del cuerpo proceden del tercer arco, la epiglotis y los cartílagos cuneiformes derivan de la horquilla, aunque los cuartos arcos pueden contribuir a la formación de la epiglotis. Hacia la cuarta semana de vida embrionaria se esboza la musculatura de

ia laringe, la cual es de procedencia branquial, es decir derivados del esqueleto primitivo de la estructura branquial. ila musculatura esfinteriana de la laringe, se constituye gor un asa ventral y otra dorsal, entre las cuales se encuentra el cartílago aritenoideo; el músculo oricoaritenoideo posterior se forma a partir del asa dorsal y el asa ventral da lugar a la formación del músculo ericoaritenoideo lateral y músculo tiroaritenoideo externo a interno. Estos músculos internos son derivados del sexto arco bronquial e incrvados por el nervio laríngeo la l'erior y el recurrente, el músculo cricoaritenoideo se origina del cuarto arco y esta inervado por el nervio del carto arco, nervio laríngeo superior, al igual que la lacinge supraglótica en su totalidad. El cartílago tiroideo so osifica fisiológicamente en edades avanzadas, la cual comienza una vez concluido el crecimiento en longitud det esqueleto, siendo de mayor magnitud en el hombre que en la mujer, hallándose los primeros signos de osificación hacia los 20 y 22 respectivamente, el cartílago crisoideo inicia su osificación, a igual edad que el tiroides; en el aritenoideo se produce de tres a cinco años més tarde, sólo se osifican los cartilagos hialinos y el proceso se completa hacia los 6 años de edad.

Histología

La laringe se encuentra revestida por un epitelio cilibrarico seudoestratificado, provisto de cilios con células caliciformes y aquellas áreas que están sometidas a sobmeargas mecánicas poseen un epitelio pavimentoso estabificado, estando presente el mismo en cuerdas vocales, repliegue ariepiglótico, así como en la epiglotis, auna se esta contribución varía de forma individual por las inflamaciones crónicas y por el contacto de agentes irritantes con el epitelio laríngeo. En la arquitectura laríogea, encontramos glándulas salivares mixtas, tubuloalver ares, en las que predominan en sus segmentos tern hales, células serosas en relación a las células mucceas, contrariamente a lo que ocurre en la región respiratoria de las fosas nasales. La distribución de estas glán das en la mucosa es bastante regular, existiendo área: londe su distribución es mayor, como lo es, la raíz de la particularidad que estas glándulas presentan conductos excretores que atravissan el cartílago para desembocar en la cara larín; a; solo excepcionalmente existen conductos que dese Bocan en la cara lingual, también se encuentran acúmulos en las paredes de los ventrículos larín os. La lámina propia es gruesa y contiene numerosas fibras elásticas, por debajo de la cual se

encuentra el estrato linfoide que es una capa con abundantes elementos celulares de tipo linfoide, numerosas células conjuntivas y linfocitos y otro estrato más profundo, pobre en células pero con un dispositivo fibrilar grosero; las fibras elásticas se observan en mayor cantidad en los estratos más profundos donde se entrecruzan frecuentemente, formando tractos de curso paralelo a la superficie mucosa, que son la base de los ligamentos internos de la laringe (ligamento vocal, cono elástico). El ligamento vocal es la base de la cuerda, debiendo ser considerado como el espesamiento superior del cono elástico, la cuerda vocal representa una estructura funcional, en la inserción de la misma con el cartílago tiroides, se aprecia un área amarillenta macroscópicamente visible, así como a nivel de la apófisis vocal, constituida por un haz de tejido conjuntivo duro, en el cual se aprecian escasos elementos elásticos.

Fisiología

La laringe ha sido diseñada para regular la entrada y salida del aire del sistema pulmonar, aunque muchas veces se piensa en la fonación como la principal función laríngea. Diversos tipos de invertebrados, insectos, poseen aparatos que crean sonidos característicos, como algunas especies de saltamontes y grillos. Algunos peces capaces de emitir algunos sonidos bajo el agua, utilizando la vesícula natatoria, las ranas, sapos y tortugas hacen vibrar las cuerdas vocales, por medio de una corriente aérea emitiendo sonidos. La laringe de los mamíferos presenta una constitución similar a la del hombre, con cavidades sonoras de paredes fuertes que sirven para reforzar la emisión sonora, generalmente los mamíferos emiten los sonidos durante la espiración, aunque algunos lo producen en la inspiración, como el maullido del gato, el relincho del caballo, el llanto del perro y la "i" del rebuzno del asno.

- La laringe en el hombre tiene 9 funciones:
- 1. Función respiratoria.
- 2. Función fijadora ó de esfuerzo.
- Función tusigena.
- Función expectorativa.
- Función protectora ó de defensa.
- 6. Función de deglución.
- 7. Función fonatoria.
- Función circulatoria.
- 9. Función emocional.

Nos referimos a las funciones que consideramos más importantes:

Función Respiratoria. La laringe actúa dejando pasar el aire hacia los bronquios y pulmones, asegurando esa entrada y salida a través de la glotis regulando la entrada del aire, coopera a que la hematosis se haga de un modo regular.

Función de deglución. Actuando como portero de las vías respiratorias profundas, en el momento de la deglución las bandas ventriculares y los repliegues ariepiglóticos cierran el vestíbulo laríngeo como un esfinter y la epiglotis dividen el bolo alimenticio, canalizándolo en dos porciones hacia los senos piriformes.

Función fonatoria. Las cuerdas vocales forman el aparato fonador, en esta función toman parte los músculos intrínsecos, que dan tensión y aducción a las cuerdas y los músculos extrínsecos que fijan la laringe, permitiendo la vibración de las cuerdas vocales bajo la presión subglótica.

Función tusígena, expectorativa y protectora. La sensibilidad exquisita de la mucosa laríngea, es debida en su mayor parte al nervio laríngeo superior, si un cuerpo extraño llega a la laringe ésta se cierra por un reflejo espasmódico de su musculatura a paso del aire, especialmente por unión de los repliegues aerepiglóticos y de las cuerdas.

Anatomía

La laringe está ubicada en el cuello, por delante de la faringe, de la cual constituye su pared anterior, por debajo de la lengua y el hioides y por encima de la tráquea, constituyendo un sector de las vías aéreas de estructura particular adaptada a las diferentes funciones que realiza, es un órgano tubular, compuesto por varios cartílagos conectados entre sí por ligamentos y músculos su situación superficial la hace vulnerable a diversos traumatismos externos, que pueden ser atenuados gracias a su gran movilidad.

En la constitución de la laringe, están presentes 9 cartílagos unidos por ligamentos, tres impares y centrales, el cricoides, el tiroides y la epiglotis y seis pares o laterales, los aritenoides, los cartílagos de Wrisberg y los de Santorini. El cartílago cricoides, es mucho más alto por detrás que por delante, siendo la pieza más inferior, presentando la forma de un anillo de sello. Sobre las dos superficies superiores se encuentran dos superficies articulares, para el cartílago aritenoides, ubicadas en el

borde superior hacia atrás y lateralmente. Los bordes laterales del arco cricoideo presentan una faceta articular para unirse al cuerno inferior del cartílago tiroides. El cartilago tiroides es el escudo protector de la laringe, formando por dos láminas unidas hacia adelante, donde forman un ángulo saliente (nuez de Adán), presenta dos apófisis superior y dos inferiores en sus bordes posteriores, los primeros se unen al hueso hioides y las segundas al cartílago cricoides, se une por delante al cricoides por la membrana tirocricoidea y al hueso hioides por medio de la membrana tirohioidea. La epiglotis es un fibrocartilago adelgazado hacia los bordes, unido al tiroides, que presenta dos caras, la anterior o lingual y la posterior o laríngea, la cual se encuentra atravesando por orificios y en su interior posee glándulas anidadas. Entre los cartílagos pares se encuentran los aritenoides, que ofrecen el aspecto de pirámides triangulares, articuladas por su base al cartílago cricoides, la cual se alarga en dos apófisis, una interna o apófisis vocal donde se inserta la cuerda vocal y otra externa o apófisis muscular donde se insertan los músculos cricoaritenoideo lateral y posterior. Sobre los cartílagos aritenoides se asientan los cartílagos corniculados de Santorini y en el vértice superior de estos, se halla el cartilago de Wrisberg. Los músculos de la laringe se dividen en dos grupos: extrínsecos e intrínseos. Los músculos extrínsecos son el esternotiroideo, el tirohioideo, el constrictor inferior de la laringe y el estilofaríngeo. Los músculos intrínsecos se subdividen en dos grupos, los dilatadores o abductores y los constrictores ó aductores. El músculo aductor es el cricoaritenoideo posterior, el más poderoso de los músculos propios de la laringe que se extiende desde la lámina del cartílago cricoides, donde tiene un punto de inserción fijo, hasta la apófisis muscular del aritenoides, donde tiene un punto de inserción movible, su contracción provoca el desplazamiento hacia abajo adentro de la apófisis muscular y secundariamente el desplazamiento hacia afuera de la apófisis vocal con lo que las cuerdas vocales se aportan de la línea media, ensanchándose el espacio glótico. Este músculo asegura la respiración. El resto de los músculos intrínsecos son constrictores o fonatorios, el cricotiroideo, el cricoaritenoideo lateral, el tiroaritenoideo lateral, tiroaritenoideo externo y el aritenoideo. El músculo cricocotiroideo, su contracción logra la máxima aproximación entre el cricoides y el borde inferior del cartílago tiroides, con lo que la lámina del tiroides y los cartílagos aritenoides basculan hacia abajo y atrás, aumentando la tensión de las cuerdas vocales. El músculo cricoaritenoideo lateral, antagonista del cricoaritenoideo posterior, se inserta en la apófisis muscular del aritenoides extendiéndose hasta la porción posterolateral

del arco del cricoides, su contracción lleva hacia afuera y adelante la apófisis muscular, produciendo la aproximación de las cuerdas en la línea media. El músculo grueso droaritenoideo externo, es un grueso músculo que se inserta en la cara interna del cartílago tiroides y en la apófisis vocal, distinguiéndose en él una porción transversa más profunda y otra oblicua más superficial; su contracción ayuda al cierre de la glotis y a la tensión de las cuerdas /ocales. El músculo aritenoideo está formado por tres grupos de fascículos que van de una a otra apófisis muscular que aproxima ambos aritenoides y cierra la glotis dando lugar al primer acto del movimiento de la fonación, la oclusión de la parte intercartilaginosa de la hendidura vocal.

Conformación interior: La endolaringe la dividiremos $\varepsilon\eta$ tres pisos o porciones, un piso superior, un piso medio, la glotis y un piso inferior o subglotis. La supraglotis está limitado por la cara laríngea de la epiglotis hacia adelante, les repliegues aritenoepiglóticos hacia los lados, continuados hacia afuera por los senos piriformes y por detrás limitado por el vértice de los aritenoides y el músculo interaritenoideo o aritenoideo, que separan el vestíbulo de la hipofaringe. En su interior se aprecian dos masas cannosas, las bandas ventriculares, insertadas por delante en la epiglotis, confundiéndose por detrás con la mucosa de los arotenoides. La glotis es un espacio entre dos formaciones movibles, las cuerdas vocales, las que son doc repliegues prominentes constituidos en sus dos tercios anoriores por tejido membranoso y en su tercio posterior por una porción cartilaginosa, por delante las porciones me abranosas se unen para formar una comisura que se inserta en el ángulo entrante del cartílago tiroides por el tención vocal de Broyles, por detrás se insertan en las apovisis vocales de los aritenoides. Las porciones carillaginosas están separadas por una comisura posterior variable, su borde libre es delgado y su borde externo o adherente es ancho y corresponde al músculo tiroscitenoideo. Entre la cuerda vocal y la banda ventricular exisem dos profundas cavidades, los ventrículos de Mocgagni.

La subglotis es la porción más inferior de la endelaringe, se extiende desde donde termina la cara infestor de ambas cuerdas hasta el borde inferior del cartilingo cricoides. La irrigación arterial de la laringe derive de ramas de la arteria tiroidea inferior y superior. Las merias laríngeas son dos.

interia laríngea superior, rama de la tiroidea superior, me penetra en la laringe a través de la membrana

- tirohioidea, con el nervio Laríngeo interno.
- Arteria laríngea inferior, rama de la arteria tiroidea inferior, que se origina próxima al nervio Laríngeo recurrente, junto al cual penetra en la laringe por detrás de la articulación cricotiroidea. El retorno venosos de la laringe está a cargo de la vena laringea superior y de las arterias tiroideas superior y media; desembocando todas en la vena yugular interna.

La inervación de la laringe procede del nervio vago, que da lugar al nervio laríngeo superior y al inferior; el nervio laríngeo superior se origina del ganglio plexiforme, dirigiéndose a la laringe, dividiéndose a nivel del hueso hioides en dos ramas, una superior que se distribuye en la mucosa laríngea y otra denominada laríngea externa que inerva al músculo cricotiroideo y a la mucosa de la porción inferior de la laringe. El nervio laríngeo inferior o recurrente, esencialmente motor, se distribuye en todos los músculo laríngeos, exceptuando el cricotiroideo. En los bordes libres de la cuerda vocal, los linfáticos son pequeños y escasos, debido a la escasez de tejido subepitelial. La red linfática de la región supraglótica es extensa, reunida en un pedículo por delante del repliegue ariepiglótico abandonado la laringe a través de la membrana tirohioide; así tocos los conductos desembocan en los ganglios superiores de la Cadena Yugular Interna y solo unos pocos pasan a la Cadena Cervical Inferior o a la Cadena Espinal Accesoria. Los linfáticos de la región subglótica presentan más variaciones en su distribución, presentando tres pedículos uno anterior que atraviesa la membrana criotiroidea, se dirigen a los ganglios prelaríngeos en la región del istmo tiroideo y a los ganglios cervicales inferiores profundos y dos pedículos laterales que atraviesan la membrana cricotraqueal dirigiéndose a los ganglios paratraqueales y a la cadena yugular inferior.

Espacio Pre-Epiglótico

El conocimiento de este espacio es de gran importancia, pues el mismo es frecuentemente invadido por lesiones carcinomatosas que asientan en el vestíbulo

Se encuentra formado por la cara anterior de la epiglotis infrahioidea hacia atrás, por la membrana tirohioidea hacia delante y por el ligamento hiocpiglótico hacia arriba. Este espacio toma la forma de un triángulo de base superior y vértice inferior. Contiene solamente tejido célulo adiposo y es atravesado por vasos linfáticos.

Inspección Interna

El examen visual directo, es imposible para la exploración laríngea debido a su ubicación anatómica; por lo que se requiere instrumental especial para examinarla, recurriéndose a dos métodos; la faringoscopia indirecta mediante el espejo laríngeo y la laringoscopia directa mediante tubos-espátulas rectas y rígidas.

La laringoscopía indirecta debe practicarse con ayuda de un espejo o lámpara frontal como el aire espirado empaña el espejo Laríngeo, es necesario calentarlo previo al examen, siendo la utilizada para los exámenes y tratamientos de rutina. Es importante para obtener un buen campo visual en el interior de la laringe, atraer hacia adelante la base de la lengua mediante la atracción de la lengua con suavidad, pero con firmeza, con los dedos de la mano izquierda, utilizando una gasa con lo cual se endereza la epiglotis. El enfermo se sienta frente al médico con los hombros colgando y con el cuerpo inclinado ligeramente hacia adelante, quedando el médico en un plano ligeramente superior. El espejo laríngeo, cogido a manera de una pluma después de examinar la cavidad bucal y la faringe se introduce en la primera hasta lograr deprimir la úvula, intentando evitar el contacto con la base de la lengua; sosteniendo por la mano derecha, desde la comisura labial izquierda del paciente y su cara reflactante hacia abajo, se eleva ligeramente enfrentando con el rayo luminoso del espejo o lámpara frontal quedando la mano derecha y el mango fuera del radio visual. Una vez visualizada la laringe se efectuaran ligeros movimientos para colocar el espejo en posición adecuada, con la cual se puede explorar la laringe durante la respiración y en la fonación; para el primero se pide al paciente que respire tranquilamente y para lo segundo que emita las vocales "e" o "i", a veces es necesario anestesiar previamente el istmo en las fauces y en otras practicar varias exploraciones, si la imagen lograda no permite una adecuada visión de la pared posterior, se realiza la exploración en la llamada de Killian, en la que el paciente se encuentra de pie. Con la cabeza inclinada hacia adelante mientras que el médico se sienta o se coloca de rodillas; si por el contrario se requiere lograr la visión de la pared anterior y la comisura, se coloca al paciente en la posición de Turck, en la cual el paciente se encuentra sentado, con la cabeza inclinada hacia atrás mientras que el médico está de pie. También podemos utilizar la postura de Avellis para inspeccionar las paredes laterales ó el espacio subglótico, en la cual se inclina lateralmente la cabeza del paciente.

El espejo laríngeo nos ofrece una imagen larincoscópica invertida, es decir la base de la lengua, la epiglotis y el área anterior de la laringe se proyecta en la parte superior y la región posterior con los aritenoides y la entrada del esófago se proyecta en la parte inferior pero no cambian los lados. En el espejo, lo primero que vemos es la epiglotis, la cual servirnos de orientación. Si la misma ocluye la entrada de la laringe podemos lograr su elevación al ser emitidos los tonos "e" o "i", con lo cual se logra una adecuada visión de la endolaringe. Durante la fonación las cuerdas vocales se unen paralelamente entre sí con lo cual se ocluye la glotis mientras que durante la inhalación estas se separan, dando a la glotis el aspecto de un triángulo isósceles, en la parte superior del espejo antes de la epiglotis, se visualizan los repliegues glosoepiglóticos que dejan entre ellos una depresión ó valécula y los pliegues faringoepiglóticos que limitan los senos piriformes situados a ambos lados de la laringe. La laringoscopía indirecta permite evaluar la movilidad de las cuerdas vocales y de los aritenoides: si esta técnica no nos proporcionara datos suficientes sobre el órgano será necesario recurrir a la forma directa de exploración.

En 1894, fue creada por Kinstein la técnica de la laringoscopía directa, que permite la visión directa transoral de la laringe, el paciente es colocado en decúbito supino con hiperextensión del cuello, lo cual puede conseguirse colocando una almohada pequeña debajo de sus hombros. Antes de introducir el instrumento es necesario conseguir una buena anestesia local, siendo utilizados el laringoscopio, la espátula laríngea o el autoscopio. La anestesia se logra con una solución Lidocaína al 10% para el área bucofaríngea y de Tetracaína al 1% para el área endolaríngea; esta constituye la endoscópica más segura. En los niños y pacientes muy nerviosos recomendamos la laringoscopía bajo anestesia general. Una vez lograda una adecuada anestesia y habiendo colocado adecuadamente al paciente en posición sobre la mesa y comprobado el dispositivo luminoso, el mismo explorador, o un ayudante atrae la lengua hacia afuera y bajo visión directa introduce la espátula del Jaringoscopio en la línea media hasta llegar a la base de la lengua, ejerciendo presión sobre el mango hacia abajo y adelante hasta que aparece en el campo visual la cara lingual de la epiglotis: en este primer paso, es necesaria la protección sobre los dientes ó el reborde alveolar del maxilar superior y los labios. Si el paciente presentase defectos dentarios importantes en la parte anterior o lateral del maxilar

superior podemos situar el tubo en el espacio dejado por los dientes ausentes. Una vez visualizada la cara de la opiglotis se levanta ligeramente el final de la espátula, se carga la epiglotis y se introduce el instrumento un moso más allá de la misma y si es necesario se podrá ්වtener una visión más profunda de la tráquea.

Aspectos Epidemiológicos

Desde hace muchos años, los hábitos nutricionales son analizados como factores importantes en el papel del cáncer laríngeo; son numerosos los estudios realizados y sub resultados dan lugar a importantes medidas preventivas habiándose mucho de la dieta excesiva, su composición y el consumo de alcohol. El papel del médico es fundamental en la prevención, pues su palabra tiene gran valor y puede recomendar muchas formas preventivas.

betidas alcohólicas, aumenta el riesgo de cáncer de la laringe extrínseca; los productos del alquitrán contenidos en di humo de los cigarrillos, ocupan el primer lugar entre los factores causales del cáncer Laríngeo. La opinión presominante es que el alcohol no es un carcinógeno perso, pero si un potente co-factor de la carcinogénesis, presente en el tabaco, esto es basado en la observación de que el riesgo relativo al alcohol, aparece claramente en fum whores pero no, en no fumadores.

Como agente físico que ocasionalmente provoca un cáncer de laringe se encuentra las radiaciones ionizantes, siendo descrito como agente casual en observaciones realizadas, en pacientes que han realizado tratamientos radietetivos de papilomas locales, de ganglios linfáticos tuberculosas o micosis de la piel del cuello.

Historia Natural

i-ste toso paciente sospechoso de ser portador de un cáncer caríngeo, debe realizarse inicialmente una anamnesis cuidadosa, enfatizando en los antecedentes personales y familiares, las condiciones de vida y los síntomas objetivos y subjectivos; es importante la presencia de enfermedades previant como la laringitis crónica, las leucoplasias, los papilor es laríngeos, pues algunos de ellos suelen pueden a la applición del cáncer ó concomitar con el mismo otro aspects of tener en cuenta son los hábitos generales, entre los que el abuso del tabaco y la ingestión de bebidas alcohercus aparecen como factores causales.

Los síntomas subjetivos, ofrecen una adecuada orientación de la ubicación topográfica y traducen la perturbación de alguna o algunas de las funciones más importantes del órgano, como respiración o fonación u otras, en las cuales colabora la laringe como la deglución. Por la importancia que ofrece la ubicación topográfica en el tratamiento y pronóstico, dividiremos el análisis de la sintomatológica teniendo en cuenta la misma.

Cáncer de la glotis: son lesiones que precozmente ocasionan trastornos de la fonación; al inicio es poco marcado y el paciente sólo lo nota al cantar gritar ó discutir, por lo que en muchos casos constituye el síntoma subjetivo más típico del cáncer laríngeo; a menudo es variable en su intensidad, pudiendo observarse un cuadro monosintomático, la cual no se le ofrece gran importancia, hasta que otro síntoma complica el cuadro clínico, como puede ser la presencia de disnea al realizar un esfuerzo; falta de aire al adoptar el decúbito supino lo cual puede Con el uso del tabaco y la ingestión excesiva de obligarlo a dormir semisentado, pasando la dificultad respiratoria a ocupar el primer lugar en el cuadro sintomático. En algunos pacientes el cuadro disneico es desencadenado por un proceso infeccioso del árbol respiratorio; la aparición de nódulos cervicales es tardía en el carcinoma glótico y evidencia la extensión de la tumoración más allá de esta área.

> La forma de debut más frecuente del cáncer laríngeo es la disfonía, por lo que a todo paciente con una ronquera superior a 3 semanas debe realizársele sin dilación una laringoscopía indirecta. El examen de la laringe, es un paciente que acude precozmente nos permitirá observar las diferentes imágenes de comienzo del carcinoima glótico: enrojecimiento y engrosamiento de una cuerda vocal, otras veces se evidencia una ulceración de bordes gruesos en la parte anterior ó medida de una cuerda o una tumoración exofitica e irregular del borde de la cuerda vocal y en otros casos puede evidenciarse una placa blanquecina que engruesa la cuerda. En este período no es raro que la cuerda vocal conserve su movilidad. En las lesiones localmente avanzadas, se puede apreciar un área exofitica tumoral que toma prácticamente toda la cuerda y la comisura anterior tumoral que toma prácticamente toda la cuerda y la comisura anterior, pudiendo extenderse a la otra cuerda, la subglotis y/o la banda ventricular. La movilidad de la cuerda puede estar comprometida o abolida. La infiltración profunda de la cuerda con la formación tumoral endolaríngea conlleva la cuadro disneico y la invasión de la supraglotis da lugar a diseminación linfática con aparición de adenopatías cervicales.

Vol. 10 • N° 4, Oct - Did

Cáncer de la supraglotis: su síntoma más precoz, es la sensación de cuerpo extraño o de la molestia vaga inconstante al tragar saliva posterioridad puede aparecer la tos, pudiendo arrastrar estrías de sangre. En este momento el dolor puede convertirse en el síntoma principal con irradiación al oído e incrementándose con la deglución, lo cual habla a favor de la existencia de una pericondritis tumoral o de la extensión del tumor más allá de la laringe: en otros casos el enfermo que presentaba diversas molestias faríngeas, descubre la aparición de una pelotica ó una bolita en el cuello, los trastornos fonatorios son al principio poco marcados, los trastornos respiratorios también son de aparición tardía, pero pueden dar lugar a compromisos respiratorios severos, que pueden requerir una traqueotomía de urgencia debido a una gran masa que cae en la glotis ó a trastomos en la motilidad de los aritenoides.

El examen de la laringe puede mostramos la existencia de una lesión ulcerada, úlcero-vegetante, en ocasiones necrótica, que asienta en la epiglotis repliegue faringoepiglótico o aritenoepiglótico, de un desarrollo insospechado, teniendo en cuenta la sintomatología, que con posterioridad puede extenderse a las valéculas a la base de la lengua o a las paredes laterales de la faringe. En el examen del cuello pueden o no encontrarse adenopatías palpables el cráqueo laríngeo puede ó no existir. El tumor que se origina en la base de la cara laríngea epiglotis o en las bandas ventriculares, invade precozmente el espacio pre-epiglótico empujando la epiglotis hacia atrás se encuentra fija y acartonada y al examinar al paciente se visualiza un epiglotis que no se mueve o se mueve poco; pudiéndose visualizar una lesión de aspecto ulceroso o vegetante, que asienta en la mitad anterior de una banda o en la mitad inferior de la cara laríngea de la epiglotis.

Cáncer subglótico: es la ubicación primaria más infrecuente del carcinoma laríngeo. Su sintonía inicial consiste en la presencia de fatiga ó sensación de ahogo al realizar algún esfuerzo, la cual se va incrementando progresivamente hasta presentarse al decúbito, en ocasiones al cuadro disneico se asocia a una disfonía por invasión de las cuerdas vocales; al practicarse un cuidadoso examen laríngeo, puede apreciarse por debajo de las cuerdas una tumoración rojiza uní o bilateral ó bien por debajo de la comisura anterior. Al examen del cuello pueden evidenciarse la presencia de adenopatías; el examen clínico general puede mostrarnos la diferencia entre la disnea laríngea y la disnea pulmonar ó cardíaca, pues en la primera se pone en evidencia: la disnea inspiratoria el descenso inspiratorio de la laringe y el tiraje supraesternal.

Clasificación

Tomando como base los elementos aportados al realizar el examen elínico del enfermo, es esencial realizar la elasificación del mismo la cual debe ser uniforme, lo que nos permitirá comparar los resultado finales y realizar la adecuada selección del tratamiento.

En nuestro servicio utilizamos la clasificación de la UICC del año 1997.

- T- Tumor Primario.
- TX.- Tumor primario que no puede ser evaluado.
- To.- No evidencia de tumor primario.
- Tis.- Carcinoma in situ.

Supraglotis

- T1.- Tumor limitado al sitio de origen. Movilidad conservada.
- T2.- Tumor que afecta sitio (s) adyacentes en la supraglotis o la glotis (ejs. mucosa de la base de lengua, valecula, pared medial del seno piriforme), sin fijación de la laringe.
- T3.- Tumor confinado o la laringe con fijación o extensión al área proscricoidea, base de lengua o espacio preepiglótico.
- T4.- Tumor que invade el cartílago tiroides o se extiende fuera de la laringe, afectando orofaringe ó tejidos blandos del cuello.

Glotis

- T1.- Tumor confinado a la cuerda (s) vocal (es) con movilidad conservada, incluye toma de la comisura anterior o posterior.
 - Tla.- Tumor confinado a una cuerda.
 - T1b.- Tumor que afecta ambas cuerdas vocales.
- T2.- Tumor con extensión a la supraglotis o a la subglotis, con movilidad normal o disminuída.
- T3.- Tumor confinado a la laringe con fijación de la cuerda. T4.- Tumor que invade el cartílago tiroides y/o se
- extiende fuera de la laringe (ejs. tráquea, tejidos del cuello, tiroides, faringe).

Subglotis

- T1.- Tumor limitado a la subglotis.
- T2.- Tumor con extensión a la cuerda vocal con movilidad normal o disminuida.
- T3.- Tumor confinado a la laringe con fijación de la cuerda.

T4.- Tumor que invade el cartílago cricoides o tiroides y/o se extiende fuera de la laringe (ejs. tráquea, tejidos del cuello, tiroides, faringe).

Agrupación por estadios:

				Estadio IVA	T 4	NO	MO
Estadio 0	Tis	N0	M0		T4	N1	MO
Estadio I	T 1	NO	MO				
∃stadio III	Т2	NO	MO	Estadio IVB	Cualqı	⊥ier T	N2 M0
Estadio III	T1	N1	MO				
	T!	Nl	MO	Estadio IVC	Cualqu	iier T	N3 M0
	T3	NO.	N1 MO		•		

Radiología

La exploración radiológica de la laringe, para evaluar las alteraciones en el interior del órgano; puede emplear Ja radiología simple en sus vista antero-posterior y lateral; en las cuales se hace visible el esqueleto cartilaginoso del tubo mucoso repleto de aire, así como la epiglotis, los rapliegues ariepiglóticos y los ventrículos laríngeos.

La radiografía lateral realizada con el paciente tur sontado o acostado y el tubo colocado a 1 metro aproximadamente de la laringe, apuntando al cartílago timbides, utilizando preferiblemente rayos blandos con Asberves tiempos de exposición, permitiendo observar, la epligotis, los cartílagos tiroides y cricoides una parte de la gráquea y el ventrículo de Morgagni, que aparece a ambos lados como una excavación elíptica, poco nítida; la visión adecuada de la hipofaringe y la entrada del esolago, puede obtenerse utilizando la maniobra de 3. Valualva; el espacio pre-epiglótico, se destaca como un triangulo con base en el hueso hioides, su pared posterior con el epiglotis, la anterior en la membrana tirohioidea con vértice en el pie de cpiglotis; la luz laríngea se dibuja 6. como una zona clara convexa hacia adelante.

La radiografía anteropoesterior se realiza con la cabana del paciente inclinada hacia atrás, para evitar que el reaxilar inferior se superponga a la laringe y el rayo central apuntando a la nuca, tiene como inconveniente que la sobra de la columna vertebral se superpone a la imagin laríngea, siendo apropiada para desplazamientos de la laringe y la tráquea originados por procesos expensivos como tumores, inflamaciones, etc.

pacier le acostado, con el tubo de Rayos X describiendo un el co de giro en torno al objeto, permitiendo la

observación de la imagen en varios planos, en cada uno de los cuales, se reproduce claramente un nivel determinado, mientras disminuye progresivamente la claridad en tas regiones vecinas; con este método desaparece la sombra de la columna vertebral, tan perturbadora en las radiografías frontales, las tomografías se hacen a 0,5-3 cm en dirección dorsal, partiendo del borde anterior de la laringe (nuez de Adán) a intervalos de 0.5 cm cada una.

La tomografía axial computarizada, tiene muchas aplicaciones en la evaluación de las enfermedades laríngeas fundamentalmente en los tumores malignos, es capaz de mostrar alteraciones en los cartílagos de la laringe, que no son evidenciables por otras técnicas y permite la evaluación exacta del volumen tumoral así como la medición de la densidad de los tejidos, distinguiendo el tejido muscular, la sangre y otras tejidos, así como diferenciando las lesiones vasculares de las no vasculares. La técnica stándar realiza cortes entre 4 y 5 mms axiales, así como cortes coronales.

La inflamación que ofrece la tomografía axial computarizada acerca de a extensión en la mucosa de un tumor, es limitada, pero ofrece una valiosa información concerniente a la extensión en profundidad del tumor.

Aspectos que se pueden evaluar con la tomografía computarizada en el diagnóstico de tumores malignos.

- 1. Extensión a la comisura malignos.
- Extensión en profundidad, a áreas para cordales o para aritenoideas, espacios pre-epiglóticos y subglóticos.
- Invasión del cartílago.
- 4. Extensión extralaríngea en tumores endolaríngeos.
- Invasión del seno piriforme, a través del espacio cricotiroideo.
- Metástasis ganglionares cervicales.

Tratamiento

El tratamiento del cáncer laríngeo está relacionado con las características anátomo- elínicas de la lesión y su extensión. Tradicionalmente ha sido utilizada la radioterapia en las lesiones comenzantes y la cirugía en aquellos tumores localmente avanzadas; la quimioterapia en combinación con algunas de las terapéuticas mencionadas con anterioridad, intenta elevar los resultados obtenidos y sobre todo preservar la laringe (4). El desarrollo de diferentes técnicas de cirugía parcial ha ido ganando espacio en el tratamiento de las lesiones comenzantes por





el magnífico resultado obtenido. La adecuada clasificación clínica continua siendo la premisa fundamental en la selección de un adecuado tratamiento y en la obtención de altos porcentajes de sobrevida.

Tratamiento Radiante

El tratamiento radiante en los tumores de la laringe comprende variadas técnicas en dependencia de las regiones anatómicas de las mimas.

Carcinoma Glótico

En las etapas tempranas T1, T2 debido a la buena respuesta obtenida y a los altos índices de curación, el tratamiento radiante es electivo. Como la diseminación metastásica regional a los ganglios del cuello, es infrecuente, no se hace necesario la irradiación profiláctica del cuello.

La mayor ventaja que ofrece la radiación externa, sobre los procederes quirárgicos conservadores, es que la calidad de la voz es mucho más aceptable. Esta irradiación se efectúa con equipos de Teleterapia de fotones, Co.60 ó acelerador, por medio de campos pequeños que cubren solo la lesión primaria, habitualmente 4 * 4 cms. y 5 cms. y se extienden desde la hendidura tiroidea como límite superior, hasta el borde inferior del « cartílago cricoides. Habitualmente se emplean campos contrapuestos, otras veces angulados, como la adición de filtros en cuna con el fin de homogenizar la dosis y proteger la médula espinal, con una dosis tumor entre 65 y 70 Gy, 1.8 a 2 Gy por día, irradiando 5 días a la semana; algunos autores han llegado a recomendar dosis superiores.

Es un factor importante la correcta colocación del paciente, con el cuello en hiperextensión, ya que por el tamaño de los campos cualquier error de colocación puede ocasionar áreas de subdosis.

En tumores más avanzadas T3, T4, si se decide el tratamiento radiante, los campos de irradiación deben incluir todo el cuello, desde el borde inferior de la mandíbula hasta la región supraclavicular, con campos contrapuestos y dosis de 65 a 70 Gy, 1.8 a 2 Gy por día.

Aquellos pacientes en los que se realizó cirugía la irradiación postoperatoria, cubrirá toda el área quirúrgica, empleando campos contrapuestos y dosis entre 50 y 60 Gy medidos en línea media. La dosis en las regiones del cuello, estarán en dependencia de los hallazgos quirúrgicos:

para No.-50Gy y si los ganglios fueran positivos deben incrementarse a 60 Gy, irradiando siempre de lunes a viernes, 1.8 a 2 Gy por día.

Complicaciones del tratamiento radiante

En el curso del tratamiento radiante, puede aparecer radiomucositis más o menos intensa, acentuando la disfonía y trastornos en la piel del área irradiada. El edema laríngeo, es la secuela más comúnmente observada en el tratamiento radiante de la glotis y región supraglótica. La intensidad está relacionada con el volumen tratado, la dosis aportada v la asociación con alcoholismo v tabaquismo. También tardíamente pueden aparecer cuadros de condritis, que pueden requerir un tratamiento

Tratamiento Quirúrgico

A pesar de los avances evidenciados en las últimas décadas en la radio y quimioterapia, la cirugía laríngea continúa ocupando un lugar importante en la terapéutica de esta enfermedad, ya sea como tratamiento único o combinado; por otro tado las nuevas técnicas quirúrgicas. mantienen la concepción de extirpar radicalmente en un solo bloque el tumor y las vías de diseminación linfática. Las lesiones glóticas y supraglóticas en sus primero estadios que se encuentran localizadas pueden ser extirpados adecuadamente mediante la excéresis de áreas de la laringe con márgenes adecuados, no así los tumores transglóticos o subglóticos que tienden a extenderse en profundidad, penetrando frecuentemente en la armazón laríngea, en ocasiones más allá de los límites de la laringe; el plano quirúrgico horizontal o vertical en dependencia de la localización del tumor; en estos casos siempre debe tenerse el consentimiento previo del paciente para realizar la laringectomía total, si los hallazgos de la exploración quirúrgica loa aconsejasen.

Es importante la adecuada selección de aquellos pacientes que sean sometidos a cirugías parciales (5), aunque la edad ha sido un factor en el cual muchos autores han enfatizado, señalando que aquellos pacientes con más de 65 años, presentan mayor predisposición a las complicaciones por dificultades en la restauración esfinteriana pues en estas operaciones, el estado general es un factor más importante que la edad, ya que el estado físico está relacionado directamente con la capacidad del paciente para rehabilitarse; los pacientes con enfermedades

crónicas, incluyendo el alcoholismo no son buenos candidatos para las técnicas de cirugía parcial; el cirujano debe aplicar su criterio en cada caso particular; las enfermedades pulmonares crónicas, conspiran para el éxito de esta cirugía, pues el estrechamiento de la glotis y la alteración de la capacidad para toser, contribuyen a la insuficiencia pulmonar.

Laringofisura. Constituye el procedimiento más entiguo realizado en la laringe, para excéresis de carcinomas; es utilizada cuando el tumor está limitado a la cuerda vocal en su porción membranosa, con movilidad conservada, sin afectación de la comisura el ventrículo de Morgagni y ia subglotis no deben estar afectadas; estos tumores glóticos comprendido en la clasificación como T1 responden bien ε tratamiento radiante teniendo en cuenta lo cual muchos autores, lo consideran como el tratamiento de elección.

Vía de abordaje. Se realiza una incisión en la línea media a nivel del cartílago tiroides (tirotomía), que se pnede extender al cartílago cricoides (cricotomía), ésta tecnica puede ser utilizada como proceder diagnóstica, en aquellos pacientes que se sospeche la existencia de un tumor maligno primario o la persistencia del mismo después de un tratamiento inicial y no se hubiese logrado obiener un adecuado espécimen para estudio histólogo, per otras vías y como proceder terapéutico, posibilitando el acceso al interior de la laringe.

El paciente permanecerá acostado con la cabeza en hiperextensión; la intervención podrá realizarse bajo ancatesia general previa traquotemía, o con anestesia por infféración, añadiendo anestesia troncular a los nervios laringeos superiores; la incisión cutánea es practicada en la l'nea media desde hioides hasta el cartílago cricoides, se diseca el cartílago tiroides y si es necesario, el cricoides y el istmo de la glándula tiroides. La sección del caralago tiroides se realizará mediante una sierra manual o eléctrica, pudiendo ser utilizada también una tijera para carr lagos, con el inconveniente de que con esta última se secciona el pericondrio interno, el acceso interno se efectúa a través de la membrana cricotiroidea la cuerda debe aislasse en el fondo del ventrículo y en el espacio subgiótico; en la extirpación de la cuerda vocal debe incluiese el pericondrio interno del cartílago tiroides, una vez realizado esto se realiza hemostasia cuidadosa del área quenta, manteniendo un taponamiento endoloraríngeo impergnado en pomada, tipo Makulicz, durante 24 horas y une cánula traqueal; se sutura por planos las partes blancas, se colocará un drenaje subcutáneo, a fin de prevenir el esfisema de esta región.

Laringectomías Parciales

Existen diferentes tipos de Laringectomías parciales: Lanringectomía Parciales Verticales; entre las que citaremos: la Laringectomía Parcial Frontolateral, la Laringectomía Parcial Vertical Frontoanterior y la Hemilaringectomía.

Laringectomías Parciales Horizontales, entre ella mencionaremos: la Laringectomía Horizontal Supraglótica, la Laringectomía Subtotal con cricohiodopexia.

Laringectomías Parciales Verticales:

Laringectomía Parcial Frontolateral (Leroux-Robert).

Esta técnica es utilizada, para resecar lesiones que están muy próximas o infiltran la comisura anterior, teniendo en cuenta que el tendón de la comisura anterior se inserta directamente en el cartílago tiroides; no es posible separar ambas estructuras, sin dejar los márgenes de resección invadidos, por lo se requiera la resección del segmento medial del cartílago tiroides que recubre la comisura anterior, se realizan dos incisiones verticales penetrando en la laringe por el lado menos afecto; el tejido blando laríngeo en el lado afecto se separa subpericondricamente e incluye la cuerda vocal y la banda ventricular, la línea de resección puede incluir la apófisis vocal del aritenoides, pero respetando la articulación critoaritenoidea.

Laringectomía Parcial Vertical Frontoanterior o Técnica de la Comisura Anterior (Som y Silver).

Descrita en 1968 es utilizada en los tumores T2 de la cuerda vocal, en la cual se reseca una porción del cartílago tiroides y los tejidos blandos de la laringe (cuerda vocal), banda ventrícular, ventrículo, músculo y pericondrio); bilateralmente hasta Ilegar a la apófisis vocal, pudiendo incluirse en la resección la mitad superior del cartílago si existiese extensión subglótica.

Hemilaringectomía

Esta técnica fue realizada por primera vez por Billroth y desarrollada posteriormente por Gluck y Soerensen, quienes realizaban una hemirresección total, que comprendía la excéresis de una mitad anatómica de

la laringe, en lesiones con localización unilateral, siempre que el vestíbulo laríngeo estuviera libre. Son igualmente conocidas como hemitaringectomías, las intervenciones parciales realizadas por Som y Oguda.

Reconstrucción en la laringectomía parcial vertical

Las dividiremos en dos grandes grupos: Métodos de revestimiento y mantenimiento, que fueron los primeros en desarrollarse y los métodos de reconstrucción de la glotis y del vestíbulo.

Métodos de revestimiento. Persiguen como objetivo fundamental la obtención de un espacio aéreo adecuado, se han descrito diferentes métodos:

Prótesis Intraluminares.

Colgajos cutáneos.

Injertos de piel y mucosa.

Colgajos de mucosa. Utilizando la mucosa de la hipofaringe.

Métodos de reconstrucción de la glotis y del vestíbulo. Tienen como objetivos fundamentales, la mejoría de la voz y de los mecanismos deglutorios.

Colgajos musculares y de pericondrio. Colgajos de pericondrio externo, con los músculos que lo recubren hacia adentro.

Colgajo bipediculado del músculo esternohioideo, cubierto en su parte interna con el pericondrio externa. Colgajo unipediculado de músculo esternohioideo con base inferior.

Laringectomías Parciales Horizontales

Representan un proceder conservador laríngeo, en el cual se realiza la excéresis de la porción superior de la laringe, sin sacrificar el funcionamiento normal de la laringe remanente.

Laringectomía Horizontal Supraglótica (L.H.S.)

La Laringectomía Horizontal Supraglótica convencional, consiste en la resección de la epiglotis, hueso hioides, membrana tirohioidea, mitad superior del cartílago tiroides y la mucosa de la supraglotis 60; descrita por Justo Alonso, afamado otolaringogo uruguayo, quien realiza su presentación original al Congreso Panamericano

de Otolaringología en 1946, siendo Joseph Ogura, quien propagandiza la técnica y la perfecciona, por lo que son seleccionados aquellos casos, que presentan lesiones limitadas a la cara laríngea de la epiglotis o a la banda ventricular, lesiones de la mitad anterior del vestíbulo laríngeo, que respeten los aritenoides, el tercio posterior de las bandas ventriculares, el ventrículo laríngeo y la comisura anterior o lesiones de la epiglotis suprahioidea tiene gran importancia la extensión inferior del tumor, la fijación de una cuerda vocal, la cual es una contraindicación para la práctica de esta técnica.

Se practica una traqueotomía en el segundo anillo traqueal; las incisiones se harán en continuidad con las de la Disección Radical de Cuello, si es necesario realizar esta última, en ese caso se realizará primero la D. R. C. y después se abordará la laringe.

Se despega la musculatura suprahioidea del cuerpo y del asta del hioides. Se secciona el músculo constrictor inferior faringeo, a nivel del borde posterior del ala tiroidea, quedando expuesta la porción externa del seno piriforme; se separan los vasos laringeos superiores y el nervio. Se practica una incisión en el pericondrio a lo largo del borde superior del catílago tiroideo, rechazando hacia abajo un cogajo del pericondrio hasta el nivel de la cuerda vocal, quedando expuesta la porción del cartílago tiroides que ha de ser resecada. Se penetra a la hipofaringe a través del seno piriforme y se amplia la incisión a través de la valécula, se exterioriza la epiglotis por la parte de la mucosa incindida con ayuda de una sutura de tracción; retrayendo los extremos de la mucosa y traccionando de la epiglotis se podrá visualizar el vestíbulo laríngeo, se inciden los repliegues aritenoepigloticos de ambos lados, por delante del aritenoides, se lleva la incisión del repliegue a la porción posterior de la banda ventricular, se extiende por el ventrículo hasta la línea media, el procedimiento será el mismo en ambos lados. Se mantiene un margen de mucosa tan amplio como sea posible; la incisión pasará a través del ventrículo. resecando las bandas ventriculares, aunque las mismas no estuvieren afectadas, pues las porciones que queden de las bandas tienden a edematizarse y obstruir la glotis en el postoperatorio. Se practicará una miotomía dei cricofaringeo, colocando un dedo en el esfínter y seleccionando las fibras musculares en la zona posterior. Al cerrar se comienza suturando la mucosa del ventrículo a la del seno piriforme, llegando hasta donde sea posible y creando unos nuevos repliegues aritenoepigloticos: se suturará directamente la mucosa de la hipofaringe aproximando los bordes tanto como sea posible, evitando

las suturas a tensión, empezando desde atrás, quedará una zona descubierta. En este lugar la mucosa del ventrículo no se puede aproximar a la base de la lengua. Se cierra la zona descubierta suturando el colgajo de pericondrio a la base de la lengua; los bordes seccionados aspiraciones y neumonías, infección de la herida, de los músculos infrahioideos se suturan con los de los músculos suprahioideos lo cual proporciona un segundo plano cerrado.

Los autores que abogan por la cirugía conservadora, se apoyan en los magníficos resultados obtenidos desde el punto de vista funcional y los buenos porcentajes de sobrevida reportados. El tratamiento del cuello, ha sido mencionado por diferentes autores como elemento obligado en el tratamiento quirúrgico del cáncer supraglótico.

Laringectomía Subtotal con Cricohioidopexia (CHP).

Se trata de una laringectomía horizontal con resección de ambas cuerdas vocales y ambas bandas ventriculares o, en las que el tumor no se extiende inferiormente de forma de forma superficial máximo de 5 mms. Por debajo de la cuerda vocal, la fijación de una enerda no será contraindicación para la práctica de una CHP y podrá suplir la Laringectomía Radical en proientes con lesiones glóticas, de la supraglotis infrahioideas o ambas, con fijación de la hemilarínge ®.

Se practica una traqueostomía en el segundo anillo traqueal.

Las incisiones se realizarán en continuidad con las de la Disección Radical de Cuello, si fuese necesario reglizar esta última, de no ser así, se realizará una incisión en el cuello de forma semilunar desde la proyección de air bos ángulos de la mandíbula ó una incisión vertical en la cara anterior del cuello. Se despeja la musculatura in vinioidea del cuerpo del hioides, seccionando la mendorana tirohioidea y el segmento de la epiglotis con la cual se conservará el segmento suprahioideo de la misma; visualizándose la endolaringe, se selecciona la me ibrana cricotiroidea, con la cual se alcanzan los língio s superior e inferior. Sección del músculo constrictor info for de la faringe por el borde posterior del cartílago tire les. Se concluye la resección de la pieza quirúrgica, concervando al menos un aritenoides. La glándula tire cos ha quedado unida a la traquea. Se tira del cartílago cric ides el cual asciende para suturarlo al hioides y la mus calatura suprahioidea. Se comenzará la reconstrucción position parte posterior, es decir, la correspondiente a los

repliegues aritenoepiglóticos. Sutura de la piel con colocación de drenaje por aspiración negativa, tipo Surgivac o Hemovac.

Complicaciones; incluyen estenosis laríngeas, embolismo pulmonar y obstrucciones de la vía aérea.

Near Total Laryngectomy.

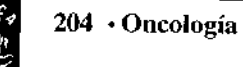
Descrita por Pearson en 1980, consiste en la creación de una fístula fonatoria traqueoesofágica utilizando el remanente Laríngeo, debiendo estar libre de tumor el espacio interaritenoideo, la subglotis, una cuerda vocal y un aritenoides (9), su indicación es en lesiones de epiglotis, banda ventricular, repliegues ariepiglotico y aritenoides.

Se realiza la incisión y el cogajo que incluirá el plastima, como si fuera a realizarse una laringectomía total. Se secciona y liga la vena yugular anterior; los colgajos se disecan hasta el hioides por encima y por debajo hasta el esternón. Sección inferior de los músculos esternohioideo, esternotioideo y omohioideo, sección del hueso hioides, exponiéndose la zona anterior de la laringe. Sección del istmo tiroideo y de los constrictores inferiores de la faringe; se pinzan, cortan y ligan los pedículos laringeos. Confección del traqueostoma a nivel del primer ó segundo anillo traqueal. Sección del cartílago tiroides en la línea media o lateralmente si el tumor envuelve la comisura anterior; sección del cartílago cricoides en la línea media. Se realiza la faringotomía a lo largo e las valéculas, pudiéndose visualizar la epiglotis y el vestíbulo laríngeo; la incisión se continua por encima del aritenoides y el ventrículo Laríngeo; la comisura anterior es seccionada tan cerca de la línea media como sea posible. La sección inferior se realizará a nivel del primer anillo traqueal. Sección del tejido interaritenoideo, preservando la mucosa del esófago y la hipofaringe; es necesario preservar el nervio laríngeo inferior contralateral.

La creación de una fístula dinámica es lograda al tubulizar la laringe remanente, compuesta por porciones del cricoides, el pericondrio, la subglotis, el aritenoides, la cuerda vocal y los dos primeros anillos traqueales, todos ellos alrededor de una sonda número 12. Cierre faríngeo con la mucosa remanente y la base de la lengua. Cierre de la piel a puntos sueltos.

La fístula faringocutanea es la mayor complicacón





ISSN 1390- 110

de esta técnica (10), la broncoaspiración incontrolable puede requerir la excéresis de los tejidos laríngeos remanentes; puede también observarse hematoma y dehiscencia de la herida aunque en menor porcentaje. La Near Total Laryngectomy es actualmente una opción en aquellos pacientes que deberían ser sometidos a una laringectomía Radical.

Laringectomía Total

La extirpación total de la laringe, esta indicada en los casos en que se dude poder circunscribir el tumor por tejidos sanos con una laringectomía parcial, cáncer limitado a una cuerda o no, con fijación. Han sido propuestas numerosas técnicas y diferentes variedades de colgajos cutáneos, aunque todos los procedimientos actuales se apoyan en la operación de Gluck, con sutura de la tráquea por delante y oclusión de la faringe. Actualmente se trata de obtener mejores porcentajes de curaciones abarcando en un solo bloque el tumor con sus vías de diseminación linfáticas. Es esencial la colocación del traqueostoma, suturando la piel al borde del mismo, a fin de evitar superficies cruentas granulantes; el cierre primario de la faringe no presenta dificultades después de resecado el hioies, la conservación del cual no representa ventajas para el cirujano ni para el paciente, generalmente la sutura puede realizarse en línea recta, en sentido longitudinal o transversal, aunque en ocasiones no pueden ser evitadas suturas en Y, T o V. El constrictor de la faringe constituye la segunda capa que se une por encima mediante puntos entrecortados, es preferible utilizar catgut crómico atraumático para esta oclusión o una sutura de largo tiempo de reabsorción. Se ha obtenido magníficos resultados en el cierre faríngeo inmediato, mediante sutura metálica con la pinza UKL-60, con la cual se ha logrado disminución importante en el porcentaje de fístulas faringo cutáneas.

Como complicaciones pueden presentarse hemorragias, las que suelen manifestarse en el postoperatorio inmediato, por flujo continuo de sangre por los drenajes de la herida o abombamiento de los colgajos cutáneos debido al acumulo de coágulos, también pueden fluir sangre por el traqueostoma o por la faringe, lo cual puede ser resultado de un vaso sin ligar o del fallo de una ligadura; la obstrucción de las vías aéreas por la presencia de un coágulo en la cánula u obstrucción traqueal. La sepsis de la herida, es una complicación importante que puede o no acompañarse de fístula faringo cutánea y/o necrosis del colgajo (11).

Restauración de la voz en pacientes laringectomizados.

A consecuencia de la laringectomía total, el paciente pierde la posibilidad de la comunicación verbal, pues los factores funcionales necesarios para la formación de la voz son dañados por la injuria quirúrgica disponiendo de varias posibilidades para lograr la comunicación verbal:

- 1.- Voz esofágica
- 2.- Locución susurrada cavidad bucal-faringe
- 3.- Utilización de aparatos auxiliares.
- 4.- Métodos quirúrgicos.

Métodos quirúrgicos. Se han ideado y utilizado múltiples métodos para la restauración de la voz, que de forma genética consisten en la formación de una fístula traqueo esofágica que permite el paso de la columna aérea del árbol respiratorio hacia el esófago y la faringe, e impida la salida de los alimentos por la misma.

Aprendizaje de la voz esofágica. En el mecanismo de la voz esofágica interviene el estómago y la parte que realiza movimientos de contracción y dilatación activos, funcionando con fuelle. Debe comenzarse lo más precozmente posible el aprendizaje de esta técnica, tan pronto como este curada la herida cervical externa pues esto favorece el estado anímico del paciente, así como su disposición para emprender cualquier nueva actividad; al principio puede resultar difícil deglutir el aire hacia la hipofaringe, esófago y estómago, para después lograr su expulsión con un adecuado control del eructo esofágico, que es la base para conseguir este tipo de formación, pudiendo lograr algunos pacientes una voz bien desarrollada y una pronunciación bastante exacta, pero no todos los pacientes son capaces de dominar la técnica y producir la voz esofágica.

Manejo de las Metástasis Cervicales

El tratamiento que se brinda al cuello está intimamente ligado a la sección terapéutica de la localización primaria, por lo cual de forma genérica y salvo casos muy particulares. deberá realizarse un tratamiento homogéneo de ambas áreas, teniendo muy en cuenta los patrones de diseminación propios de cada región.

Es de especial importancia en exhaustivo examen de ambas regiones cervicales, ante todo enfermo sospechoso de estar afecto por un Cáncer Laríngeo y la adecuada valoración de algunas estructuras normales que pueden

ser confundidas con un ganglio linfático, así como los 5. posibles casos de enfermedad subclínica en pacientes con cuellos clínicamente negativos, siendo esta situación, el 6. manejo de pacientes con diagnóstico de Carcinoma Laríngeo, con un cuello clínicamente negativo (12), tema de controversia actualmente.

Bibliografía

- 1. Díaz Martínez J R, Rodríguez Saldañas C, Guarnaluce Brooks R: Carcinoma Laríngeo. Oncología SOLCA 1997; 7 (2): 101 - 04.
- Johansen L. V., Overgaand J. and Elbrond O.: Pharyngocutaneos fistulae after laryngectomy: Influence of previous radiotherapy and profilactic 10. Gavilán J, Prim O, Herranz J, Rabanal I: Speech metronidazol. Cáncer, 1988, (61): 673 - 678.
- Díaz Martínez J R, Rodríguez Saldañas C, Guarnaluce Brooks R: Complicaciones de la cirugía radical laríngea. Oncología SOLCA 1997; 7(4): 247 - 49.
- Karp D P, Vaughn C W, Carter R, et al: Larynx preservation using induction chemotherapy plans radiation therapy as an alternative to laryngectomy in advanced head and neck cancer. Long-term flow-up report. Am J Clin Oncol 1991; 14:273 -279.

- Díaz Martínez J R, Guarnaluce Brooks R: Cirugía parcial laríngea. Oncología. 1997; 7(4): 243 - 46.
- Díaz Martínez José Ramón, Cuevas Pérez Iván. Laringectomía Horizontal Supraglótica. Revista Cubana de Oncología 1998; 14(2): 87 - 90.
- 7. Majer E H Rieder W: Technique de laryngectomie permettant de conserver la perméabilitité respiratoire (La crico-hyoido-pexie) Annales d'oto-laryngologie. Juillet-Aout 1959 Tome 76 No. 7 -8.
- 8. Díaz Martínez J R, Azcue Bilbao M, Cuevas Pérez I: Laringectomía Subtotal Glótico-Supraglótico. Revista Cubana de Oncología. 1997; 13(2) 59 - 63.
- Moñux A, Rabanal I, Cabra J, García-Polo J, Gavilán J: An easier technique for Near total laryngectomy. Laryngoscope 1996; 106: 235 – 238.
- results and complications of near-total laryngectomy. Ann Otol Rhinol Laryngol 1996; 105: 729 - 733.
- 11. Myers Eugene N, Alvi Aijaz: Management of Carcinoma of the Supraglottic Larynx: Evolution, current concepts and future trends. Laryngoscope 1996; 106: 559 - 67.
- Gallo O Boddy V, Bottai G V et al: Treatment of the clinically negative neck in laryngeal cancer patients. Head & Neci. 1996; 18 (6): 566 - 572.

PARA EDITORES EJECUTIVOS DE REVISTAS MÉDICAS

La Sociedad Ecuatoriana de Editores Médicos. (SEEM), invita a los directivos de revistas del área de la salud que no sean socios de la SEEM, a comunicarse con la entidad para fines de membresía

> P.O. Box 09-01-10322 Fax 593-4/881862 Telf.: 882282 / 889277 Guayaquil, Ecuador

SOCIEDAD DE LUCHA CONTRA EL CÁNCER SOLCA

AÑO DEL CINCUENTENARIO

DEPARTAMENTO DE CIRUGÍA

DEPARTAMENTO DE DOCENCIA E INVESTIGACIÓN

COLEGIO AMERICANO DE CIRUJANOS

CAPÍTULO ECUADOR SECCIÓN CÁNCER

CURSO TALLER INTERNACIONAL DE CÁNCER

TEMAS:

CÁNCER DE MAMA

CÁNCER DE ESTÓMAGO

FECHA:

AGOSTO 22-23-24 DEL 2001

LUGAR:

AUDITORIUM GUILLERMO AROSEMENA CORONEL ION-SOLCA DR. JUAN TANCA MARENGO 5TO. PISO

Incidencia del Cáncer Gástrico en Solca Machala

Dr. Segundo Vargas González (1) Dr. Jorge López Villalta (2)

(1) Cirujano Oncólogo, Jefe de la Unidad de Endocospía Digestiva Solca Machala

(2) Patólogo. Jefe de la Unidad de Patología Solca Machala

Abstracto

Realizamos un estudio retrospectivo de los pacientes atendidos en la Unidad de Endoscopía Digestiva do SOLCA Machala entre enero de 1994 y abril de 1997. En éste período de tiempo se realizaron 845 Endoscopías Digestivas Altas, usando para el efecto un Fibrogastrocopio Pentax FG-29X.

Del total de EDA realizadas, nosotros encontramos un total de 38 pacientes (4.49%) con diagnóstico endoscópico de cáncer gástrico avanzado confirmado por estudio histórico de las biopsias obtenidas.

La edad de mayor incidencia fue en la década de 61 a 70 años con 14 casos (36.8%).

La relación hombres 28 casos (73.68%) versus mujeres 10 casos (26.32%), fue de 1.9-1

Palabras claves: Cáncer Gástrico, SOLCA Machala

Introducción

El carcinoma gástrico es uno de los más letales y consunes en países como: Japón, Costa Rica, Chile, Ecuador con porcentajes que oscilan entre el 11% y 49%, habiéndose convertido en un verdadero problema de Salad Pública. Entre sus factores de riesgo debemos considerar aquellos multifactoriales, ambientales y alimentarios: entre los ambientales es preciso hacer enfasis en el agua de pozo no tratada, la cual es rica en nitritos, substancias altamente cancerígenas; los alimentos

Correspondencia y separatas Dr. Seigundo Vargas González Hospitel Oncológico Solea Machala Ap. Pettal: 07.01.50 Teléfono: (07) 980431 Machala - Ecuador

 $^{1390-0}10$

We carry out a retrospective study of the patients assisted in the Unit of Digestive Endoscopy of SOLCA Machala between of January 1994 and April 1997. In that lapse of time we carry out a total of 845 upper digestive endoscopies; we use for the effect a fiberscope Pentax FG – 29X.

Of the total of EDA carry out for us, we find a total of 38 patients (4.49%) with endoscopic diagnosis of advanced gastric cancer confirmed by histophatological study of the obtained biopsies.

The maxium age of incidence was among the 61-70 yers ago, with 4 cases (36.8%).

The relationship men 28 cases (73.68%) and woman 10 cases (26.32%) was of 1.9 - 1.

Key Words: Gastric Cancer, SOLCA Machala.

considerados dañinos son principalmente las carnes asadas al carbón por poseer éste aminas aromáticas que al contacto de partículas con la carne la tornan cancerígena; alimentos como el pescado ahumado, las carnes ahumadas, los embutidos y en general todos los alimentos que para su preservación utilizan nitrosaminas substancias mutágenas y cancerígenas; finalmente la OMS ha dado serias implicaciones como factor de riesgo a la infección del estómago por el Helicobacter Pylori.

En el Ecuador el cáncer gástrico se encuentra entre las diez primeras causas de muerte según datos del INEC.

Material y Métodos

En el COMITÉ AMIGOS DE SOLCA DE MACHALA, Provincia El Oro se realizó un estudio retrospectivo, entre el 16 de Enero de 1994 y el 16 de Abril de 1997 entre los pacientes que acudieron a la

Des derechos de autor de los artículos de la Revista Oncología pertensean a la Sociedad de Lucha contra el Cáncer SOLCA, Sede Hacional, Guayaquil - Ecuador

Abstract

Unidad de Endoscopía Digestiva, utilizando para el efecto un fibrogastrocopio Pentax Modelo FG-29X. A todos los pacientes se realizó una Historia Clínica, anotando los datos de filiación, el motivo de consulta y se procedió a la endoscopía previa serología para HIV, mediante el método Elisa. Los datos recolectados fueron ordenados para definir la frecuencia de cáncer gástrico, su tipo según la clasificación de Borrmann, la edad de aparición de la enfermedad y la ubicación topográfica así como la procedencia por provincia.

Resultados

En el período de tiempo descrito se realizaron 845 EDA, (Endoscopías Digestivas Altas) de los cuales se encontraron 38 casos positivos para carcinoma gástrico todos en estadío avanzado, lo cual da un porcentaje de 4.49% (7.2 x 100.000 habitantes) más bajo en comparación con las estadísticas de 1994 que dan una proporción en el país de 11.7 x 100.000 habitantes (1).

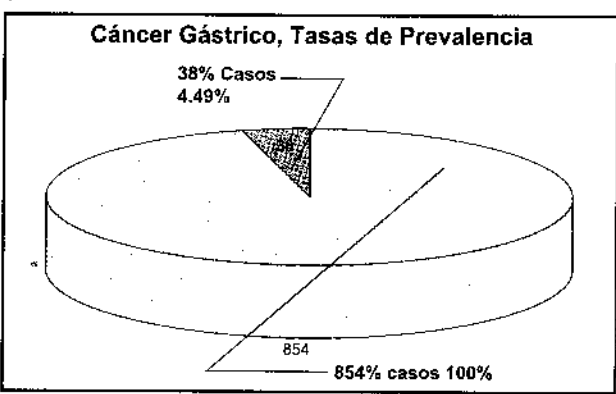


Figura 1

En cuanto a la prevalencia por sexo, de los 38 casos, se encontraron 28 pacientes que corresponden al sexo masculino, lo cual da un porcentaje de 73.68% y 10 casos correspondientes al sexo femenino con un porcentaje de 26.32%.

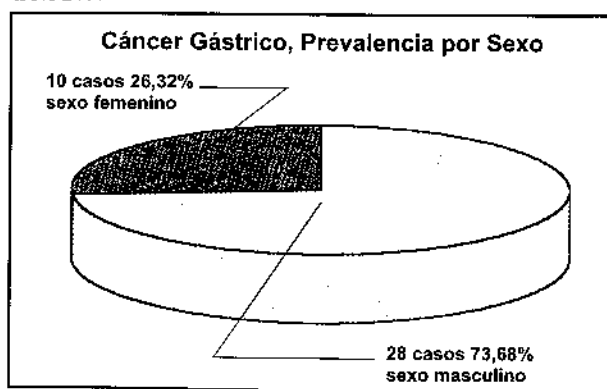


Figura 2

En la distribución por edad de los casos encontrados, se observó una mayor incidencia en el grupo ctario de 61-70 años con 14 casos (36.8%); le sigue el grupo de edad de 71-80 años con 8 casos (21.1%); a continuación el grupo de edad de 51-60 años con 7 casos (18.4%). Los grupos de edad de 41-50 y de 81-90 años tuvieron 4 casos cada uno (10.5%).

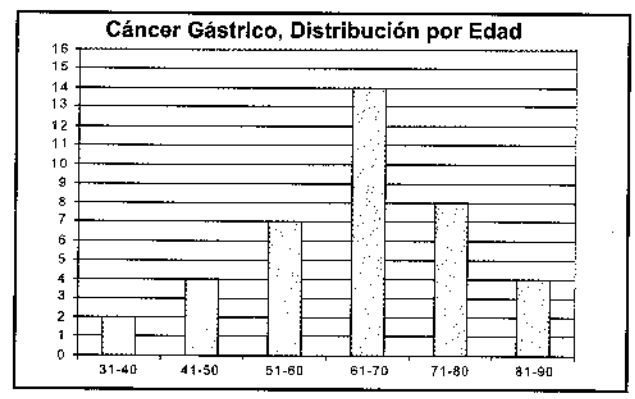


Figura 3

A nuestra unidad convergen pacientes de diferentes provincias y entre los hallazgos hay pacientes de la provincia El Oro 20 casos (53.3%), provincia de Loja con 10 casos (26.3), provincia del Azuay 4 casos (10.5%) y Guayas y Chimborazo con 2 casos (5.3%)

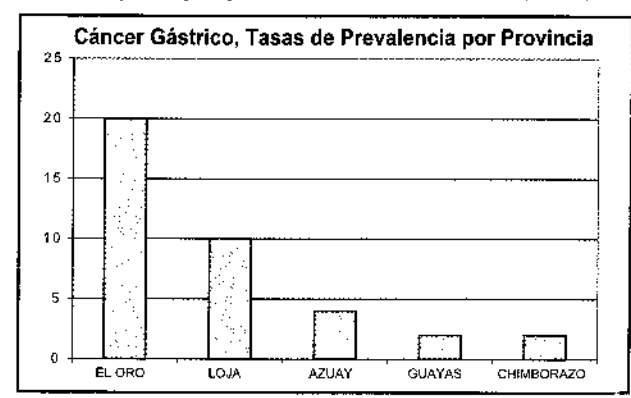


Figura 4

Aspecto macroscópicos. La región anatómica juega un papel importante; es verdad que ningún punto de la pared gástrica está protegida de cáncer; las comparaciones estadísticas permiten afirmar que las regiones más afectadas son la zona antropilórica (50 - 60%) ⁽²⁾ y la pequeña curvatura (25 - 30%); la región del cardias presenta menos del 10% de todos los casos.

En cuanto a la región corporal del estómago afectada. conociendo que el órgano está dividido en tres regiones conocidas más comúnmente como tercios, el tercio superior comprenden entonces la región subcardial y el fundus, el tercio medio comprende el cuerpo gástrico y el

tercio inferior el antro y región pilórica, vemos que en nuestro estudio la ubicación topográfica se distribuye de la siguiente manera: anastomosis esófago yeyunal y yeyuno y tercio superior 9 casos; dos tercios superiores 1 caso, tercio medio 3 casos, tercio inferior 18 casos y tercio medio e inferior 5 casos.

Significativamente se encontraron 4 casos de carcinoma de la unión esofagogástrica que al parecer va en proceso de ascenso en las estadísticas internacionales (3). En un caso se encontró recidiva tumoral después de gastrectomía total, en la anastomosis esófago-yeyunal de tipo polipoide que abarcaba ya el yevuno.

De acuerdo a la clasificación del cáncer gástrico en su estudio endoscópico hemos seguido la de Borrmann que identifica los tumores de tipo I como polipoide, tipo II nicerado, tipo III ulcerado y ligeramente elevado con infilvación en sus bordes y tipo IV infiltrante o Linnitis Plástica.

Clasificación del Cáncer Gástrico según Borrmann

orrmann I	rrmann I Borrmann II Borrman I		Borrmann IV
24 Casos	2 Casos	5 Casos 7 Casos	
€3.15%	5.26%	13.15%	18.42%

Figura 5

De nuestro estudio la década de la vida con el más 2. al o índice de presentación es la de 61 - 70 años de edad. En cuanto a la prevalencia por provincias notamos que El Oro lleva el índice más alto, seguido por la previncia de Loja.

En comparación con estadísticas de otros países, el cámer localizado en la región del antro y piloro es el más fromente.

Discusión

Debemos hacer notar que todos los tumores fueron diagnosticados endoscópicamente en estadíos avanzados o tarrifos de la enfermedad, lo cual deja entrever la pocaatendón que se le esta dando al cáncer gástrico en nuestro medicos en parte por una falta de acusiosidad de los médicos generales que ve pacientes con síntomas referidos al 5. estorago y que son tratados con antiácidos, inhibidores de los receptores H 2 e inhibidores de la bomba de protones, sin logar a establecer el verdadero diagnóstico de sus pacionies; del otro lado hace falta una mayor cultura médica dirigida a la comunidad con programas de información a la población haciéndoles saber de la nece. lad que tienen de realizarse un estudio endoscópio

como único método idóneo de establecer el verdadero origen de sus síntomas gástricos.

El cáncer gástrico desafortunadamente no presenta síntomas en sus estadíos tempranos o si los hay en forma de dispepsia gástrica son minimizados en su totalidad por médicos que ven al enfermo por primera vez va sea a nivel privado o en las Instituciones de Servicio Público: de ahí que nuestro objetivo es destacar el papel primordial que tenemos los médicos todos, de pensar siempre en cáncer gástrico y delinear la preparación y puesta en marcha de programas de screening de ésta enfermedad a fin de incrementar el diagnóstico endoscópico en estadíos precoces cuando las posibilidades de curación y / o sobrevida a largo plazo son excelentes en comparación con la escasa sobrevida de los pacientes con diagnóstico tardío que no ha sobrepasado la barrera del 10% a cinco años si llegan a ser operados; al igual sucede si no son operados porque sus condiciones generales o la etapa clínica lo impide.

Conclusiones

- De nuestro estudio se ve que todos los tumores diagnosticados en estadío avanzado.
- Es necesario alertar a las autoridades de Salud Pública del país que el cáncer gástrico puede ser controlado y disminuir su incidencia en etapa avanzada si se establecen políticas de diagnóstico oportuno, mediante estudios endoscópicos.
- Como obligación para obtener un trabajo y a todos los empleados de Instituciones Públicas o Privadas, deberían presentar un carnet con la confirmación de haberse realizado una endoscopía gástrica, pues más económico resultará a la postre éste programa, que la hospitalización para realizar cirugía a un paciente que de otro lado no va a ser curado totalmente si su diagnóstico fue realizado en etapa
- Incrementar la política sanitaria de que toda persona que pase de los cuarenta años de edad, debería realizarse una gastrocopía manual.
- Los programas de detección ya existentes, deberían incrementar sus estudios en busca del carcinoma en etapa precoz.
- El Ministerio de Salud Pública y SOLCA deben poner en marcha protocolos de investigación de los factores epidermilógicos de la enfermedad, sobre todo en zonas de alto riesgo ya identificadas al momento, alguna de ellas.

Bibliografia

- Carvajal, J. Zúñiga, F. Coronel, M.: Epidemiología del cáncer gástrico en el Ecuador. Oncología, 1996, 6: 205-213
- 2. F. Gagne, R. Garneau, C. Jean, R. Laumonier, L.

Orcel, A. Pages: Appareil Digestiv, Tumeurs Malignes de l'estomac.-Anatomíc Pathologique, 1980: 780-783

3. J. Saga, MD., S. Ojayama, MD.: Carcinomas involving the Esofagogastric juntion.-International Surgery 1990, 75: 205-207.

Del Editor:

INSTRUCCIONES PARA CARTAS AL EDITOR

Las cartas al editor son consideradas para su publicación si tratan temas dentro de los lineamientos generales de "ONCOLOGÍA", o si comentan artículos de los números previos.

Las cartas deben escribirse a doble espacio sin exceder las 300 palabras. Se puede listar hasta cinco referencias bibliográficas y 1 figura o tabla. Por favor, incluya los datos completos del autor con su filiación, dirección, teléfono, fax o e-mail.

Nuestra dirección es:
Editor, Revista "ONCOLOGÍA"

Av. Pedro Menéndez Gilbert

Apt. Postal No. 5255/ ó 3623

Guayaquil - Ecuador

Fax: (593-4) 293366 - 287151 e mail: editor@solca.med.ec jasanche@gye.satnet.net

Estudio Retrospectivo sobre Lesiones Preneoplásicas de Colon desde 1990-2000 en el Servicio de Gastroenterología del Hospital Juan Tanca Marengo ION SOLCA de Guayaquil y Revisión de la Literatura.

Dra. Tula Verdezoto Gaibor (I)

Dr. Ernesto Paladines Paladines (2)

Or. Francisco Mendoza Jaime (2)

⊡r. Iván Nieto Orellana (2)

∋r, Juan Tanca Campozano (3)

(1) Médico Post-Gradista del Servicio de Gastroenterología

(2) Médico Tratante del Servicio de Gastroenterología

(3) Médico Jefe del Servicio de Gastroenterología

Abstracto

En el ION-SOLCA de Guayaquil durante el período de mayo /1990 a mayo /2000 se han realizado 3671 coionoscopias, con llegada a ciego en más del 90% de veces, con un fibroscopio Olimpus CF 20I y un Vídeo Calonoscopio CFV; de las cuales en 237 colonoscopias se encontraron pólipos, correspondiendo al 6.5%. (1)

Según el sexo, fueron 117 hombres (49%) y 120 mejeres (51%). La edad de mayor incidencia fue la sexta década con 72 casos (31%), seguida de la quinta y séptima décadas de la vida con 40(15%) cada una, las restantes décadas representan 85 pacientes (39%).

Be extrajeron 339 pólipos, cuya localización más frecente fue en el sigmoides con 108 pólipos (31.86%) sigmondo en frecuencia la localización en recto, cor espondiendo a 70 pólipos (20.65%), colon descendente con 66 pólipos (19.47%), colon transverso con 46 pólipos (13.57%), colon ascendente con 32 pólipos (9.4-5%), la menos frecuente es ciego con 17 pólipos (5%).

es acuerdo a la macroscopia 251 pólipos son sésiles (74%: y 88 pólipos son pediculados (26%).

os pólipos < de 1cm son los más frecuentes correspondiendo a 259 (76%), seguido por los de 1-2cm son 5% (17%) y los menos frecuentes son aquellos > 2cm con 2% (7%).

Corres andencia y separatas:

Dr. Errectio Paladines Paladines Servicio de Gastroenterología

ION-SCA"Dr. Juan Tanca Marengo"

Av. Pedir: idenéndez Gilbert Cdfa, Air bizana

Telfs.: 2, 4988 - 281042 P.O. Bot. (49-01) 15028

Guayaqu - Ecuador

D Los de chos de autor de los artículos de la Revista Oncología perteneces a la Sociedad de Lucha contra el Cáncer SOLCA,

Sede Nacional, Guayaquil - Ecuador

Según su histología los pólipos adenomatosos tubulares representan el 38% con 128 casos, los tubulo-vellosos son 42 representando el 12%, los vellosos son el 4% con 13 casos y se encontró adenocarcinoma en 7 pólipos que representan el 2%. Se ha clasificado como otros a los pólipos hiperplásicos, y juveniles, siendo de este grupo 149 pólipos con el 44%.

Se concluye que la realización de la colonoscopia total permite la detección oportuna de pólipos y su resección, previniendo de esta manera el desarrollo del cáncer de colon.

Palabras Claves: Pólipo - Neoplasia

Abstract

3671 colonoscopies were made in SOLCA-ION Guayaquil from May 1990 to May 2000. The cecum was observed in more than 90% of the examination. We used an Olympus Fiberscope CF20I and a Video Colonoscope CFV. We found 237 examinations with polips, this is 6.5% (1)

We had 117 males (49%) and 120 females (51%). The peak incidence for age was the sixth decade with 72 cases (31%), followed by the fifth and seventh decades with 40 cases each (15%), the rest of the patients correponded to 85 patients (39%).

393 polips were excised. The most frequent localization were sigmoid 108 polip (31.86%), rectun 70(20.65%), descending colon 66 (19.47%), transverso 46 (23.57%), abscending colon 32 (9.44%), the less frequent is cecum 17 (5%).

The macroscopic aspect were 251 sesil (74%) and pediculated 88 (26%). The size < 1cm were more frequent 259 (7%); between 1-2cm, 56 (17%); the less frequent were >2cm, 24 (7%).

According to the histology: adenomatous tubular polip were 128 (38%), tubulo villous 42 with (12%), mujcres (51%). Cuadro y Gráfico 1. villous 13 with (4%) and Adenocarcinoma in 7 (2%). Classified as "others" are the hiperplastic and juvenile polips and we found 49 (44%).

It is concluded that the total colonoscopy permites the timely detection and resection of polips, avoiding by this way THE COLON CANCER.

Key Words: Polips - Neoplasia

Objetivos

Determinar la tasa de incidencia de pólipos colónicos en el ION-SOLCA de Guayaquil Ecuador en un período de 10 años mediante colonoscopia y su resección con pinza o asa de polipectomia.

Materiales y Métodos

Entre mayo /90 a mayo /2000 en el Departamento de Gastroenterología del Hospital Juan Tanca Marengo ION-SOLCA de Guayaquil Ecuador, se practicaron 3671 colonoscopias efectuados con un fibroscopio olimpus CF 201 y un vídeo colonoscopio CFV.

Los pólipos sésiles pequeños hasta 4mm de diámetro fueron extirpados con una pinza de biopsia Olimpus FB 240, los pediculados y sésiles de mayor tamaño de diámetro se extrajeron con una asa diatérmica Olimpus modelo SD-GUAE. En todos se utilizó una preparación estándar de limpieza del colon compuesta por polyetilenglicol y electrolitos (Colax Lab Ecu Guayaquil).

Se llegó a ciego en más del 90% de los casos en el 10% restante no se pudo concluir por mala preparación y/o intolerancia al procedimiento, sobre todo en pacientes de sexo femenino con varias intervenciones quirúrgicas previas y/o irradiadas.

Una vez extraídos los pólipos fueron procesados en solución de formol y enviados a patología para su estudio.

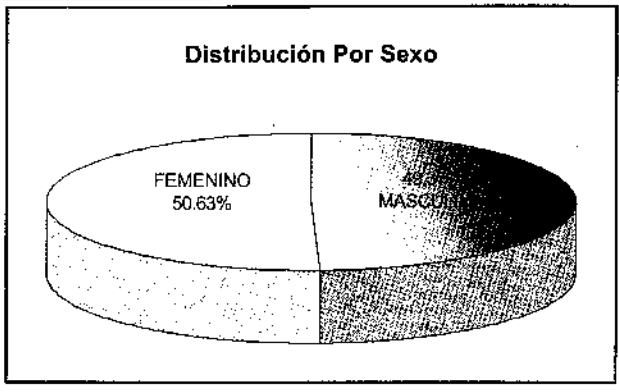
Resultados

En 3671 colonoscopias realizadas por diversas causas en un período de 10 años, se extrajeron 339 pólipos.

De estos pacientes fueron 117 hombres (49%) y 120

Pólipos Colónicos Distribución por Sexo

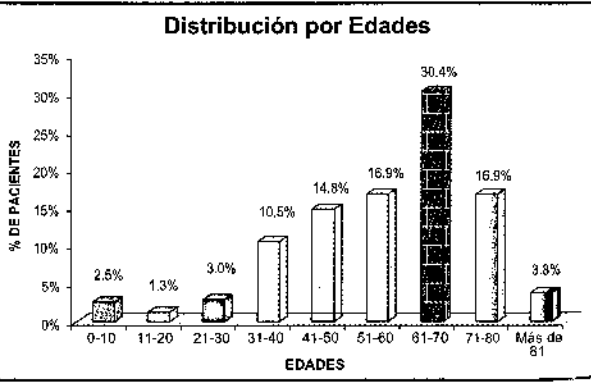
SEXO	# DE CASOS	%
Masculino	117	49.37%
Femenino	120	50.63%
TOTAL CASOS	237	100.00%



La edad de mayor incidencia fue la sexta década de la vida siendo 72 casos (31%) con un rango de 10 a 80 años. Cuadro y Gráfico 2

Pólipos Colónicos Distribución por Edad

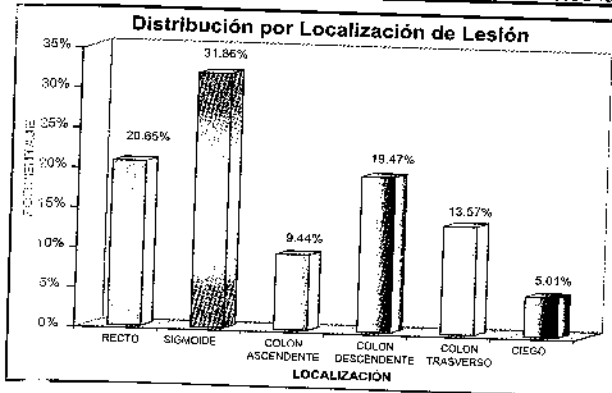
EDADES	# DE CASOS	%
0-10	6	2.53%
1120	3	1.27%
21-30	7	2.95%
31-40	25	10.55%
41-50	35	14.77%
51-60	40	16.88%
61-70	72	30.38%
71-80	40	16.88%
Más de 81	9	3.80%
TOTAL CASOS	237	100.00%



Por su localización anatómica el sitio más frecuente fue el sigmoides con 108 casos (31.86%), siguiendo en frecuencia el recto con 70 casos (20.65%). Cuadro y Gráfico 3

Pólipos Colónicos De acuerdo a su localización

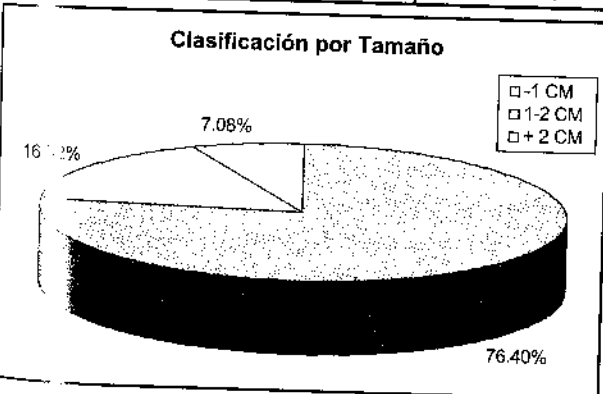
UBICACIÓN	# DE CASOS	%
RECTO	70	20.65%
SIGMOIDE	108	31.86%
COLON ASCENDENTE	32	9,44%
COLON DESCENDENTE	66	19.47%
COLON TRASVERSO	46	13.57%
CIEGO	17	5.01%
OTAL CASOS	339	100.00%



Por su tamaño los más frecuentes fueron los menores de 3cm, siendo 259 pólipos (76%). Cuadro y Gráfico 4.

Pólipos Colónicos Clasificación por Tamaño

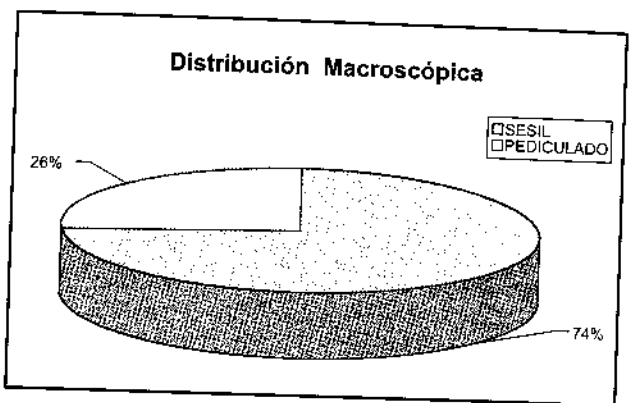
T/ MAÑO	# DE CASOS	PORCENTAJE
<u>-1 ::M</u>	259	76.40%
1-∷ <u>CM</u>	56	16.52%
+ 2 <u>CM</u>	24	7.08%
TOTAL CASOS	339	100.00%



De acuerdo al aspecto macroscópico 251 pólipos son soiles (74%) y 88 son pediculados (26%). Cuadro y Gráfico 5.

Pólipos Colónicos Distribución Macroscópica

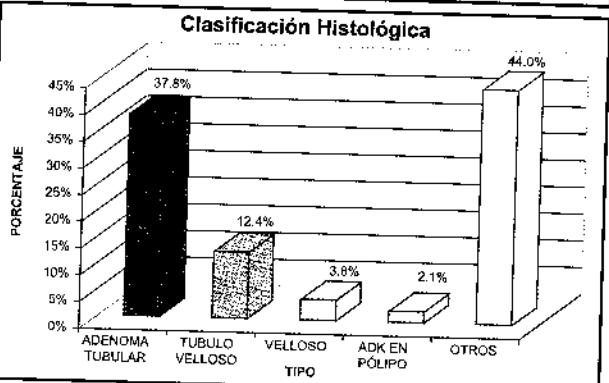
TIPC	# DE CASOS	%
SEST	251	74,00%
PEDI ULADO	88	26.00%
TOT	339	100.00%



El tipo histológico más común fueron los adenomas tubulares con 128 casos (38%). Cuadro y Gráfico 6.

Pólipos Colónicos Clasificación Histológica

TIPO	CASOS	PORCENTAJE
ADENOMA TUBULAR	128	37.76%
TUBULO VELLOSO	42	12.39%
VELLOSO	13	3.83%
ADK EN PÓLIPO	7	2.06%
OTROS	149	43,95%
TOTAL	339	100%
		100%



Discusión

El cáncer colorrectal es una de las causas más importantes de muerte en EE.UU., se presentan alrededor 130000 casos nuevos cada año y 60000 muertes por este cáncer. (2)

Un pólipo es considerado como una protrusión gruesa visible desde la superficie de la mucosa. Los pólipos pueden ser neoplásicos y no neoplásicos. Son muy comunes y dependen de la diligencia del examinador. (23)

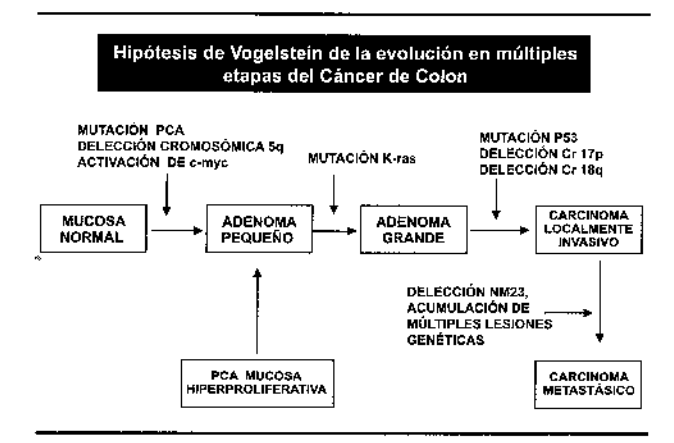
Los pólipos adenomatosos son considerados lesiones preneoplásicas del colon, se encuentran rara vez en individuos menores de 50 años de edad, están presentes en cerca del 25% de las personas de 60 a 80

El 50% se localizan en recto y sigmoides; en los ancianos se incrementa la localización en otros segmentos del colon. La mayor parte de pólipos son descubiertos casualmente, muy raramente pueden sangrar, ciertos pólipos de gran tamaño causan prolapso, intusuccepción o diarrea líquida. 4.5)

El potencial maligno y los tratamientos han sido motivo de controversias. La mayoría de los carcinomas del colon se inician como adenomas. (4.5)

Se ha considerado que los cánceres colónicos tienen componentes genéticos que son hereditarios o adquiridos en grados variables.

Una hipótesis ampliamente postulada por Vogelstein sugiere que existe una secuencia evolutiva de hiperplasia a displasia y neoplasia, finalmente a invasión y metástasis; durante este proceso se producen varias mutaciones (hasta seis o siete) que afectan oncogenes o genes supresores tumorales. 49 Cuadro: 7



Las mutaciones más frecuentes ocurren en el gen supresor tumoral p53 que se detecta en 60-70% de los pacientes. Estas mutaciones ocasionan una sobre expresión de la proteína p53, una proteína de transporte de membrana. Otras mutaciones incluyen en los oncogenes C-myc y c-k-ras, siendo esta última también una codificadora de una proteína de membrana, mientras que la C-myc codificada una fosfoproteína nuclear que interviene en la proliferación celular, es usual encontrar perdidas alélicas en los cromosomas 5q, 18q y 17p, 446.79

Aunque se considera que la displasia es un precursor general del cáncer, se ha comprobado que la proliferación se enlentece una vez formado el tumor, siendo menor que en los tejidos circundantes. En un estudio radiológico se ha demostrado que el tiempo necesario para que un cáncer de colon duplique su tamaño es de unos 620 días.

Por este motivo, es probable que deban transcurrir hasta 5 años antes que los cánceres de colon sean sintomáticos. (45.7)

Los patrones glandulares de los adenomas permiten clasificarlos en: Adenomas tubulares con glándulas tubulares rectas, representan el subgrupo más común siendo alrededor del 80 al 86%, los adenomas vellosos contienen glándulas adenomatosas que se extienden en forma recta hacia abajo desde la superficie hasta el centro del pólipo o frondas papilares en largas proyecciones similares a dedos y representan del 3 al 16% y los adenomas tubulo-vellosos tienen una mezcla de ambos patrones en proporciones variables y son del 8 al 16%. (4.5.6)

Por definición todos los adenomas colorrectales son displásicos, se puede hallar una displasia leve en el 70 al 86% de los pólipos adenomatosos, los núcleos mantienen su polaridad basal en las células pero son hipercromáticos y están levemente aumentados de tamaño y elongados, a menudo hay una pérdida de mucina de las células caliciformes; la displasia moderada se presenta en el 5 al 10%, los núcleos se vuelven estratificados y pleomórficos con núcleos prominentes, junto con mayor perdida de mucina de las células caliciformes y un aumento del hacinamiento glandular; la displasia severa se caracteriza por una mayor estratificación y pleomorfísmo de los núcleos, nucléolos más numerosos y prominentes la relación núcleo citoplasma aumentada y un hacinamiento glandular extremo con mayor proliferación celular, dentro de la cripta las células se apilan, pierden polaridad y generan glándulas dentro de las glándulas, lo cual crea un aspecto cribiforme desordenado, denominado carcinoma in situ, los que se clasifican dentro del mismo grupo y ambos se consideran como displasia de alto grado y un carcinoma invasor se presenta en el 5 al 7%. Los grados más elevados de displasia son más comunes en los adenomas de mayor tamaño y mayor contenido velloso, es más probable que los adenomas con una displasia severa contenga foco de cáncer invasor. (5)

La probabilidad de transformación maligna de un adenoma es proporcional al tamaño de la lesión (1% en las lesiones que miden <1cm, 10% en los de 1-2cm y 50% en los que miden más de 2cm. (4.5)

Suelen haber lesiones sincrónicas, es decir pacientes que tienen adenomas pueden tener carcinoma o adenomas en otro sitio, los antecedentes de adenomas ponen al individuo en riesgo incrementado de desarrollar adenomas adicionales o carcinoma de colon (lesión metacrónica). (5 6.8)

Los síndromes de pólipos hereditarios causados por defecto de genes supresores tumorales específicos se relacionan con un riesgo elevado de desarrollar adenomas adicionales y cáncer del colon subsecuente.

Se piensa que la remoción de los pólipos adenomatosos puede impedir el desarrollo subsecuente de cáncer de esta parte del tubo digestivo.

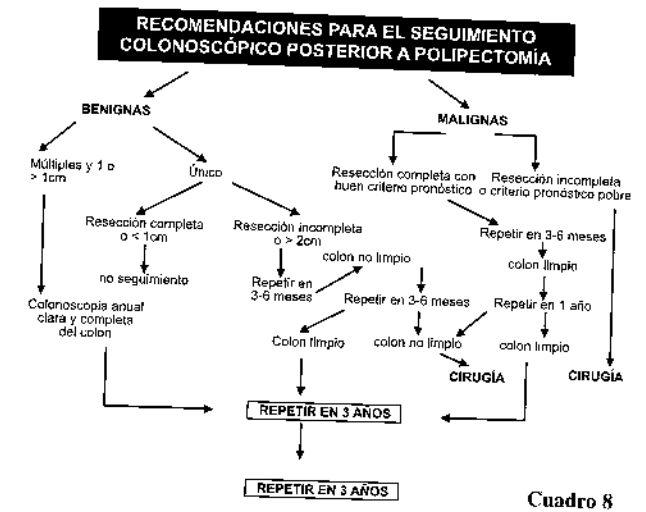
El Colegio Americano de Gastroenterología (ACG) y la Sociedad Americana de Gastroenterología (AGA), establecieron parámetros respecto al Screening y sequimiento en pacientes con riesgo elevado de cáncer colorectal (CRC) y/o personas con historia de pólipos adenomatosos.

Los pólipos aislados identificados mediante celonoscopia, la cual debe ser completa hasta ciego y con una preparación adecuada, deben ser removidos con piona de biopsia caliente o asa de polipectomia. $^{(5.1142)}$

El manejo inicial:

- Los pacientes con pólipos detectados con enema de bario o rectosigmoideoscopia flexible deberían realizarse una colonoscopia completa para la resección del pólipo y buscar lesiones sincrónicas. (13)
 - El examen no es considerado adecuado sin un eporte de que ha sido hasta ciego y satisfactorio eara el paciente.
- la colonoscopia posterior en pacientes con pólipos nenores o igual a 0.5cm encontrados durante una igmoideoscopia debería ser individualizado, ependiendo del tipo histológico e historia de resoplásia colonica. Un pólipo hiperplasico sin adenoma cigrante la sigmoideoscopia flexible no es indicación 🔾 seguimiento colonoscopico futuro. (14)
- 3.) os pólipos pequeños deberían ser biopsiados Grante la colonoscopia y/o destruidos con fulguración.
- Ho pacientes con resección endoscópica de pólipos séciles grandes (>2cm) debería repetirse una colonoscopia en 3-6 meses para comprobar si la 3. respección fue completa. Si un pólipo residual esta presente, este debe ser resecado y una nueva co-onoscopia deberá repetirse en 3 a 6 meses. Si habicse lesión residual en los controles deberá el pasiente ser referido a cirugía. (11.1524)

Un pólipo grande y extenso debe estar indicada cirugía cesde el inicio. Cuadro: 8



Los Pólipos Malignos:

- Si un pólipo maligno es completamente excindido y la patología determina que el borde de resección está libre de cáncer, sin afectación vascular ni linfática, cuya histología es un adenocarcinoma bien diferenciado, el paciente puede considerarse como curado.
- 2. En pacientes con pronóstico favorable el seguimiento colonoscopico debe ser practicado en 3 meses para controlar tejido tumoral residual. Después de una colonoscopia negativa, el examen de seguimiento debe hacerse como si fuese un adenoma benigno.
- En pacientes con criterio desfavorable hay un riesgo relativo de muerte por câncer metastásico por lo tanto se debe sobrepesar la mortalidad quirúrgica versus la recurrencia locorregional, or 15.16

Seguimiento post polipectomia:

- Repetir la colonoscopia en busca de adenoma sincrónico o metacrónico en el período de 3 años para la mayoría de pacientes con un solo o pocos adenomas, dependiendo de la calidad inicial del examen.
- Los pacientes con adenomas múltiples en un examen inicial suboptimo requieren colonoscopia en el lapso de 1 a 4 años. (22)
- Después de un examen negativo en 3 años de seguimiento el nuevo examen debe ser practicado en 5 años. (17) Si en el seguimiento de los 3 años hay pólipos el siguiente examen debe ser practicado en 3 años, si se reporta como normal el próximo examen debe ser en 5 años. La presencia de displasia de alto grado por si misma, no afecta a la mencionada recomendación, (3.12)
- Un encma de bario a doble contraste y la



rectosigmoideoscopia flexible son considerados como una alternativa donde no se puede realizar colonoscopia, ya que en estudios realizados se ha comprobado una sensibilidad del 97.3% para la colonoscopia. (9.18)

- No se puede requerir seguimiento en los siguientes
- Adenoma tubular único y pequeño < 1cm (15)
- Mayores de 75 años en el momento de la polipectomia
- No pólipos remanentes.
- El seguimiento debería estar individualizado y debería estar descontinuado cuando este no este en capacidad de prolongar la expectativa de vida. (3.6.20) 2.

La mayor causa de muerte en pacientes con póliposis 3. es el cáncer colorectal. (19.20)

La colonoscopia debe ser usada en la detección temprana, recurrencia y enfermedad metacrónica después del cáncer colorectal; la cual incrementa la resección curativa y mejora la sobrevida. (21.22.23) Por lo tanto la colonoscopia realizada en forma completa o total disminuye el riesgo de desarrollar cáncer de colon y recto en un 50%.

Se sugiere que pacientes con historia familiar de cánceres colorectales esporádicos es mas probable que se incremente el riesgo de presentar pólipos adenomatosos 6. a lo largo del colon. (25) Por lo que la colonoscopia debe ser considerada un procedimiento diagnóstico y terapéutico. (26)

Las complicaciones de la polipectomia endoscópica incluyen hemorragias en el 1.8%, perforaciones en el 8. 0.3% y síndrome postpolipectomia.(11.27)

Conclusiones

Durante el período de 10 años se extrajeron 339 pólipos en 6.5% de colonoscopias en los masculinos (49%) y femeninos (51%), la mayor incidencia en la sexta 10. Rex D, Cutler C, Lemmel G, Rahmani E, et al. década de la vida(31%), en sigmoide el 31.8%, el 74% son sésiles y 26% pediculados; el 76% menores de 1cm, 44% son no neoplásicos y 38% son adenomas tubulares.

Con el uso de la colonoscopia completa se ha conseguido disminuir la incidencia de cáncer, el riesgo de muerte y mejorar la expectativa de vida, ya que se considera a dicho procedimiento como diagnóstico y 12. A SAGES Co-Endosed ASGE Guideline terapéutico. Ya que la mayor causa de muerte en los pacientes con poliposis es el cáncer colorectal.

Por lo que se debe considerar las recomendaciones para la colonoscopia según la AGA, CG para el seguimiento y screening (chequeo médico). Con la detección oportuna de los pólipos y su resección, permitiendo normatizar el uso de la colonoscopia y por lo tanto reducir sus costos.

Bibliografía

- 1. Paladines E. Tanca J. Lesiones preneoplásicas de colon y su manejo endoscópico. Oncología. 1993;1(1):16-19.
- Anil R MD, et al. Chemoprevention in familial colon cancer. Digestive Disease week 2000; 23:1-4.
- Suhail A, J White, C Hall, et al. Sporadic colorectal polyps: Management Options and Guidelines, Scand J Gastroenterol 1999;34:4-11.
- Grendell JH, Mcquaid KR, Friedman SL, et al. Diagnóstico y tratamiento en Gastroenterología. En: Bresalier R M. Lesiones malignas y premalignas del colon. México Editorial. El manual moderno, S.A. de C.V 1996; 459-487.
- Bruce FM, Shmidt S, Sleisenger M, et al. Enfermedades Gastrointestinales y hepáticas. En pólipos colónicos y síndromes de poliposis. Editorial médica panamericana S.A 2000:2004-46.
- Heuman D, Mills A, Hunter H, Mc Guire Jr, et al. Gastroenterología. En Pólipo neoplásicos. México editorial Mc Graw Hill Interamericana 1997:243-48.
- Rhodes JM, Her H, Sai S, et al. Gastroenterología. En cáncer de colon y pólipos Colónicos. Madrid Editorial Mosby/Doyma Libros S.A 1996:133-142.
- Van R, Geral J, Baron J, et al. Adenoma Characteristics firts colonoscopy as predictors of adenoma. Recurrence and characteristics at follow up. Gastroenterology 1998;115:13-18.
- Rex D, Rahmani E, Haseman J, Lemmel G, et al. Relative Sensitivity of colonoscopy and Bariun Enema for detection of colorectal cancer in clinical practice. Gastroenterology 1997;112(1):17-23.
- Colonoscopic mis rates of adenomas determined by back- to back colonoscopies. Gastroenterology 1997;112(1):24-28.
- 11. Winawer S, Kurtz R, et al. Gastrointestinal cancer. En: O'Biren M, Winawer S, and Waye J. Colorectal polyps. New York London. Editorial Gower Medical publishing. 1992: 3.1-3.45.
- colonoscopy in the screening and surveillance of individuals at increased risk for colorectal cancer.

- 13. Hunt L, Pooney P, Hardcastle J, et al. Endoscopic screening of relatives of patients with colorectal cáncer. Gut 1998;42(1):71-75.
- 14. Hofstad B, Vatn MH, Andersen SN, Huitfeldt HS, et al. Growth of colorectal polyps: redetection and evaluation of unresected polyps for period of three years. Gut 1996;39:449-456.
- 5. Rex DK, MD et al. Surveillance colonoscopy after resection of colorectal polips and cancer. American society for Gastrointestin Endoscopy 1998;612 (2):1-4.
- 16. Hookman P, Barkin J, et al. The role of vigorous detection of recurrence after, curative resection of colorectal cancer. Am J Gastroenterol 1998;93 (12):2624-2627.
- 17. Smith T, Bear H, et al. Standard follow up of colorectal cancer patients:finally, we can make practice guidelines based on evidence. Gastroenterology 1998;114 (1):211.213.
- 10. Winawer S, Fletcher R, Miller L, Godlee F, et al. Colorectal cancer screening: clinical guidelines
- Paillot B, Czernichow P, Midrel P, et al. Incidence of rectosigmoid adenomatous polyps in subjects withou prior colorectal adenoma or cancer: a prospective colort study. Gut 1999;44(3):372-76.
- 20. Galle T, Juel-K, Bulow-S et al. Causas of death in

- familial adenomatous polyposis. Scand-J-Gastroenterol. 1999;34(8):808-12.
- 21. Lautenbach E, Forde K, Neugut A, et al. Benefits of colonoscopic surveillance after curative resection of colorectal cancer. Annals of surgery 1994;220 2):206-211.
- 22. Read T, Read J, Butterly L, et al. Importance of adenomas 5mm or less in diameter that are detected by sigmoidoscopy. The New England Journal of Medicine January. 1997;336(1):8-12.
- 23. Muller A, Sonnenberg A, et al. Prevention of colorectal cancer by flexible endoscopy and polipectomy. A case-control study of 32.702 veterans. Ann Intern Med. Dec 1996;123(12):904-10.
- 24. Jenlon H, Nunes D, Clarks P, et al. Colorecta neoplasm detection using virtual colonoscopy: a feasibility study. Gut 1998;43(6):806-811.
- 25. Pariente A, Milan CH, Lafon Y, et al. Colonoscopic Screening in firts degree reactives of patients with Sporadic colorectal cancer. A case control study. Gastroenterology 1998;115(1):7-12.
- and rationale. Gastroenterology 1997;112(594-642). 26. Hoff G, Sauar J, Hofstad B, et al. The Norwegian Guidelines for survillance after popypectomy: 10 year-Intervals. Scand-J-Gastroenterol 1996;31: 834-836.
 - 27. Gallo S, et al. Polipectomy of the digestive tract. Rev Gastroenterol. 1998;63(4)\$74-9.

POLÍTICA Y CÁNCER

"Nada sucedará mientras el cáncer no sea considerado un problema político" Con lo anterior como premisa se podrá legislar:

- Ley contra el cigarrillo
- b) Ley de protección contra la exposición al humo, asbesto, y químicos cancerígenos
- Ley de la papeleta obligatoria del papanicolau.



SOCIEDAD DE LUCHA CONTRA EL CÁNCER **SOLCA**

AÑO DEL CINCUENTENARIO

DEPARTAMENTO DE DOCENCIA E INVESTIGACIÓN

SERVICIO DE ONCOPEDIATRÍA

CURSO ONCOPEDIATRÍA

DIRECTORES DEL CURSO:

DRES. GUILLERMO PAULSON - ANÍBAL BONILLA

FECHA:

SEPTIEMBRE 18 AL 21 DEL 2001

LUGAR:

AUDITORIUM GUILLERMO AROSEMENA CORONEL ION-SOLCA DR. JUAN TANCA MARENGO 5TO, PISO

Temas de Actualidad

Evolución Cronológica de la Laringoscopía

Dr. Rodolfo Arozarena Fundora. *

Dr. Vladimir Tomás Pérez Báez. *

Dr. José Ramón Díaz Martínez. **

Dr. Iván Cuevas Pérez. ***

* Especialista de Ier. Grado en Otorrinolaringología.

** Especialista de 2do. Grado en Oncología.

Investigador Auxiliar.

*** Especialista de 2do. Grado en Oncología.

Introducción

Considerada entre las grandes avances médicos del siglo XIX, la laringoscopía indirecta precedió el examen directo endoscópico aproximadamente 85 años.

1807- Bozzini publica un folleto descubriendo una doble cánula con un espejo inferior, esta utilizaba luz seflejada desde un candil. Este instrumento recibió poca

Otros reportes fueron hechos por:

1825 – Cagniar de la Tour

1827 - Senn

1829 - Rabington: presenta su glotoscopio en la Sociedad Hunteriana.

1832 - Selligue (Diseñó un ingenioso especulum p va utilizar su laringe por padecer de TB. Laringea.

1837 - Liston describe haber observado adema ledinge con un espejo laringeo sumergido en agua ea∜ente.

1838 - Baumes exhibe un espejo laríngeo en la Sectedad Médica de Lyon.

1844 - Avery auxiliado con una luz con apoyo en la catieza (espejo cóncavo perforado) diseñó una cánula sicole, similar a la de Bottini.

Estos reportes fueron aislados, no siendo reconocido lo apreciados totalmente por dificultades de técnicas e i carumentos en su aplicación y manejo.

En 1855 Manuel García describe la autolaringoscopía, la es al fue realizada con dos espejos y reflejando la luz so: c. Él presentó esta técnica en la Sociedad Royal, en

pondencia y separatas.

no No. 164 entre Espada y San Francisco.

Ceum Habana, Código Postal 10300.

Cicled Habana, Cuba

© Los derechos de autor de los artículos de la Revista Oncología

perio, com a la Sociedad de Lucha contra el Cáncer SOLCA,

racional, Guayaquil - Ecuador

Londres en un trabajo titulado "Observación de la voz humana". Por lo anterior se reconoce a Manuel García como el "Padre de la Laryngoscopía" considerándose fundamentalmente el aporte realizado al estudio de la

1857 - Turck crea espejos para la exploración de la laringe y abandona su uso en la clínica.

1857 - Czermak con espejos de Turck continuó su aplicación considerándolo de gran valor para el conocimiento y manejo de los desórdenes laríngeos. Czermak, introduce la luz artificial y retoma el espejo cóncavo fenestrado con soporte dental, pasando después a ser apoyado en la cabeza.

1858 - Ernst Krackowiser (Austria) realizó la primera laringoscopía en los Estados Unidos.

1859 - Stoerk describe la aplicación controlada por el espejo de nitrato de plata en una laringe patológica. Lewis en 1860 fue el primero en reportar la visualización de tumores laríngeos en una serie de 50 casos.

1863 - Mackensie discñó múltiples instrumentos extendiéndose las técnicas laringoscópicas, perfeccionándose los métodos quirúrgicos transorales. Su libro "El uso de la Laringoscopía en enfermedades de la garganta" fue un importante apoyo en el entrenamiento

H. B. Sands (1865), fue el primero en reportar la realización de una biopsia trans-oral en el cáncer

1865 - Louis Elsberg y Jacob Solis Cohen, fueron los principales difusores de la técnica de la laringoscopía en los Estados Unidos.

En 1871 Mackensie, populariza la biopsia transoral de una cuerda vocal por lo que tuvo gran fama Internacional.

En 1895 Kirstein, realiza la primera laringoscopía

A finales de siglo Chevalier Jackson, modifica la posición de pie a la posición supina.

En 1911 Killian reporta el uso de la suspensión del

laringoscopio reportándolo en cadáveres en el III Congreso Internacional de la Laringología y Rinología.

En 1915 Lynch, modifica esta suspensión y es introducida en la cirugía de pacientes ganando gran cantidad de adeptos, al permitirle al cirujano la utilización de las dos manos, el cual llega hasta nuestros días.

Para 1920 Seiffer, Introduce el apoyo en el pecho. En 1941 New y Dorton, reportaron la curación de 9 a 10 pacientes tratados de carcinoma de la cuerda vocal con cirugía diatérmica y la suspensión de Lynch.

En 1950, se introduce la microlaringoscopía por la necesidad de hacer más precisa la cirugía de las cuerda vocales.

Albrech, utiliza un colposcopio, magnificando en examen de las cuerdas vocales y documentando la queratosis.

La primera microlaringoscopía, fue reportada por Scolco en 1960. En 1962, Jako utiliza lentes de 200 mm en la realización de microlaringoscopía, introduce el primer set de microcirugía laríngea.

En 1963 Jako, diseña un amplio microlaringoscopio que hizo posible la visualización estereoscópica.

Kleinsasser, reporta también la visualización estereoscópica en el mismo período. Años posteriores la Zeiss Company reporta la introducción de lentes de 40 mm.

De Santo, Carney y Strong fueron los principales exponentes en la aplicación de la microlaringoscopía.

A partir de este modelo, la microlaringoscopía juega un papel de primera línca en el diagnóstico y tratamiento de las afecciones laríngeas, hoy día asociada con la videoestereoscopía entre otros adelantos.

FUME Y VIVIRÁ POCO

El cigarrillo contiene substancias químicas nocivas para la salud de quien lo consume y de quienes lo rodean. Algunas de ellas son: ACETONA, capaz de disolver pintura de uñas y pegamentos; AMONIACO, como el de limpiar baños; ARSÉNICO, que es veneno; BENCENO, que es un disolvente químico; BUTANO, como el de los fósforos; CIANURO; que es otro veneno; POLONIO, que es un componente de desperdicio ácido nuclear; CADMIO que es usado en pilas recargables; MONÓXIDO DE CARBONO como el de los autos; ÁCIDO CLORHÍDRICO usado en cámaras de gas para ejecuciones...NO FUME!

No Consuma Tabaco y respete al no fumador



Guayaquil - Ecuador



Electronterapia Corporal Total en Linfoma Cutáneo. Revisión de Aspectos Clínicos y Técnica de Tratamiento.

Dra. María Teresa Espejo Cárdenas * Dr. Darío Sarasti Sánchez** Dra. Glenda Ramos *** Dr. Juan Carlos Celi ****

* Médico Residente R-3 Medicina Interna ION SOLCA
** Médico Residente R-4 Radioterapia ION SOLCA
*** MD Tratante Dpto. Oncología Clínica ION SOLCA
*** PhD en Ciencias. Jefe Dpto. Física Médica ION SOLCA

Abstracto

Los linfomas cutáneos de células T (LCCT) corresponden a una amplia variedad de trastornos linfoproliferativos malignos cuya principal manifestación involucra a la piel. Dentro de este espectro, los subgrupos mayores son la micosis fungoide y el síndrome de Szary. La etiología de los linfomas cutáneos de células F (LCCT) permanece desconocida y puede estar relacionada con factores ambientales, genéticos y aigunos tipos virales; la evolución puede ser similar en augunos aspectos con los otros linfomas y diferente en orros. El enfoque de su manejo terapéutico dependerá de le afectación; aparentemente limitada a la piel o con compromiso extracutáneo. En vista del mayor compromiso décrnico los tratamientos dirigidos hacia la piel parecen ofrecer la mayor posibilidad de control en pacientes con ennadios tempranos de la enfermedad; sin embargo en caso de estadios avanzados con enfermedad cutánea diceminada además de la quimioterapia (QT), la radioterapia (R.) mejora el control local especialmente en tratamientos cos intención curativa.

Palabras claves: Linfoma cutáneo, Células T, Racioterapia

Introducción

constituent de confermedades de linfocitos malignos de estirpe clons? T que se presentan inicialmente en la piel, las

Telfs.: 108088 - 281042 PO. Bo.: (09-01) 15028 Guayadell - Ecuador

O Los conechos de autor de los artículos de la Revista Oncología perteneción a la Sociedad de Lucha contra el Cáncer SOLCA, Sede Nacional, Guayaquil - Ecuador

Abstract

The cutaneous T-cell lymphoma (CTCL) correspond to a wide variety of malignant lymphoproliferative disorders whose principal manifestation involves to the skin. Within this spectrum, the major subgroups are the mycosis fungoides and the Sézary syndrome. The etiology of cutaneous T-cell lymphoma (CTCL) stays unknown and it could be related with environmental factors, genetic and some kind of viruses; the evolution can be similar in some aspects with the others lymphomas and be different in other ones. Approach of the management therapeutic will depend on the affectation: apparently limited to the skin or with extracutaneous involvement. In sight of the greater dermal commitment the treatments directed toward the skin seem to offer the greater possibility of control in patients with early stage of the disease; however, in the event of advanced stage besides chemotherapy (QT), the radiotherapy (RT) improves the local control specially in treatments with curative

Key words: Cutaneous lymphoma, T-cell, Radiotherapy

entidades mejor conocidas son la micosis fungoide y el síndrome de Sézary, en 1806 fue adoptado el nombre de micosis fungoide para aquellas lesiones de piel con aspecto de hongo, posteriormente Bazin describió las tres etapas clásicas: mancha, placa y tumor y en 1938 se describe la tríada clínica de eritrodermia pruriginosa, linfadenopatía y células monstruosas en sangre periférica correspondiente al síndrome de Sézary (3,310).

Epidemiología

Aproximadamente se reportan 1000 nuevos casos anualmente en USA. Es difícil definir la epidemiología por la dificultad para la clasificación, registros incompletos

y confusión clínica con otras entidades. Algunos espontáneamente, típicamente afectan a la región inferior registros reportan alta incidencia en la raza negra, así como baja incidencia en poblaciones como la hispana y asiática, se ha descrito distribución geográfica aún dentro de un misma región, se describe también mayor incidencia y mortalidad en hombres en relación a mujeres e igualmente en personas de edad avanzada, así la mayoría de casos afectan a población en la quinta y sexta década de vida y apenas 20% de los casos ocurren en menores de 40 años.(1,3,4,8,9)

Etiología

Varias son las teorías que se especulan sobre la etiología del linforna cutáneo así se considera que puede derivarse de un cuadro de erupción dérmica eritematosa persistente por varios años (dermatitis crónica), se la considera también que puede originarse por una estimulación antigénica crónica como es el caso de exposiciones ocupacionales o ambientales como la luz solar; se duda también de la relación que puede tener con ciertos virus como del Epstein Barr y del virus HTLV-1, este último relacionado con la leucemia/linfoma de células T del adulto pero que no se ha podido demostrar su presencia en el linfoma cutáneo.

Se especula también con situaciones de inmunosupresión pues se han reportado casos en pacientes sometidos a transplante renal y luego de tratamientos por enfermedad de Hodgkin, no se informado en relación a pacientes infectados con HIV. Otros factores posiblemente involucrados son los genéticos y la exposición a la radiación.

Los individuos con linfoma cutáneo tienen un riesgo incrementado de sufrir otras neoplasias inducidas por la inmunosupresión ocasionada por la misma enfermedad así como por el tratamiento supresor recibido. (1.8)

Clínica

Micosis fungoide: Es un linfoma de bajo grado de fenotipo de células maduras T, su progresión clínica se del linfoma cutáneo, las células T malignas circulan en caracteriza por tres fases: mancha, placa y tumor, aunque pueden presentarse las tres simultáneamente.

Mancha o parche es una lesión macular, eritematosa, plana o con elevación mínima, simples o múltiples, asintomáticas, pruriginosas, que pueden resolverse

del tronco. El diagnóstico diferencial se lo realiza con eczema crónico, dermatitis atópica, neurodermatitis, psoriasis, de allí que toda dermatitis refractaria al tratamiento debe ser biopsiada cada 3 meses hasta llegar al diagnóstico.

Placas: luego de meses o años de evolución de las manchas aparecen lesiones elevadas, infiltradas, bien limitadas, eritematosas o violáceas, coalescentes, pruriginosas. Su diagnóstico diferencial se lo realiza con la psoriasis, dermatitis numular, tiña corporis, puede también adoptar otros aspectos como el verrucoso en lesiones de palmas o plantas y cuando se presentan en la cara le dan un aspecto de facies leonina.

Tumor: son nódulos de color café rojizo en placas existentes o de novo en piel no comprometida inicialmente, la evolución desde parches hasta tumores indica progresión a subclones de mayor agresividad, estos nódulos tienden a ulcerarse y posteriormente a infectarse. Su diagnóstico diferencial se realiza con los linfomas de células B, infiltración leucémica, enfermedad granulomatosa, infecciones de la dermis por hongos, infección por micobacterias atípicas.

En la evolución natural de la enfermedad en un 10-20% se torna en enfermedad extracutánea afectando frecuentemente a los ganglios linfáticos, en menor frecuencia a los pulmones, bazo, hígado, tracto gastrointestinal, la médula ósea es invadida tardíamente.

Se ha encontrado que durante la fase de placa y tumor las células T malignas circulan en sangre periférica hasta en un 15-20%, al progresar la enfermedad se incrementa la inmunosupresión pudiendo encontrarse cuadros de micosis o infecciones herpéticas diseminadas, así como infecciones bacterianas; el compromiso visceral disminuye la expectativa de sobrevida a 6-8 meses (1).

Síndrome de Sézary

Corresponde a la variante leucémica eritrodérmica sangre periférica hasta en un 90% de los casos, en la forma severa se encuentra facies leonina, hiperqueratosis y físuras palmares y plantares, prurito, dolor cutáneo y eritrodermia generalizada (síndrome del hombre rojo).

El diagnóstico diferencial se lo realiza con erupción

por drogas, dermatitis atópica, dermatitis de contacto, psoriasis eritrodérmica, dermatitis seborreica, pitiriasis rubra, sarcoidosis, hepatitis, eritrodermia idiopática. Por el hecho de no poseer un signo clínico patognomónico siempre se debe sospechar de este síndrome ante una cuadro de eritrodermia.

Winkelman sugiere que un contaje de más de 1000 céls/mm3 es diagnóstico y que un cuadro de eritrodermia y contaje menos de 1000 células puede considerarse como síndrome pre-Sézary. Aunque hay algunos autores que sugieren que cualquier número de células circulantes es diagnóstico.⁴⁰

Variantes clínicas

Reticulosis pagetoide (Enfermedad de Woringer -Kolopp) se trata de una lesión aislada, indolente, de curso crónico, típicamente afecta a una extremidad, aspecto de una placa hiperqueratósica, eritematosa.

Linfoma de células T supresoras: las células noplásicas expresan un fenotipo supresor CD 8+, con dos variantes clínicas, la una con progresión rápida de la essermedad y pobre respuesta a la terapia y otra variante con curso crónico similar a la micosis fungoide.

Piel débil granulomatosa: se caracteriza porque las leciones cutáneas bulky provocan una laxitud de los pliagues cutáneos haciéndolos péndulos, tiene una profilección por las axilas y los flancos, se trata de una fo ma de linfoma indolente de células T, se ha reportado su asociación con linfomas sistémicos de allí que se recomienda su vigilancia periódica.

Linfoma de células T periféricas: este tumor tiene un fenciipo que simula a las células maduras postímicas o célolas T periféricas, y en su comportamiento es frecuente el compromiso de sitios extranodales.

infoma/Leucemia de células T del adulto: está asociado con el retrovirus HTLV-1, tiene un curso clínico agrectivo con el aparecimiento de lesiones dérmicas discininadas en forma precoz, compromiso linfático y visca-al así como hipercalcemia y signos de reabsorción óses, es frecuente encontrarlo en lugares geográficos donc's es endémico el HTLV-1. Sus manifestaciones cutár las son muy semejantes a la micosis fungoide.

Cafoma cutánco primario de células grandes

CD30+: es un grupo todavía en investigación, con varias formas en su presentación clínica pudiendo ser lesiones aisladas o con afectación extracutánea o pueden aparecer a partir de una micosis fungoide.

Reacciones pseudolinfomatosas inducidas por drogas: típicamente ocurren por exposición a fenitoína o carbamacepina, su tríada es de fiebre, linfadenopatía, y erupción dérmica generalizada, se la confunde fácilmente con la fase de placa del linfoma cutáneo, otras drogas beta bloqueadores, diuréticos tiazídicos, e inhibidores de la ECA, son rebeldes al tratamiento esteroideo y usualmente se resuelven al suspender el medicamento, clínica e histológicamente son muy semejantes a la micosis fungoide.

Granulomatosis linfomatoide: comprende alteraciones vasculíticas y neoplásicas, se encuentra trastorno del parénquima pulmonar con infiltrados angiocéntricos, angiodestructivos y granulomatosos, otros sitos de afectación es la piel y el SNC, la lesión cutánea es en un aproximadamente 40% de los casos y clínicamente es similar a la micosis fungoide. ^m

Patología

Los linfomas cutáneos en su mayoría se tratan de linfomas No Hodgkin extranodales con compromiso primario de piel. El patrón histopatológico, citomorfológico puede ser diferente entre las diversas variantes de los linfomas cutáneos, en el caso de la micosis fungoides y el síndrome de Sézary su patrón es difuso, con una morfología de células pequeñas e hipercromáticas (células de Lutzner), pudiendo encontrar la presencia de edema, fibrosis, células reactivas y cambios vasculares. Se encuentra infiltrados similares a bandas subepidérmicas, epidermotropismo de células tumorales consistente de exocitosis mononuclear dentro de la epidermis con colecciones de células tumorales (microabscesos de Pautrier). Estudios con microscopía electrónica han demostrado irregularidad nuclear por plegamiento de su membrana dando una apariencia cerebriforme. (1,10,11)

Inmunopatogénesis

La comprensión de la afinidad de los linfomas cutáneos por la piel se podría entender revisando la compartamentalización regional del sistema inmune, los linfocitos que se han activado por la presentación de un



⁻⁵N 1390-G . . . 0

antígeno parecen adquirir una especificidad tisular, las células endoteliales inflamadas expresan proteínas llamadas adresinas vasculares y son aquellos linfocitos que poseen receptores para estas adresinas los que tienen acceso a la piel. Los linfocitos de la piel son diferentes de los no cutáneos así los de la piel poseen una proteína conocida como antígeno linfoide cutáneo, el epitope de esta proteína tiene una relación de ligadura con proteínas de adhesión endoteliales que facilitan el paso de linfocitos circulantes a la piel y la activación de los linfocitos se hace en presencia de antígenos, las células que presentan antígenos pueden también migrar hacia los nódulos linfáticos sucediendo aquí un nuevo reclutamiento de linfocitos que pueden directamente migrar hacia el sitio de la inflamación. En la micosis fungoide las células de manera característica expresan la proteína antígeno linfoide cutáneo y las células recirculan hacía sitios de la piel donde existen las proteínas de adhesión que dirigen la migración de las células. La célula más típica en el linfoma T cutáneo es una célula T Helper de Memoria, se trata de un linfocito CD3+CD4+CD45RO+CLA+.(1)

Estadiaje:

Clasificación TNM.

T:

- TO: lesión clínica o histopatológicamente sospechosa
- T1: placas limitadas, pápulas o parches eccematosos que cubran menos del 10% de la superficie corporal
- T2: placas, pápulas o parches eccematosos generalizados que cubran más del 10% de la superficie corporal.
- T3: tumor cutáneo uno o más
- T4: critrodermia generalizada.

N:

- NO: nódulos periféricos clínicamente sin anormalidad, negativos para malignidad
- N1: nódulos clínicamente anormales, estudio patológico negativo
- N2: nódulos periféricos clínicamente sin anormalidad, estudio patológico positivo
- N3: nódulos clínicamente anormales y estudio patológico positivo.

M:

MO:sin compromiso visceral

M1: compromiso visceral demostrado con histopatología, debe ser especificado el sitio

ESTADIO:

	T	N	M
ΙA	1	0	0
IB	2	0	0
IIA	1-2	1	0
IIB	3	0-1	0
III	4	0-1	0
ΪVA	cualquier T	2-3	0
IVB	cualquier T	cualquier N	1(2)

Diagnóstico: el diagnóstico de un linfoma T-cutáneo parte de la sospecha clínica ante un paciente con cuadro de dermatitis crónica no específica o eritrodermia generalizada, debiéndose tomar en cuenta que muchas lesiones dérmicas son similares y se tratan de condiciones benignas (soriasis, parasoriasis, dermatitis eccematosa, fotodermatitis y aún reacciones por drogas); los pasos a seguir para el diagnóstico son:

- Historia clínica con un examen físico completo que describa aspecto de las lesiones y el porcentaje de piel comprometida; así como también la presencia de adenopatías.
- 2. Hemograma completo, pruebas de función renal y hepática, frotis sanguíneo periférico y de acuerdo a las posibilidades estudio de inmunofenotipo.
- 3. Estudios de Imagen: Rx de tórax, TAC abdominal.
- 4. Biopsia de piel.
- 5. Biopsia de nódulos linfáticos sospechosos.
- 6. Biopsia y aspirado de médula ósea.
- Biopsia en casos específicos de hígado para descartar compromiso visceral. (1,10)

Factores Pronósticos:

Los principales factores pronósticos son: extensión del compromiso cutáneo, estado de linfáticos y compromiso visceral o extracutáneo. Otros factores que afectan al pronóstico son: presencia o no de síntomas B, patrón histológico de nódulos linfáticos y tamaño de células cerebriformes, además existen condiciones asociadas del paciente que comprometen también al pronóstico: enfermedades intercurrentes (trastornos cardiovasculares), neoplasias secundarias (linfoma No Hodgkin, enfermedad de Hodgkin, Ca de colon y Ca de pulmón), infecciones (agentes como estafilococo aureus y pseudomona aureginosa). (6)

Sobrevida

Se comporta de manera similar a los linfomas No Hodgkin de bajo grado o indolentes con sobrevida prolongada a pesar de las recidivas.

En un estudio de la Universidad de Stanford en 464 pacientes se determinó que la sobrevida promedio de estos pacientes a 10 años es de para T1: 80%, T2: 50%, para T3: 20% y para T4: 30%, resultados similares se encuentran si se analiza por estadios: I: 80-90%, estadio II: 60-70%; estadio III: 40-50% y para estadio IV: 25-35% todos a 5 años. (6)

Enfoque Terapéutico

El principal objetivo del tratamiento ha sido el control de las manifestaciones cutáneas de la enfermedad, sin embargo por la progresión sistémica de ésta se ha desarrollado otras terapias y modalidades terapéuticas combinadas. La decisión terapéutica se basa en la edad, estatus funcional, extensión y disponibilidad de recursos para el tratamiento.

erapias para el linfoma cutáneo:

- Tópico/local: quimioterapia (HN2-BCNU), fototerapia (PUVA), electronterapia.
- Radioterapia con fotones.
- Quimioterapia sistémica: monoterapia, poliquimioterapia.
- Tratamiento combinado: quimioterapia + electronterapia
- Fotoquimioterapia extracorpórea (fotoféresis)
- 6. Interferón
- . Terapia con anticuerpos monoclonales
- Retinoides
- Otras en estudio; sin embargo, las únicas terapias que hasta la actualidad han demostrado un control local a largo plazo de la enfermedad son la electronterapia corporal total, fototerapia (PUVA) y la mostaza nitrogenada tópica (6.8,9)

In diación Corporal Total con Electrones

La radiación ionizante fue introducida para el manejo de ir micosis fungoides desde 1902 demostrando ser una neo dasia extremadamente sensible a la radiación, fue Truap quien empleó inicialmente los electrones para irradiación corporal total en 1953 como modalidad de tratamiento para esta misma patología. (1-6)

La electronterapia es uno de los tratamientos más efectivos para el linfoma cutáneo, habiéndose desarrollado muchas técnicas para la irradiación total de la piel. Ninguna ha sido completamente satisfactoria sin embargo es innegable que han mejorado los resultados en relación a técnicas iniciales.⁽¹⁾

Técnica: Se utiliza una fuente de electrones de baja energía (3-4 MeV), con fraccionamiento de 1.8-2Gy/día, con posibilidad de escoger energías mayores con la finalidad de incrementar la dosis en profundidad, se deberá tomar en cuenta también que la dosis en profundidad máxima puede aumentar cuando se incrementa el tamaño del campo y puede disminuír el rendimiento en profundidad cuando se emplea el haz en dirección oblicua. Las variables a considerar en el tratamiento son el tamaño de los campos, la apertura del colimador, la incidencia y la distancia del haz. Conforme se incrementa la energía de los electrones se incrementa también la dosis en superficie, así con electrones de 18MeV la superficie de la piel recibirá el 100% de la prescripción; otro factor importante a considerar es el incremento de la retrodispersión de los electrones por el hueso por lo que deberá tenerse cuidado en áreas donde la piel es delgada y por debajo de ésta se encuentra inmediatamente elementos óscos (el hueso puede incrementar hasta en un 7% la dosis en superficie), las curvas de isodosis de tratamiento deberán escogerse sobre el 85%. La mayoría de técnicas tratan al paciente con campos estacionarios múltiples en número de 6 cada uno diseñado para exponer ciertas áreas al haz incidente, otra técnica a más de la de campos múltiples pero menos frecuente es la rotacional; siendo la mayoría de técnicas derivadas de la técnica de Stanford (seis campos: anterior, posterior y cuatro oblicuos).(4,1%)

Volumen Blanco: corresponde a la superficie de toda la piel y en profundidad debe incluir todo el espesor de la misma, sin embargo el espesor de la piel no es la misma en todas las regiones del cuerpo ni tampoco el grosor de las lesiones son iguales según cada una de las etapas clínicas; así la piel del tronco tiene una epidermis de apenas 0,04 mm hasta 0,10 mm y su grosor se incrementa en las extremidades(muslos, brazos, manos y pies) que puede superar a los 0,50 mm de grosor y alcanzar aún los 4 mm, de igual manera en etapas de placa y parche las lesiones pueden tener una profundidad de aproximadamente 5mm desde la superficie y para las lesiones de tumor o úlcera la profundidad es mayor. (4,12)

Dosimetría: Las técnicas con campos múltiples han permitido mejorar la dosis en lo que respecta a la

homogeneidad de la superficie, pero deja algunas áreas subdosificadas: áreas retroauriculares, vértice de la 71% y una sobrevida a 10 años del 45%, para los T3 la cabeza, axila, surco submamario, periné, cara interna de muslos, plantas de pies, surcos interdigitales y pliegues dérmicos en personas obesas. Las dosis en estas áreas deben ser monitorizadas mediante dosímetros TLD o diodos y luego necesitarán refuerzo localizado hasta alcanzar la dosis prescrita, así mismo se incluyen protecciones oculares internas que permitan el tratamiento de la piel de los párpados sin lesionar la córnea o el cristalino, en cada caso se necesitará protección personal para los sitios de mayor toxicidad como son las uñas de las manos y de los pies.

Dosis: la dosis recomendada no debe ser inferior a 30 Gv (usualmente entre 30-36 Gy) demostrada en el estudio de Hamilton en 279 pacientes recolectados desde 1980, la profundidad debe involucrar inclusive hasta la dermis. (5,6.7,10)

Toxicidad: La toxicidad inducida por la electronterapia está de acuerdo con la dosis, energía utilizada. fraccionamiento y las protecciones, en forma aguda se puede presentar eritema, adormecimiento de la piel, pérdida de folículos pilosos y disminución de crecimiento de las uñas, puede presentarse también cuadros de fatiga; la toxicidad crónica principalmente se manifiesta con xerosis (supresión de la producción de las glándulas sudoríparas que ocasiona incapacidad para sudar), telangiectasias y ulceración de la piel, además sensación de sequedad de dedos, edema de los tobillos, intolerancia al calor y fatiga, también se ha podido documentar oligospermia en algunos varones; estos trastornos pueden aparecer entre 4 meses hasta un año luego del tratamiento. Un efecto que no debe olvidarse es el trastorno sicológico derivado principalmente por los cambios dérmicos inducidos por la enfermedad y por el tratamiento, su severidad dependerá de la autoestima que tenga cada paciente y repercutirá también inclusive en su área afectiva y sexual. (2,4,6,12)

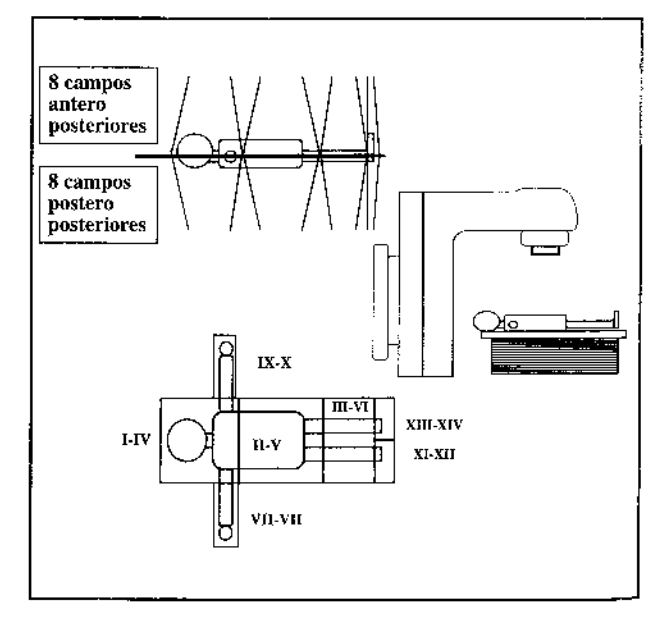
Respuesta al Tratamiento: La respuesta a la radiación total con electrones varía de acuerdo a la extensión de la enfermedad y la dosis; de igual manera la duración de la respuesta también dependerá de la extensión, en el caso de las lesiones T1 la remisión completa es de alrededor del 90% y para lesiones T2 es del 25% a los 3 años, según un estudio de la Universidad de Stanford realizado en 226 pacientes de los cuales un 33% recibieron terapia tópica con HN2 se reporta para lesiones T1 una remisión completa del 98% con sobrevida del 80% a 10

años, en el caso de los T2 la remisión completa fue del remisión completa alcanzó el 36% con una sobrevida de 25% a 10 años. 6 En el estudio de Hamilton la remisión completa en pacientes sometidos exclusivamente a electronterapia corporal total sin otros tratamientos adyuvantes fue para estadio IA 84%, estadio IB 81%, estadios IIA 74%, estadio IIB (53%), estadio III (50%), estadio IVA (33%) y para estadío IVB (22%). (12) La recomendación para lesiones limitadas con estadio IA es radioterapia local superficial a dosis mayores de 20Gy con un margen de 1-2 cm, dosis y margen que parece ser suficiente para conseguir un efecto curativo en la mayoría de pacientes.⁽¹⁾ La extensión de la enfermedad es un excelente factor predictor de control de la enfermedad, en lesiones limitadas con compromiso menor al 10% de superficie corporal existe una alta posibilidad de mantener al paciente libre de enfermedad a 5 años, se considera que la pérdida de respuesta en lesiones más avanzadas podría relacionarse a una subdosificación en profundidad de la piel permitiendo que desarrollen posteriormente células tumorales residuales en el interior de la dermis. (8)

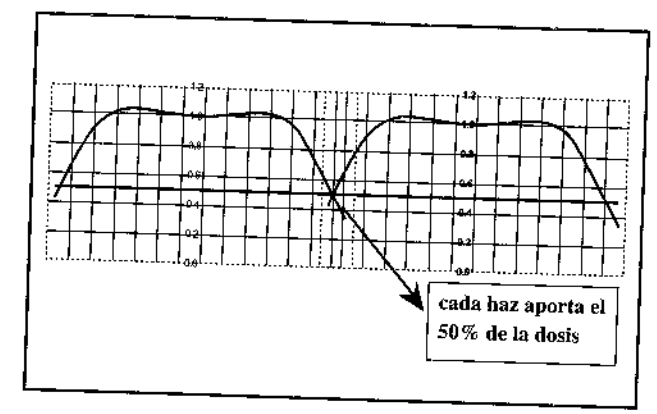
Técnica de Irradiación en el ION SOLCA.

Equipo de Tratamiento: Acelerador lineal de alta energía (Siemens-Primus), con haces de electrones de 9

Técnica de Irradiación: Esquema de irradiación por unión de campos múltiples secuenciales, según figura adjunta:



Los campos se distribuyeron de tal forma que en las uniones de campos se tenga una dosis homogénea con el 50 % de contribución de la dosis lateral de cada campo de la forma siguiente:



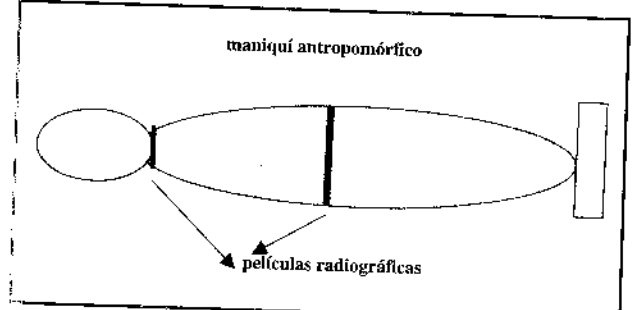
Dosimetría:

La determinación de las tasas de dosis para los haces reales de tratamiento se la realizó en agua en forma absoluta.

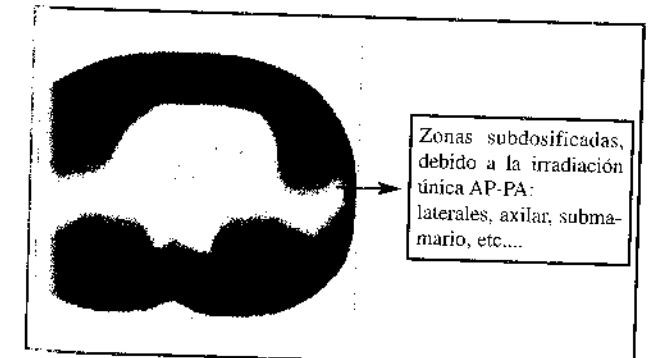
En base a ello se calculó las unidades monitor, o cantidad de radiación al 90% de la curva de rendimiento en profundidad (medida en campo real)

Verificación de Dosis Recibidas:

Monitorización de dosis por irradiación de películas: En maniquí antropomórfico se modeliza esquema de irradiación, se revela películas.

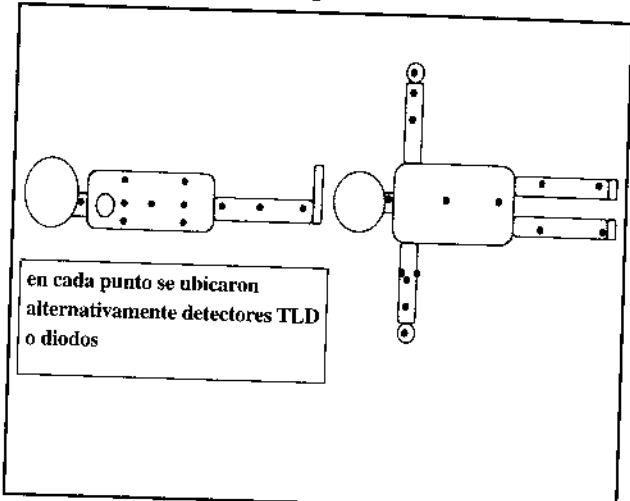


Una vez reveladas se determina las zonas de subdosificación:



Dosimetría In-Vivo:

Se realiza dosimetría in vivo con diodos y dosímetros termoluminiscentes ubicados durante las irradiaciones del paciente en los sitios siguientes:



Resultados:

La dosimetría in vivo, corrobora la modelización con películas y determina zonas de subirradiación laterales a completar dosis de radiación con haces laterales suplementarios para completar dosis prescrita.

Fotografías (1): Paciente femenina de 42 años portadora de linforna cutáneo de células T.(T3N0M0).

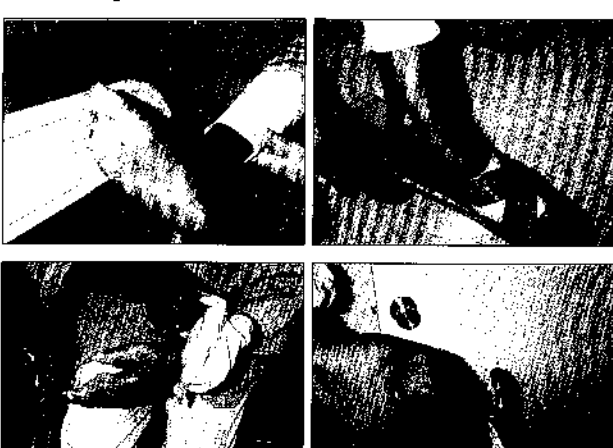




Fotografías (2): La misma paciente luego de 6 ciclos de quimioterapia protocolo CHOP.







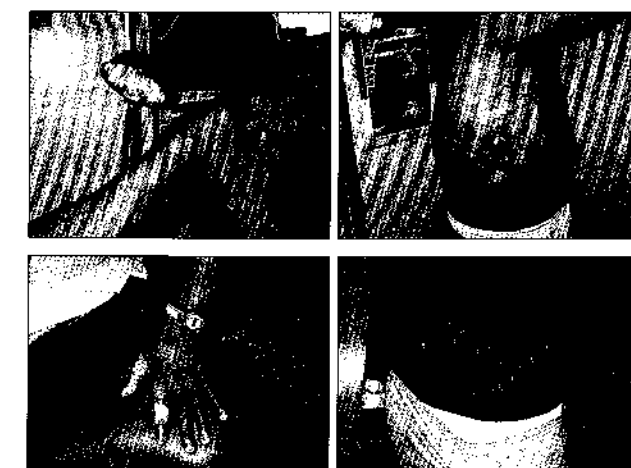




Fotografías (4): Paciente al finalizar Radioterapia (30Gy)



Fotografías (5): Paciente 8 semanas luego de la Radioterapia



Conclusión:

El manejo de los linfomas cutáneos es multidisciplinario e involucra principalmente a oncólogos clínicos, patólogos, y radioncólogos. El tratamiento corporal total con electrones ha demostrado ser eficaz en la terapéutica de esta patología. La electronterapia es una técnica compleja que requiere de un equipo integrado por radioncólogos, físicos médicos, dosimetristas y tecnólogos especializados además del soporte tecnológico correspondiente. El Instituto Oncológico Nacional "Dr. Juan Tanca Marengo" ION SOLCA se encuentra al momento en capacidad de realizar esta técnica en su Departamento de Radioterapia y Física Médica. Lo infrecuente de esta entidad y su complejidad obliga a estudios futuros cooperativos entre instituciones para conseguir el refinamiento diagnóstico y terapéutico de estos linfomas.

Bibliografía

- Hematology/Oncology Clinics of NorthAmerica. Cutaneous T-cell lymphoma. Koh H.; Foss F. W B Saunders. 9(5) 1995.
- Wilson L.; Kacinski B.; Jones G.: Local Superficial radiotherapy in the management of minimal stage IA cutaneous T-cell lymphoma (Mycosis fungoides). Int. J. Radiat. Oncol. Biol. Phys. 40: 109-115; 1998
- Radiation Oncology: Management Decisions. Chao C.; Pérez C.; Brady L. Lippincott-Raven, 1999.
- 4. Principles and Practice of Radiation Oncology. Pérez C.; Brady L. 3ª Ed. Lippincott-Raven, 1998.

- 5. Moss'Radiation Oncology. Rationale, Technique, Results. Cox J. 7a Ed. Mosby, 1994.
- Wintrobe's Clinical Hematology. Lee R.; Bithell Th.; Foerster J.; Athens J.; Lukens S. 9a Ed. Lea & Febiger, II, 1993.
- 7. Jones G.; Torzón B.: Cutaneous T-cell lymphoma (mycosis fungoides) The Lancet 348: 130-131. 1996
- Quiros P.; Kacinski B.; Wilson L.: Extent of skin 11. Atlas de Dermatología Clínica. Du-Vivier. 2ª Ed. involvement as a prognostic indicator of disease free and overall survival of patients with T3 cutaneouss 12. Hematology/Oncology Clinics of NorthAmerica. T-cell lymphoma tretaed with total skin electron beam radiation therapy. Cancer 77(9): 1912-1917. 1996
- Quiros P.; Jones G.; Kacinski B.; Braverman I.:

autor, incluyendo el nombre completo del

autor o autores, dirección, teléfono, fax o

- Total skin electron beam therapy followed by adjuvant psoralen/ultraviolet-A light in the mangement of patients with T1 and T2 cutaneous T-cell lymphoma (mycosis fungoides) Int. J. Radiation Oncology Biof. Phys. 38(5): 1027-1035, 1997
- 10. Cancer Medicine Holland J, Frei E. 4th ed. Williams and Wilkins. 1997
- Mosby, 1995
- Electron beam treatment for cutaneouos T-cell lymphoma. Jones G.; Hoppe R.; Glatstein E. W B Saunders. 9(5), 1995.

cesión de los derechos de autor

Del Editor:

CHEQUEO PARA LOS AUTORES, PREVIO A LA **ENTREGA DE TRABAJOS**

	-
Se requieren el original y 2 copias del	dirección de correo electrónico
manuscrito y de las ilustraciones El manuscrito debe estar escrito a doble espacio	Cada ilustración deben estar en una página separada en la que debe indicarse el borde superior, el nombre del primer autor, el
El título debe ser conciso y corto	título del trabajo y el número del orden que
El abstracto tendrá un máximo de 500 palabras en el caso de artículos originales y de 100 en los reportes de casos	le corresponde. Deben enviarse el certificado de exclusividad y de no tener conflicto de interés
Debe incluirse la versión en inglés def abstracto	financiero relacionado al trabajo, firmado por todos los autores
Especificar la filiación institucional de cada	Para la publicación del manuscrito en la revista es indispensable el certificado de





SOCIEDAD DE LUCHA CONTRA EL CÁNCER **SOLCA**

AÑO DEL CINCUENTENARIO

CONGRESO INTERNACIONAL: ONCOLOGÍA BODAS DE ORO PRIMER CONGRESO INTERNACIONAL **ENFERMERÍA ONCOLÓGICA**

TEMAS:

CÁNCER DE PULMÓN CÁNCER DE MAMA CÁNCER DE ESTÓMAGO CÁNCER DE COLON SARCOMASY PARTES BLANDAS LINFOMAS DEL ADULTO CÁNCER DE PRÓSTATA CÁNCER SISTEMA NERVIOSO CENTRAL

LISTA DE EXTRANJEROS:

DR.AMADO FREIRE DRA.YOLANDA GARCÉS DR. MICHAEL HADDOCK DR. LEONARD GUNDERSON **DR. STEVEN ALBERTS** DR. SCOTT OKUNO DR. GEORGE CHOW DR. GARY CROGHAN DR, FERNANDO QUEVEDO DR. ÁLVARO MARTÍNEZ DR. LUIS DÁVILA DR.ADEMAR LÓPEZ

FECHA:

13 - 16 NOVIEMBRE DEL 2001

LUGAR:

TEATRO CENTRO DE ARTE **GUAYAQUIL - ECUADOR**

Tratamientos de Cáncer de Cérvix en el ION (1998-2000). I .- Desde el Cobalto-60 Hacia la Braquiterapia.

Dra. Doris Sánchez, Médico Residente R-3. Dpto. de Radiooncología ION-SOLCA Tlga. Med. Angela Espinoza, Tlga. Dpto. de Física Médica ION-SOLCA. Dr. Juan Carlos Celi, Jefe, Dpto. de Física Médica y Seguridad Radiológica ION-SOLCA. Dr. Roberto Falquez, Jefe del Servicio de Braquiterapia ION-SOLCA.

Abstracto

El ION-SOLCA ha realizado en los últimos tres radioterapia externa y braquiterapia.

Esto ha determinado al mismo tiempo una evolución en las técnicas de tratamiento, desde el inicio cuando solo existía un equipo de Cobaltoterapia, hasta los tratamientos completos.

Esta evolución nos ha permitido iniciar un estudio a cinco años, para evaluar los resultados comparativos de las diferentes técnicas de tratamiento del cáncer de cérvix por radioterapia existentes en el ION.

Este artículo es el primero de su serie, analizando techniques betwen years 1998-2000. écnicas realizadas entre los años 1998-2000.

Palabras Claves: Radioterapia externa, braquiterapia.

Introducción

El tratamiento de pacientes de cáncer de cérvix por l'adioterapia en el Instituto Oncológico Nacional de ODLCA, ha sufrido profundos cambios en los últimos tres años, debido a la puesta en marcha de los accleradores Heales, la dosimetría en tres dimensiones, y la creación e implementación del Servicio de Braquiterapia.

Inicialmente los tratamientos de cáncer de cervix se realizaban por radioterapia externa con una unidad de Cobalto-60 (Theratron-780c). La planificación de los pacientes era bidimencional a partir de cortes manuales o contornos del paciente y de imágenes de simulación. (12)

Correspondencia y separatas.

Dr. Roberto Falquez

Serricio de Braquiterapia

IC 'I-SOLCA "Dr. Juan Tanca Marengo"

Av. Pedro Menéndez Gilbert

Con Atarazana Tej 288088 - 281042

P.C. Box (09-01) 15028

Gusyaquil - Ecuador

© Los derechos de autor de los artículos de la Revista Oncología per unecen a la Sociedad de Lucha contra el Cáncer SOLCA,

Sec. Nacional, Guayaquil - Ecuador

Abstract

ION-SOLCA has made in late three years a great años un impresionante progreso en equipamiento de development in equipment of externa irradiation and braquiteraphy.

> This has determined instead an evolution in techniques of treatment, since beginning when only existed a technique of cobaltoperapy, to full treatment.

This evolution has possibilited to begin a study to five years, for evaluating results comparatives of different techniques of treatment of cancer of the cervix for radioteraphy presents in the ION.

This article is the firts of its serie, analyzing

Key Words: Externa irradiation, braquiteraphy.

Una gran cantidad de los pacientes eran tratados con técnica fija (DFP=80 cm), debido a las dificultades para realizar tratamientos isocéntricos (en profundidad) en casos de pacientes de mayor espesor.

La instalación de aceleradores lineales con energía máxima de 18 MV en fotones permite tener capacidad de penetración muchísimo mas alta, en el caso de tumores profundos. Inicialmente los pacientes fueron tratados de forma exclusiva con radioterapia, sea por Co-60 en la primera etapa, sea con aceleradores luego, hasta la creación del Servicio de Braquiterapia, cuando los tratamientos pasan en su mayor parte a ser de radioterapia externa mas braquiterapia. (14)

El tipo de tratamiento determinó un cambio además en las dosis de radiación y los protocolos de tratamiento. Por esta razón, se hace necesario un estudio retrospectivoprospectivo a cinco años, que nos permita demostrar las ventajas del manejo actual del cáncer de cervix (Radioterapia Externa con aceleradores lineales mas braquiterapia) y además evaluar los resultados de braquiterapia de alta y baja tasa de dosis. (5)

Una de la ventajas de el estudio comparativo propuesto es el hecho de que los tratamientos a analizar fueron realizados en un mismo hospital y por el mismo equipo humano, con alternativas radioterapéuticas Unidad de Radioterapia por Co-60 (Theratron - 1000) tecnológicamente muy diferentes.

Esta primera publicación analiza mas que nada la clasificación inicial de los pacientes, detalles técnicos de los tratamientos, e inicialmente analiza datos de sobrevida de pacientes, y resultados a corto plazo.

Estadísticas

Pacientes Femeninas con Diagnóstico de Cáncer, manejadas en el ION

AÑO	TOTAL CÁNCERES	TOTAL CÉRVIX	PORCENTAJE
998	1294	544	42.04
1999	I_400	603	43.07
2000 (ENERO	747	315	42.1
-JUNIO)			

La incidencia de cáncer de cérvix en el área es altísima, lo que determina que el nivel de atención a esta neoplasia sea de especial atención.

Una parte de los pacientes fue tratada directamente por cirugía de forma exclusiva, otra fue tratada por a partir de las historias clínicas la respuesta inicial a un cirugía mas radioterapia y otra por radioterapia solo, sea externa sin braquiterapia, sea externa únicamente.

En los resultados que presentamos a continuación analizamos los pacientes que tuvieron relación a radioterapia.

Materiales y Métodos

El estudio se inicia en el Departamento de Física Médica del ION, en interacción con el Departamento de Radiooncología.

Se seleccionó inicialmente pacientes tratados desde enero del año 1998 hasta junio del 2000.

Se recopila 467 pacientes. De ellos se analizara durante el estudio a cinco años tanto la evolución del paciente luego del tratamiento, la técnica aplicada en cada caso y las connotaciones futuras del tratamiento, tanto evaluando resultados en evolución tumoral y complicaciones.

El Instituto Oncológico Nacional cuenta con los siguientes equipos:

Acelerador Lineal (Siemens Mevatron M)

Acelerador lineal Siemens Primus)

Tomógrafo (Siemens Somaton Plus 4)

Planificación bidimensional (Theraplan)

Planificación tridimensional (Helax)

Baja tasa de dosis braquiterapia (Selectron - Nucletron)

Alta tasa de dosis (Microselectron - Nucletron).

Planificación braquiterapia (Plato - Nucletron).

Como método de trabajo, para esta primera parte del estudio se clasifica los pacientes a partir de la historia clínica de tratamiento (residentes de radioterapia), se investiga el estadio (residentes de radioterapia).

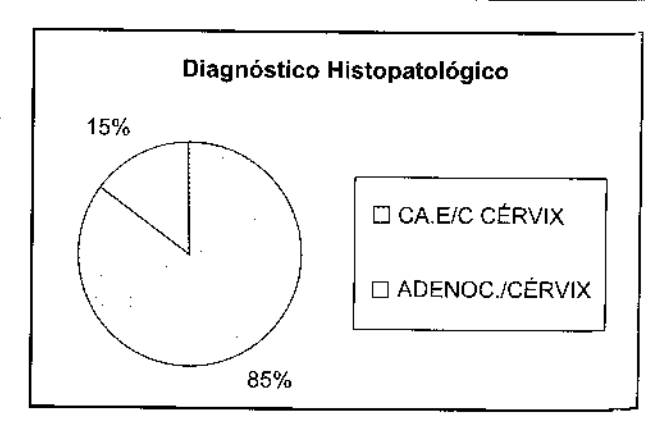
Una vez diferenciados los pacientes analizamos las técnicas de tratamiento, la selección de pacientes por equipos, la influencia de la anatomía de los pacientes en el tratamiento, la influencia porcentual de la braquiterapia (Física Médica).

Para concluir esta primera etapa del estudio se analiza tratamiento, las complicaciones los tratamientos asociados, y las tasas actuales de sobrevida.

Resultados

Diagnóstico Histopatológico

CA. E/C CÉRVIX	380
ADENOC./ CÉRVIX	67
TOTAL	447

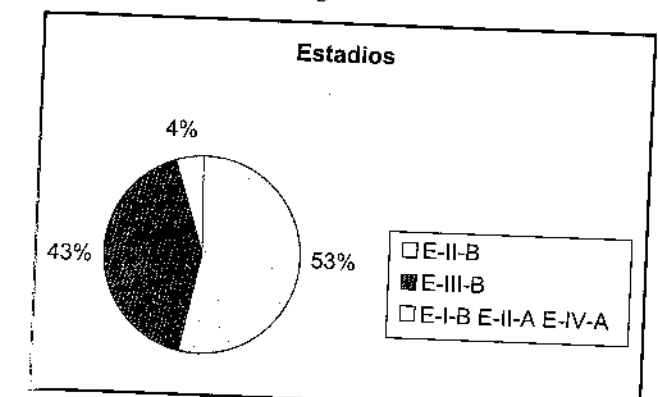


Estadios

Eur	
E-II-B	165
E-II-B	133
E-1-B E-II-A E-IV-A	
TOTAL	14
TOTAL	312 7

134 pacientes luego de cirugía.

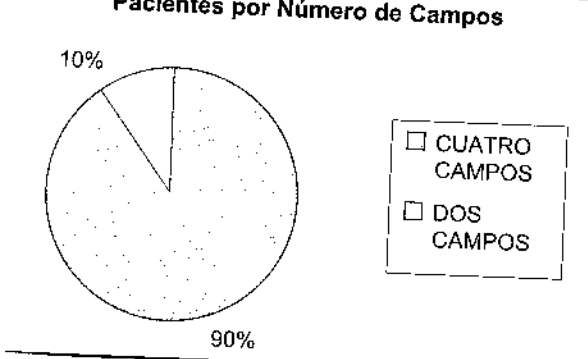
Oncología 2000; Vol. 10 (4) 233 - 237



Pacientes por número de campos

Const	
Cuatro campos	422
Dos campos	
Dos campos	45

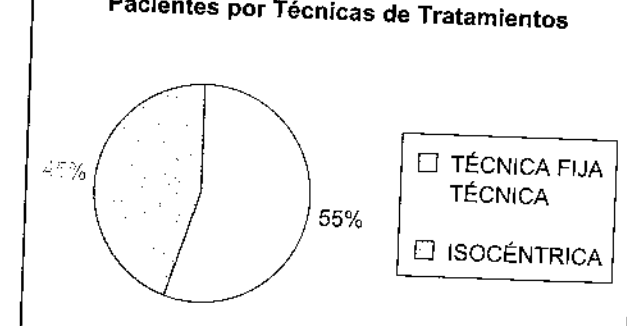
Pacientes por Número de Campos



Pacientes por Técnicas de Tratamiento

TDC (
Técnica fija	254
Técnica isocéntrica	210

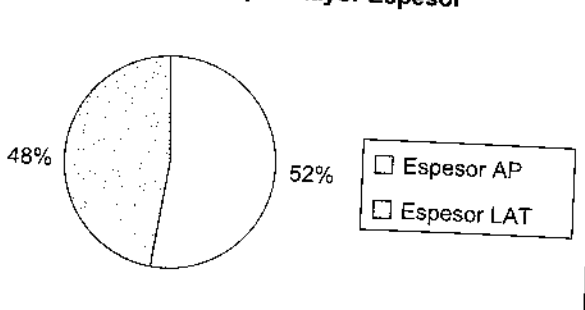
Pacientes por Técnicas de Tratamientos



Pacientes por mayor espesor

	-F-root
Espesor AP	
	196
Espesor LAT	192
	182

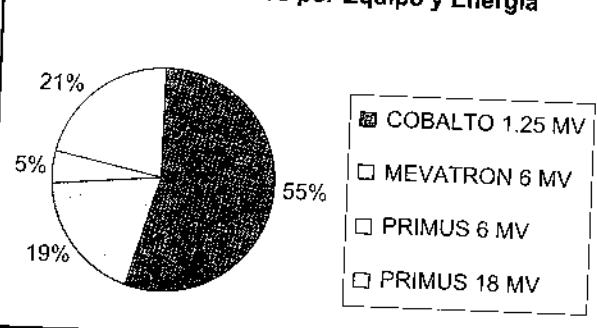
Pacientes por Mayor Espesor



Pacientes tratados por Equipo y Energía

CORATES	<u></u> -
COBALTO 1.25 MV	254
MEVATRON 6 MV	
PRIMUS 6 MV	90
PRIMUS 18 MV	23
	100
TOTAL	467
	-1

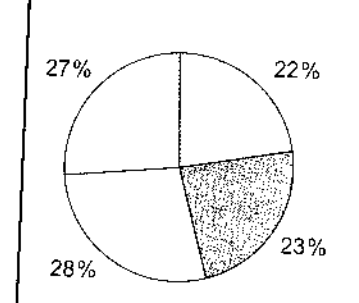
Pacientes tratados por Equipo y Energía



Promedios UM ACELERADORES

AP	57.79
PA PA	59.54
LAT.DER.	70.54
LAT.IZQ.	70.47

Promedio UM Ulceleradores



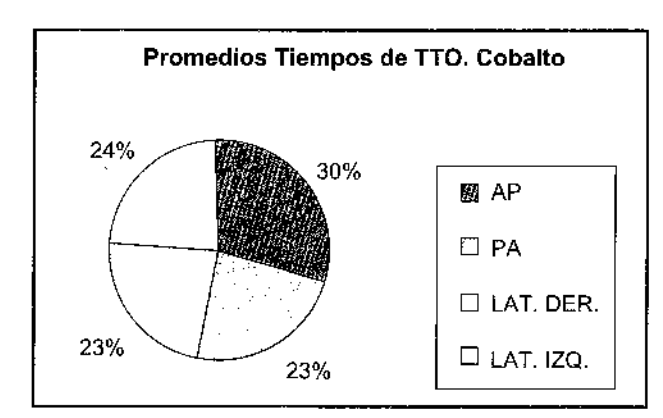


☐ LAT. IZQ.

38N 1390 110

Promedios Tiempos de TTO. COLBALTO

AP	1.59
PA	1.25
LAT. DER.	1.25
LAT. IZQ.	1.33



Respuesta al TTO

Respuesta al TTO

178

53

128

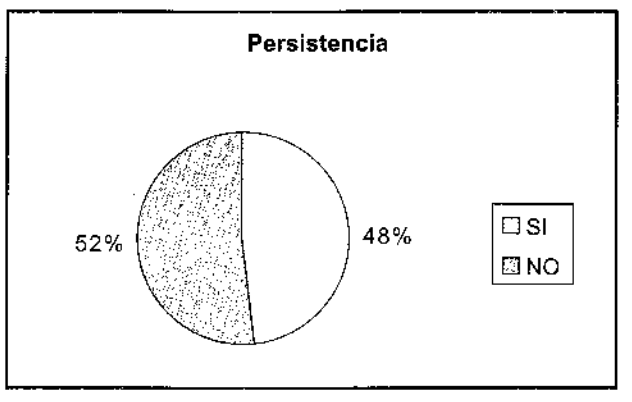
COMPLETA I

NO RESPUESTA III

PARCIAL II

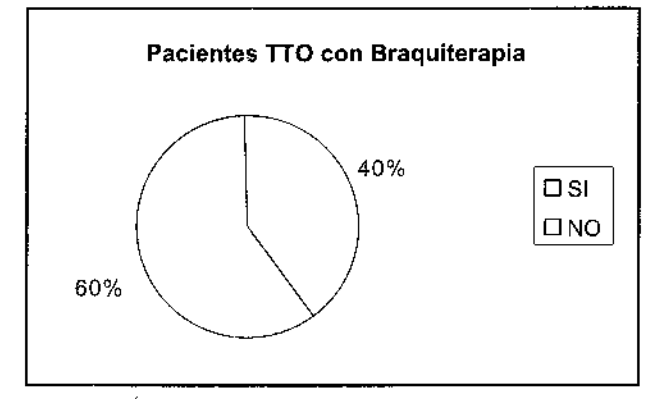
Persistencia

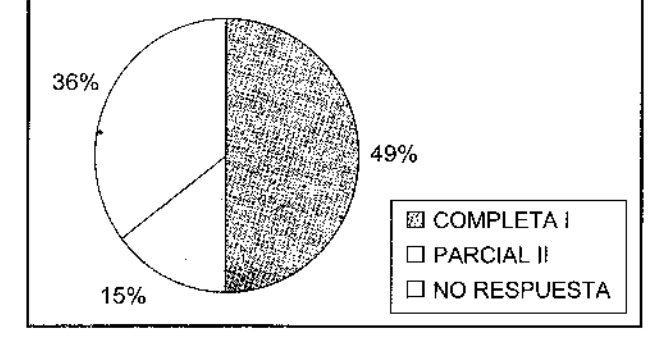
SI .	169
NO	179



Pacientes TTO con Braquiterapia

SI	183
NO	279



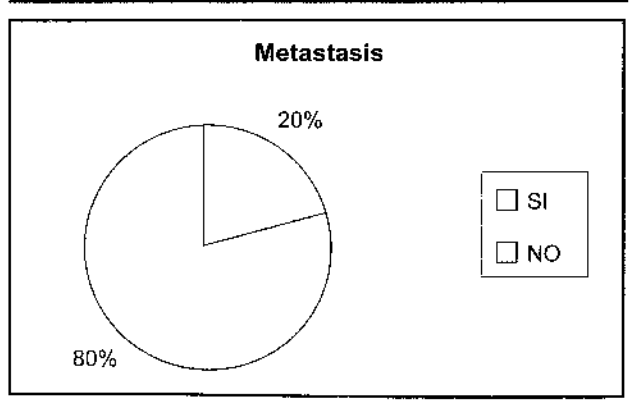


Complicaciones

GENITO-URINARIO 2	209
GASTROINTES. SUP. 2	70
GASTROINTEST, INF. 2	154
RT.GENITO-URINARIO 2	53
GASTROINTES. SUP. 2	14
GASTROINTES, INF. 3	33

Metastasis

SI	89
NO	348

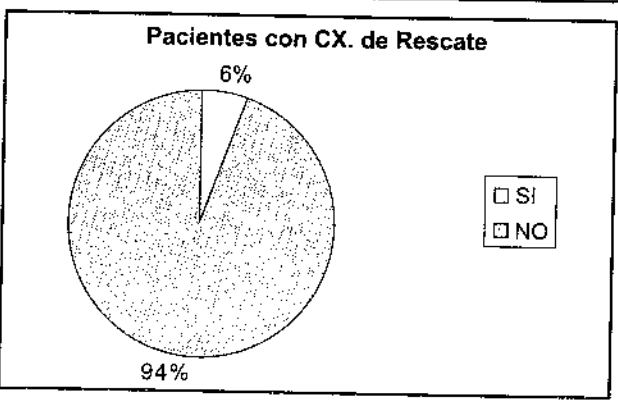


3% 6% 10% 39% ■ GENITO-URINARIO 2 ■ GASTROINTES. SUP. 2 □ GASTROINTEST. INF. 2 □ GASTROINTES. SUP. 2 □ GASTROINTES. SUP. 2 □ GASTROINTES. SUP. 2 □ GASTROINTES. SUP. 2

Complicaciones

Pacientes con CX, de rescate

SI	19
NO	318

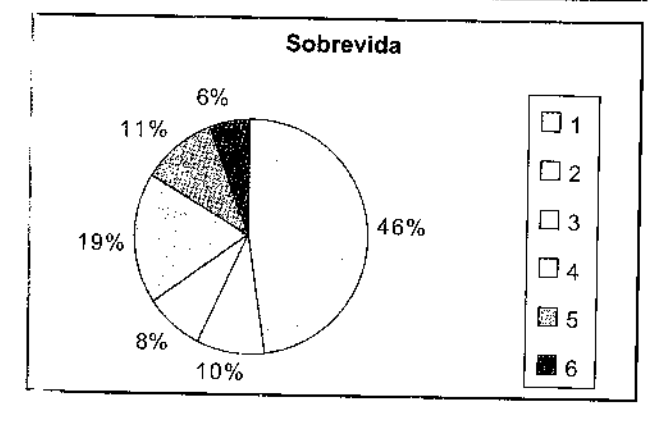


Pacientes con recaída

SI	12
NO	302

Sobrevida

1 viva sin enfermedad	210
2 viva con enfermedad	44
3 perdido (sin enfermedad)	36
4 perdido (con enfermedad	83
5 abandona tratamiento	47
6 fallece	26



Conclusiones

Este primer informe demuestra la evolución histórica del tratamiento de Ca. de cérvix en el Departamento de Radiooncologia del ION-SOLCA y nos permite clasificar in: inimialmente los pacientes que serán objetivo de un estudio a cinco años.

En el mismo se demuestra que el tiempo actual de seguimiento es demasiado corto, para poder valorar la respuesta completa al tratamiento (supervivencia vs. mortalidad), asi como también la presencia de posibles complicaciones gastrointestinales y genito.urinarias como consecuencia de los tratamientos. (7)

Los datos (cifras) de tratamiento con Radioterapia Externa sola vesus Radioterapia mas Braquiterapia al momento no son definitivos ni permiten sacar conclusiones, debido al seguimiento tan corto de los pacientes, es muy posible que el seguimiento a futuro que será objeto de las próximas publicaciones demuestre las diferencias entre las técnicas de tratamiento.

Bibliografía

- Pérez CA. Brady LW. Principales and Practice of Radiation Oncology, ed 3. New York, 1997. JB Lippincott Pag. 1733-1794.
- Washington CH. Leaver D. Principles and Practice of Radiation Therapy. Ed 2 New York Philadelpia 1997. Pag. 225-233.
- Cresaman W. DiSaia P. Oncología Ginecológica Clínica. Ed 5, Marid España, 1999.Pag. 625-638.
- Eifel Patricia J., Moughan Jennifer., Owen Jean., Katz Angela., et. Patterns of radiotherapy practice for patientes with squqmous carcinoma of the uterine cervix: patterns of care study. Int J Radiat Oncol Biot Phys 1999; Vol. 43. 2: 351-358
- Logsdon Mark. And Eifel Patricia. Figo III-B squamous cell carcinoma of the cervix: an analisis of prognostic factors emphasizing the balance between external bean and intracavitary radiotion therapy. Int J Radiat Oncol Biol Phys. 1999. Vol 43, N 4. 763-777.
- Perez C. Grigsby Perry. et. Radiation therapy morbidity in carcinoma of the uterine cervix: Dosimetric and clinical correlation. Int J Radiat Oncol Biol Phys, 1999. Vol 44. N 4 855-866



DETODAS LAS ENFERMEDADES MORTALES, EL CÁNCER INCIPIENTE ES LA MAS FÁCIL DE CURAR

Del Editor:

CESIÓN - ASIGNACIÓN DE LOS DERECHOS DE AUTOR

A La Sociedad de Lucha contra el Cáncer, del Ecuador SOLCA, Sede Nacional Guayaquil.

La revista "ONCOLOGÍA" requiere de la firma de todos los autores y coautores como evidencia de transferencia, asignación, y de traspaso de la posesión de los derechos de autor, exclusivamente a la Sociedad de Lucha contra el Cáncer, del Ecuador SOLCA.

En caso de que uno de los coautores se haya cambiado de domicilio, usted puede reproducir una copia de este formulario para que dicho coautor firme por separado. Favor enviar una copia de esta página a nuestra oficina. El envío oportuno de este formulario con todas las firmas nos permitirá programar su artículo para su publicación.

J. Sánchez, Editor revista "ONCOLOGÍA"

FIRMA	
FIRMA	
FIRMA	
FIRMA	·•·
FIRMA	
	FIRMA FIRMA

Revista "ONCOLOGÍA"

Av. Pedro Menéndez Gilbert Apt. Postal No. 5255/ ó 3623 Guayaquil - Ecuador

Fax: (593-4) 293-366 / 287-151 e mail: editor@solca.med.cc

Casos Clínicos

Adenocarcinoma de Tipo Fetal Bien Diferenciado de Pulmón: Presentación de un Caso Clínico y Revisión de la Literatura.

Dr. Francisco Ceballos Escala * Dra. Maritza Lara Valverde **

- * Médico Jefe del Departamento de Oncología Clínica. Instituto Oncológico Nacional "Dr. Juan Tanca Marengo"
- ** Médico Residente II del Postgrado de Onco-Hematología Clínica. Instituto Oncológico Nacional "Dr. Juan Tunca Marengo"

Abstracto

El Adenocarcinoma de tipo fetal bien diferenciado es un tumor muy raro constituido por glándulas neoplásicas cuyos túbulos no ciliados ricos en glicógeno semejan aquellos del pulmón fetal de entre 10 a 16 semanas de gestación. Corresponde del 0.25 al 0.5% de todos los tumores pulmonares primarios y desde el punto de vista histológico es el de mejor pronóstico de las tres variedades de Blastoma Pulmonar conocidos. Su tratamiento de elección es la Cirugía. Sin embargo, la poca experiencia quimioterápica en la Literatura mundial reporta datos de sobrevida interesantes que sugieren que esquemas basados en cisplatino deberían ser considerados en el tratamiento de estos pacientes. Debido a su rareza a continuación precentaremos el caso de una paciente con Adenocarcinoma de ipo fetal inoperable que logró una respuesta del 90% de disminución de su enfermedad macroscópica con el uso de quimioterapia basada en taxanos y Cisplatino. Cealizaremos además una revisión de la Literatura mundial con respecto al uso de quimioterapia en este tipo ೆ tumores.

Palabras Claves: Fetal, Adenocarcinoma, Blastoma.

Abstract

Well-differentiated fetal type Adenocarcinoma is a rare tumor composed of neoplastic glands whose glycogen-rich, nonciliated tubules resemble those of fetal lung between 10 and 16 weeks' gestation. It comprises 0.25-0.5% of all primary lung tumors and, histologically it has the best prognosis between the three subsets of known Pulmonary blastomas. The standard treatment is surgical excision. However, the limited experience with chemotherapy in world literature reports interesting disease free survival cases, which suggest that regimens with Cisplatin should be considered as therapy for these patients. Due to its rarity we report herein a non surgical fetal type adenocarcinoma case who got a 90% remission of her malignancy with chemotherapy based on Taxanos and Cisplatin combination regimen. We'll also review the world literature with respect to previous chemotherapy experience in this kind of tumors.

Key Words: Fetal, Blastomas, Adenocarcinoma.

Introducción

El Adenocarcinoma de tipo fetal es una de las tres variedades morfológicas de los Blastomas pulmonares. Constituye una neoplasia rara que comprende del 0.25 al 0.5% de todos los tumores malignos pulmonares primarios $^{\scriptscriptstyle (1)}$.

El término Blastoma pulmonar fue inicialmente utilizado para describir una neoplasia constituida tanto por glándulas de apariencia embrionaria maligna como

Correspondencia y separatas. Ur. Francisco Ceballos Escala

Dapartamento de Oncología Clínica.

ICE-SOLCA "Dr. Juan Tanca Marengo" Av. Pedro Menéndez Gilbert

Cella, Atarazana,

Tells.: 288088 - 281042

P.C Box 5255, Guayaquil - Ecuador E-inail: ceballos @telconet.net

© los derechos de autor de los artículos de la Revista Oncología perionecen a la Sociedad de Lucha contra el Cáncer SOLCA,

Sed: Nacional, Guayaquil - Ecuador

también por estroma de tipo fetal (2.5). Sin embargo, en 1982 Kradin y colaboradores (6) describieron un "blastoma pulmonar que no tenía características sarcomatosas y cuyo componente neoplásico solamente poseía glándulas de tipo fetal". A este tumor se le dio el término de Adenocarcinoma de tipo fetal bien diferenciado debido no sólo a la semejanza de este tumor a los túbulos pulmonares fetales sino también por su apariencia bien diferenciada (7).

El Adenocarcinoma fetal afecta en igual proporción tanto a hombres como a mujeres. A pesar de su apariencia histológica embrionaria no ha sido descrito en niños por debajo de los 10 años de edad (8.9). Su pico de incidencia es la 4ta. década de la vida y un 80% de los pacientes afectados son fumadores. Hasta un 57% de los pacientes son asintomáticos. Cuando los síntomas aparecen, los más frecuentes son fiebre, tos, dolor torácico y hemoptisis (7,10). Radiológicamente suelen presentarse como masas pulmonares periféricas solitarias o mediales con una leve tendencia a los lóbulos superiores. Son muy raras las adenopatías o derrames pleurales.

Macroscópicamente son masas bien demarcadas pero no encapsuladas con tamaños desde 1 a 10 cm. (7). Generalmente son solitarias, pero cuando ocurren múltiples, usualmente una es dominante con lesiones satélites. Estos tumores son subpleurales en aproximadamente el 85% de los casos.

Microscópicamente es una lesión bien circunscrita, constituida por una masa de túbulos ramificados alineados en células columnares no ciliadas, pseudoestratificadas con citoplasma claro o levemente cosinofílico. Los núcleos son redondos u ovales con poca hipercromasia o pleomorfismo. Las células a menudo tienen vacuolas citoplásmicas supra y subnucleares que producen una apariencia endometriode distintiva. Entre el 86 y 100% de los casos muestran mórulas y un 50% de ellas tienen núcleos ópticamente claros, algo que sólo se ve en el endometrio gestacional y en los adenocarcinomas endometriales (10-12). El citoplasma claro es debido al glicógeno abundante que se demuestra a través de tinciones de ácido periódico de Schiff.

Inmunohistoquímicamente este tumor demuestra positividad para citoqueratina, antígeno de membrana epitelial, antígeno carcinoembrionario, cromogranina focal y enolase neuroespecífico. (10,13)

El tratamiento usual de esta neoplasia es la resección

quirúrgica. Tanto la Radioterapia como la Quimioterapia han sido intentados sin ninguna medida reproducible de éxito. Además, existen muy pocos casos como para poder desarrollar estudios randomizados. Debido a su rareza reportaremos a continuación un caso de Adenocarcinoma fetal inoperable que alcanzó una remisión del 90% de su enfermedad, transitoria, luego de la administración de Quimioterapia basada en Taxanos y Platino y haremos una revisión de la Literatura mundial con respecto a la experiencia quimioterápica previa.

Presentación del Caso Clínico

Paciente femenina 38 años de edad, HC 2000-2121, de raza mestiza procedente del Km. 23 1/2 vía a la Costa, sin antecedentes familiares de importancia, no fumadora, cuya ocupación era la de limpieza de cuartos con cloro, tylex y germicidas sin mascarilla de protección, trabajo que lo realizó durante 8 años.

Su cuadro clínico se inicia en septiembre/99 con tos no productiva, constante y que aumentaba de intensidad por la noche sin producir ortopnea. Valoración particular por ORL diagnostica tos de tipo alérgico y es tratada con antihistamínicos y antitusígenos.

En abril/2000 presentó dolor tipo punzante a nivel de base de hemitórax derecho, el mismo que se exacerbaba a la inspiración profunda. Una Rx tórax (6/04/2000) mostró opacidad nodular y consolidación basal pulmonar derecha con presencia de imágenes miliares bilaterales a predominio en pulmón derecho. Area cardíaca normal. Mínimo bloqueo del seno costodiafragmático derecho. ID: Enfermedad pulmonar inflamatoria vs. Enfermedad granulomatosa tipo Tb.

Baciloscopia x 3: Negativa Pruebas para hongos: Negativas

Una TAC tórax (11/04/00) reportó infiltrados retículonodulares finos difusos en ambos campos pulmonares. En base pulmonar derecha se observaba una lesión de aspecto tumoral de aproximadamente 4 cm. de diámetro de contornos mal definidos, sin broncograma aéreo ni cavernas. ID: Tumor de base derecha y linfangitis metastásica de lesión pulmonar. (Fig. 1)

Con estos datos se procedió a realizar PAAF de la masa tumoral, cuyo reporte anatomopatológico mestró un material cosinofílico amorfo de aspecto necrótico en cuyo espesor se identificaban múltiples acúmulos de tejido

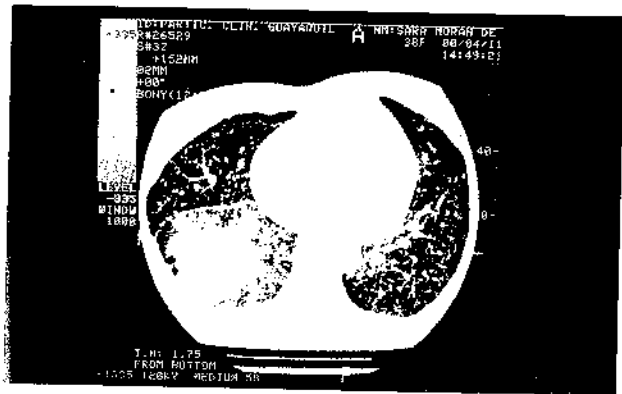


Fig. 1 TAC Torácico pre-Quimioterapia

neoplásico constituidos por proliferación de estructuras abulo-glandulares y papilares bien diferenciadas, tapizadas por células epiteliales con signos de anaplasia evidenciados por macronucleosis, hipercromatismo y ligero pleomorfismo. Algunas de las estructuras glandulares exhibían vacuolas basales y otras morfología en estoperol, que recordaba a los carcinomas endometrioides. Dg: Adenocarcinoma, compatible con Adenocarcinoma de tipo fetal".

Con este reporte acudió a SOLCA en mayo/2000. Al estamen físico no presentó nada que llamara la atención, escepto una disminución del murmullo vesicular en base desceha. Karfnosky 100%. Los exámenes de laboratorio realizados fueron normales. Marcadores tumorales CEA y la 125 normales. Cyfra 21-1 y Enolase neuronoespecífico estavieron elevados.

Eco abdominopélvico: Utero y anexos normales. No admopatías retroperitoneales.

La paciente fue sometida a 6 ciclos de Qt. con Taxol 135mg/m y Platino 75mg/m Día 1. La tomografía de control por. Qt (14/09/00) reportó una disminución del 90% del tumor pulmonar y prácticamente desaparición del infiltrado micronodular (Fig. 2). En Noviembre/2000 la paciente presentó nuevamente tos leve. Una nueva TAC

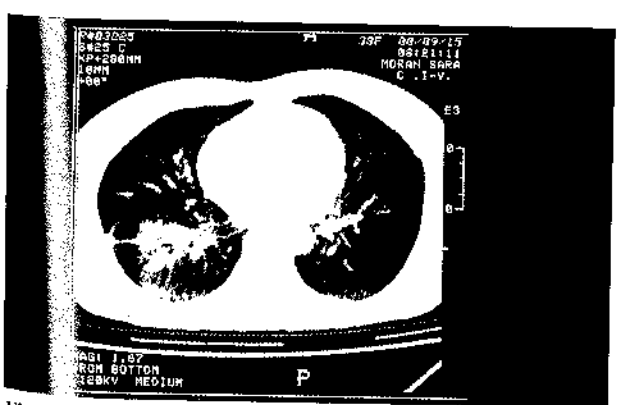


Fig. 2 Control tomográfico post-Quimioterapia

de tórax reportó un infiltrado intersticial reticular y micronodulillar difuso en ambos pulmones especialmente en pulmón izquierdo, con aspecto de panalización más una imagen nodular de 2x2 cm. a nivel de lóbulo inferior de pulmón derecho y ausencia de adenopatías (Fig. 3).

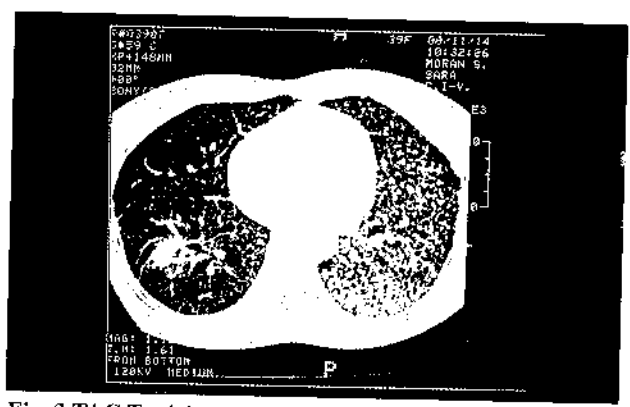


Fig. 3 TAC Torácico en que se visualiza recidiva tumoral.

La paciente se negó a recibir nueva Quimioterapia. A la fecha de entrega de este artículo (Enero 17/2001) la paciente se encuentra en mal estado general, con tos intensa y disnea de mínimos esfuerzos...

Discusión

Los blastomas pulmonares son neoplasias raras, con aproximadamente 150 casos reportados en la Literatura Inglesa y un adicional de 55 reportados en la literatura Japonesa. (7.14.15)

De sus 3 variedades: Pleuropulmonar, pulmonar bifásica clásica y Adenocarcinoma fetal bien diferenciado, es este último el de mejor pronóstico. De acuerdo a Koss y colaboradores, el 81% de los pacientes con Adenocarcinoma de tipo fetal bien diferenciado en su grupo de estudio estuvieron vivos y sin tumor en una media de seguimiento de 97 meses ⁽⁷⁾. El tumor de nuestra paciente a pesar de tratarse del tipo histológico de mejor sobrevida a largo plazo, tuvo una mala evolución debido fundamentalmente a que contó con un grave factor pronóstico como fue el de la presencia de una linfangitis carcinomatosa pulmonar desde el momento en que fue diagnosticado. A diferencia de lo común en estos tumores nuestra paciente era no fumadora, siempre fue sintomática y radiológicamente sus lesiones nunca fueron solitarias, periféricas ni circunscritas. Otro factor que se añadió a su mal pronóstico fue el que la paciente no pudo ser sometida a intervención quirúrgica. Existen numerosos estudios de resecciones quirúrgicas con intención curativa reportados

en la Literatura, inclusive hay uno que logró una remisión de 24 años (16). A nuestro caso, por lo avanzado de su lesión, no se le pudo ofrecer esta alternativa.

Hasta recientemente, la quimioterapia y radioterapia adyuvante han tenido poco éxito. La última revisión del uso de Quimioterapia en pacientes adultos con Blastoma pulmonar realizada por Corey y colaboradores hasta marzo del 97 ⁽¹⁾ reportó una media de sobrevida de 14. 7 meses. Hubo sólo tres sobrevivientes libres de enfermedad a largo plazo (17-19)

En cuanto a los agentes quimioterápicos utilizados, existe actualmente gran evidencia de que el Platino puede ser efectivo. Kummet y Doll inicialmente describieron su uso como un agente de segunda línca en el tratamiento de 2. un paciente cuya enfermedad metastásica se presentó con derrame pleural maligno 18 meses después de la resección 3. inicial del tumor primario (14). Shimotakahara et al. Describieron su uso en otro paciente que se presentó con lesiones cerebrales metastásicas y documentó una respuesta parcial que resultó en 1 año de sobrevida (15).

Büchel et al reportaron una sobrevida libre de 6. enfermedad a los 8 meses en un paciente de 64 años de edad en quien la quimioterapia neoadyuvante con etopósido y ciclofosfamida fue combinada con carboplatino y etopósido adyuvante (20). Suzuki y colaboradores describieron una sobrevida de 9 años con presentaciones múltiples de enfermedad recurrente. La paciente se había sometido a una lobectomía superior, al igual que a 3 8. tumorectomías en el curso de estos 9 años. Tuvo compromiso documentado por biopsia del pulmón contralateral, nódulos linfáticos y piel y había recibido más de 30 ciclos de quimioterapia de multiagentes al 9. igual que radioterapia.(21). Basados en estos estudios y por la eficacia que este agente tiene en la mayoría de los tumores de células germinales, se decidió aplicar en nuestra paciente un esquema basado en Cisplatino. La respuesta, a pesar de ser de sólo 2 meses, fue muy significativa considerando que la paciente no fue sometida a resección quirúrgica alguna como sí lo fueron la mayor parte de los casos reportados en la literatura mundial. Sin embargo, nunca podremos saber el resultado que hubiéramos logrado obtener con el uso de otras drogas quimioterápicas de 2da. línea debido a que la paciente se ha rehúsado a recibir nuevos ciclos de quimioterapia.

En conclusión, en este tipo de tumores la resección quirúrgica debe ser intentada siempre que sea posible. Sin embargo, basados en la limitada experiencia con

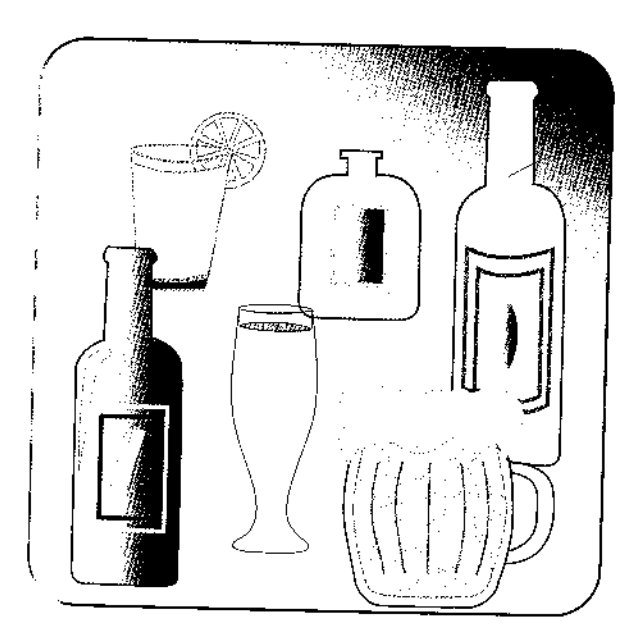
nuestra paciente y de acuerdo a lo publicado en la estadística mundial se debe considerar el uso de regímenes de quimioterapia advuvantes con Cisplatino sobre todo en pacientes con estadios avanzados de la enfermedad, puesto que así no logren la curación sí pueden proporcionar una mayor supervivencia.

Bibliografía

- 1. Cutler C, Michel R, Yassa M, Langleben A. Pulmonary Blastoma: Case Report of a Patient with a 7-Year Remission and Review of Chemotherapy Experience in the World Literature. Cancer 1998:
- Barnard W. Embryoma of the Lung. Thorax 1952; 7: 229 - 301.
- Barnett N, Barnard W. Some Unusual Thoracic Tumors. Br J Surg 1945; 32: 447-57
- Francis D, Jacobsen M. Pulmonary Blastoma: Curr Top Pathol 1983; 73: 265 - 94.
- Spencer H. Pulmonary Blastomas, J Pathol Bacteriol 1961; 82; 161-5
- Kradin R, Young R, Dickersin G, Kirkham S, Mark E. Pulmonary Blastoma with argyrophil cells lacking sarcomatous features (pulmonary endodermal tumor resembling fetal lung). Am J Surg Pathol 1982; 6: 165-72.
- Koss M, Hochholzer L, O'Leary T. Pulmonary Blastomas. Cancer 1991; 67(9): 2368 – 81
- Cohen M, Emms M, Kaschula R. Childhood Pulmonary Blastoma: a Pleuropulmonary Variant of the Adult-Type Pulmonary Blastoma. Pediatr Pathol 1991; 11: 737-49
- Manivel J, Priest J, Watterson J, et al. Pleuropulmonary Blastoma. The so-called Pulmonary Blastoma of Childhood. Cancer 1988; 62: 1516-26
- 10. Nakatani Y, Dickersin G, Mark E, Pulmonary Endodermal Tumor Resembling Fetal Lung: A Clinicopathologic Study of Five Cases with Inmunohistochemical and Ultraestructural Characterization. Hum Pathol 1990; 21: 1097-107
- Kitamura H, Inayama Y, Ogawa N. Pulmonary Endodermal Tumor Resembling Fetal Lung: The Optically Clear Nucleus is Rich in Biotin. Am J Surg Pathol 1994; 18: 637-42
- 12. Sickel J, di Sant'Agnese A. Anomalous Immunostaining of "Optically Clear" Nuclei in Gestational Endometrium: A potential Pitfall in the Diagnosis of Pregnancy-Related Herpes Virus Infection. Arch Pathol Lab Med 1994; 118: 831-3

- 13. Muller-Hermelink H, Kaiserling E. Pulmonary Adenocarcinoma of Fetal Type: Alternating Differentiation Argues in Favor of a Common 18. Endodermal Stem Cell. Virchows Arch 1986; 409: 195-210.
- 14. Kummet T, Doll D. Chemotherapy of Pulmonary 19. Novotny J, Huiras C. Resection and Adjuvant Blastoma: A Case Report and Review of the Literature. Med Pediatr Oncol 1982; 10: 27-33
- 15. Shimotakahara T, Hirata S, Matsumoto H, Nishijima 20. Büchel H, Casella R, Müller X, Martinelli G, H, Mitani N, Baba K, et al. A Case of Pulmonary Blastoma. Kyobu Geka 1992; 45: 339-42.
- 16. Gibbons J, McKeown F, Field T. Pulmonary 21. Suzuki I, Oho K, Nakayama S et al. Pulmonary Blastoma with Hilar Lymph Node Metastasis: Survival for 24 Years. Cancer 1981; 47: 152-5.
- 17. Siegel R, Bueso C, Cohen C, Koss M, Pulmonary

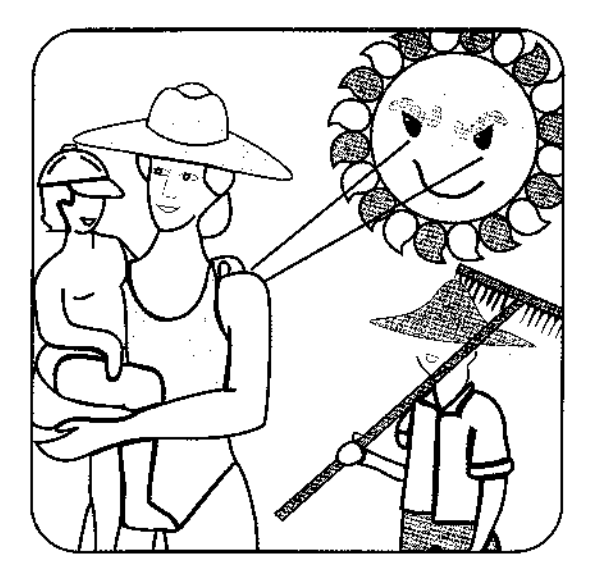
- Blastoma with Germ Cell (yolk sac) Differentiation: Report of Two Cases. Mod Pathol 1991; 4: 566-70.
- Thoreux P, Le Coz A, Baudet B, Desrues B, Ramee M, Delaval P. Le pneumoblastome: a propos d'une observation. Rev Pneumol Clin 1993; 49: 107-21.
- Chemotherapy of Pulmonary Blastoma. Cancer 1995; 76: 1537-9.
- Cavalli F, Luscieti P. Das blastom der Lunge ein seltenes malignom. Helv Chir Acta 1993; 60: 21-5.
- Blastoma- Long Term Survival of a Patient with Metatasis. Nippon Kyobu Geka Gakkai Zasshi 1994; 42: 1208-13.



Modere su consumo de bebidas alcohólicas



El Cáncer se puede prevenir y se puede curar. Las posibilidades de curación son mucho mayores cuanto más temprano sea su diagnóstico.



Protéjase durante la exposición al sol.



Sociedad de Lucha contra el Cáncer Guayaguil -Ecuador

Del Editor:

AUTORES Y AUTORÍA

La paternidad literaria da el crédito y ratifica la responsabilidad total del trabajo realizado y publicado. Significa haber trabajado lo suficiente en la concepción, elaboración del trabajo, análisis de la información y en la escritura del manuscrito. Todas las personas designadas como autores deben calificar para obtener la paternidad literaria. La jerarquía de la paternidad debe ser una decisión conjunta de los coautores. Cada uno de ellos debe haber participado lo suficiente en el trabajo para adquirir responsabilidad pública de su contenido.

- El Crédito de la paternidad literaria debe basarse en las contribuciones para:
- a. la concepción, el diseño y el análisis de los datos,
- b. la elaboración del artículo o la revisión crítica de su contenido intelectual, y
- c. la aprobación final del material a publicarse.

Los tres tipos de contribuciones tienen que cumplirse. Solo la participación en la recaudación de fondos o de datos no justifica la paternidad literaria. La supervisión en general del grupo de investigación tampoco es suficiente. Los Editores pueden solicitar a los autores que describan cada una de las contribuciones proporcionadas, ya que esta información puede ser publicada

Adaptado de: JAMA 1996: 276:75.

Pseudomixoma Peritoneal (1)

Dr. Jorge Valencia Moreira (2) Dr. Holwin Solorzano Morales (3) Dr. Geovanni Gomezcoello Moya (4) Dr. Jaime Sánchez S. (5)

Servicio de Cirugía - ION SOLCA (1) Médico Residente R-3 Cirugía Oncológica. ION SOLCA (2) Médico Residente R-1 Cirugía Oncológica. ION SOLCA (3) Médico Residente Cirugía General R-1. ION SOLCA (4) Cirujano Oncólogo - Servício de Cirugía ION SOLCA (5)

Abstracto

El pseudomixoma peritoneal tiene diversos orígenes, tales como el cáncer colorectal, adenocarcinoma pancréatico en estadio avanzado. Sin embargo son los adenocarcinomas mucinosos del ovario y apéndice con los que mayor frecuencia se produce esta patología. Cuando la tumoración involucra ovario y apéndice cecal se debe establecer el origen a través de la inmunohistoquímica. De no se posible esta, se debe decidir intraoperatoriamente realizar cirugía citoreductora máxima, esto es, histerosalpingooferectomía bilateral, hemicolectomía radical derecha, omentoctomía y biopsias de las gotieras parietocólicas y espacios subdiafragmáticos derecho e izquierdo, estableciéndose así la extensión de la patología.

Se presenta el caso de una paciente quien fue intervenida con impresión diagnóstica de apendicitis aguda, resultando ser adenocarcinoma mucinoso de apéndice cecal que involucraba ovario derecho, apéndice cecal, epiplón mayor, estómago, intestino delgado y pared abdominal anterior. Se le realizó a la paciente cuatro cirugías citoreductoras y quimioterapia.

Palabras Claves: Pseudomixoma peritoneo

Introducción

El PSEUDOMIXOMA PERITONEAL, es la enfermedad plenamente establecida, en la que la cavidad peritoneal se encuentra distendida por una masa semisólida de mucina en la que se identifican células adenocarcinomatosas anaplásicas. A simple vista es un líquido gelatinoso y viscoso que es rico en glicoproteínas.

Las características histológicas de los cistoadenomas y cistoadenocarcinomas son similares en los tumores del apéndice como de los ovarios.

Correspondencia y separatas.

⊇c Jaime Sánchez S

ervicio de Cirugía

EN-SOLCA "Dr. Juan Tanca Marengo"

/v. Pedro Menéndez Gilbert

lila. Atarazana

T-ifs.: 288088 - 281042

EO. Box (09-01) 15028 Grayaquil - Ecuador

© Los derechos de autor de los artículos de la Revista Oncología

portenecen a la Sociedad de Lucha contra el Cáncer SOLCA,

Sode Nacional, Guayaquil - Ecuador

Abstract

The pseudomyxoma peritoneal has some origins, such as colorectal cancer, pancreatic adenocarcinomas in advanced stages. However, the ovarian and appendicular adenocarcinomas are the most frequent origin of this pathology. When the tumor compromises the ovary and appendix, the origin of pseudomyxomas peritoneal should bit stablish throughout inmunohischemestry, if this is not possible, transurgery decision should be taken to execute a cytoreductive surgery; this is, hysterectomy, salpingo-oophorectomy, omentectomy, radical right hemicolectomy and biopsics of the right and left gutters to stablish the extension of the descase.

We present a case of a female patient who underwent surgery with the diagnosis of appendicitis and it resulted to be a mucinosous adenocarcinoma of the cecal appendage that involucrated the rigth ovary the appendix vermiform, the colon, the small intestine, the stomach and the abdominal wall. The patient underwent four surgeries and quemotherapy afterwards.

Key Words: Pseudomyxoma - peritoneal

Este raro proceso es una complicación de las neoplasias limítrofes y malignas principalmente. La complicación más importante de éste proceso depende de la formación de extensas adherencias entre sí y con las vísceras, lo que acaba en su fusión con el contenido intestinal, nada diferente de la que prodecen los tumores serosos con afectación similar.

La supervivencia aproximada a los 10 años de los tumores limítrofes en fase 1, de los tumores malignos no invasores, y de los malignos francamente invasores es demás del 95, del 90 y del 66 %, respectivamente.

Resumen de la Historia Clínica

Paciente de sexo femenino de 34 años de edad, sometida a laparotomía exploradora fuera del Instituto bajo diagnóstico de apendicitis aguda, en Agosto de 1996, encontrando una tumoración que compromete apéndice cecal, ovario derecho, epiplon, estómago mesenterio, asas delgadas, colon sigmoide y pared abdominal anterior. El examen anatomopatológico indica

que se trata de un cistoadenocarcinoma mucinoso bien diferenciado de apéndice cecal, que infiltra todas sus paredes hasta la serosa y metastatiza múltiples órganos intraperitoneales.

En Diciembre del 96 la TAC abdominopélvica indica la presencia de metastasis hepáticas y adenopatías retroperitoneales y mesentéricas, CA 125: 29.7 U/ml, CEA: 16.7U/ml.

Ocho meses después es sometida a second look, realizando omentectomía y excércsis de implantes peritoneales y evacuación de gran cantidad de tejido mucinosos.

En Julio de 1.997 completa 47 ciclos de quimioterapia con 5 Fu y leucovorina, buen estado general, TAC de cráneo v RX de tórax son normales.

En Septiembre del 97 completa 3 semanas de irinotecan, se observa en la TAC estabilización de las metástasis, TEGI es normal.

En Julio del 98 se da quimioterapia de rescate con taxol 2 ciclos por haber baja respuesta al 5FU y al irinotecan, la TAC reporta presencia de ascitis y múltiples implantes peritoneales.

La paciente es laparotomizada 16 meses después de la segunda cirugía, se encuentra gran cantidad de tejido mucinoso el cual es evacuado, existen pseudomembranas las cuales son resecadas, también se realiza excéresis de quiste. Patología reporta que se trata de un cistadenocarcinoma mucinoso de bajo grado de malignidad.

Ocho meses después es sometida por cuarta vez a laparotomía exploradora, se encuentra múltiples implantes en espacios subdiafragmáticos, subhepático, goticras perietocolicas derechas e izquierdas, mesenterio, colon y útero, se realiza histerectomía total simple y evacuación de material mucinoso.

platino, CA 199; 478.7 U/ml.

En Octubre del 2000: La TAC (foto#1) indica presencia de ascitis mínima e implantes peritoneales, CEA: 411.6 U/ml, CA 125: 24.58 U/ml, CA 199:121.7 U/ml, en buenas condiciones generales



Pseudomixoma Peritoneal

Los tumores del apéndice cecal no son tan raros como pensamos, en 4,6% de las apendicectomías realizadas el examen anatomopatológico informa presencia de alguna tumoración maligna o henigna. Entre las neoplasias más comunes tenemos el tumor carcinoide, el cual en el 70% de los casos se localiza a nivel del apéndice cecal, está formado por células cromafines, clínicamente puede ser asintomático o presentar el llamado síndrome carcinoide que consiste en rubicundez facial, a la auscultación pulmonar pueden existir sibilancias, insuficiencia cardíaca, diarreas explosivas, afecciones dermatológicas como la pelagra, el diagnóstico se realiza determinando en orina de 24 horas los niveles de 5 Hidroxiindiolacetico y 5 Hidroxitriptamina, pucden existir falsos positivos en pacientes que llevan una dieta rica en serotonina (plátano) o en quienes están medicados con acctaminofen ya que este disminuye el metabolismo hepático de las sustancias producidas por el tumor carcinoide (Histamina serotonina, bradiquinina, prostaglandinas), etc. (0.3,5,6)

El tratamiento es quirúrgico, si el tumor mide menos de 2 cm., no toma la base apendicular y no hay adenopatías macroscópicas se realiza apendicectomía, si por el contrario mide más de 2 cm., toma la basc apendicular, existen implantes se debe realizar hemicolectomía radical derecha (1,2,4,7).

El segundo tipo de neoplasia apendicular es el mucocele, En Agosto del 99 se da quimioterapia con taxol y se debe a una hiperproducción de mucina a nivel de la luz del apéndice, tiene 2 orígenes, el benigno, el cual puede ser causado por una hiperplacia de las células de la mucosa del apéndice con obstrucción de su luz, y posterior mucocele, la segunda causa es la presencia de un adenoma el cual produce mucocele apendicular por el mismo mecanismo que la hiperplasia de las células mucosas (3.4,7,8.9)

La tercera tumoración más frecuente es el cistadenocarcinoma, el cual es 5 veces menos frecuente que el adenoma, el tratamiento consiste en la hemicolectomía radical derecha, esta neoplasia atraviesa las 4 capas del apéndice y a través de las serosa invade el peritoneo y causa el llamado pseudomixoma peritoneal. (34.5.6)

El pseudomixoma peritoneal tiene múltiples causas entre ellas el cáncer colorrectal y el pancreático en etapas terminales, pero más frecuentemente se observa en los adenocarcinomas ováricos y apendiculares en estadios iniciales, en el cistoadenocarcinoma ovárico cuando traspasa la cápsula y se disemina por la serosa peritoneal constituyéndose mecanismo causal, mientras que en el carcinoma apendicular tiene un doble mecanismo de diseminación, el primero por la perforación de un mucocele apendicular de origen maligno y en segundo a través de infiltración de la pared apendicular y diseminación por la serosa peritoneal. Una vez en el peritoneo las células tumorales toman primero el fondo de saco de Douglas, posteriormente ascienden por las goticras parietocolicas hacia los espacios subhepático y subdiafragmáticos derechos e izquierdos, completa la invasión del espacio supramesocólico posteriormente el mesenterio y finalmente las asas delgadas y la totalidad de la zona inframesocólica.

Clínicamente estos pacientes pueden presentar un cuadro de apendicitis aguda en el 50% de los casos mientras que el restante 50% pueden variar clínicamente desde estar completamente asintomáticos hasta la gran distención abdominal y obstrucción intestinal. (1.2.4.7.8.9)

Ante la presencia de una tumoración que compromete simultáneamente apéndice cecal y ovario derecho y que el reporte de patología constata la presencia de un cistadenocarcinoma de bajo grado de malignidad se debe determinar el origen primario del mismo, para ello se debe recurrir a la inmunocitoquímica, entre los marcadores tumorales más comúnmente utilizados tenemos las citoqueratinas CK7, CK18 y CK20, cl CEA y el CA 199 el cual es específico para neoplasias de tubo digestivo y iumores mucinosos, para los controles de estos pacientes con pseudomixoma peritoneal se deben realizar controles ecosonográficos para la detección de ascitis tabicada y casas intraperitoneales, la T.A.C. abdominopélvica detecta aplantes peritoneales en las áreas de diseminación de la Slula neoplásica y es muy útil para detectar pseudomembranas. (9.16,11,12,13)

Modernamente se está experimentando con el uso

del marcador tumoral HAM 56 y con sustancias obtenidas genéticamente. (7.9)

El tratamiento pude ser de tres tipos, el pilar fundamental es la cirugía, los italianos han protocolizado el manejo de pseudomixoma. Si durante una laparotomía exploradora nos encontramos con una tumoración que simultáneamente compromete el ovario derecho y el apéndice cecal, se debe realizar un corte por congelación para estudio de la tumoración intraoperatoriamente, si este determina que se trata de un cistoadenocarcinoma mucinoso se debe realizar omentectomía, histerosalpingooforectomía bilateral y hemicolectomía radical derecha con restitución de la continuidad intestinal mediante una anastomosis ileotranversa, posteriormente se deben resecar todos los implantes peritoneales mayores a 2 cm. de diâmetro con lo cual se obtiene una cirugía suprarradical o citoreductora máxima, estos pacientes deben ser sometidos a second look a los 6 meses de la cirugía, y eventualmente a otras cirugías para corrección de obstrucción intestinal y/o evaluación de tejido mucinoso de la cavidad abdominal. En un estudio realizado en Cleveland a cerca del uso de la cirugía laparoscópica en el tratamiento del pseudomixoma peritoneal se utilizan 2 trocares de 10 mm el uno para la videocámara y el otro para el sistema irrigación-aspiración a través del cuales instilan sustancias mucolíticas entre las cuales preconizan el uso de la dextrosa al 5% para lograr la disolución de la sustancia mucinica y su evacuación posterior a través del trocar (6,11,12,14,15,16,17)

El segundo pilar en el tratamiento es la quimioterapia, los japoneses han utilizado combinaciones de sustancias entre las usadas tenemos el 5Fu, la MMC y la CDDP, las cuales se administran intraperitonealmente a través de un catéter subcutáneo con reservorio cuyo extremo proximal termina en la cavidad peritoneal las dosis usados son para el 5Fu de 350 mg por m 2 de superficie corporal, para la mitomicina es de 6 mg por m2 de s.c. y para el CDDP es de 70 mg por m2 de s.c. día 1. Se recomienda continuar quimioterapia intravenosa 4 ciclos de 5 Fu posterior a la QT: intraperitoneal. En Amsterdan se utilizó la quimioterapia hipertermica intraperitoneal, utilizando 3 grupos de pacientes en el primer grupo se observó que con una dosis de 35 mg por m2 de s.c se obtenía control en el 65% de los casos de pseudomixoma peritoneal, la solución era calentada entre 40 y 42 grados centígrados antes de su administración intraperitoneal por cateter con reservorio subcutánco, a otro grupo de pacientes se administró 25 mg por $m^2\,$ de s.e., y se obtuvieron resultados inferiores y un tercer grupo al cual se le administró 40



mg por m2 de s.c. en el cual se demostró la presencia de efectos tóxicos por parte de la mitomicina por lo cual se recomendó como dosis estándar la de 35 mg por m² de s.c.

En el estudio Japonés se obtuvo una sobrevida de 44 7. meses luego del diagnóstico, mientras que en el estudio Amsterdan se obtuvo una sobrevida de 2 años. El tercer método de tratamiento es la radioterapia, en la cual se usan los radiocoloides, de ellos el más usado es el fósforo 32 P32. Estos radiocoloides tienen la propiedad secuencial 8. de seguir a las células tumorales por la cavidad peritoneal en su secuencia de diseminación por lo cual desarrollan un mecanismo de barrido de la cavidad peritoneal cuando son colocados directamente en el fondo de saco de Douglas y ascienden por las gotieras parietocólicas hasta los espacios subdiafragmáticos. Se ha comparado la administración de radiocoloides con la QT intraperitoneal con Mefalan 10. encontrando similitud entre los resultados. (14,15,16,17)

Discusión

Con éstos datos, el caso de la paciente que reportamos, 12. es sometida a consideración del Staff médico del ION SOLCA, el 24 de noviembre de 1.999, para decidir acerca de la conducta médica y/o quirúrgica a seguir. Se resuelve que, en el caso de la paciente, se deberá esperar a que halla un volumen considerable en la cavidad abdominal, para realizar otra cirugía de evacuación y dejar colocado un catéter peritoneal para realizar quimioterapia intraperitoneal de acuerdo al esquema presentado (P32).

Bibliografía

- 1. Dunphy W. Diagnóstico y tratamiento quirúrgico. 5ta, ed. Editorial el manual moderno, México, pag 552, 1985.
- 2. Schwartz S. Principios de cirugía, 5ta. ed. Editorial interamericana, México pag 1181-1182, 1991
- 3. Sabinston H. Tratado de patología quirúrgica, 11ava. Ed. Interamericana, Madrid-España- Tomo I, pag 1033-1048, 1984,
- 4. Nawaz A., Karakurum A. Pseudomixoma peritonei manifesting as intestinal obstruction. South Med. J. 17. 2000 Sep. 93 (9). 891-893.
- 5. Driman D. Melega D. Mucocele of the apendix secondary to endrometriosis. Minerva Chir. 2000 Feb. 55 (1-2). 53-57.
- 6. Cavallaro V. Cimbali P. Pseudomyxoma peritonei

- with appendiceal and ovarian mucinous cystadenoma. A case report. Correlations with synchronous or matachronous colorectal carcinomas. Zentralbl Gynakol, 2000 Feb. 122 (3), 175-178.
- Singh A. Winkler M. Ovarian mucinous adenocarcinoima, mucocele of the appendix and pseudomyxoma peritonei, case report with inmunohistochemical analysis, J. Laparoendosc, Adv. Surg. Tech. A. 1999 Jun. 9 (3). 299-303
- Zoetmulder F. Sugarbaker P. Patterns of failure following treatment of pseudomyxoma peritonei of appendiceal origin. Eur. J. Cancer. 1996 Sep. 32^a (10), 1727-1733.
- Du Plessis D., Louw J. Mucinous epithelial cyst of the spleen associated with pseudomyxoma peritonei. Histopatology, 1999 Dec. 35 (6), 551-557.
- Kuo C. Changchien C. Pseudomyxoma with high serum CA 199. Report of three cases. Chang Keng I. Hsuelh Tsa. Chih. 1999 Mar 22 (1). 94-99
- 11. Gamoudi A., Baugrine F. Peritoncal pseidomyxoma associated with an ovarian and appendicular mucinous tumor. Arch Anat. Pathol, 1999 May, 47 (1), 57-60
- Constantinoiu S. Chiru F. Clinical and Therapeutic considerations in pseudomyxoma peritonei. Article in Romanuian. Chirurgia (Bucur). 1998 Jan. 93 (1).
- Lee K., Acully R. Mucinous tumors of the ovary. A clinicopathologic study of 196 borderline tumors of intestinal type and carcinomas, including an evaluation of 11 cases with pseudomyxoma peritonei. Am. J. Surg. Pathol. 2000 Nov. 24 (11). 1447-1464.
- Sasaki A., Terashima M. Intraperitoneal Administration of a combined CDDP, 5 Fu, MMC therapy for pseudomyxoma peritonci. Gan. To. Gakaku Ryoho. 1999 Oct. 26(12), 1828-1831.
- 15. Zoetmulder F. Van Der Vange N. Hypertermic intraperitoneal chemotherapy in patient with peritoneal pseudomyxoma or peritoneal metastases of colorectal carcinoma, good preliminary results from the Netherlands cancer Institute. Ned. Tijdschr Geneeskd, 1999 Sep. 143 (37), 1863-1868.
- Hoch H., Rudi J. Therapy of pseudomyxoma peritonei of appendiceal origen-surgical resection and intraperitoenal chemotherapy. Z. Gastroenterol. 1999 Jul. 37 (7). 615-622.
- Hernandez C., Ruiz. Pseudomyxoma peritonei associated with appendiceal mucinous cystadenoma. Report of a case and review of the literature. G:E:N: 1994 Jul. 48 (3), 157-162
- Robbins, Patología Estructural y Funcional, 5ª, Edición, Editorial Interamericana, Pag. 280, 912, 1178,1179.

Neuroblastoma. Presentación de un caso y revisión de la bibliografía. Servicio de Oncopediatría ION SOLCA

Dr. Guillermo Paulson (3) Dr. Anibal Bonilla (2) Dr. Luis Espin (1) Dra. Soledad Jiménez (1)

Médico Residente Oncopediatría (1) Médico Pediatra (2) Médico Jefe de Servicio Oncopediatría (3)

Abstracto

El Neuroblastoma es el segundo tumor sólido más común en los niños. En el ION Solca-Guayaquil la incidencia es 2 casos por año un una revisión hecha del año 90-97 (1).

El propósito de este artículo es poner a consideración el caso de una niña de 2 años, con la presentación típica del neuroblastoma metastásico, la cual recibió tratamiento con quimioterapia observándose una respuesta favorable del 60%, y una sobrevida de un año.

A propósito del caso, realizamos una revisión bibliográfica del tema.

Palabras Claves: N-myc, neuroblastoma, metástasis.

Introducción

Se origina en células pluripotenciales de la cresta neural pertenecientes al sistema Nervioso simpático, éstas células pueden diferenciarse a células ganglionares, feocromocitos o tejido neurofibroso. Representa el 8-10% de los cánceres en los niños, edad media al diagnóstico es de 22 meses, al relación hombre/mujer es de 1.2:1 ¹². Existen casos familiares y se han diagnosticado en pacientes con neurofibromatosis, nesidioblastosis y enfermedad de Hirschprung.

Correspondencia y separatas.

ा. Guillermo Paulson

Cervicio de Oncopediatría ION-SOLCA

Av. Pedro Menéndez Gilbert

Olla, Atarazana

©lfs.: 288088 - 281042

F.O. Box (09-01) 15028

Chayaquil - Ecuador

© Los derechos de autor de los artículos de la Revista Oncología portenecen a la Sociedad de Lucha contra el Cáncer SOLCA,

Sode Nacional, Guayaquil - Ecuador

Abstract

The neuroblastoma is the second most common solid tumor in children. In ION - Solca-Guayaquil, the incidence is 2 cases per year in a survey made in the years 90-97.

The articles purpose is to put into consideration the cases of 2 2 years old girl with the tipical presentation of metastatic neuroblastoma, who has received quimiotherapy with a favorable response of 60% and one years survival rate.

Due to this case we made a bibliographical review of the subject.

Key Words: N-myc, neuroblastoma, metastatic.

El 70% surgen en el abdomen, y de ellos el 50% en las suprarrenales, otro 20% en el mediastino posterior. Es frecuente que invada localmente a ganglios regionales y que haya diseminación hematógena a médula ósea, esqueleto, hígado y piel. Aproximadamente el 70% de los pacientes tienen metástasis al momento del diagnóstico.

Muchos infante con enfermedad diseminada pueden ser tratados con una combinación de quimioterapia y cirugía, aunque niños mayores de un año con enfermedad diseminada tienen resultado fatal a pesar de recibir terapia multimodal agresiva (3). Histológicamente consta de células pequeñas redondas que forman rosetas con áreas de calcificación u necrosis con extensa hemorragia. Los criterios diagnósticos del neuroblastoma son: 1. Análisis anatomopatológico del tumor, 2. Estudio medular que evidencia invasión tumoral, 3. Asociado al momento de catecolaminas urinarias (4).

El estadiaje del neuroblastoma se lo realiza basado en el sistema Internacional de estadiaje de Neuroblastoma INSS, que toma en cuenta criterios clínicos y quirúrgico-

patológicos. Los factores pronósticos clínicos neuroblasy localización del tumor. Pueden secretar diversas sustancias que son consideradas como factores pronósticos biológicos tales como deshidrogenasa láctica, enolasa específica de neuronas y ferritina; algunos casos presentan anomalías citogenéticas como deleción parcial o pérdida del brazo corto de cromosoma I, baja expresión del CD44, baja expresión Trka, anomalías del cromosoma 17, y amplificación del oncogen N-Myc, un indicador de mal pronóstico (2.3).

Por la variedad clínica del neuroblastoma el tratamiento debe ser realizado de acuerdo a la extensión de la enfermedad, edad del paciente y biología del tumor.

Paciente femenina de 2 años derivada de hospital pediátrico con diagnóstico de histiocitosis por biopsia de ganglio inguinal derecho. Cuadro de 6 meses de evolución con fiebre, dolor y distensión abdominal progresiva, agregándose luego mialgias, cefalea, palidez; mes y medio antes del ingreso protusión del globo ocular izquierdo, nodulaciones blandas a nivel de cráneo y extremidades superiores.

Al E.F; peso: 12Kg. Talla 90 cm PC 55 cm. FC 120x'. FR 40x'. T 39°C Protusión globo ocułar izquierdo, equimosis papebral bilateral (Figura 1), adenopatías cervicales, axilares e inguinales 0.5 a 1 cm, abdomen tumoración dura no dolorosa en hemiabdomen superior que rebaza cicatriz unbilical, marcha imposibilitada por condición clínica.



Figura 1

Lab: Leu 6.600xmm3 seg 43% Lin:54%, normoblastos 3% Hb 8.5g/dl. LDH 624.

Ácido vanil mandélico en orina 24 horas: 8Mg (VN 1.2-7.8

Biopsia ganglio cervical: neuroblastoma metastásico toma son el estadio de la enfermedad, edad al diagnóstico a ganglio cervical. Médula ósea con infiltración por neuroblastoma. St. de tórax: lesiones líticas en extremos proximales de húmeros y en escápula izquierda, infiltrado apical izquierdo. Serie Ósca: Cráneo suturas muy abiertas y lesiones líticas (Figura 2). Afectación ósea extensa a



Figura 2

huesos de cráneo, columna, pelvis y huesos largos. Reacción perióstica y permeación ósea en femures, tibias y peroné (Figura 3). TAC cráneo: Masas a nivel de calota craneal

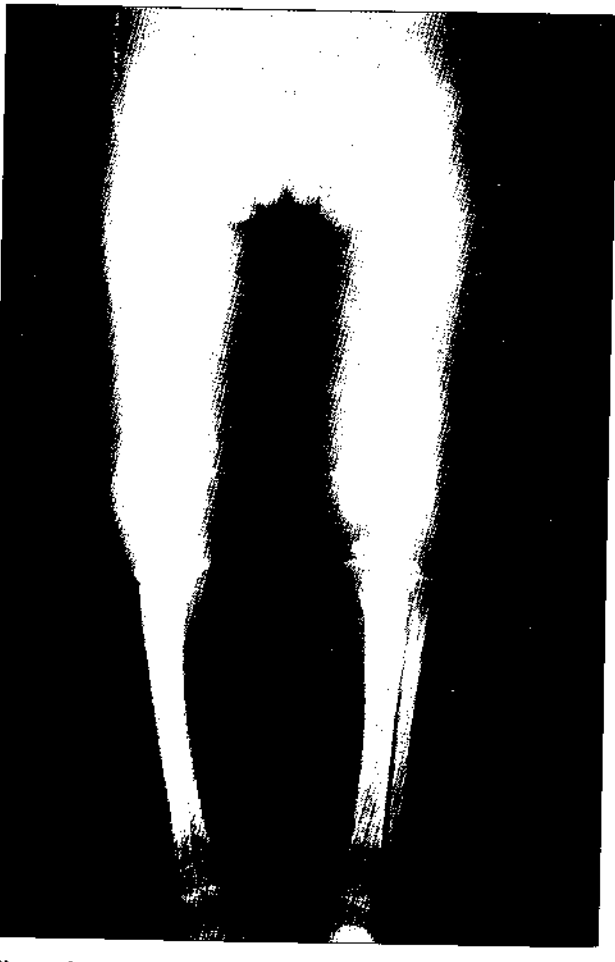


Figura 3

con extensión intracraneal. Tac Toraco-abdominal: Masa retroperitoneal con calcificaciones que desplaza las asas intestinales con apertura en los ejes renales, extendiéndose hacia pelvis menor comprime vejiga (Figura 4). Imágenes líticas y blásticas óseas, compromisos hacia la región mediastinal anterior, medio y posterior. Engrosamiento pleural bilateral.

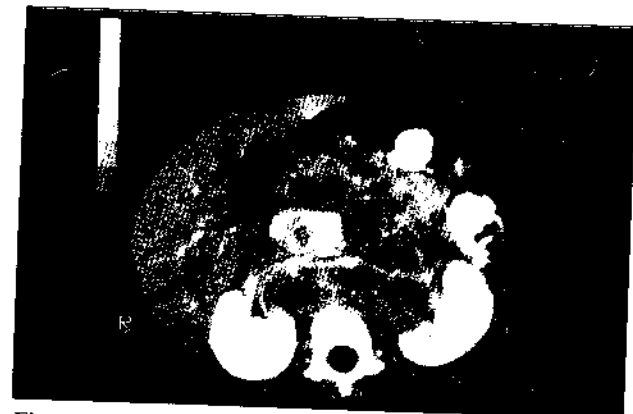


Figura 4

Recibió tratamiento para neuroblastoma metastásico (estadio 4) con tres de etopósido, cisplatino y tres ciclos de CADE (Ciclofosfamida, etopósido y adriamicina) con una respuesta clínica y radiológica favorable del 60%, remisión completa de médula ósea, falleció por complicaciones infecciosas después del último ciclo de quimioterapia.

Discusión

El GOP y CCG han elaborado un sistema de clasificación por grupo de riesgo basado en el INSS, edad, número de copias Myc, ploidea celular del tumor e histología del mismo, usando los criterios del Shimada, determinando un grupo de bajo, intermedio y alto riesgo. (3)

El grupo de bajo riesgo consiste en pacientes con enfermedad localizada (estadio INSS 1 y 2), con biología favorable e infantes con estadio 4s. La terapia que requieren es mínima, pueden curados solo con cirugía. (5) y la sobrevida a 5 años es del 85 a 98%.

El grupo de riesgo de riesgo intermedio incluye paciente con estadio INSS 3 y 4 sin amplificación del N - MYC, infantes 4S que tienen copias N-Myc normal, diploidea DNA, e histología desfavorable. El porcentaje de sobrevida con quimioterapia moderadamente intensiva y cirugía va desde 55-90%. 69

El grupo de alto riesgo incluye todos los pacientes de 365 días y mayores con estadio INSS 3 con biología desfavorables, y todos los niños con estadio 4. Además pacientes con estadio 3, 4 y 4S con amplificación del N-MYC e histología desfavorable. El tratamiento se lo realiza con terapia multinodal intensiva, en muchos centros realizan consolidación con quimioterapia mieloblativa, quimio-radioterapia seguida por transplante autólogo de médula ósea. La sobrevida de estos pacientes se pobre, el porcentaje va de menos del 10% al 30%. (5) Como terapia adicional en algunos centros se utiliza al ácido 13 cis- retinoico en pacientes años de 29 +- 7% (8). El ácido retinoico es un agente biológico que tiene propiedades antiproliferativas y puede inducir diferenciación en ciertas, células malignas incluyendo las células del neuroblastoma. (9)

En un estudio realizado por el grupo de Japón para Neuroblastoma avanzando con más de 10 copias de amplificación del N-MYC de 66 pacientes 29% presentaron una sobrevida libre de enfermedad de más de 66 meses. (10)

El papel de la terapia mieloablativa intensiva es en espera que las células del tumor entren en regresión espontánea o maduración. La diferenciación no necesariamente mejora el pronóstico y puede ser dependiente de la biología intrínseca del tumor más del tratamiento. (11) Así también se está documentando afectos antineuroblastoma con bajas dosis de etopósido oral en pacientes con recaída o enfermedad refractaria a la terapia de inducción con cl fin de erradicar enfermedad mínima residual. (12)

En el caso de nuestra paciente, clasifica en estadio 4, se utilizó quimioterapia agresiva con dos ciclos de etopósido y cisplatino y posteriormente dos ciclos de CADE, obteniéndose mejoría clínica, radiológica y remisión de médula ósea al concluir sus ciclos; pero fue necesario dar un ciclo adicional de cada uno por crecimiento de masa abdominal y modulaciones de cráneo; presentando una sobrevida de un año desde que se realizó el diagnóstico con mejor calidad de existencia; sin embargo, falleció por complicación infecciosa.

Podemos concluir que al estado del conocimiento actual todos los pacientes con neuroblastoma estadio 4 al momento del diagnóstico deberán recibir el beneficio de terapia multimodal agresiva aún a pesar de que exista respuesta mínima al inicio, (8,10,11)

Bibliografía

- 1. Datos Servicio de Pediatría Instituto Oncológico Nacional Solca-Guayaquil. Revisión de casos de Neuroblastoma del año 90-97. No publicados.
- 2. Castleberry RP. Biology and treatment of Neuroblastoma. In: The Pediatric clinics of North America. Philadelphia 1997, 919-37.
- 3. Katzenstein HM, Cohn SL. Advances in the diagnosis and treatment of neuroblastoma. Current Opinion Oncology 1998, 10:43-51.
- 4. Michon J, Quintana E, Calle D. Los Neuroblastomas. Oncología 1998, 8:284-93.
- 5. Kushner BH, Cheung NV, LaQuaglia MP, Ambros PF, Bonilla MA, Ladanyi M, Gerald WL: International Neuroblastoma staging system stage 1 neuroblastoma: a prospective study and literature review. J Clin Oncol 1996, 14:2174-2180.
- 6. Bowman LC, Castleberry RP, Cantor A, Joshi V, Cohn SL, Smith E, Yu A, Brodeur GM, Hayes FA, Look AT: Genetic staging of unresectable or 11. Trebo MM, Thorner PS, Bowman WP, Weitzman S. metastatic.
- 7. Stram DO, Matthay KK, O'Leary M, Reynolds CP, Haase GM, Atkinson JB, Brodcaur GM, Seeegr RC. Consolidacion chemoradiotherapy and autologous bone marrow transplantion versus continued chemotherapy for metastasic neuroblastoma: a report of two concurrent Children's Cancer Group studies. J clin Oncol 1996, 14:2417-26.

- Matthay KK, Villablanca JG, Seeger RC, Stram DO. Harris, RE, Ramsay NK, Swift P, Brodeur GM, Gerbing RB, Reynolds CP. Treatment of high-risk neuroblastoma with Intensive chemotherapy, radiotherapy, autologous bone marrow transplantation, and 13-cis-retinoico acid. Children's Cancer Group. N Engl J Med 1999, 341: 1165-73.
- Degar BA, Harrington RD, Rappeport JM, Woolfrey AE. 13-cis-retinoico acid-induced eosinophilia following autologous bone marrow transplantation for neuroblastoma. Medical and Pediatric Oncology 1999, 32:308-10.
- 10. Kawa K, Ohnuma N, Kaneko M, Yamamoto K, Etoh T, Mugishima H, Ohhira M, Yokohama J, Bessho F, Honna T, Yoshizawaj, Nakada K, Iwafuchi M, Nasaki T, Mimaya J, Sawada T, Nakamura T, Miyata H, Yamato K, Isychida Y. Long-tern survivors of advanced Neuroblastoma with MYCN amplificacion: A report of 19 patients surviving disease-free for more than 66 months. J Clin Oncol 1999, 10:3216-20.
- Long-tern survival of a stage 4 neuroblastoma patient despite persistent bone marrow disease following autologous bone marrow transplantion. Medical and Pediatric Oncology 1999, 33:585-87.
- 12. Kushner B, Framer K, Cheung NV. Oral Etoposide for refractary and relapsed Neuroblastoma. J clin Oncol 1999, 10: 3221-25.

De todas las enfermedades mortales, el Cáncer incipiente es el más probable de curar.

SOCIEDAD DE LUCHA CONTRA EL CÁNCER DEL ECUADOR



252 · Oncología

Vol. 10 • N° 4, Oct.- Dic. 2009

Artículos de Revisión

Carcinoma anaplásico de tiroides. Conceptos tradicionales vigentes y consideraciones de actualidad.

Dr. José Luis Guerra Mesa Especialista de Primer Grado en Cirugía General

Introducción

El Carcinoma Anaplásico de Tiroides (CAT) es una de las neoplasias malignas más devastadoras y de peor pronóstico que afecta al ser humano. Es el más agresivo y de peor evolución de todos los cánceres tiroideos. Ocurre con una frecuencia de entre el 5% y el 10% de todas las neoplasias malignas del tiroides, con una sobrevida menor de seis meses posterior al diagnóstico, y menos del 10% de los pacientes tratados sobreviven a largo plazo (1). Se presenta generalmente entre la séptima y octava década de la vida. En pacientes menores de 40 años esta neoplasia aparece con una incidencia menor del 5% y es extremadamente rara en personas menores de 20 años. Es más frecuente en el sexo femenino en una proporción de 3 af en relación con el sexo masculino (2).

El cuadro habitual es el de un tumor cervical en la región anterior del cuello, de crecimiento rápido y progresivo que provoca dolor cervical, disnea, disfonía y disfagia con infiltración de las estructuras vecinas de manera temprana en su evolución, y conduce a la muerte por asfixia (2,3). Aunque originado de células foliculares, A CAT es un tipo hístico distintivo, por los que todos los CAT son considerados etapa IV, no basado en su extensión anatómica sino por su histología. Este tipo de tumor no equiere un sistema de estadiamiento, el que por definición s un intento para desarrollar un rango de pronósticos para ser usado en la predicción de la sobrevida y en la colección del tratamiento. Su evaluación en un sistema ூ pronósticos junto con los carcinomas diferenciados

del tiroides (CDT) sería como incluir los linfomas gástricos con las lesiones epiteliales del estómago, o como incluir al melanoma junto con los tumores de células escamosas de la piel. Estos dos grupos de tumores se originan en un mismo órgano, pero son enfermedades diferentes (4). Los pacientes sin evidencia de la enfermedad dos años después del diagnóstico y el tratamiento se consideran curados (5)

Etiopatogenia

Se han identificado diversos factores, condiciones, agentes externos o estados patológicos que preceden a la aparición de un CAT, como es el caso de padecer un bocio, generalmente multinodular o hiperfuncionante durante largo tiempo (6.7.8), para algunos con una incidencia mayor del 40% (1); la asociación de un CDT, habitualmente de tipo papilar, con CAT (9, 10, 11) o la formación de un un CAT originado a partir de un CDT (12, 13) y también aunque raro en frecuencia, algunos autores consideran que la transformación anaplásica puede deberse a la administración de iodo radioactivo (14. 15. 16. 17), o a una fuente de irradiación externa (18).

La mejor comprensión de la biología de estos tumores a partir de estudios inmunohistoquímicos, ultraestructurales, hormonales y más recientemente genéticos permiten considerar que el CAT es el resultado final e la desdiferenciación de un CDT silente de largo tiempo de evolución (13), determinado por dos factores principales, la estimulación de su crecimiento mediado por elevaciones sostenidas de la hormona estimulante del tiroides (TSH) y la mutagénesis. Si la estimulación del crecimiento no está presente, los mutágenos por sí solos no generan tumor, sin embargo, la combinación de la mutagénesis y la estimulación del crecimiento aumentada, constituyen un régimen carcinógeno potente. La carcinogénesis no genotóxica incluye un aumento de la estimulación del crecimiento a través de la afectación de la síntesis o del metabolismo de la hormona tiroidea con su consiguiente disminución sérica, lo que trae como

[∴]orrespondencia y separatas.

S José Luis Guerra Mesa

Privicio de Cirugía Esplánica

Lepartamento Nacional de Oncología y Radiobiología

y 29. El Vedado, Plaza.

Cudad de La Habana, CP, 10400 Caba

e-mail: inorbib@infomed.sld.eu

[©] Los derechos de autor de los artículos de la Revista Oncología Patienecen a la Sociedad de Lucha contra el Cáncer SOLCA,

Seie Nacional, Guayaquil - Ecuador

consecuencia la elevación sostenida de la TSH. La estimulación del crecimiento aumenta el promedio de velocidad y de división celular, respectivamente, y por tanto aumenta las posibilidades de mutación (19). Los principales oncogenes involucrados en la carcinogénesis tiroidea son el ras para el carcinoma folicular y el ret para el carcinoma papilar (19, 20); ahora bien, las alteraciones del gen supresor tumoral p53 no son comunes en los CDT, pero sí son detectados frecuentemente en los CAT, lo que sugiere que le función alterada del gen p53 contribuye a la transformación y progresión de neoplasias foliculares y papilares hasta fenotipos altamente indiferenciados y agresivos de CAT (21, 22). Otros oncogenes que se consideran que también participan en la génesis de los CAT son: el Nm23 (23), el H - RAS (24), y el myc (25). Asimismo, el estudio de los mecanismos moleculares genéticos mediante métodos de hibridización genómica han determinado la pérdida de un brazo cromosómico del área 16p en células de CAT, lo que sugiere la existencia de un gen en dicha área muy estrechamente asociado con la transformación de un CAT (26). También se ha encontrado pérdida del cromosoma 22; y las alteraciones del tipo de ganancia más comunes ocurren en los cromosomas 7p (p22 – pter), 8q (q22 – qter) y 9q (q34 - qter) (27). Por otra parte, la transformación anaplásica puede ocurrir tanto en el CDT primario como en sus sitios de metástasis, y en el caso del carcinoma papilar las metástasis gangliolares cervicales regionales son frecuentes. Estas pueden presentar patrones hísticos de indiferenciación con índices de antígeno nuclear de proliferación celular y antígeno nuclear Ki – 67 (MIB – 1) elevados. lo que prueba que las mismas pueden sufrir transformación anaplásica (28).

Anatomopatología

Tradicionalmente los carcinomas indiferenciados del tiroides han sido divididos para su estudio en carcinoma de células pequeñas y carcinoma de células grandes. Los tumores de células pequeñas presentan un patrón de distribución celular difuso, que no son más que linfomas, o un patrón celular compacto que presenta al carcinoma medular o al carcinoma pobremente diferenciado, también llamado "insular" del tiroides (1,29,30). El carcinoma de células pequeñas del tiroides típico existe pero es muy raro (30). El verdadero CAT es el del grupo de células grandes. En cuanto a su aspecto macroscópico son tumores grandes, no encapsulados, ampliamente invasivos, de consistencia variable aunque generalmente firmes, de aspecto abigarrado que generalmente reemplazan a todo

el tejido tiroídeo glandular normal con ruptura de la cápsula e infiltración de las partes blandas y otros órganos del cuello. Se identifican tres patrones microscópicos que lo caracterizan (31): 1) epidermoide, llamado así por su similitud morfológica con el carcinoma de células escamosas no queratinizante de otros órganos como los de pulmón y cérvix; está compuesto por células indiferenciadas que conservan una apariencia epitelial inequívoca, 2) de células fusiformes, también descrito como sarcomatoso porque desde el punto de vista exclusivamente morfológico es indistinguible de un sarcoma y 3) de células gigantes que presta un mayor grado de pleomorfismo. Estos dos últimos presentan un patrón de crecimiento fascicular o reticular, con infiltración eosinofflica intensa, vascularización prominente y metaplasia osteo - cartilaginosa. Su gran actividad mitótica, los grandes focos de necrosis y un marcado grado de invasividad, tanto dentro de la glándula como en las estructuras extratiroideas, inflamación intensa, émbolos tumorales frecuentes, mercada tendencia a la invasión vascular con recmplazo de la pared muscular vascular por células noeplásicas y diversos grados de transición y mezcla entre estos tres tipos celulares son características comunes de los CAT (9, 30, 31, 32.). La inmunohistoquímica confirma la naturaleza epitelial de estos tres tipos celulares al expresar marcadores del tipo de la queratina, principalmente la de bajo peso molecular, la que está presente entre el 50% y el 100% de los casos. La variedad de células fusiformes también coexpresa la vimentina de forma consistente (21, 32, 33, 34)

Aspectos Citológicos

Las características citomorfológicas de los CAT son altamente específicas y fáciles de reconocer (35). Las células tumorales son pleomórficas, redondas, ovales o fusiformes, y aparecen aisladas o en nidos celulares. Los núcleos son caprichosamente extraños y grotescos, tienen cromatina gruesa con aclaramiento paracromático excesivo. Los nucleolos son grandes, múltiples e irregulares. Las inclusiones intranucleares son frecuentes. Las mitosis pueden estar presentes. El citoplasma abundante, puede ser pálido, vacuolado, denso, y a veces quebradizo⁽²⁾. En ocasiones el diagnóstico se torna difícil porque estos tumores pueden tener grandes áreas de necrosis, hemorragia, inflamación con infiltración leucocítica o fibrosis extensa, lo que da lugar a una muestra del aspirado con aguja fina inadecuada o no respectiva; por eso, es necesario realizar siempre aspiración de varias zonas para asegurar una muestra con material útil. No

obstante debido a la simplicidad de la técnica y a su alta certeza diagnóstica, la citología aspirativa con aguja fina es el método de elección por excelencia para el diagnóstico de los CAT desde hace más de 30 años. (35, 36, 37)

Diseminación Metastásica

Son muy pocos los cánceres en el ser humano que son capaces de diseminarse a través de todas las vías, tan rápida y tempranamente como lo hace el CAT. La extensión extratiroidea es la forma de presentación habitual al momento del diagnóstico y afecta hasta el 64% de los pacientes (38). El tumor, en su acelerado crecimiento infiltra marcadamente las partes blandas del cuello, rodea e o que presenta poca respuesta frente a la mayoría de los invade el paquete vascular cervical, los nervios de esta región, así como la laringe, la tráquea y el esófago. Las metástasis a distancia por vía hemática son también comunes, su incidencia varía entre el 45% (39) y el 50% (38) de los pacientes al momento de la evaluación inicial y los sitios donde asientan con más frecuencia son: glándula suprarenal, pulmón y tractus digestivo (32), aunque no los únicos, como es el caso de las metástasis cerebrales que pueden constituir la forma primaria de presentación de ios CAT hasta en el 15% de los casos; pueden ser descubiertas en el curso de la enfermedad con una incidencia del 68%, y en el 23% de las necropsias de pacientes fallecidos por CAT (40), y las metástasis cutáneas que ocurren hasta en el 15% de los pacientes con CAT; el citio más común donde asientan es el cuero cabelludo, on raras y aparecen en el curso de la enfermedad mpliamente diseminada (41, 42)

Contenido Nuclear de DNA

Ha sido bien demostrado que las mediciones de VNA nuclear de material de nódulos tiroídeos contribuye a la información diagnóstica y pronóstica. Basado en el contenido nuclear de DNA los tumores malignos se han ciosificado en dos tipos: euploides y aneuploides. Se ha comprobado que los tumores euploides suelen tener menos potencial maligno, según lo demuestran la progresión tumoral y el tiempo de sobrevida de los pacientes, mientras que los tumores aneuploides suelen te. or gran potencial maligno. Por otra parte, se sabe que el trastorno de la cantidad de DNA se produce antes que la rélula exprese sus propiedades malignas (43), lo cual suglere que la alteración del contenido nuclear de DNA es causa más bien que consecuencia de la transformación matigna. Los estudios que ha evaluado el contenido

nuclear de DNA en los CAT son pocos. Algunos autores han encontrado patrones de DNA diploides y justifican este hallazgo por la coexistencia de estos tumores con CDT, principalmente de tipo papilar, cuyo patrón de DNA es generalmente euploide (10); pero la mayoría de los autores reportan patrones aneuploides (44, 45, 46). El contenido aneuploide de DNA se correlaciona significativamente con pacientes de edad avanzada, tumores voluminosos y baja sobrevida (46)

Quimioterapia

citostáticos conocidos (47); tanto en regímenes de monoquímioterapia como de poliquimioterapia. Entre las drogas que han sido utilizadas más frecuentemente se encuentran la adriamicina, el cisplatino, la ciclofosfamia, la bleomicina, el 5 - fluorouracilo, la vincristina, el etopósido y el peplomycin, sin que ninguna de ellas haya conseguido una mejoría dramática en la sobrevida. Algunos de estos citostáticos usados de forma combinada han sido efectivos en la reducción y el control local del tumor cervical, entre los que se destaca la combinación adriamicina – cisplatino (30, 48, 49). Otras combinaciones de quimioterapia intensiva han tenido escaso éxito y con relacciones adversas severas, principalmente leucopenia, a pesar de la inclusión en estos esquemas del factor estimulador de colonias de granulocitos (50). Las metástasis a distancia presentan respuestas parciales durante sólo dos o tres meses para posteriormente continuar en progresión. Se ha señalado a la adriamicina, en régimen de monoquimioterapia, como la droga más efectiva contra los CAT (51, 52). Se ha sugerido que la quimioresistencia de debe a al expresión del gen mdr 1 y su producto genético, la glucoproteina P; aunque en otros estudios no han logrado identificarlo (80). Otros autores señalan que dicha resistencia no puede ser explicada solamente por este gen, y que en ella también participa la expresión elevada de RMP 1 (50.54). Tanto la glucoproteína P como el RMP I son proteínas de membrana que mediante un mecanismo activo de bomba expulsan los citostáticos fuera de la célula, y es éste, el mecanismo que dota de quimiorresistencia a las células de CAT (13,55). La resistencia a la quimioterapia también puede ser debida al origen policional de algunos CAT; es decir que el tumor puede estar formado por varios clones que tengan, cada uno de ellos quimiosensibilidad diferente (56). En los últimos diez años de ha ensayado el paclitaxel, al que se considera una de las drogas citotóxicas más prometedoras en el uso



clínico. Es un derivado de una variedad de Tejo, árbol de la familia de las coníferas, el Taxus Brevifolia. Concentraciones submicromolares de esta droga alteran el equilibrio dinámico entre los dímeros tubulares y los microtúbulos, desviándolo hacia la polimerización, para seguidamente estabilizar los microtúbulos e impedir su despolimerización. En esencia el paclitaxel disminuye la concentración crítica de tubulina requerida para la unión de los microtúbulos. La estabilización de estos últimos da por resultado la interrupción y detención del ciclo celular; y la apoptosis. Es decir, actúa como un inhibidor mitótico, al bloquear las fases G2/M del ciclo celular. El mecanismo de acción de este citostático es único entre los agentes quimioterápicos (57, 58). Este efecto ha sido evaluado, in vitro e in vivo, mediante su aplicación a cultivos de tejidos de CAT, lográndose máxima inhibición del crecimiento celular con dosis tan bajas como 0,05 mu mol / 1, y desaparición del tumor injertado a ratones desnudos, respectivamente (59). Aplicado a pacientes se han obtenido buenas respuestas se estos tumores, aunque todavía queda por evaluar su impacto en la sobrevida (60).

Radioterapia

La radioterapia (RDT) siempre esta indicada en el tratamiento de los CAT, pero las respuestas obtenidas en el control de la enfermedad con la aplicación única de la misma no siempre son satisfactorias, y algunos autores llegan a afirmar que los CAT responden poco a la RDT convencional (63). Esta resistencia puede deberse a un origen policional de algunos de estos tumores con radiosensibilidad diferente de cada uno de setos clones celulares. Por otra parte, la efectividad de la RDT es inversamente proporcional al volumen tumoral, y directamente proporcional a la oxigenación celular, mientras que los CAT reúnen características opuestas, generalmente son tumores cervicales voluminosos con poblaciones celulares hipóxicas, aspectos que coadyuvan a la radiorresistencia de estos tumores. La radiorresistencia también puede explicarse de la siguiente manera: La RDT aplicada a células de tejido tiroideo normal, interrumpe y detiene en ciclo celular, y acumula las célula en la fase G1, con expresión aumentada del gen p53 de tipo primario. Existe un sitio de unión entre el gen p53 primario y el gen WAF1/Cip1 mediado por el complejo de unión p53 / anticuerpo anti - p53 / DNA, el que aumenta su actividad de unión con la aplicación de la RDT y asegura la detención del ciclo celular de células normales tiroides en fase G1. Sin embargo, las células de CAT presentan el gen p53 mutado y por ello se verifica

una alteración del contenido nuclear del complejo de unión con imposibilidad de unión del sitio específico del DNA entre el gen p53 mutado y el gen WAF1 / Cip 1 por lo que no se produce la detención del ciclo celular, es decir, el gen p53 pierde su capacidad de unión. De ahí que los CAT con mutaciones en el gen p53 son resistentes a la RDT. Por estas razones las células de CAT de un tumor dado pueden alcanzar hasta un 90% de sobrevida después de ser irradiadas (64). Con el intento de vencer esta resistencia a la RDT convencional, se ha utilizado la RDT con hiperfraccionamiento de la cual se invoca superioridad en relación con la primera dado que con ella pueden alcanzarse dosis mayores en menos tiempo, minimiza los efectos tardíos del daño por RDT de los tejidos normales, mejora la reoxigenación de las poblaciones celulares hipóxicas radiorresistentes, mejora el reagrupamiento de las células de proliferación rápida en un fase más radiosensible, y por consiguiente mejora el índice de respuesta local cervical de los CAT, aunque la toxicidad, del tipo de esofagitis, traqueitis y dermatitis con disfagia, disnea, eritema e hiperpigmentación cutánea respectivamente, no es despreciable en algunos pacientes (51, 63, 65). Estas teorías que tratan de explicar la radiorresistencia de los CAT no deben constituir un freno para desestimar el uso de la RDT en los pacientes portadores de CAT, dado que otros autores reportan más de un 80% de respuestas con su aplicación 66. No debe olvidarse tampoco la importante paliación que puede lograrse con la RDT en pacientes con CAT metastásico (67).

Cirugía

La cirugía juega un papel de primer orden en el tratamiento de los CAT, y ei éxito de su aplicación dependerá, ya no sólo de la excelencia técnica del cirujano actualmente, la que le permitirá realizar, lo mismo grandes resecciones cervicales ampliadas que tener la sabiduría y la mesura necesarias como para practicar únicamente una traqueostomía; sino de la certeza de su juicio clínico en la selección del candidato adecuado para la operación y la del mejor momento para realizarla, basado en el conocimiento exacto y detallado de la biología, y evolución natural de esta enfermedad así como de las variaciones que puedan tener los CAT mediados por otras armas terapéuticas. Se obtienen mejores resultados de sobrevida con resecciones radicales que con resecciones paliativas, debido en estas últimas a complicaciones por la persistencia o la recidiva del tumor infiltrante y que frecuentemente se acompañan de un período postoperatorio complicado. La sobrevida también

es el mejor con tiroidectomía total que con tiroidectomía subtotal (68). Las adherencias a la tráquea o al esófago no están necesariamente asociadas a un mal pronóstico, y pueden ser tratadas mediante disección aguda; por el contrario, la invasión franca de estos órganos debe ser tratada mediante resecciones ampliadas en bloque con el tumor cervical 6991. La linfadenectomía cervical radical clásica forma parte de las resecciones amplias cuando se realiza en el mismo tiempo de la tiroidectomía y debe practicarse en presencia de adenopatías tumorales palpables, no de forma profiláctica. Es infrecuente que la disección gangliolar radical de cuello modificada o funcional puede practicarse en los CAT debido a las características infiltrativas de las adenopatías metastásicas de esta neoplasia. La traqueostomía en los CAT tiene indicaciones absolutas, frente a la asfixia traqueal compresiva, la parálisis recurrencial bilateral y el sangrado intratraqueal; y relativa como proceder transopertorio complementario profiláctico para evitar la ulterior muerte por asfixia. Sin embargo, tiene sus desventajas, pues no influye en la evolución de este cáncer y sí puede impedir o demorar el tratamiento radiante postoperatorio por complicaciones en la cicatrización de la herida ouirúrgica (70). Se señala que en las resecciones paliativas cociadas con traqueostomía simultánea la mortalidad paede alcanzar el 29% de los pacientes, con recidiva temoral local sintomática frecuente (68). Como en toda ó⊕a de controversia del conocimiento médico, existen autores que disienten, los que basados en estudios donde se analiza y compara la sobrevida de grupos de pacientes orerados y grupos de pacientes que no recibieron tre amiento quirúrgico, concluyen que la resección quatricia no mejora la distancia (10).

Tratamiento Multimodal

Como hemos visto hasta ahora, tanto la QT como la RDT o la cirugía tienen sus limitaciones en cuanto a su efectividad terapéutica, las que utilizadas por separado rara vez logran el control de esta enfermedad (34,47,70); por lo que con esta premisa un sinnúmero de autores han ideado, diseñado y aplicado múltiples combinaciones de estas tres armas terapéuticas con su empleo conjunto y simpleáneo en el marco de un tratamiento multimodal ${\rm agr}(\sim i_{\rm VO}~^{(48.51,~52,~72,~73,~74)}.~$ Dicho método está indicado por exectincia en los CAT voluminosos, localmente avanzados, con el objeto de lograr la máxima reducción posible del volu son tumoral, para permitir y facilitar la cirugía. Este método generalmente consta de tres fases: Una pringera fase de QT de inducción simultánea con la RDT,

seguida de una segunda fase, la quirúrgica, que habitualmente se practica entre la tercera y la sexta semana del tratamiento neoadyuvante combinado QT - RDT, que es el momento en que se logra la máxima reducción tumoral, y una tercera fase postoperatoria, también de QT - RDT para completar la dosis total planificada. La razón para combinar la QT y la RDT de forma simultánea es que la toxicidad de cada una de ellas no se superpone completamente una a la otra con las dosis utilizadas, mientras que la asociación de ambas mejora el efecto tumoricida. Este método utiliza de preferencia a la RDT hiperfraccionada con la que se obtiene un mejor control local $^{(5, 51, 52, 63, 65, 72)}$. Como resultado de la QT = RDTneoadyuvantes, muchos de los casos que inicialmente son irresecables, se hacen resecables y puede hacerse exéresis radical macroscópica. Con el método multimodal se logra un mayor número de remisores completas del tumor cervical 489, se disminuye la recitiva local postquirúrgica (51), se obtiene un mayor control de la enfermedad a largo plazo (73), para algunos autores mayor del 68% (65), algunos pacientes alcanzan una sobrevida mayor de dos años (5), y muy pocos mayor de cinco (24%) años (10). La toxicidad del método es su principal factor limitante (5, 48, 68). Es inefectivo frente a las metástasis distantes, las que constituyen la causa de muerte de estos pacientes a pesar del buen control local que pueda haberse alcanzado. Aun dentro del tratamiento multimodal, en el muy raro caso de presentarse el CAT como una lesión nodular sin extensión extratiroidea, preferimos, de inicio, practicar la cirugía, y posteriormente administrar la QT - RDT combinadas de forma adyuvante. El tratamiento multimodal de los CAT de los CAT es posible y efectivo independientemente del estado localmente avanzado de la enfermedad.

IODO Radioactivo Terapéutico y Hormonas Tiroideas.

Se sabe que la administración terapéutica de I131 no influye en modo alguno en el curso de los CAT^(10, 75). Su uso sólo está justificado cuando coexisten un CAT y un CDT, para hacer el tratamiento adyuvante postquirúrgico de este último. Algunos autores consideran razonable que los pacientes a los que se les ha practicado tiroidectomía total por CAT y no captan radioiodo en el gammagrama debería administrárseles suficiente hormona tiroidea para supresión hormonal y reducir la TSH, si se tiene en cuenta que esta última es considerada un factor de crecimiento tumoral 635. Disentimos de esta opinión dado que la supresión hormonal con hormonas



tiroideas puede ser efectiva sobre estados patológicos de la glándula tiroides donde existe tejido tiroideo funcionante, al frenar de esta manera el factor de estimulación del crecimiento tumoral mediado por la TSH y por ende prevendría o evitaría la transformación anaplásica; pero esto no ocurre de igual manera en la condición anaplásica ya establecida donde han desaparecido las células de tipo epidermoide, fusiformes o gigantes no funcionantes, características de los CAT, sobre las que la TSH no tiene influencia alguna. Sin embargo la supresión hormonal de 3. la TSH mediante hormonas tiroideas sí esta indicada cuando coexiste un CAT con un CDT, para el tratamiento complementario postquirúrgico de este último, y su control a largo plazo. La mayoría de los autores consideran 4. que la supresión hormonal con hormonas tiroideas no altera la evolución de los CAT.

Consideraciones Finales

A la luz de los conocimientos actuales es muy importante y necesario hacer el diagnóstico precoz con el tratamiento correcto y enérgico de las entidades tiroideas 7. que preceden la aparición de un CAT, para de esta manera hacer profilaxis de tan abominable cáncer.

Aunque los pacientes raramente pueden ser curados, no deben escatimarse esfuerzos para controlar la enfermedad localmente, para evitar la muerte por asfixia o la ulceración del tumor en la piel; incluso en pacientes bien seleccionados con metástasis a distancia, para así 9. mejorar la calidad de vida de estos enfermos.

A causa de la rareza de esta enfermedad, con el escaso número de pacientes que no permite un exhaustivo y correcto estudio y evaluación de tratamiento, aún no existe una terapéutica estándar, sin embargo, sólo el empleo del tratamiento multimodal agresivo ha logrado el control local de la enfermedad a largo plazo, en una alta proporción de casos, y un aumento en la sobrevida.

Las direcciones y esfuerzos de investigación futuros 12, deben encaminarse hacia la búsqueda de agentes quimioterápicos y métodos modernos de RDT más eficaces y menos tóxicos, pero creemos que el futuro más promisorio y seguro sea el desentrañar y conocer de forma completa y cabal el genoma de estos tumores, para mediante la ingeniería genética y la terapia génica poder actuar sobre las alteraciones de los genes que lo originan y prevenir su aparición, en lugar de actuar sobre la consecuencia de dichas alteraciones, es decir el CAT ya expresado clínicamente como lo hacemos actualmente.

Bibliografía

- Aldinger KA, Samaan NA, Ibañez ML, Hill CS. Anaplastic carcinoma of the thyroid. A review of 84 cases of spindle and giant cell carcinoma of the thyroid. Cancer 1978; 41: 2267-75
- Demeter JG, De Jong SA, Lawrence AM, Paloyan E. Anaplastic thyroid carcinoma: risk factors and outcome. Surgery 1991; 110: 956-63
- Nel CJ, Van Heerden JA, Goellner JR, Gharib H, Conabey WM, Taylor WF et el. Anaplastic carcinoma of the thyroid: A clinicopathologic study of 82 cases. Mayo Clin Proc 1985; 60: 51-8
- Cady B. Staging in thyroid carcinoma. Cancer 1998; 83 (5): 844-7
- Tallroth E, Wallin G, Lundell G. Löwhagen T, Einhorn J. Multimodality treatment in anaplastic thyroid carcinoma. Cancer 1987, 60 (7): 1428-31
- Shaw JD, Dodds P. Carcinoma of the thyroid gland in Aukland, New Zeland. Surg Gynecol Obstet 1990; 171: 27-32
- Rieger R, Pimp LW, Money S, Rettenbacher L, Galván G. Hiperthyroidism and concurrent thyroid malignancies. Surgery 1985; 106: 6-10
- Fujikawa M, Okamura K, Sato K, Asano T, Yamasaki K, Hirata T et al. Anaplastic transformation of a papillary carcinoma of the thyroid in a patient with Grave's disease with a varied activity of thyrotropin receptor. Thyroid 1998; 8 (1): 53-8
- Thyroid Gland en: Ackerman LV. eds. Surgical Pathology ed 9a. St. Louis: CV Mosby; 1999. P.391-47
- Sierra M, Gamboa DA, Herrera MF, Barredo PB, de la Barrera AC, Llorente L et al. Carcinoma anaplásico de tiroides en el Instituto Nacional de la Nutrición Salvador Subirán. Rev Invest Clin 1997; 49: 97-103
- Spires JR, Schwartz MR, Miller RH. Anaplasic thyroid carcinoma. Association with differentiated thyroid cancer. Arch Otolaryngol Head Neck Surg 1988; 114: 40-4
- KappsDs, Li Volsi VA, Sanders MM. Anaplastic carcinoma following well - differentiated thyroid cancer. Ethiological considerations. Yale J Biol Med 1982: 5: 521-8
- Ain KB. Anaplastic thyroid carcinoma: A therapeutic challenge. Semin Surg Oncol 1999; 16 (1): 64-9
- Baker HW. Anaplastic thyroid cancer twelve years after radioiodine therapy. Cancer 1969; 23 (4): 885-90
- Nemec J, Niederle B, Cenkova V, Vana S, Zeman V. Early manifestation of anaplastic thyroid cancer

- after radioiodine tratment for toxic nodular goitre. 29. Shevro J, Gal R, Avidor I, Hadar T, Kessler E. Neo Neoplasm 1971: 18 (3): 325-33
- 16. Bridges AB, Davies RR, Newton RW, Mc Neill GP. Anaplastic carcinoma of the thyroid in a patient receiving radioiodine therapy of amiodarone - 30. Samaan NA, Ordoñez Ng. Uncommon types of induced thyrotoxicosis. Scott Med J 1989; 34 (3): 471 -2
- 17. Gorowsky T, Gabryelewicz MB, Jastrzebska H. Anaplastic thyroid carcinoma developed after treatment of a "hot" thyroid nodule with radioiodine. Endokrynol Pol 1992; 43 (3): 308-13
- 18. Nikiforov Y, Gnepp DR, Fagin JA. Thyroid lesions in children and adolescents after the chernobil disaster: Implications for the study of radiation
- 19. Williams ED. Mechanisms and pathogenesis of the thyroid cancer in animals and man. Mutat Res 1995; 333 (1-2): 123-9
- 20. Gagel RF, Goepfert H, Callender DL. Changing concepts in the pathogenesis and management of thyroid carcinoma. CA Cancer J Clin 1996; 46 (5): 261-83
- 31. Brocheriou C. Anaplastic carcinoma of the thyroid. Arch Anat Cytol Pathol 1998; 46(1-2): 87-93
- 22. Moretti F, Farsetti A, Soddu S, Misiti S, Crescenzi M, Filetti S et al. P53 re - expression inhibits proliferation and restores differentiation of human thyroid anaplastic carcinoma cells. Oncogene 1997; 14 (6): 729-40
- 3. Zou M, Shi Y, al Sedairy S, Farid NR. High levels of Nm23 gene expression in advanced stage of thyroid carcinomas. Br J Cancer 1993; 68: 385-8
- 34. Stringer BM, Rowson JM, Parkar MH. Detection of H - RAS oncogene in human thyroid anaplastic 39. carcinomas. Experientia 1989; 45: 372-6
- 20. Hoang Vu C, Dralle H, Scheumann G. Gene expression of differentiation and dedifferentiation 40. markers in normal and malignant human thyroid tissues. Exp Clin Endocrinol 1992; 100: 51-6
- Komoike Y, Tamaki Y, Sakita I, Tomita N, Ohue M. 41. Sekimoto M. Comparative genomic hybridization defines frequent loss on 16p in human anaplastic thyroid earcinoma. Int J Oncol 1999;14 (6): 1157-62
- 27. Hemmer S, Wasenius VM, Knuutila S, Franssila K, 42. Dahl PR, Brodland DG, Goellner JR, Hay ID. Joensuu H. DNA copy number changes in thyroid carinoma. Am J Pathol 1999; 154 (5): 1539-47
- 28. Osaki O, Ito K, Mimura T, Sugino K, Ito K. Anaplstic transformation of papilary thyroid 43. Nasiel K, Näslund I, Auer G. cytomorphologic and carcinoma in recurrent disease in regional limph nodes: A histologic and immunohistochemical study. 3 surg Oncol 1999; 70 (1): 45-8

- Anaplastic thyroid carcinoma A clinical, histologic and inmunohistochemical study. Cancer 1988; 62: 319-25
- thyroid cancer. Endocrinol Met Clin North Am 1990, 19 (3): 637-48
- 31. Carcangiu ML, Steeper T, Zampi G, Rosai J. Anaplastic thyroid carcinoma. A study of 70 cases. Am J Clin Pathol 1985; 83: 135-58
- 32. Rosai J, Carcangiu ML, De Lellis RA. Atlas of tumor pathology. Tumors of the thyroid gland. Washington, D.C.: Armed Forces Institute of Pathology; 1990. P. 135-59
- tumorigenesis. J Clin Endocrinol Metab 1996; 81: 9-14 33. Ordoñez NG, el Naggar AK, Hickey RC, Samaan NA. Anaplastic thyroid Inmunocytochemical study of 32 cases. Am J Clin Pathol 1991; 96: 15-24
 - 34. Venkatesh YS, Ordoñez NG, Schultz PN, Hickey RC, Goepfert H, Samaan NA. Anaplastic carcinoma of the thyroid. A clinicopathologic study of 121 cases. Cancer 1990; 66: 321-30
 - 35. Us Krasovec M, Golouh R, Auersperg M, Besic N, Ruparcic - Oblak L. Acta Cytol 1996; 40 (5): 953-8
 - 36. Bäckdahl M, Wallin G, Löwhagen T, Auer G, Granberg PO. Fine needle biopsy cytology and DNA analysis. Their place in the evaluation and treatment of patients with thyroid neoplasms. Surg Clin Noth Am 1987; 67 (2): 197-211
 - 37. Einhorn J, Franzén S. Thin needle biopsy in the diagnosis of thyroid disease, Acta Radiol 1962; 58: 321-36
 - 38. Lo CY, Lam CY, Wan KY. Anaplastic carcinoma of the thyroid. Am J surg 1999; 177 (4): 337-39
 - Martins RG, Caplan RH, Lambert PJ, Rooney B, Kisken WA. Management of thyroid cancer of follicular origin, J Am Coll Surg 1997; 185 (4): 388-97
 - Chiu AC, Delpassand ES, Sherman SL. Prognosis and treatment of brain metastasis in thyroid carcinoma. J Clin Endocrinol Metab 1997; 82 (11): 3637-42
 - Taniguchi S, Kaneto K, Mishikawa Y, Hasashi A, Hamada T. Cutaneous metastases from anaplastic thyroid carcinoma. Int J Dermatol 1996; 35 (8): 574-8
 - Thyroid carcinoma metastatic to the skin: A cutaneous manifestation of a widely disseminated malignancy. J Am Acad Dermatol 1997; 36 (4): 531-7
 - cytochemical analysis in the differential diagnosis of cervical epithelial leions. Anal Quant Cytol 1984; 6: 196-200



258 · Oncología

- 44. Johannnessen JV, Sobrinho Simoes M, Lindmo T, Tange KO. The diagnostic value of cytometric DNA measurements in selected disorders of the human thyroid. Am J Clin Pathol 1982: 77: 20-5
- 45. Klemi PJ, Joensuu H, Eerola E. DNA aneuplody in anaplastic carcinoma of the thyroid gland. Am J Clin Pathol 1988; 89: 154-9
- 46. Onaran Y, Tezelman S, Gurel M, Terziogiu T, Oguz H, Tanakol R. The value of DNA content in predicting the prognosis of thyroid carcinoma in an endemic iodine deficiency region. Acta Chir Belg 1999; 99 (1): 30-5
- 47. Asakawa H, Kobayashi T, Komoike Y, Maruyama H. Nakano Y. Tamaki Y et al. Chemosensitivity of 60. Ain KB. Anaplastic thyroid carcinoma: behavior, anaplastic thyroid carcinoma and poorly differentiated thyroid carcinoma. Anticancer Res 1997; 17 (4): 2757-62
- 48. Schlumberger M, Parmentier C, Delisle MJ, Couette JE, Droz JP, Sarrazin D. Combination Therapy for anaplastic giant cell thyroid carcinoma. Cancer 1991; 67 (3); 564-6
- 49. Serrano M, Monroy C, Rodríguez-García JL, Pais JR, Fernández-Garrido M. The combined treatment of anaplastic thyroid carcinoma. An Med Interna 63. Mitchell G, Huddart R, Harmer C. Phase II 1994; 11 (6): 288 -90
- 50. The Japanese Society of thyroid Surgery. Chemotherapy Committe. Intensive chemotherapy for anaplastic thyroid carcinoma: combination of cisplatin, doxorubicin, etoposideand peplomycin with granulocite colony - stimulating factor support. Jpn J Clin Oncol 1995; 25 (5): 203-7
- 51. Tenvall J, Lundell G, Hallquist H, Wahlberg P. Wallin G, Tibblin S. Combined doxorubicin, hyperfractionated radiotherapy and surgery in anaplastic thyroid carcinoma. Cancer 1994; 74 (4): 1348-54
- 52. Austin JR, el Naggar AK, Goepfert H. Thyroid Cancers II. Medulary, anaplastic, lymphoma, sarcomas, squamous cell. Otolaryngol Clin North Am 1996; 29 (4); 611 - 27
- 53. Sugawara I, Arai T, Yamashita T, Yoshida A. Masunaga A, Itoyama S. Expression of multidrug resistance – associated protein in anaplastic carcinoma of the thyroid. Cancer Lett 1994; 82 (2): 185-8
- 54. Satake S, Sugawara I, Watanabe M, Takami H. Lack of point mutation of human DNA topoisomerase II in multidrug resistance anaplastic thyroid carcinoma cell lines. Cancer Lett 1997; 116 (1): 33-9
- 55. Loe DW, Deeley RG, Cole SP. Biology of the multidrug resistance - associated protein, MRP. Eur J Cancer 1996; 32 A: 945-57
- 56. Osawa Y, Yoshida A, Asaga T, Kawahara S, Yanoma 70. Holting T, Meyber H, Buhr H. Status of tracheostomy

- S. In vitro chemosensitivity test for seven undifferentiated thyroid carcinoma cell lines using MTT assay. Gan to Kagaku Ryoho 1996; 23 (4): 471-6
- 57. Kingston DG, Samaranayake G, Ivey CA. The chemistry of taxol, a clinical useful anticancer agent. J Nat Prod 1990; 53: 1-2
- 58. Murad AM. Chemotherapy for advanced gastric cancer. Focus n new agents and combinations. Cancer control 1999; 6 (4): 361-33
- 59. Ain KB, Tofig S, Taylor KD. Antineoplastic activity of taxol against human anaplastic thyroid carcinoma cell lines in vitro and in vivo. J Clin Endocrinol Mettab 1996; 81 (10): 3650-3
- biology and therapeutic approaches. Thyroid 1998; 8 (8): 715-26
- 61. Reindhart H, Guttenberg R, Slanina J, Frommhold H, Moser E. Indications for percutaneous radiotherapy in carcinoma of the thyroid gland. Freiburg consensus. Radiologe 1995; 35 (8): 535 – 39
- 62. Vosberg H. Diagnosis, radioiodine and radiotherapy of thyroid carcinomas. Schweiz Rundsch Med Prax 1998; 87 (11): 376-82
- evaluation of high dose accelerated radiotherapy for anaplastic thyroid carcinoma. Radiother Oncol 1999; 50 (11): 33 - 8
- 64. Namba H, Hara T, Tukazaki T, Migita K, Ishikawa N, Ito K et al. Radiation - included G1 arrest is selectively mediated by the p53 – WAF1 / Cip pathway in human thyroid cell. Cancer Res 1995; 55 (10): 2075-80
- 65. Kim JH, Leeper RD. Treatment of locally advenced thyroid carcinoma with combination doxorubicin and radiation therapy. Cancer 1987; 60 (15): 2372-5
- 66. Junor EJ, Paul J, Reed MS. Anaplastic thyroid carcinoma: 91 patients treated by surgery and radiotherapy. Eur J Surg Oncol 1992; 18 (2): 83-8
- 67. Millburn L, Ameen D. The place of ionizin radiation in the treatment of thyroid carcinoma. Otolaryngol Clin North Am 1980; 13 (1): 109-13
- 68. Scheumann GF, Wegener G, Dralle H. Radical surgical intervention with conventional radiation versus multimodality therapy protocol in undifferentiated thyroid cancer. Wien Klin Wochenschr 1990; 102 (9): 271-3
- 69. Melliere DJ, Ben Yahira NE, Bequemin JP, Lange 🗒 Boulahdour H. Thyroid carcinoma with tracheal or esophageal involvement: limited or maximal surgery? Surgery 1993; 113 (2): 166-72

- in the treatment of the respiratory emergency in 73. Kobayashi T, Asakawa H, Umeshita K, Takeda T, anaplastic thyroid cancer. Wien Klin Wochenschr 1990; 102 (9): 264-6
- 71. Lu WT, Lin JD, Huang HS, Chao . Does surgery improve the survival of patients with advanced anaplastic thyroid carcinoma? Otoralyngol Head Neck Surg 1998; 118 (5): 728 -31
- 72. Taguchi T, Shiba E, Izukura M, Kimoto Y, Tanji Y, Takai S. Therapeutic strategy for anaplastic carcinoma and malignant lymphoma of the thyroid. Gan to Kagaku Ryoho 1994; 21 (10): 1593-9
- Maruyama H, Matsuzuka F et al. Treatment of 37 patients with anaplastic carcinoma of the thyroid. Head Neck 1996; 18 (1): 36-41
- Visset J, Chigot JP, Therapeutic approaches of differentiated and nondifferentiated cancer of the thyroid. J Chir 1998; 135 (5): 212-16
- Burman KD, Ringel MD, Wartofsky L. Unusual types of thyroid neoplasms. Endocrinol Metab Clin North Am 1996; 25 (1): 49-68.

Del Editor:

EL ARBITRAJE

Los textos que publica la revista "ONCOLOGÍA" se seleccionan en función de su valor científico. Con el objeto de asegurar en lo posible la difusión únicamente de información válida, estos son sometidos a un proceso de arbitraje o revisión editorial científica.

Cada manuscrito se envía a varios revisores o árbitros que dan su opinión sobre la idoneidad del texto. A veces la aceptación de los artículos está condicionada a la realización de los cambios sugeridos por mestros revisores. Para evitar influencias ajenas a la calidad del texto, los revisores reciben manuscritos en los que se omiten los nombres de los autores.

El buen revisor es la clave de una buena revista. De su buen juicio, ética, conocimiento, y dedicación Copende la calidad del contenido de la revista. Para ellos el reconocimiento a su labor y el agradecimiento de la revista.

A aptado de: Boletín OPS, 1996.

Del Editor:

PUBLICACIÓN DUPLICADA

El standard de una publicación científica dicta que los artículos originales enviados para publicación no han sido publicados previamente ni están siendo considerados simultáneamente para su publicación en otra revista científica periódica. Los autores que envíen artículos para ser considerados en "ONCOLOGÍA" serán recordados de este requerimiento al fimar la carta de exclusividad y la de cesión de los derechos de autor sobre la publicación enviada. La duplicación de una publicación es contraria a la ética que gobierna la diseminación de la información científica y los autores de trabajos científicos deben estar conscientes de que esta conducta es inaceptable.

> El cáncer es curable si se diagnostica a tiempo... ayúdenos a descubrirlo.



SOCIEDAD DE LUCHA CONTRA EL CÁNCER - ECUADOR

GUAYAQUIL - QUITO - CUENCA - PORTOVIEJO - MACHALA - LOJA - RIOBAMBA



262 · Oncología

Vol. 10 • N' 4. Oct.- Dic. 2000

Tesis de Grado

Biopsia Percutánea de Masas Torácicas Guiada por Tomografía Helicoidal Correlacionada con Diagnóstico Patológico Inmediato por Congelación

Dra. Clayreth Eugenia Vinueza García Dr. Segundo Jesús Arias Martínez

Resumen

En un período de un año desde Enero de 1999 a Enero del 2000, se incluyeron en el estudio 58 pacientes con masas torácicas, 30(52%) mujeres y 28(48%) varones, con un promedio de edad de 58 años, rango 10-85a.

El diagnóstico radiológico de los tumores pulmonares tuvo una seguridad diagnostica del 96%. Solo hubo un falso positivo (2%) y un diagnóstico no tomado en cuenta dentro de las posibilidades diagnósticas (Tumor neuroectodérmico primitivo (PNET) (2%).

El diagnóstico radiológico de los tumores mediastinales tuvo una seguridad diagnostica del 100% tomando en cuenta tanto la primera como la segunda posibilidad diagnóstica. No hubieron falsos positivos ni negativos.

Se obtuvo material suficiente para el diagnóstico por congelación en 55 de 58 lesiones (95%). Se realizó una segunda biopsia en 4 (7%) de las 55 lesiones.

En 3 pacientes no se confirmó el diagnóstico porque no regresaron al Instituto para repetir el procedimiento.

El diagnóstico por congelación inmediatamente dado por los Médicos Patólogos; en un tiempo promedio de 18 minutos (10'y 30'); fue el 21% (12) positivo para malignidad, un 22% (13) negativo para malignidad, en el 48% (28) se dio un diagnóstico histopatológico y el 9% (5) fueron muestras insuficientes.

Los diagnósticos por congelación fueron correlacionados con los definitivos obteniéndose un 89% de sensibilidad

Correspondencia y separatas. Dra. Clayreth Eugenia Vinueza García Departamento de Imagenología ION-SOLCA "Dr. Juan Tanca Marengo" Av. Pedro Menéndez Gilbert Telfs.: 288088 - 281042 P.O. Box (09-01) 15028 Guayaquil - Ecuador

© Los derechos de autor de los artículos de la Revista Oncología pertenecen a la Sociedad de Lucha contra el Cáncer SOLCA, Sede Nacional, Guayaquil - Ecuador

y un 100% de especificidad, un valor predictivo positivo del 100%, un valor predictivo negativo del 69% y un valor global de la prueba del 91%.

El área de la curva ROC fue de 0.943 con un error estándar de 0.03.

Hubo discrepancia diagnóstica entre los diagnósticos histopatológicos por congelación frente a los definitivos en el 10% (4) de los tumores pulmonares y en 36% (4) de los mediastinales.

Dentro de las complicaciones ocurrió neumotórax menor al 20% en 3 (5%) pacientes y del 80% en una (1.7%) paciente, la misma que requirió tubo pleural y hospitalización.

Como conclusión, nosotros creemos que este estudio demostró que, el método usado es de gran utilidad para los pacientes en los que se sospecha cáncer, para hacer un diagnóstico precoz y empezar un tratamiento adecuado rápidamente.

Palabras Claves: Biopsia percutánea, tomografía helicoidal, congelación.

Introducción

Desde Enero de 1999 hasta Enero del 2000 se realizaron 58 (30 mujeres y 28 (varones) punciones de masas torácicas de todos los pacientes que cumplían los criterios de inclusión y que fueron enviados al Departamento de Radiología del Instituto Oncológico Nacional SOLCA. La edad promedio fue de 58 años (8 a 85 años).

La biopsia del tórax guiada por Tomografía computada (TC) es una técnica ampliamente aceptada para establecer el diagnóstico de los procesos patológicos del tórax. Sin embargo en muchos pacientes con la radiología intervencionista no ha sido posible obtener muestras suficientes que brinden un diagnóstico patológico adecuado y confiable. (1)

Para mejorar la exactitud diagnóstica de las punciones de masas torácicas, utilizamos el diagnóstico inmediato por congelación en cada uno de los procedimientos.

Con este método aseguramos; en poco tiempo (18 minutos promedio) que haya material (tejido) con el que se puede establecer si hay o no tejido suficiente o en el mejor de los casos obtener un diagnóstico histopatológico inmediato el mismo que fue correlacionado posteriormente con los cortes procesados en parafina, con biopsias de otros sitios y/o citología.

Se obtuvo material diagnóstico en 55(95%) muestras, 3 (5%) fueron insuficientes.

Fue posible identificar el tipo histopatológico de la lesión por la congelación en 22(40%) muestras.

Los diagnósticos por congelación fueron correlacionados con los definitivos obteniéndose un 89% de sensibilidad y un 100% de especificidad, un valor predictivo positivo del 100%, un valor predictivo negativo riales de alta densidad ofrece una gran versatilidad de del 69% y un valor global de la prueba del 91%.

Los diagnósticos histopatológicos definitivos se correlacionaron también con los diagnósticos radiológicos. obteniéndose un 95 % de sensibilidad.

Revisión de la Literatura

En 1966 Dahlgren y Nordenstrom utilizaron la fluoroscopía con intensificador de imágenes para dirigir la toma de biopsias con aguja fina de los tumores pulmonares, sus resultados demostraron una gran exactitud y una baja frecuencia de complicaciones (2). En 1970 Haaga y colaboradores introdujeron la tomografía computada como método de guía para biopsias⁽³⁾.

Aunque la fluoroscopía sigue siendo la modalidad principal para las biopsias de los nódutos pulmonares periféricos bien definidos, la Tomografía Computada (TC) proporciona ventajas en la toma de biopsias del pulmón y del mediastino.

Con la TC es posible alcanzar lesiones pulmonares de difícil acceso, biopsiar el mediastino y utilizar con seguridad agujas de corte en casos seleccionados (3.4).

En los últimos años la punción aspiración con aguja se ha confirmado como una técnica sumamente eficaz, que provoca mínimas molestias y complicaciones para el enfermo lo que le ha convertido en uno de los métodos más importantes de diagnóstico de las lesiones torácicas.

Las punciones pueden efectuarse a través de la pared torácica (punción percutánea); la pared bronquial (aspiración transbronquial con aguja) o directamente por medio de la toracoscopía o mediastinoscopía. (1.2.4)

La TC utiliza un haz de radiación para penetrar en la totalidad de los materiales naturales y artificiales que integran el cuerpo humano, es posible medir la información sobre la atenuación de éstas substancias y las imágenes pueden ser reconstruidas lo que facilita captar un material de densidad extraordinariamente baja, como el gas, o de alta densidad como el metal.

También detecta anomalías sutiles como densidades líquidas (quistes) o pequeñas lesiones gaseosas (bullas) (4.5).

La capacidad de obtener imágenes exactas de mateforma que en la intervención puede utilizarse todo tipo de instrumental (agujas, sondas de drenaje u otros aparatos) (4).

Todos los equipos de TC proporcionan las imágenes longitudinales (topogramas o scoutview) lo que hace posible la obtención de radiografías convencionales de la anatomía y la visualización de instrumentos o catéteres utilizados durante su introducción o manipulación (4.5.6).

La exactitud potencial de los métodos dirigidos por TC es determinada por el médico Radiólogo en base al operador y esto depende de su destreza manual, del grado de precisión del sistema de guía y de la exactitud del corte obtenido (6,7). Cuando el instrumento se coloca en el área anatómica y la imagen de TC muestra la aguja en esa zona, dicha aguja debe colocarse en el corte de 10mm correspondiente al corte de la TC, por tanto, la resolución en el eje Z será de más de 5 mm y en el plano Y-Z será inferior a 1 mm (4.7.8). La TC tiene la capacidad para localizar la punta de la aguja en el plano axial de forma constante y exacta (2).

El inconveniente de la TC es el costo, y la disponibilidad del equipo que no existe en todos los Centros Hospitalarios^(4,6). Dentro de las ventajas la técnica de la tomografía ha mejorado y se ha perfeccionado tanto que permite hacer biopsias dirigidas en casi cualquier nódulo pulmonar seleccionado, incluyendo lesiones mediastínicas, lesiones no visibles fácilmente por fluoroscopía (lesiones

pequeñas, mal definidas o apicales), y lesiones adyacentes a estructuras vasculares principales (6.7).

Los equipos de fluoroscopía son ahora más utilizados para intervencionismo vascular (4,5).

El seguimiento por tomografía computarizada es además útil en pacientes con sospecha de enfermedad benigna o linfoproliferativa, en los que es necesario una colocación precisa de agujas cortantes de gran calibre para obtener tejido adecuado para el diagnóstico (8.9.10).

Adicionalmente, puede usarse la TC para la localización preoperatoria de nódulos pulmonares periféricos, pequeños, no palpables, para facilitar su resección mediante toracoscopía (11,12,13,14). Se han descrito técnicas de localización percutáneas guiadas por TC que utilizan tanto cables con un dispositivo de enganche guiados por un muelle como tinción de azul de metileno de los nódulos pulmonares (4,5,15).

Las tasas de precisión y exactitud diagnóstica descritas en las biopsias torácicas guiadas por TC varían desde el 83 al 100 % (1.6.16). En muchos procesos patológicos pulmonares y mediastinales, no es posible llegar a un diagnóstico a pesar del uso combinado de exploraciones clínicas, radiológicas, funcionales y de técnicas especiales de laboratorio. En estas circunstancias suele ser necesario la obtención de muestras tisulares para el análisis anátomo patológico lo que posibilita en muchas ocasiones la obtención de un diagnóstico definitivo (1,2,16).

Toyohiko S y colaboradores en su investigación demostraron que el estudio histológico de las muestras obtenidas con la comprobación patológica inmediata por congelación después de la biopsia, ayuda a incrementar a seguridad diagnóstica de la biopsia de tórax guiada por $\mathbb{T}\mathbf{C}^{(0)}$.

Diversos reportes enfatizan el completo uso del agnóstico histologico. Talf y colaboradores notaron esta dificultad aparente en el diagnóstico de adenocarcinoma on examinación citológica 06. Greene y colaboradores observaron que los tejidos histológicos centrales ontribuyeron a la correcta identificación del tipo celular realigno, tales como tumores desmoplásicos, linfomas, Umomas, sarcomas, metástasis y melanomas (17,18).

Se ha reportado que solamente el 10% de las Issiones son fielmente identificadas con el método

centrales incrementa el número de diagnósticos específicos

La biopsia de tejidos centrales con el diagnóstico histológico por congelación es más rápida que el diagnóstico citológico (0).

Un estudio se lleva a cabo en 20 minutos, desde la biopsia completa hasta el final del diagnóstico patológico⁽¹⁾. Esta técnica logró un porcentaje de éxito del 86 % en este estudio y un 74 % de los diagnósticos fue específico y coincidente con los definitivos establecidos por el estudio de la pieza quirúrgica, por biopsia de otros sitios o por estudio post mortem. Además en esta investigación no hubieron falsos positivos ni falsos negativos (1).

Las biopsias torácicas guiadas por TC normalmente se realizan usando tanto una aguja simple como una técnica coaxial (19,20,21)

Debido al movimiento respiratorio, es vital que el paciente mantenga a respiración de forma idéntica a la usada para el escáner de localización. En general se prefieren las agujas de aspiración de pequeño calibre (20-22 gauge) aunque puede usarse agujas de gran calibre o cortantes para lesiones pleurales y mediastínicas accesibles, particularmente cuando se sospecha un linfoma o tumores poco frecuentes como el mesotelioma (3.12,19.20) Si se precisa, también pueden usarse cualquiera de los dispositivos de biopsia automáticos (1,3,19,20).

Siempre que sea posible, debe intentarse evitar vasos, bronquios y bullas para minimizar las complicaciones. Por ejemplo, cuando se usa un abordaje para esternal anterior, debe elegirse un punto inmediatamente lateral al esternón o a más de 2.5 cm del borde esternal para evitar las complicaciones hemorrágicas que ocurrirían sí dañáramos los vasos mamarios internos (21.22).

Otras complicaciones como el neumotórax pueden reducirse minimizando la cantidad del pulmón aireado que se atraviesa (23,24,25)

En una revisión de 131 biopsias guiadas por TC consecutivas, la frecuencia de neumotórax fue del 46% en pacientes en los que la aguja atravesó pulmón aireado, frente al 0% en aquellos en los que no se atravesó pulmón aireado (25)

De forma similar, durante la biopsia de lesiones Ciológico, mientras que el método histológico de tejidos mediastínicas, puede reducirse la incidencia de neumotórax

264 · Oncología

\$\$N 13: 3-0110

usando abordajes que eviten la penetración del pulmón o pleura visceral. Estos incluyen la biopsia supraesternal, transesternal de lesiones del mediastino anterior y la biopsia mediastínica paravertebral directa de las lesiones del mediastino medio y posterior con el paciente en posición de decúbito prono (26, 27, 28,29).

Para facilitar que el abordaje sea extrapleural, puede ensancharse el tejido extrapleural con la invección de suero salino y/o anestésicos (por ejemplo lidocaína) dentro del tejido mediastínico, produciendo un desplazamiento lateral de la pleura mediastínica parietal (20,30,31).

También se ha usado la invección extrapleural de suero salino en los tejidos blandos subpleurales para proporcionar una ruta de acceso segura para lesiones Objetivos pulmonares periféricas seleccionadas (20.31).

El neumotórax es la principal complicación de las bionsias torácicas en la mayoría de los pacientes no requiere tratamiento, pero de un 5 a 8% de los casos puede requerir la colocación de un tubo de tórax (24,31).

Debería de existir siempre el equipo necesario para la colocación de un tubo de tórax siempre que se realiza una biopsia torácica. Una vez que se ha producido el neumotórax, las biopsias adicionales son mucho más difíciles de realizar debido a que la posición de la lesión a menudo ha cambiado respecto al punto de entrada en la piel porque el pulmón colapsado tiende a cambiar su posición respecto a la punta de la aguja 60.

También puede ocurrir hemoptisis tras la biopsia Diseño del estudio: torácica guiada por TC, aunque es mucho menos frecuente que el neumotórax.

La incidencia de hemoptisis descrita en la mayoría de las series es menor del 5% (8,31). Casi siempre autolimitada

Hipótesis, Propósitos y Objetivos

Hipótesis.

- La exactitud diagnóstica de las masas torácicas Criterios de Elección: aumenta utilizando la punción biopsia guiada con tomografía computada con el diagnóstico inmediato de la muestra obtenida por congelación.
- El diagnóstico histopatológico inmediato por

congelación logrará disminuir el tiempo de obtención del diagnóstico final lo que contribuirá a acelerar el tratamiento del paciente.

El porcentaje de error de los diagnósticos histopatológicos definitivos correlacionados con las muestras inmediatamente informadas (por congelación) no será estadísticamente significativo.

Propósito

El propósito principal de este estudio es mejorar la exactitud diagnóstica de la biopsia de masas torácicas guiada por tomografía computada.

- Demostrar la eficacia del diagnóstico patológico obtenido inmediatamente por congelación.
- Asegurar la obtención de material diagnóstico de la masa que se ha puncionado.
- Correlacionar posteriormente el diagnóstico por congelación con el diagnóstico definitivo hecho por la muestra obtenida de la punción percutánca, luego de la cirugía (tumorectomía) o por biopsia de otros sitios.

Materiales y Métodos

Se realizó un estudio prospectivo en un período de un año, con todos los pacientes que fueron referidos al Departamento de Radiología del Instituto Oncológico Nacional SOLCA, para someterse a una biopsia de masa torácica guiada por tomografia computada.

Se revisó la historia clínica del paciente y los exámenes de gabinete que se le hayan realizado con el fin de incluirlos o no en el estudio con los siguientes criterios de elección, inclusión y de exclusión:

Todos los pacientes que acudan a la Consulta del Instituto Oncológico Nacional SOLCA de la Ciuda-l de Guayaquil con sospecha clínica de afectación pulmonar, mediastinal o de caja torácica en los que

se haya logrado identificar un tumor con radiografía 5. Posibilidad de que la lesión corresponda a un quiste de tórax y/o tomografía computada del tórax.

Indicaciones para Biopsia Percutánea Transtorácica

- Pacientes con Nódulo pulmonar solitario que ha 8. crecido con relación a otros estudios de control o si aparece otro nódulo.
- Pacientes con masas mediastinales.
- 3. Pacientes con masas hiliares cuya broncoscopía es negativa para un componente endobronquial.
- Pacientes con sospecha de malignidad intra o extra torácica, hiliar, mediastinal o parenquimatosa y adenopatías que requieren valoración para estadiaje.
- Pacientes con consolidaciones o abscesos parenquimatosos focales o multifocales en los cuales el organismo infeccioso no ha sido identificado.
- Engrosamiento pleural sospechoso de malignidad.

Los pacientes fueron categorizados según fecha de inicio de la sintomatología, edad, sexo, antecedentes patológicos personales y familiares de cáncer, sintomatología, diagnóstico presuntivo, fecha de la realización de la tomografía, características de la imagen, diagnóstico radiológico, fecha de la punción guiada con TC y diagnóstico por congelación de la muestra obtenida inmediatamente, diagnóstico patológico definitivo y curso clínico.

Criterios de Inclusión:

- 1. Todos los pacientes en los que se identifique una lesión tumoral del tórax que requiera una punción biopsia de la misma para su diagnóstico.
- 2. El paciente debe tener un examen hematológico con un contaje de plaquetas mayor o igual a 50.000; un TP y un TTP no mayor 3" del valor normal.
- 3. HIV negativo.

Criterios de Exclusión:

- 1.1. Contraindicaciones relativas para realizar una Biopsia Transtorácica.
- Pacientes que no colaboran o no pueden mantener un decúbito constante.
- Pacientes con ventilación mecánica.
- Presencia de bullas en la vecindad de la lesión a biopsiar.
- Diátesis hemorrágica (Tiempo de protrombina > 3 segundos sobre los valores normales o contaje de plaquetas < a 100.000)

- equinococico.
- 6. Lesion vascular (por ej. MAV o aneurisma).
- Moderada o severa enfermedad obstructiva 7. pulmonar (FEV1< 1.0 litros)
- Tos intratable
- Neumonectomía contralateral
- 10. Hipertensión arterial pulmonar.

Tamaño de la muestra

Fueron incluidos en el estudio todos los pacientes que cumplieron con los criterios de elección y de inclusión previamente explicados.

Cincuenta y ocho pacientes, referidos de la Consulta externa o de especialidad con evidencia radiológica de una lesión tumoral en el tórax, en un período de un año (Enero 1999-Enero 2000) se sometieron a punción biopsia bajo guía tomográfica.

En el período de 1997a 1998, según el registro de punciones biopsias guiadas por tomografía computada del Departamento de Radiología del ION SOLCA se realizaron 40 punciones de las que se repitieron 18 por muestra insuficiente o no diagnóstica.

Instrumentos y Técnicas de recolección de datos

- 1. Tomógrafo Helicoidal Siemmens modelo Somatón
- Un equipo de curación: Pinza, tijeras y gasas.
- Antisépticos
- 2 Jeringuillas 5ml, 1 jeringuilla de 10 ml.
- 5. 1 fco de Xylocaína al 2 %.
- 6. Agujas de punción: De corte Tru-cut 18 gauge o de aspiración Chiba 21 gauge.
- Papel fieltro.
- Placas portaobjetos
- 9. 5 ml de solución isotónica 0.9%
- 10. Frascos con solución de formol al 10 %.
- 11. Equipo de RCP.
- 12. Un computador Hewlett Packard vetra Series 2 5/75 686 Mega bytes.
- 13. Diskettes 2M
- 14. Programa de computación EPI 6
- 15. Programa de computación Word.

Técnicas de recolección de datos.-

Un día antes del procedimiento de revisó la historia 2. clínica y los estudios de imagen que tenga el paciente con el objeto de localizar la lesión, medirla, ver sus relaciones con estructuras vecinas (vasculares y vías aéreas), establecer el punto de entrada, el material que se necesitará (contraste iodado por ej.) y la aguja a utilizar.

Se entrevistó al paciente antes del procedimiento con el fin de recolectar los datos en una hoja previamente elaborada y luego meter los datos al programa de computación EPI6 (adjuntamos hoja).

Los Procedimientos.-

- 1. Selección de los pacientes que se incluirán en el estudio según los parámetros anotados en la sección de diseño del estudio
- 2. Un día antes del procedimiento revisamos los estudios de imagen que tenga el paciente con la presencia de un Médico Tratante, con el objeto de 6. localizar la lesión motivo de la punción, medirla, ver sus características tomográficas tanto de densidad como de relaciones con los órganos vecinos (por ej. Masas mediastinales pegadas a los grandes vasos) para pedir medio de contraste en caso de puncionar masas mediastinales cuya densidad no sea fácil diferenciarla de los vasos.
 - También se pensó en las posibilidades del punto de entrada (anterior, posterior, oblicua o lateral) de acuerdo a la localización de la lesión y sus relaciones anatómicas.
 - Además solicitamos el material a usar, tipo de aguja; tubos de ensayo, láminas portaobjetos, solución salina, papel fieltro, bisturí, xylocaína, guantes y equipo de asepsia y antisepsia.
- 3. Se discutió junto con el médico que refirió al paciente, los familiares y el mismo paciente sobre el procedimiento, explicando los detalles del mismo incluyendo los riesgos y beneficios tanto como los métodos alternativos de manejo, incluyendo la opción de no necesidad de otros procedimientos diagnósticos si la biopsia es suficiente. El paciente tendrá la oportunidad de realizar preguntas acerca del procedimiento antes de firmar el consentimiento.
- 1. El paciente fue instruido sobre:
- Debe venir 2 horas antes de la cita fijada.
- b) Debe acudir tomando un desayuno ligero y si toma 14. El paciente es instruido para que detenga la

- medicación hacerlo hasta 2 horas antes del procedimiento.
- El Consentimiento fue obtenido inmediatamente antes de realizar la biopsia, en la mañana cuando el paciente arribó al Hospital, firmado por el mismo paciente y/o un familiar cercano. (Adjuntamos hoja de consentimiento). Se entiende que previo a la aceptación leímos la hoja de autorización y fue completamente entendida.
- El Departamento de Patología estuvo al tanto del procedimiento y a la espera del material obtenido para congelación e inmediata información diagnóstica.
- El paciente fue guiado por el Personal de Enfermería a la Sala de Tomografía, se colocó en el decúbito que se ha planificado previamente.
- Se procedió a realizar los cortes tomográficos axiales del lugar de la lesión que fue observado en los estudios ya revisados, realizando cortes cada 1 a 10 mm dependiendo del tamaño y localización de la lesión. Además el paciente debió mantener la respiración el tiempo que dura la obtención de las imágenes tomográficas (menos de un minuto a 3 minutos)
- Se administró medio de contraste yodado intravenoso (2cc / Kg) al paciente en caso de una masa mediastinal que involucre estructuras vasculares o en sospecha de malformación arteriovenosa.
- Se seleccionó el sitio de la punción revisando las imágenes obtenidas en la pantalla del equipo y se procedió a marcar el sitio de abordaje con un sistema de gradilla en base a coordenadas x-y-z que esta incorporado en el sistema de computación del tomógrafo. En caso de necesitar angulación este es calculado automáticamente por el equipo.
- Identificar el punto de entrada en la piel del paciente, ubicándolo en el mismo corte seleccionado y con ayuda de las luces láser sagital, axial y coronal, se marca el punto con un lápiz dermográfico.
- Luego de vestirnos con ropa aséptica (bata, guantes, mascarilla y gorra), se realizó la asepsia y antisepsia con povidine del sitio elegido.
- Se colocaron campos en el área a puncionar.
- 11. Se procede a anestesiar la zona con Xylocaína sin epinefrina al 2% en una jeringuilla de 10 cc.
- Se procede a la infiltración anestésica, advirtiendo al paciente que va a molestar y arder un poco. La infiltración incluye piel, tejido celular subcutáneo, tejido muscular y pleura parietal (en el caso de masas pulmonares).
- 13. Se realizó una pequeña incisión con bisturí para facilitar la entrada de la aguja de corte o de aspiración.

respiración de una expiración normal en el momento de introducir la aguja elegida, de corte (Trucut # 18) o de aspiración (Chiba # 21) hasta la profundidad que fue calculada en el corte seleccionado previamente.

- 15. La aguja debe oscilar igual que los movimientos respiratorios y se procede a realizar un corte tomográfico para estar seguros de la localización correcta de la punta de aguja y de la dirección de la misma, con el objeto de reposicionarla o modificar la angulación de entrada en caso de fallar en el primer intento.
- 16. Si la introducción fue exitosa se realiza la toma de la muestra de la lesión estudiada, ya sea con un solo disparo (aguja de corte) o no más de 5 pases en caso Las consideraciones éticas de una aguja de aspiración (aguja de Chiba).
- 17. Uno de los autores de la investigación recibirá la muestra en un papel fieltro húmedo para ser trasladada al Departamento de Patología para la congelación y el reporte inmediato.
- 18. Mientras se espera el resultado, se realiza otra punción, cuya muestra obtenida se envía a Patología en un frasco de formol al 10% (en caso de tejido) en tubos de ensayo para cultivo (en caso de secreciones) o en placas portaobjetos extendidas en un frasco de alcohol (en caso de obtener líquido de la lesión); para fijación con parafina o estudio citológico y tener un parámetro de comparación entre los diagnósticos dados por congelación y los definitivos.
- 19. En caso de ser MUESTRA INSUFICIENTE el resultado de la congelación se esperará el resultado definitivo para establecer o no la repetición del procedimiento.
- 20. Se realiza un corte de control post biopsia con TC para descartar neumotórax o contusión hemorrágica
- 21. El paciente es trasladado a una sala de recuperación para vigilancia de signos vitales por 2 horas, luego de lo cual se realiza una Rx en expiración forzada de control y si no hay ninguna novedad es dado de NOTA: Si el paciente tiene un HIV positivo se realizará referida.
- 22. Si se diagnóstica un neumotórax pequeño asintomático (menor al 20%) se tratará conservadoramente con suplemento de Oxígeno por catéter nasal para promover la resorción del aire pleural. Si el neumotórax es grande y sintomático el paciente será trasladado al Servicio de Emergencia para colocación de un tubo de drenaje pleural y el paciente será hospitalizado hasta obtener radiografías de control normales.
- 23. Una hemorragia pulmonar (contusión) o hemoptisis si es segmentaria o menor se tratará conservadora-

mente con observación de signos vitales por 3 horas. Rx de control posterior y Rx diaria hasta obtener una resolución del problema. Si la contusión es lobar, se hospitalizará al paciente para vigilancia cercana de su sintomatología y en caso amerite añadir antibióticos al tratamiento.

24. Finalmente se llenó el cuestionario que adjuntamos, y se introdujo los datos al programa EPI 6, esperando el diagnóstico definitivo para añadirlo a la investigación y posterior análisis estadístico.

La hoja de autorización del procedimiento es la misma que se utiliza diariamente con todos los pacientes que se someten a estudios de intervencionismo en el Departamento de Radiodiagnóstico del Instituto Oncológico nacional SOLCA Guayaquil.

El consentimiento será obtenido inmediatamente antes de realizar la biopsia, en la mañana cuando el paciente arribe al Hospital. Debe ser completamente leído y entendido para ser firmado por el mismo paciente y/o un familiar cercano. (Adjuntamos hoja de consentimiento).

Se le explicará al paciente y a sus familiares en términos muy simples en lo posible, los riesgos y beneficios de procedimiento solicitado, así como otras técnicas de diagnóstico alternativas que se podrían utilizar para establecer un diagnóstico con los riesgos y beneficios que éstas tienen.

Los familiares y el paciente podrán realizar en este momento las preguntas que deseen hacer las mismas que serán contestadas en términos sencillos y concretos.

el procedimiento y lucgo se descartará el material utilizado.

Plan para procesamiento y análisis de datos.-

Todos los datos obtenidos y recolectados previo a la entrevista con el paciente y la revisión de la historia clínica fueron metidos en una base de datos del programa EPI 6. Al final del estudio se obtuvo automáticamente las frecuencias, medias y medianas de las variables estudiadas.

Además podremos cruzar variables y obtener:

a) El porcentaje de falsos positivos y negativos de la congelación con relación al diagnóstico definitivo.



- b) El porcentaje de sensibilidad y especificidad del CEA, NSE, LDH, Ca 153) en 56(97%) pacientes, procedimiento.
- c) Sabremos cuántas biopsias fueron repetidas y lo compararemos con el año anterior.

Resultados

En un período de un año desde Enero de 1999 a Enero del 2000, se incluyeron en el estudio 58 pacientes, 30(52%) mujeres y 28(48%) varones, con un promedio de edad de 58 años (tabla 1).

Tabla 1

Lavia 1		
Edad	f	%
8-27 a	5	9%
28-47 a	10	17%
48-67 a	24	41%
68-87 a	19	33%
TOTAL	58	100%

Frecuencia de edad de los pacientes sometidos a biopsia percutánea de tórax. ION SOLCA.2000

El 41.4% (24 pacientes) eran fumadores; el 22.4% (13 pacientes) consumían alcohol y un paciente (1.7%) era adicto a las drogas.

Dieciocho pacientes (31%) tenían antecedentes de tumor primario conocido tratado o en tratamiento (tabla 2).

Tabla 2

Taola Z		
Antecedentes de Ca. primario	f	%
Ca. cérvix	3	17.0%
Ca. mama	3	17.0%
Ca. endometrio	1	5.5%
Ca. ovario	1	5.5%
Ca. gland.salival	ì	5.5%
Ca. colon	1	5.5%
Ca. renal	2	11.0%
Ca. próstata	1	5.5%
Ca. laringe	1	5.5%
Enf. Hodgkin	1	5.5%
LLA	1	5.5%
Primario descon.	1	5.5%
Mieloma múltiple]	5.5%
TOTAL	18	100%

Frecuencia de pacientes con Antecedentes de Cáncer conocido.

Se solicitaron marcadores tumorales (CYFRA,

cuyos resultados se explican en la tabla 3.

Tabla No. 3

Marcadores tumorales	Elevados %	Normales %
CYFRA	22 (39.3%)	34(60.7%)
CEA	22 (39.3%)	34(60.7%)
NSE	18 (32.1%)	38(67.9%)
LDH	6 (10.8%)	50(89.2%)
Ca 153	2 (66.7%)	1(33.3%)

Marcadores tumorales solicitados a los pacientes que se sometieron a biopsia percutánea de tumores torácicos. ION SOLCA 2000

La mayoría de los tumores estuvieron localizados en el pulmón 41 (71%); 11 (19%) en el mediastino, 4 (7%) fueron masas paravertebrales y 2 (3%) en partes blandas de la caja torácica.

De los tumores pulmonares un 54% (22) estuvieron localizados en el pulmón derecho, 34% (14) en el izquierdo; 5 % (2) en ambos y 7% (3) comprometían tanto el parénquima pulmonar como el mediastino advacente.

Los segmentos pulmonares más afectados, en orden de frecuencia, de los tumores pulmonares fueron el apical (S1), anterior (S2) y el posterior (S3) es decir los correspondientes al lóbulo superior de ambos pulmones. En los S4, S5, S6, S8 , S9 y S10 se encontraron menos comprometidos. El tamaño de las lesiones osciló entre 2 y 15 cm (tabla 4).

Tabla No. 4

Tamaño	f	%
2 - 4 cm	0	
5 - 7 cm	4	36%
8 -10 cm	6	55%
> 10 cm	1	9%
TOTAL	11	100%

Tamaño de las lesiones mediastinales Puncionadas. SOLCA ION 2000

El diagnóstico radiológico de los tumores pulmonares tuvo una sensibilidad del 96%, solo hubo un falso positivo (2%) y un diagnóstico no tomado en cuenta dentro de las posibilidades diagnósticas (Tumor neuroectodérmico primitivo PNET) (2%) Figura 1.

La vía de abordaje dependió de la localización del

tumor y su cercanía a la pleura parietal, la vía más frecuentemente usada fue la posterior (68%). Se utilizó la aguja Tru-cut (de corte) # 18 en la mayoría de las lesiones (85%), la chiba o de aspiración #21 en el 12% y fue necesario usar las dos en un solo caso (3%).

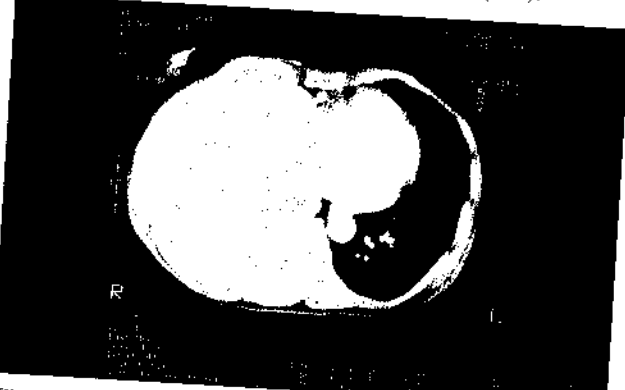


Fig. 1 Masculino 32a

TC de tórax : Masa hiperdensa que capta el contraste en forma heterogénea, localizada en el pulmón derecho. Dg. Patológico por congelación: Positivo para malignidad. Dg. Definitivo (Inmunohistoquímica) Tumor neuroectodérmico Primitivo de pulmón.

En el mediastino anterior y superior se localizó un 64%(7) de los tumores mediastinales, en el superior y posterior un 27% (3) y en el mediastino inferior y posterior el 9% (1). El tamaño de los tumores mediastinales osciló entre 5 y 11 cm (tabla 5).

Tabla No 5

Tamaño	f	
< 2 cm		
2 - 4 cm	15	
5 - 7 cm	16	36%
8 -10 cm	8	39%
> 10 cm 2	5%	20%
OTAL	41	100%
out and a second		100%

Camaño de las lesiones pulmonares Puncionadas. SOLCA ION 2000

El diagnóstico radiológico de los tumores mediastinales tuvo una sensibilidad del 100% tomando en cuenta anto la primera como la segunda posibilidad diagnóstica. To hubieron falsos positivos ni negativos (tabla 6)

La vía de abordaje más frecuentemente usada fue la Enterior en 7 (64%) casos y la posterior en 4 (36%). Se volizó la aguja de corte Tru-cut # 18 en 9 pacientes, en uno la aguja de aspiración Chiba # 21 y en un paciente las dos agujas.

Tabla No. 6

: t	Zabia No. 6		
.	No. Diagnóstico Radiológico	Dg. Histopatológico final	
	a) Linfoma mediastinal b) Metástasis de primario a investigar	ino Adenocarcinoma metastásico Carcinoma de células en anillo de sello metastásico a mediastino.	
5	a) Teratoma mediastinal b) Linfangioma	Linfoma de Hodgkin tipo esclerosi nodular. Teratoma maduro (Biopsia abierta)	
6 7 8	a) Metástasis a mediastino b) Linfoma mediastinal a) Neurofibroma b) Linfangioma a) Tumor de características benignas de mediastino (con densidad grasa-150UH)	Linfoma de Hodgkin tipo esclerosis nodular. Linfoma de células pequeñas y grandes tipo B. Neurofibroma de masa mediastinal Lipoma en mediastino	
9	a) Metástasis de primario conocido. b) Tuberculosis ganglionar? a) Timoma b) Linfoma mediastinal	Metástasis de Jeiomiosarcoma de recto. Timoma (biopsia abierta)	
11	a) Masa mediastinal de caracte- rísticas benignas (densidad líquida 25 UH)	Quiste mediastinal revestido de tejido respiratorio.	
orre	elación del De. Radiólogias d	 _	

ión del Dg. Radiólogico de las masas mediastinales, con el diagnóstico Histopatológico final.

En todas las lesiones se usó una aguja trucut # 18 y la vía de abordaje dependió de la localización de la

El diagnóstico radiológico de estos tumores tuvo una sensibilidad del 100% en relación a los diagnósticos histopatológicos finales.

De los tumores de partes blandas una lesión fue biopsiada a nivel de la tercera costilla anterior derecha (antecedente de Mieloma múltiple), y otra en la pared anterior del hemitórax derecho (Antecedente de Ca de mama). Ambas lesiones fueron reportadas radiológicamente como: Metástasis de primario conocido.

Se obtuvo material suficiente para el diagnóstico por congelación en 55 de 58 lesiones (95%). Se realizó una segunda biopsia en 4 (7%) de las 55 lesiones. En 3 pacientes las muestras tanto de la congelación como de la definitiva resultaron insuficientes y no se confirmó el diagnóstico porque no regresaron al Instituto para repetir el procedimiento.

El diagnóstico por congelación inmediatamente De las masas paravertebrales, una estuvo localizada en dado por los Médicos Patólogos; en un tiempo promedio LE, dos entre DIO-DI2, y la otra afectaba D8-D9.FIGURAS de 18 minutos (10 y 30'); fue el 21% (12) positivo para

malignidad, un 22% (43) negativo para malignidad, en el 48% (28) se dio un diagnóstico histopatológico y el 9% (5) fueron muestras insuficientes.

Con respecto a los tumores pulmonares (41), en la congelación se pudo identificar el tipo celular del tumor primario en 23 muestras (57%), en 2 (5%) de tipo metastásico, en 7 (17%) se identificaron células malignas (positivo para malignidad), en 7 (17%) no se identificaron células malignas y 2 (4%) reportaron muestras insuficientes (tabla 7).

Los diagnósticos definitivos confirmaron 28(69%) tumores primarios, de los cuales 27(97%) fueron cáncer de pulmón y uno (3%) fue un tumor neuroectodérmico primitivo PNET;5(12%) tumores metastásicos; 5(12%) lesiones benignas y 3 (7%) muestras insuficientes(tabla 7). FIGURAS 2-3.

Tabla No 7

Diagnóstico Patológico	En la Cong	elación	Dei	finitivo
Tumor primario:				
 a) Ca. Cel. Pequeñas 	3	(7%)	3	(7%)
b) Ca epidermoide	7	(17%)	8	(19%)
c) Adenocarcinoma		(29%)		(38%)
d) Mesotelioma maligno	1	(3%)		. ,
c) PNET			1	(3%)
Tumor metastásico:				
a) Adenocarcinoma metastásico	1	(3%)	3	(7%)
b) Ca epidermoide metastásico	I	(3%)	J	
d) Metástasis de Ca. Renal de		•	J	(3%)
células claras				
Lesiones benignas:				
a) Tuberculoma pulmonar			2	(4%)
b) Cambios inflamatorios			1	(3%)
c) Neumonitis intersticial			1	(3%)
d) Proceso infeccioso			1	(3%)
pulmonar agudo				
Positivo para malignidad			7	(17%)
Negativo para malignidad				(17%)
Muestras insuficientes	2	(4%)	3	
TOTAL	41 (100%)	416	100%)

Diagnósticos Patológicos de los tumores pulmonares sometidos a punción Percutánea en el Dpto. Rx. ION SOLCA 2000

No hubieron falsos positivos ni falsos negativos en estos tumores.

Con respecto a los pacientes con cáncer de pulmón primario, la mayoría 48% correspondían a un estadio IV. En los estadios IB y IIIA se encontraron 4 pacientes respectivamente (15%). En los estadios IIB y IIIB 2 pacientes respectivamente (7%) y un paciente en estadio IA (4%).

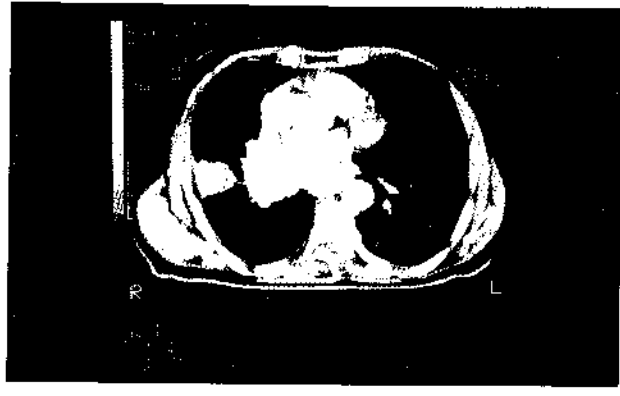


Fig. 2.Femenino 56 a TC Tórax: Masa periférica del segmento 9 del pulmón derecho, con adenopatías subcarinales. Dg. Patológico. Por congelación: Ca. células pequeñas. Dg. Definitivo: Ca. Células pequeñas.



Fig. 3. Masculino 66°. Fumador

TC tórax. Ventana pulmonar: Lesión periférica en el segmento 9 del pulmón izquierdo. Dg. Patológico por congelación: Negativo para malignidad. Dg. Definitivo Tuberculoma.

De los tumores mediastinales (11), en la congelación, fue posible dar un diagnóstico histopatológico en 3 (27%), en 5 (46%) no se identificaron células malignas (negativo para malignidad), en 1 (9%) se identificó células malignas (positivo para malignidad) y en 2 (18%) no hubo muestra suficiente.

Los diagnósticos definitivos obtenidos por las muestras de la punción percutánea confirmaron 3 (27.5%) tumores metastásicos, 2(18%) Linfomas de Hodgkin, 1 (9%) Linfoma no Hodgkin, 2 (18%) tumores benignos, 3 (27.5%) negativos para malignidad. (tabla 8). FIGURAS 4-5-6

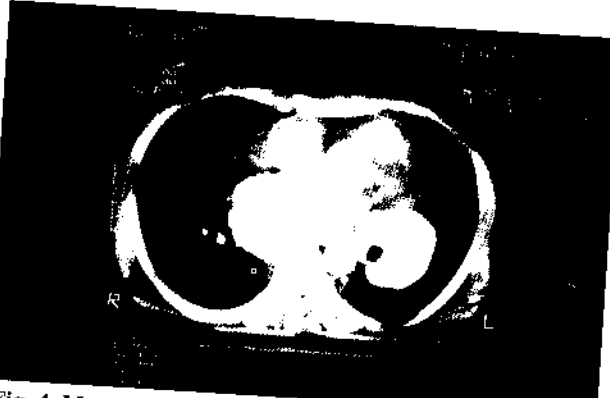
Se encontraron 2 (18%) falsos negativos y hubo la necesidad de realizar biopsias abiertas (mediastinoscopía) en 3 (27%) pacientes para tener un diagnóstico definitivo (tabla 8). Figura 7

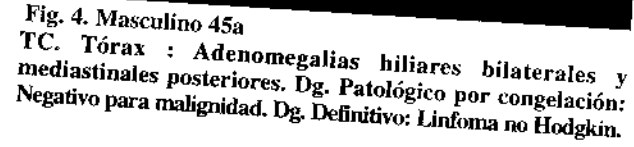
De los tumores paravertebrales, la congelación, solo respondió positivo para malignidad en el 50 % (2) y



	ania 140 g		
Diagnóstico Patológico	En la Congelación	Doffmate	
Linfoma vs Disgerminoma Neurofibroma Linfoma de Hodgkin	2 (18%) 1 (9%)	1 (9%)	
Linfoma no Hodgkin		2 (18%) 1 (9%)	
Ca. Cél. anillo de sello metastásico		1 (9%)	
Adenocarcinoma metastásico Metátasis de leiomiosarcoma de recto		1 (9%) 1 (9%)	
Lipoma mediastinal Teratoma maduro		1 (9%)	
Quiste mediastinal Timoma mediastinal		l (9%) l (9%)	
Positivo para malignidad Negativo para malignidad Muestra insuficiente	1 (9%) 5 (46%)	1 (9%)	
TOTAL	2 (18%)	1	
Di	11 (100%) [1]	(100%)	

Diagnósticos Patológicos de los tumores mediastinales sometidos a punción percutánea en el Dpto. de Rx. ION SOLCA 2000







\$\$N 1800-0110

C Tórax: Masa mediastinal anterior y superior hipodensa, que envuelve la VCS. No capta el contraste IV. Dg. Patológico or congelación: Linfoma?. Dg. Definitivo: Ca. De células en nillo de sello metastásico a mediastino. (Primario desconocido).

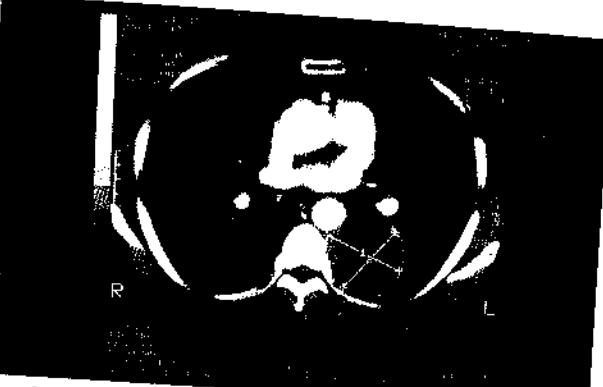


Fig. 6. Femenino 32^a

TC Tórax: Masa homogénea hipodensa localizada en el mediastino posterior del lado izquierdo, no capta el contraste IV. Dg. Patológico por congelación: Neurofibroma. Dg. Definitivo: Neurofibroma mediastinal.



Fig. 7. Femenino 40 a

TC Tórax: Masa mediastinal anterior, heterogénea, con tres tipos de densidades (sólida, líquida y grasa). Dg.patológico por congelación: Negativo para malignidad, Dg. Definitivo (Tumorectomía) Teratoma maligno mediastinal.

negativo para malignidad en los otros dos casos. Los diagnósticos definitivos se establecieron 3 (75%) por la muestra obtenida de la punción percutánea (Figura 8) y I (25%) por biopsia abierta. (tabla 9).

Diagnóstico Patológico	En la Congelación	Doft-it
Positivo para malignidad Negativo para malignidad	2 (50%) 2 (50%)	Definitivo
Condrosarcoma Schwanoma maligno Proceso granulomatoso compatible con Tb en masa paravertebral.		1 (25%) 1 (25%) 2 (50%)
TOTAL agnósticos Patológicos do i	4 (100%)	4(100%)

s Patológicos de las masas paravertebrales de los pacientes sometidos a punción percutánca en el Dpto, de RX. ION



Fig. 8. Femenino 8 a .LLA Masa paravertebral derecha hipodensa con destrucción del cuerpo vertebral de D10. Dg. Por congelación: Negativo para malignidad. Dg. Patológico definitvo: Tuberculosis vertebral.

De los turnores de partes blandas, en la congelación, los 2 fueron diagnosticados como positivo para malignidad y los diagnósticos definitivos obtenidos por la muestra obtenida de la punción percutánea reportaron Ca. ductal recidivante en la pared anterior de tórax y el otro presencia de células plasmáticas compatible con micloma múltiple. FIGURAS 9-10



Fig. 9. Femenino. 45 a Ca de mama.

Masa torácica anterior que destruye el tercio superior del esternón y se extiende al mediastino. Masa tumoral en el área mamaria izouierda con destrucción costal advacente. Derrame pleural izquierdo. Dg. Congelación: Positivo para malignidad. Dg. Patológico definitivo: Metástasis de Ca de mama a la pared anterior del tórax.

Hubo discrepancia diagnóstica entre los diagnósticos histopatológicos por congelación frente a los definitivos en el 10% (4) de los tumores pulmonares y en 36% (4) de los mediastinales.

La sensibilidad del método empleado en la correlación de los diagnósticos por congelación frente a los definitivos fue del 89%, con una especificidad del 100%. El valor predictivo positivo fue del 100%, el valor predictivo negativo del 69% y el valor global de la prueba del 91%.

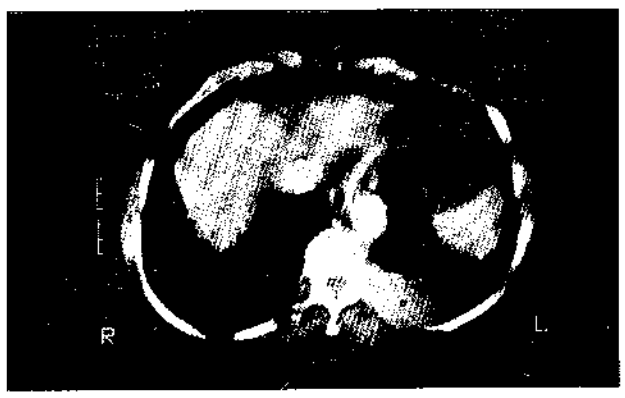


Fig. 10. TC: Masa Lipodensa que destruye el tercer arco costal posterior izquierdo y la apófisis transverso de D3. Dg. Por congelación: Positivo para malignidad Dg. Patológico Definitivo: Células Plasmáticas compatible con MM.

Dentro de las complicaciones ocurrió neumotórax menor al 20% en 3 (5%) pacientes y del 80% en una (1.7%) paciente, la misma que requirió tubo pleural y hospitalización.

Discusión

La biopsia percutánea con guía tomográfica de las masas torácicas es una técnica bastante conocida y muy usada por los Centros Hospitalarios en los que se cuenta con un equipo de tomografía de tercera o cuarta generación. Sin embargo la eficacia de este procedimiento varía de una Institución a otra en un rango del 74 al 95% (1.8.32). Nosotros tuvimos una eficacia del 95% tomando en cuenta el número de muestras diagnósticas obtenidas.

Al mismo tiempo, algunas dificultades en la determinación del tipo celular o del diagnóstico especifico de las muestras enviadas al Departamento de Patología han sido reportadas (1.16.33). Esta dificultad es mayor en la seguridad diagnóstica de las lesiones benignas.

Que sca posible emitir un diagnóstico histopatólogico inmediato fue lo que nos motivó a realizar este estudio con la finalidad de disminuir el tiempo de algoritmo diagnóstico del paciente que acude a SOLCA con la sospecha diagnóstica de cáncer en el pulmón, mediastino o caja torácica.

Algunos estudios enfatizan que con el diagnóstico histopatológico inmediato puede identificarse un adenocarcinoma mejor que con el estudio citológico (16,17).

Greene y colaboradores observaron que con las muestras de tejido centrales del tumor se aseguraba una correcta identificación de células malignas como son,

tumores desmoplásicos, linfomas, timomas, metástasis de sarcomas y melanomas. Sobre la base de nuestro estudio nosotros, también observamos que la biopsia central o core contribuyó a la determinación fácil de células malignas de las muestras obtenidas. De 27 tumores pulmonares primarios, carcinomas, la identificación del tipo celular específico en la congelación, fue posible en 23 (85%) lo que supera el porcentaje obtenido por Toyohiko y colaboradores que tiene una serie similar a la nuestra con 55 pacientes⁽¹⁾.

Sin embargo en nuestra investigación, de los tumores mediastinales, en la congelación, solamente se logró identificar el tipo celular del tejido enviado en 3(27%).

El uso del diagnóstico histológico es más obvio en lesiones benignas. En un estudio se reportó que solamente el 10% de todas las lesiones fueron específicamente identificadas con el método citológico y con la obtención de material central de los tumores el diagnóstico histopatológico se vio incrementado en un 40%. 419

Otro estudio, también enfatizó en la importancia de los hallazgos histológicos de las lesiones benignas. En el 36% de las lesiones benignas de su estudio, solo el material histológico fue diagnóstico especialmente en los hamartomas. El diagnóstico de 8 de los 10 hamartomas encontrados fue específico (31).

En nuestro estudio, no se dio un diagnóstico específico de las lesiones pulmonares benignas, en la congelación. Pero los diagnósticos definitivos confirmaron 5 (12%) lesiones benignas.

En los tumores mediastinales no se logró identificar el tipo celular de ningún tumor benigno, en la congelación. Tres de los diagnósticos benignos definitivos se realizaron post-biopsias abiertas (mediastinoscopías) y uno fue reportado como Lipoma mediastinal.

Toyohiko y col, obtuvieron un 77% de diagnósticos específicos en las lesiones benignas. ⁽¹⁾ Una biopsia negativa es definida como la ausencia de células malignas en el especimen observado sin un diagnóstico benigno específico (8)

La dificultad en obtener diagnósticos específicos de benignidad es multifactorial. Esto incluye la posible falla en aislar el organismo infeccioso con cultivos de los especímenes aspirados y la dificultad en realizar un diagnóstico citológico en la aspiración de un corte acelular, un granuloma esteril o un infarto. Las claves para mejorar

el diagnóstico de benignidad son: experiencia en la técnica con toma de repetidas muestras de varias porciones de la lesión local para obtener especímenes representativos; un citopatólogo experto; obtener cortes microbiológicos y cultivos del especimen aspirado; y el uso de agujas cortantes cuando es necesario obtener especímenes histológicos (8).

Las biopsias centrales correlacionadas por congelación inmediata de los tejidos obtenidos tienen algunas posibles fallas. El diagnóstico por congelación consume más tiempo que el rápido estudio citológico. En nuestra Institución, fueron necesarios 18 minutos de espera entre la obtención de la muestra y el diagnóstico patológico. En otra Institución se necesitó 20 minutos en promedio (1).

Otra posible falla del diagnóstico histológico frente al citológico es el miedo al incremento de complicaciones. Las agujas de corte (histológicas) son generalmente más gruesas que las agujas citológicas (aspiración).

La discrepancia entre la citología y la histología está determinada algunas veces por factores intrínscos de los tumores pulmona, es, o de la técnica de la biopsia. Esto es particularmente cierto en los tumores con pobre diferenciación en ciertas porciones de su pared. La distinción entre el linfoma y el timoma puede ser problemática en las masas mediastinales anteriores, aunque el uso de immunohistoquímica junto con estudios citológicos es de actual ayuda en la distinción de estas entidades. (8,34,35)

En nuestro estudio se obtuvo material diagnóstico en el 95% y en el 90% de las muestras obtenidas por la punción percutánea se identificaron específicamente el tipo histológico del tumor torácico en investigación,

Los resultados combinados de tres estudios que compararon el tipo celular de las muestras obtenidas por punción percutánea con el diagnóstico histológico final obtenido por resecciones operatorias en lesiones malignas fue del 82% (36,37). Nosotros, encontramos una correlación diagnóstica histológica del 42%.

El neumotórax es la complicación más frecuente de las biopsias transtorácicas y es particularmente importante en los procedimientos guiados por TC (25,38).

La frecuencia de neumotórax en nuestro estudio fue del 7%, solo una paciente requirió tubo torácico para drenaje pleural y hospitalización por 3 días hasta la

resolución completa de la complicación. Los otros 3 pacientes tuvieron un neumotórax menor al 10% que se resolvió con oxígeno por mascarilla y reposo por 3 horas %. Este porcentaje es alentador porque comparado con otras series (1. 22, 23,25) es menor, tomando en cuenta que se usó aguja de corte en la mayoría de los casos.

Rozenblit y colaboradores en una serie de 23 pacientes usando en su mayoría agujas finas de aspiración tipo Chiba tuvieron un 9% de neumotórax (39). 3.

En nuestro estudio hubieron 5 falsos negativos y ningún falso positivo.

En suma, nosotros creemos que el diagnóstico histopatológico por congetación es de gran utilidad para acelerar el diagnóstico y tratamiento de los pacientes en 5. los que se sospecha una tumoración maligna. Sin embargo, las muestras deben ser siempre comparadas con los diagnósticos definitivos de las muestras fijadas con parafina. 6.

Conclusiones y Recomendaciones

Sobre la base de nuestro estudio nosotros, observamos que la biopsia central o core de las masas torácicas, contribuyó a la determinación fácil de células malignas de las muestras obtenidas.

La curva ROC demostró que el método utilizado es útil con un área de 0.943 y un error estándar de 0.03.

Todos los resultados positivos en la congelación fueron verdaderos positivos en el diagnóstico definitivo, lo que garantiza que el inicio del tratamiento de un tumor 11. Zenon P, Westcott JL. Transthoracio needle biopsy maligno se lo realice lo más pronto posible.

Recomendaciones:

276 · Oncología

- 1. Analizar los casos previamente, para identificar estructuras vecinas, valorar la vía probable de acceso, y solicitar el material necesario.
- 2. Conversar con los pacientes y familiares sobre el procedimiento y sus complicaciones.
- Enviar la muestra para congelación sobre un papel 14. Yankelevitz D, Grupta R, Zhao B, Henschke C. fieltro humedecido con solución salina de esta manera evitamos la deshidratación del tejido y su mejor visualización microscópica.
- En caso de un resultado de MUESTRAI NSUFICIENTE o NEGATIVO PARA MALIGNIDAD realizar una segunda punción para fijación con parafina y comparar los resultados.

Bibliografía

- Toyohiko S, Nobushige H, Tatsuya K. CT guided biopsy of the chest usenfulness of fine needle core biopsy combined with frozen section pathologic diagnosis. Radiology 1994; 190: 234-236.
- Dahlgren, SE; Nordenstron, B. Transthotacic needle biopsy. Alunquist & Wiesell/Bebers, Forlag AB 1996; 210-215 (Medlinc)
- Haaga JR, Lanzien CH, Sartoris D, Zerhouri I. Procedimientos Intervencionistas guiados por TC y RM en: Diagnóstico por Imagen Corporal Total. Haaga JR, Lanzieri CF, Sartoris DJ, Zerhouni EA. Madrid:Mosby 1996; 2: 1570 - 1621.
- Haaga JR. New Techiques for CT guided biopsy. AJR 1979;133: 633-641.
- Khouri NF, Stitk FP, Erozan YS . Transthoracic needle aspiration biopsy of benign an malignant lung lesions. 1985; AJR 144: 281-288.
- Molina PL, Matthew AM. Tomografía Computarizada Intervencionista en: Body TC correlación RM. Lee JK, Stanley RJ, Sagel SS, Heiken JP. Madrid :Mosby 1998; 3:69-83.
- Haramati L. CT guided automated needle biopsy of the chest. AJR 1995; 165: 53 - 55.
- Klein JS, Mattew AZ. Transthoracic Needle Biopsy: An Overview. Journal of Thoracic Imaging 1997;12:232-249.
- 9. Chang P, Pan Chyr Y, Kuo C. Needle Aspiration Biopsy of Malignant Lung Masses with necrotic Centers. Chest 1993;103: 1452-1455.
- 10. Moore EH. Needle Aspiration Lung Biopsy: A comprehensive Approach to complication reduction. Journal of Thoracic Imaging 1997; 12: 259-271.
- of mediastinal lymph Nodes for Staging lung and other cancers. Radiology 1996; 199:489-496.
- 12. Goralnik CH, O Connell DM, Yousef EL, Haaga JR. CT guided cutting needle byopsies of selected chest lesions. AJR 1988;151:903-907.
- 13. Zenon P, WestcottJL. Transthoracic Hiliar and mediastinal biopsy. Journal of Thoracic Imaging 1997; 12: 250-258.
- Small pulmonary Nodules: Evaluation with repeat CT-Preliminary Experience. Radiology 1999; 212:561-566.
- Yenglinger FX, Schwarz CD, Artmann W. Localization of pulmonary nodulaes before thorascocopia surgery: value of percutaneus stanning with methilene blue. AJR 1994;163:297-300.

- 16. Taft PD, Szyfelbin WM, Greene R. A study of variability in cytologic diagnosis based on pulmonary aspiration specimens. Am J Clinical Pathology 1980;73:36-40.
- 17. Greene R, Szyfelbein WM, Isler RJ, et al. 31. Moore E. Technical aspects of needle aspiration transtoracic aspiration biopsy. AJR 1985;144:787-792.
- 18. Van Sonnenberg E, Lui AS, Deutsh AL, Mattrey RF. Percutaneous biopsy of difficult mediastinal, hiliar and pulmonary lesions by computed tomographic guidance and a modified coaxial technique. Radiology 1983; 148:300-302
- 19. Greif J, Staroselsky A, Gernjac M, Schwarz Y, et al. Percutaneous core needle biopsy in the diagnosis of mediastinal tumors. Lung Cancer 1999; 25: 169-173. 34.
- 20. Grant T, Stull M, Kandallu K, Chambiliss J. Percutaneous needle biopsy of mediastinal masses using a computed thomography guided extrapleural 35. Tikkakoski T, Lohela P, Leepanen M,et al.
- 21. Glassberg RM., Sussman SK. Life theatening hemorrage due to percutaneous transthoracic intertion: impostance of the internal mamary artery. AJR 1990;154:47-49.
- 22. Cox J, Chiles C, McManus CM, et al. Transthoracic 37. Thornbury JR, Burke DP, Naylor B. Transthoracic pneumothorax. Radiology 1999; 212:165-168.
- 23. Yankelevitz DF, Davis SD, Henschke CI. Aspiration of a large pucumothorax resulting from transthoracic nedle biopsy. Radiology 1996,200:695-697.
- 24. Haramati LB, Austin JHM. Complications after CT guided needle biopsy thorough aerated vs no aerated 39. Rozenblit A, Tuvia J, Rozenblit G, Klink A.
- 25. Kazerooni E,Lim F, Mikhail A, Martínez F. Risk of pneumothorax in CT guided transthoracic needle aspiration biopsy of the lung. Radiology 1996; 198:371-375.
- 26. Bressler EL, Kirkham JA. Mediastinal masses: alternative approaches to CT guided needle biopsy. Radiology 1994;191:391-396.
- 27. D'Agostino HB, Sanchez RB, Laoide RM, et al. Anterior mediastinal lesions: transesternal biopsy with CT guidance. Radiology 1993;189:703-705.
- 28. Jasinsky RW, CT guided supraesternal approach for c) mediastinal biopsy. J Computer Assisted Tomography 1992;16:669-670.
- 29. Jeffrey MA, Bidyut K, Pramanik M, Marvin AL. Predicting the rates of success and complications of computed Tomography guided percutaneous core needle biopsies of the thorax from the findings of e) the preprocedure chest computed tomography scan. Journal of Thoracic Imaging 1998; 13: 7-13.

- 30. Glassberg RM, Sussman SK, Glickstein MF, CT anatomy of the internal mamary vessels: importance planning percoutaneous transthoracic procedires.
- lung biopsy:a personal perspective. Radiology 1998; 208:303-318.
- 32. PapaVI, HussainHK, ResnekRH, et al. Role of image-guided core needle biopsy in the management of patients with lymphoma. J.Clin Oncol 1996; 14:2427-30
- 33. Khouri NF, Stitik FP, Erozan YS, et al. Transthoracic needle aspiration biopsy of benign and malignant lung lesion. AJR 1985; 144:281-288.
- Herman SJ, Holub RV, Weisbrod GL, et al. Anterior mediastinal masses utility of transthoracic needle
- Ultrasound-guided aspiration biopsy of anterior mediastinal masses. Jelin Ultrasound 1991; 19:209-14.
- Horrigan TP, Bergin KT, Correlation between needle biopsy of the lung tumors and histopathologic
- needle aspiration biopsy: accuracy of citologic typing of malignant neoplasms. AJR 1981;136:719-24.
- Larscheid RC, Thorpe PE, Scott WJ. Percutaneous transthoracic needle aspiration biopsy: a comprehensive review of its current role inthe diagnosis
- CT-Guided Transthoracic needle biopsy using anipsilateral dependent position. AJR 2000; 6: 1759-70

Referencias

- Lababede O, Meziane M, Rice T. TNM Staging of Lung Cancer Quick Reference Chart. Chest 1999; 115:233-235.
- TNM Staging of Lung Cancer en: American Joint b) Committee on Cancer-1992. Pag.121-122
- Mountain Clifton F. Revisions in the International System for Staging Lung Cancer. Special report. Chest 1997;11:1710-17.
- Mountain C, Dresler C. Regional Lymph Node Classification for Lung Cancer Staging. Chest 1997;11:1718-23.
- Estevez E, Calle A. Los protocolos de la Investigación en Biomedicina.Segunda Edición.1996. Quito-Ecuador.

38N 1: 90-0110

CÓDIGO DE ÉTICA MÉDICA REFORMADO

Aprobado X Asamblea Médica Nacional Cuenca, diciembre 18/1985

Capítulo III DEBERES Y DERECHOS DEL MÉDICO PARA CON LOS **ENFERMOS**

Art. 24.- La Asociación entre médicos para la prestación de servicios profesionales, debe tener como finalidad la complementación y el mejoramiento del recurso ofrecido; prohíbese por tanto la asociación con fines de lucro o engaño.

Capítulo V **DEBERES DE CONFRATERNIDAD**

Art. 31.- Por deber de confraternidad se atenderá gratuitamente a los colegas y a su familia próxima, es decir a sus padres, cónyuge e hijos, si dependen económicamente de él. Las atenciones otorgadas deberán constar en una certificación fimada por el beneficiario para que no afecten los intereses económicos del facultativo.

Capítulo VII **DE LOS HONORARIOS**

Art. 64.- Queda formal y categóricamente proscrita la participación de honorarios entre médicos y cualquier otro profesional.

Art. 65.- Constituye una violación a la ética profesional la percepción de un porcentaje derivado de la prescripción de medicamentos, aparatos para uso médico, lentes, etc. Así como la retribución pecunaria a intermediarios de cualquier clase entre profesionales y pacientes.

Índice de Anuncios

Del Editor

	Daitor	
	Exención de Responsabilidad	P
	Objetivos y alcances de Oncología	1
	Invitación a manuscritos	1
	Las Referencias	1.
	Para editores ejecutivos de revistas médicas	14
	Instrucciones para cartas del editor	20
	Chequeo para los autores	21
	Cesión-Asignación de los derechos de autor	23
	Autores y Autoría	23
	El Arbitraje	244
	Publicación duplicada	263
	Instrucciones para publicaciones en Oncología	262
	- 11-01-0g14	280
3	Noticias de Salud	
	No consuma tabaco y respete al no fumador	
	Valor de autoexamen mamario	175
	Política y Cáncer	192
	Fume y vivirá poco	219
	Modere su consumo de bebidas alcohólicas	222
	Protéjase durante la exposición del sol	243
	Código de Ética Médica Reformado	244
		278
	Anuncios de Congreso Médicos	
	II Curso Nacional de Gastroanterales	
	II Curso Nacional de Gastroenterología y Hepatología Oncológica III Curso de Ginecología Oncológica y II de Cosposcopía	142
	I Curso Básico de Cirugía General	146
	V Jornadas Médicas del Instituto Oncológico Nacional SOLCA	150
	Curso de Hematología Oncológica	164
	XXV Congreso Nacional de Cirugía	176
	Curso de Urología Oncológica	182
	Curso Taller Internacional de Cáncer	186
	Curso de Oncopediatría	208
	Congreso Internacional: Bodas de Oro	220
	2 odka do 010	232

Instrucciones para publicaciones en Oncología

P. O. Box: No. 5255/3623, Guayaquil-Ecuador.

Los trabajos que no se acepten no serán devueltos. ONCOLOGÍA no es responsable de la pérdida del manuscrito enviado.

Los artículos que llegan se convierten en propiedad de la revista y no pueden ser utilizados en otra publicación sin un permiso escrito del autor y el editor. Se entiende que todo trabajo enviado a "ONCOLOGÍA" es inédito.

La revista "ONCOLOGÍA" acepta para la publicación. trabajos científicos sobre oncología y temas afines e incluye regularmente artículos originales de investigación clínica v cartas al editor.

También se publicarán las memorias de los eventos científicos que sobre oncología se realicen en el país y las actividades de la Sociedad de Lucha contra el Cáncer del Ecuador.

Se recomienda a los autores se ajusten a las normas de publicación que aquí se detallan.

Se enviará un original y 2 copias mecanografiados en mayúscula y minúsculas en hojas de papel bond tamaño carta, a doble espacio, por una sola cara y con márgenes de 4 cm. Tres juegos de figuras y tablas deben ser anexados. Cada uno de los segmentos del manuscrito debe comenzar en una nueva página: página del título, sinopsis, referencias, cuadros y tablas. En la página del título se incluye el nombre completo de los autores, su título académico, la institución a la que pertenecen y/o se realizó el trabajo de investigación. Debe incluirse además la dirección completa del autor que se encargará de la correspondencia que tuviere el artículo.

Es aconsejable restringir el número de autores a no más de cinco.

Abstracto

Deberá incluirse un abstracto del artículo en español e inglés en el que se enfatice el contenido del trabajo, sus resultados y las conclusiones principales. Se admite un máximo de 200 palabras en los artículos originales. La extensión del abstracto de los trabajos de revisión y reportes de casos clínicos dependerá del tamaño del

Los artículos originales deben incluir las siguientes secciones: introducción, materiales y métodos, resultados v discusión.

El reporte de un caso clínico debe limitarse a 500 palabras, 1 o 2 ilustraciones y mínimo 6 referencias.

El formato de los trabajos de revisión queda a libre criterio de los autores.

Las cartas al editor escritas a doble espacio no tendrán más de 300 palabras y pueden incluir hasta 5 referencias bibliográficas. Tratarán sobre temas oncológicos generales o comentarán artículos de números previos de "ONCOLOGÍA".

Las tablas deberán ser escritas en hoja aparte numeradas

Los manuscritos deben ser enviados a: Editor, "ONCOLOGÍA" de acuerdo a su ubicación en el texto y contarán con un pie explicativo conciso.

Las fotografías y sus duplicados deben ser en blanco y

Deben estar identificadas con número, nombre del autor principal y fecha que señale la parte superior de la foto. Todo ésto escrito sobre una etiqueta adhesiva pegada al reverso. No se aceptarán fotografías que permitan la identificación personal de un paciente a menos que se acompañen de un consentimiento escrito de las personas que ahí aparecieren.

Las referencias bibliográficas serán escritas en una hoja aparte y serán ordenadas de acuerdo a su aparición en el texto o las tablas, con un número entre paréntesis que las identificará tanto en el contenido del artículo como en la hoja de referencia bibliográficas. Se debe seguir el estilo y puntuación de los siguientes ejemplos:

Artículos de revistas:

1. Scully R, Mark E. Case records of the Massachusets General Hospital. The New Journal of Medicine 1991. 321:251-59

Libro:

2. Cane RD, Shapiro BA, Davison R. Case studies in critical care medicine, 2nd ed, Chicago: Year Book Medical Publishers, 1990, 193.

Capítulo de libro:

3. Tuchschmidt J. Akil B. The Lung and AIDS in developing countries. In: Sharma OP, ed, Lung diseasc in the tropics. New York: Marcel Dekker 1991, 305-18.

Consideraciones especiales:

- Previa a la aceptación de un artículo, este será revisado por los especialistas que el editor de "ONCOLOGIA" determine de la lista de revisores de ONCOLOGÍA.
- Se pide adjuntar al manuscrito un certificado de transferencia de los derechos de autor a la revista "ONCOLOGÍA".
- Los autores deben haber tenido suficiente participación en la elaboración del trabajo, análisis de los datos y estructuración del manuscrito, para que su nombre pueda ser incluido como autor y sea suya la responsabilidad de los resultados y conclusiones de su estudio, publicado por ONCOLOGÍA.
- Si se trata de un estudio experimental en humanos, el manuscrito debe incluir un certificado firmado por los individuos estudiados aceptando su conocimiento
- Todos los manuscritos aceptados están sujetos a ser editados, en la forma más no en el contenido, según el criterio del Editor de "ONCOLOGÍA".

Revista "ONCOLOGÍA" Índice de Materias (Volúmenes I al 10)

Abandono de tratamiento do los pacientes oncológicos, Estudio preliminar, 6(4):345 abdomen, Colgajo del músculo recto anterior del, en la reconstrucción mamaria inmediata (RM), 4(1):49

abdominal

en niños, Urgencias oncológicas quirúrgicas de origen, 8(3):328 dolor, por cáncer, Bloqueo neurolítico del plexo celíaco en, 2(1):49

abdominales, Urgencias quirúrgicas, en pacientes oncológicos, 2(1):17

Abscesos intra abdominales, 7(3):177 Acciones realizadas por el Instituto Gustave Roussy (IGR) en América Latina, 2(1):66 activación oncogénica, Mecanismos

moleculares de, 6(4):390

acute lymphoblastic leukemia, Childhood,

Adelantos en el manejo del cáncer cervical, 7(4):276

Adenocarcinoma

de cérvix: Reporte de un caso y revisión de la literatura, 7(1):63 de endometrio, 7(1):51 de tipo fetal bien diferenciado de pulmón: Presentación de un caso clínico y

Revisión de la Literatura, 10(4):239 renal. Cuadro clínico y sobrevida, 9(3-4):289

Adenosarcoma de Müller originado en endometriosis extragonadal

(transformación maligna de quiste endometriósico del omentum). Reporte de un caso y revisión de la literatura, 7(4):295

adrenal virilizante, tumor, Presentación de un caso y revisión de la bibliografía, 5(2):61

adyuvante Quimioterapia, en cáncer de mama,

9(3-4):313

10(1-2):61 y neoadyuvante, Tratamiento con quimioterapia, en el cáncer gástrico, 6(3):255

aguda, leucemia linfoide, Tratamiento de la, de la infancia, 10(1-2):33

aguja fina, La biopsia percutánea con, en las lesiones mediastinales y pulmonares, 1(1-2):10

Alfa-Fetoproteína, Tumores germinales malignos secretantes de, en el niño, 8(3):354

Alternativa quirúrgica para conservar la función vaginal, en el tratamiento radical del carcinoma de cérvix, 5(2):23

Alternativas de derivación urinaria en mujeres posterior a cistectomía radical, 10(3):147

ampolla de Vater, Carcinoma mixto dúctuloinsular de la, originado en páncreas ectópico, Reporte de un caso, 9(3-4):259

anaplásico, Carcinoma,

a células pequeñas de pulmón, 5(1):39 de tiroides. Conceptos tradicionales vigentes y consideraciones de actualidad, 10(4):253

Análisis de

enfoque terapéutico del linfoma no Hodgkin, 1(1-2):25 la práctica de colangio pancreatografía

endoscópica (CPRE), 10(1-2):41 hemocultivos positivos en el Lab. de Microbiología del ION-SOLCA.

período mayo-96 a mayo-97, 7(3):213

múltiples variables de pronóstico. Sarcoma de tejidos blandos de extremidades. ION SOLCA, Estudio

retrospectivo, 9(1-2):65

tres diferentes métodos para el diagnóstico de la infección por Helicobaxter Pylori, 10(1-2):73

anaplásicos del tiroides, Tratamiento multimodal en los carcinomas, 9(3-4):219

Anatomía

patológica del cáncer pulmonar, 5(1):9 quirúrgica. estómago, 6(3):215

hígado, 8(4):443

mama, 6(1):6

tumores cráneofaciales, 9(3-4):331

anátomo quirúrgica, Correlación imagenológica y, de los tumores cráneofaciales, 10(1-2):76

280 · Oncología

Androblastoma tubular de ovario: Reporte de un caso y revisión bibliográfica, 7(1):77 anestésico, Manejo, del paciente quirúrgico neuro-oncológico, 8(1):81

anemia de inflamación, Hierro, Infecciones, 6(4):379

Angiofibroma nasofaringeo, Presentación de un caso, 5(2):56

anillo de Waldeyer, Cuadro clínico-patológico y sobrevida en linfomas no-Hodgkin del. 9(1-2):138

Anomalías de la banda cromosómica liq23 en las Leucemias Agudas del niño: Análisis clínico y pronóstico, 8(3):360

anticuerpos monoclonales. Diagnóstico de las metástasis linfáticas en el cáncer de la mama mediante inmuno-gammagrafía con, 1(1-2):54

Apache II en pacientes con cáncer, 8(4):436 aparato genital femenino (I). Desarrollo embriológico del, 7(1):5

Apariencia morfológica de los tumores benignos de la mama, 6(1):30

Aplicaciones en Oncología de la Medicina Nuclear: 1994, 3(1):82

arterial, sistema, Dolicoectasia del, 6(4):313 Aspectos psicológicos en cáncer de mama. 6(1):84

astrocitema del cerebelo. Neurofibromatosis tipo I asociada a un: Consideraciones generales, Reporte de caso, 8(1):170 atención

al paciente oncológico, 5(2):50 humana, Tema de psicología:, 6(2):163 avanzado, cáncer,

colo-rectal localmente, Manejo quirúrgico del. 6(2):121 gástrico, Controversias actuales en el tratamiento del, 6(3):263 mama, e inflamatorio, 6(1):88

bacteriana espontánea, Peritonitis, 8(3):374 banda cromosómica Ilg23, Anomalías de la. en las Leucemias Agudas del niño: Análisis clínico y pronóstico, 8(3):360 basocelular y escamocelular de piel, Radioterapia en el tratamiento del carcinoma, Revisión de 5 años, 9(1-2):72 benigno, Schwannoma, de mediastino posterior, Reporte de caso clínico, 4(1):77

benignos,

procesos infecciosos, que semejan neoplasias, 7(4):284 tumores, de la mama. Apariencia morfológica, 6(1):30 Tratamiento quirúrgico, 6(1):46 biliar, Carcinoma de la vesícula, Una revisión de 15 pacientes, 4(1):55

mamarios, Hallazgos radiológicos en

Biografía del Dr. Juan Tanca Marengo, médico y maestro, Reseña histórica, 5(2):41

biopsia

de cuello uterino, Demostración de proteína E7 de papilomavirus de tipos 16 v 18 en. 9(3-4):318 en el cáncer de la mama, 6(1):21 esteroatáxica de mama, 6(1):26 pecutánea con aguja fina en las lesiones mediastinales y pulmonares, 1(1-2):10

de masas guiadas por tomografía helicoidal correlacionada con diagnóstico patológico inmediato por congelación, 10(4):263

"biopsy, strip", Cáncer gástrico temprano diagnosticado por, 6(3):275 Biología molecular del cáncer, 6(2):181

Bloqueo neurolítico del plexo celíaco en dolor abdominal por cáncer, 2(1):49

braquiterapia

Estabilización de la enfermedad recurrente con, en 3 casos de cordomas sacros previamente irradiados, 9(3-4):297

Papel de la, en el tratamiento del carcinoma de cérvix, 5(2):5

Tratamientos de cáncer de cérvix en el ION (1998-2000), I.- Desde el Cobalto-60 hacia la, 10(4):233

Brenner, Tumor de, extraovárico, Reporte de caso clínico, 2(1):68

Breve revisión de la importancia de los marcadores tumorales, 1(1-2):67

bronguial.

cáncer de células no pequeñas, Curieterapia endoluminal exclusiva a alto débito de dosis, 6(4):363 lavado, esputo fijado, cepillado, Cáncer de pulmón, Revisión de 5 años en el INOR, 7(2):97

bucofaringeo, Segundos primarios en cáncer, 10(1-2):45

C

cabeza y cuello, Enfoque ético en el paciente afecto de cáncer de, 9(1-2):151 Cambios fibroquísticos de la mama, fisiopatología y tratamiento, 6(1):48 lesiones proliferativas

preneoplásicas, 6(1):37

cáncer.

Apache II en pacientes con, 8(4):436 Biología molecular del, 6(2):181 Bloqueo neurolítico del plexo celíaco en dolor abdominal por, 2(1):49 bronquial de células no pequeñas, Curieterapia endoluminal exclusiva a alto débito de dosis, 6(4):363 bucofaringeo, Segundos primarios en, 10(1-2):45

cervical

Adelantos en el manejo del, 7(4):276 invasor, Tratamiento quirúrgico del, 7(1):47

localmente avanzado, 8(2):233 Tuberculosis extrapulmonar y, Reporte de un caso y revisión de la literatura, 7(1):72

cérvico uterino

Detección oportuna del cáncer, 5(2):29 invasor, Complicaciones urológicas en, 7(1):55

cérvix.

¿Como disminuir la mortalidad del, hacia el año 2000?, Editorial, 5(2):3 Complicaciones por radioterapia en el tratamiento del, 2(1):39

Tratamientos de, en el ION (1998-2000), I.- Desde el Cobalto-60 hacia la braquiterpia, 10(4):233 uterino, Quimioterapia en el, 6(4) 299 colo-rectal,

Diagnóstico endoscópico del, 7(4):269

Experiencia de 10 años, 4(1):61 Incidencia y revisión, años 1990/1993, 3(1):7

localmente avanzado, Manejo quirúrgico del, 6(2):121 Resección por, Laparocopía vs

laparotomía, comparación de la

extensión de los márgenes de resección y de la linfadenectomía mesentérica, 7(4):274 y enfermedad inflamatoria

crónica del intestino. La Habana, Cuba, 8(2):252 Complicaciones cerebrovasculares en,

8(1):63 cuello uterino, Características sociodemográficas del, 1993, Bahía, Brasil, 6(2):145

cutáneo, Sarcoma de partes blandas y, 9(1-2):6

de cabeza y cuello, Enfoque ético en el paciente afecto de, 9(1-2):151

de cérvix ¿Como disminuir la mortalidad del cáncer de cérvix hacia el año 2000?, Editorial, 5(2):3

de cérvix uterino, Causas de muerte por, en pacientes que se realiza necropsia en el INOR (1980-1994), 9(3-4):308 de Colon

Incidencia (1990-1994), 4(1):19 Resecable, Factores pronósticos en, Hospital Belén, Trujillo - Perú, 8(2):201

de endometrio, Estudio estadístico y estadiaje quirúrgico, Solca 1990-1994, 4(1):39

de esófago inoperable, El, Tratado con irradiación bifraccionada acelerada, 3(1):47

de laringe, 10(4):193

de lengua, Cirugía en el tratamiento del, Estudio de 10 años, 10(4):183

de mama.

Diagnóstico de las metástasis linfáticas en el, mediante inmuno-gammagrafía con anticuerpos monoclonales, 1(1-2):54 El nódulo centinela en, Editorial, 9(1-2):117

etapa II, 10(1-2):49

Experiencia de 10 años, 3(1):39 Gammagrafía

mediante 99mTc-sestamibi en pacientes con sospecha de,

8(2):215 ósea en el, 4(1):23

Protocolos de manejo del, 3(1):58 Quimioterapia adyuvante en, 9(3-4):313

Quimioterapia adyuvante en, 10(1- 2):61 de riñón, Incidencia del, en ION-Solca,

Guayaquil, 10(3):133 Tratamiento conservador del, 9(3-4):374 de la uretra, La curieterapia en el, 8(4):461 de lengua. Estudio de 10 años. INOR, Habana, 9(1-2):135 de ovario, epidemiología, biología v correlación clínico-patológica, 2(1):52 del pene, Curieterapia en el. 8(2):235 del seno, La radioterapia en el tratamiento conservador del. 2(1):7 de próstata, Gammagrafía ósea y PSA en, 4(1):7 de pulmón en el Ecuador, Tendencia de la tasa cruda de mortalidad por, 5(1):5 Métodos de imágenes en la estadificación del. No células en avena, 5(1):15 de tiroides: diferenciado, Factores pronósticos en, 9(3-4):203 en el hospital de Solca núcleo de Loja. 9(3-4):255 estudio retrospectivo 1979-1999, 9(3-4):209 Tratamiento individualizado del. mediante iodo-131: dosimetría, 9(3-4):245 digestivo, Curiterapia endoluminal exclusiva a alto débito de dosis en el, 7(2):134 Dolor generalizado en pacientes con. Fibromíalgia: una posibilidad, 8(4):476 e imagen corporal, Fantasías de "dispersión", 4(1):75 en la niñez. Una reseña para pediatras generales y médicos familiares que practican en países en desarrollo, 8(3):273 epitelial de ovario, Tratamiento quirurgico del, 7(1):43 escamoso de cérvix, Manejo terapéutico de la recaida/persistencia del, 7(4):235 esófago, Epidemiología y factores predisponentes, 7(4):259 Espontaneidad del, 6(2):155 estómago, Radioterapia en el tratamiento del, 6(3):259 Fighting against, now and in the future, 6(2):115

gástrico. avanzado, Controversias actuales en el tratamiento del, 6(3):263 cirugía, Complicaciones postoperatorias de la, 6(3):245 Diagnóstico, clínico del, 6(3):231 endoscópico del, Reporte casos clínicos, 6(3):272 por imagen en el, 6(3):233 y prevención, 3(1):23 diminuto, Reporte de caso clínico, 4(1):82 en Tungurahua, Epidemiología del. Resultados del cantón quero, 4(1):33 Epidemiología, en el Ecuador. 6(3):205 Estudio epidemiológico, clínico y endoscópico a poblaciones rurales del litoral ecuatoriano, 3(1):31 Experiencia de 10 años, 2(1):33 Factores epidemiológicos e incidencia del, en población hospitalaria y rural de Manabí, 5(2):33 Incidencia del, en Solca Machala, 10(4):209 Nutrición enteral precoz en postquirúrgicos de, 7(4):263 temprano, diagnosticado por "strip biopsy", 6(3):275 Semiología del. 6(3):227 Simposium de, Editorial, 6(3):203 Tratamiento. quimioterapia adyuvante y neoadyuvante en el. quirúrgico del, 6(3):237 ginecológico, Estrógenos - Reposición hormonal, 7(1):59 Imagen en el, 7(1):19 Simposium, 7(1):3 Historia del Instituto del Reseña histórica, 7(2):128 Laparoscopía en, otra área de controversia, 9(1-2):169 La radioterapia en el tratamiento paliativo del, 4(1):87 laringe, 6(4):305

Luchando contra el, ahora y en el

futuro, 6(2):195 Lung, and the role of smoking, 5(1):3 Aspectos psicológicos, 6(1):84 biopsia, 6(1):21 en el hombre, 6(1):90 Epidemiología clínica y estadiaje, 6(1):54 Factores, de riesgo en, 6(1):56 pronósticos y predictivos en, 6(1):59 Gammagrafía. en el. 6(1):61 sestamibi-99mTc, 6(4):345 Historia natural del. 6(1):54 Hormonoterapia en, 6(1):76 localmente avanzado e inflamatorio, 6(1):88 Protocolo, en SOLCA, 6(1):101 Quimioterapia en, 6(1):75 Radioterapia en, 6(1):79 Tratamiento, mediante protocolos, 6(1):66 y embarazo, 6(1):93 mamario no invasor: in situ, 6(1):94 Manejo del, mediante protocolos, 3(1):56 Mortalidad en pacientes con, en Cuidados Intensivos, ventilados vs no ventilados, 9(3-4):324 nasofaríngeo, Tratamiento combinado en el, INOR, Habana, 8(4):411 Neumotórax espontáneo y, Reporte de tres casos y revisión de la literatura, 2(1):13 prevention, 8(4):407 pulmonar. Anatomía patológica del, 5(1):9 de células no pequeñas, Papel de la radioterapia en el tratamiento del, 5(1):29 Papel de la cirugía en el tratamiento del cáncer, 5(1):19 pulmón, estudio citológico de esputo fijado, lavado bronquial y cepillado. Revisión de 5 años en el INOR, 7(2):97 Radioterapia en el tratamiento paliativo del, 4(1):87 Simposium de enfermedades infecciosas y, 7(3):157 tiroides, Gammagrafía mediante

99mTc-sestamibi en el, 6(4):328 Toxoplasmosis en el paciente con, 7(3):183 urológico, Editorial, 10(3):131 vesicular en Chile, 3(1):75 y la cirugía laparoscópica, Editorial, 8(4):405 y pre-cáncer en pacientes con enfermedad inflamatoria intestinal, 8(3):372 Cánceres urológicos, 7(4):278 cancerosas, Caracteres hereditarios de las células, 6(2):154 Caracteres hereditarios de las células cancerosas, 6(2):154 Características clínicas-sociodemográficas del cáncer de cuello uterino - 1993, Bahía-Brasil, 6(2):145 carcinoide de *duodeno*, tumor, Reporte de un caso y revisión de la literatura, 9(3-4):364 maligno en niños, Tumor, Presentación de un caso clínico y actualización, 8(3):368 Carcinoma anaplásico a células pequeñas de pulmón, 5(1):39 de tiroides. Conceptos tradicionales vigentes y consideraciones de actualidad, 10(4):253 basocelular y escamocelular de piel, Radioterapia en el tratamiento del, Revisión de 5 años, 9(1-2):72 de células de Merkel. Presentación de un caso, 8(2):248 de *cérvix* Alternativa quirúrgica para conservar la función vaginal en el tratamiento radical del, 5(2):23 Papel de la braquiterapia en el tratamiento del, 5(2):5 de la vesícula billiar, Una revisión de 15 pacientes, 4(1):55 de *lengua*, 1(1-2):50 de *próstata*, 1(1-2):7 de vejiga: estudio retrospectivo 1990-1999 en ION-Solca, Guayaquil, 10(3):143 diferenciado de tiroides tratado con I-131: Significado de los hallazgos en la gammagrafía

mediante 99mTc-sestamibi, Reporte

de casos clínicos, 8(4):470 Metástasis pulmonares por, 6(2):169 epidermoide del tiroides. Presentación de dos casos, 6(4):324 infiltrante del clítoris, Caso clinico, 7(1):79 gástrico, Uso de los marcadores tumorales en el diagnóstico del, 7(2):132 hepatocelular. tipo Fibrolamelar. Reporte de un caso y revisión de la literatura, 8(1):241 Tratamiento del, 8(2):258 mediante inyección intratumoral de etanol, 7(4):292 laríngeo. Incidencia en el INOR en 10 años (81-90), 7(2):101 Laringectomías subtotales en el. Experiencia de 2 años en el INOR, 9(1-2):119 mamario, Manejo en pacientes con ganglios negativos, 5(2):51 dúctulo-insular de la ampolla de Vater, originado en páncreas ectópico, Reporte de un caso, 9(3-4):259 medular-papilar de tiroides, Reporte de un caso, 9(3-4):263 mucinoso de colon, variante de células en anillo de sello. Linitis plástica colónica, Presentación de un caso, 9(1-2):153 vulvar, Vulvectomía radical. Importancia de la linfadenectomía en el estadiaje, pronóstico y tratamiento del, 7(4):251 anaplásicos del tiroides, Tratamiento multimodal en los, 9(3-4):219 cutáneos, 9(1-2):81 carcinomatosis leptomeníngea, Compresión medular metastásica y, 8(1):51 cardiovascular, de origen, Sombras intratorácicas psudotumorales, 6(4):317 Carta al Editor, Mortalidad en pacientes con cáncer en cuidados intensivos, Ventilados vs no ventilados, 10(1-2):81

Adenocarcinoma de tipo fetal bien diferenciado de pulmón: Presentación de un caso clínico y revisión de la literatura, 10(4):239 Adenosarcoma de Müller originado en endometriosis extragonadal (transformación maligna de guiste endometriósico del omentum), revisión de la literatura, 7(4):295 Angiofibroma nasofaringeo, 5(2):56 Cáncer de mama, 6(1):97 gástrico diminuto, 4(1):82 Carcinoma epidermoide del tiroides. 6(4):324 mixto dúctulo-insular de la ampolla de Vater. Originado en páncreas ectópico, 9(3-4):259 medular-papilar de tiroides, 9(3-4):263 mucinoso de colon, variante de células en anillo de sello, Linitis plástica colónica, 9(1-2):153 células de Merkel, Carcinoma de, Presentación de un caso, 8(2):248 Carcinoma epidermoide infiltrante del clítoris, 7(1):79 Comportamiento invasivo de un microcarcinoma papilar de tiroides con metástasis ocular como presentación clínica inicial, 9(3-4):269 Diagnóstico endoscópico de cáncer gástrico, 6(3):272 Disfagia pseudotumoral tuberculosa, 3(1):64 Elastofibroma, presentación de dos casos, 9(3-4):370 Enfermedad de Paget de la vulva, 7(1):68 Fibrosarcoma de ovario, 7(2):143 Fibroma osificante, 9(3-4):360 Hemorragia digestiva alta originada por melanoma maligno metastásico en estómago, 8(4):467 Histiocitosis de células de Langerhans (Histiocitosis X) asociada a otra neoplasia, 9(1-2):99 Inversión uterina simulando patología

tumoral cervical, 7(1):75 La pregunta radiológica, 9(3-4):339 La tuberculosis como pseudo tumor del tracto genital inferior femenino, 3(1):72 Leiomioma gigante, 7(1):67 Linfangioma retroperitoneal, 6(4):375 Neoplasia papilar sólida y quística del páncreas, revisión bibliográfica, 7(4):280 Nefroblastoma bilateral, Tumor de Wilms, 3(1):69 Presentación de un caso y revisión de la bibliografía, 10(4):249 Neurofibrosarcoma retroperitoneal con trombosis de la vena cava inferior, 2(1):75 Paraganglioma retroperitoneal, 9(3-4):275 revisión bibliográfica, Adenocarcinoma de cérvix, 7(1):63 Adenosarcoma de Müller originado en endometriosis extragonadal (transformación maligna de quiste endometriósico del omentum). Reporte de un caso y, 7(4):295 Androbastoma tubular de ovario, 7(1):77 Neoplasia papilar sólida y quística del páncreas, 7(4):280 Tuberculosis extrapulmonar y cáncer cervical, 7(1):72 Tumor neuroectodérmico primitivo periférico., 7(4):287 Schwannoma benigno de mediastino posterior, 4(1):77 Tuberculosis como pseudo tumor del tracto genital inferior femenino, 3(1):72 rectal, 9(1-2):157 Tumor adrenal virilizante, Revisión de la bibliografía, 5(2):61 carcinoide de duodeno, 9(3-4):364 de Brenner extraovárico, 2(1):68 de células gigantes, 9(1-2):103 redondas pequeñas desmoplástico, 9(1-2):90 de Krukenberg, 6(3):277 de Wilms, Nefroblastoma bilateral, 3(1):69 neuroectodérmico primitivo periférico. Revisión de la literatura, 7(4):287

Catéteres

con reservorio totalmente implantables,
INOR, Habana, 8(4):420

venosos centrales permanentes: uso en
quimioterapia, complicaciones y
morbilidad, 6(2):127

Causas de muerte por cáncer de cérvix
uterino en pacientes que se regime

Causas de muerte por cáncer de cérvix uterino en pacientes que se realiza necropsia en el INOR (1980-1994), 9(3-4):308

cava inferior, vena, Neurofibrosarcoma retroperitoneal con trombosis de la, Reporte de caso clínico, 2(1):75 células.

cancerosas, Caracteres hereditarios, 6(2):154

de Langerhans (Histiocitosis X) asociada a otra neoplasia, Histiocitosis de, Reporte de un caso, 9(1-2):99

de Merkel, Carcinoma de, Presentación de un caso, 8(2):248

en anillo de sello, Carcinoma mucinoso de colon, variante de, Linitis plástica colónica, Presentación de un caso, 9(1-2):153

gigantes, Tumor de, Reporte de un caso, 9(1-2):103

no pequeñas, Papel de la radioterapia en el tratamiento del cáncer pulmonar de, 5(1):29

pequeñas de pulmón, Carcinoma anaplásico a, 5(1):39

redondas pequeñas desmoplástico, Tumor de, Reporte de un caso, 9(1-2):90

tumorales, Virus en, 6(2):153

cepillado, esputo fijado, lavado bronquial, Cáncer de pulmón, Revisión de 5 años en el INOR, 7(2):97

cerebral.

perfusión, Gammagrafía de la, en neurología y neuroxcirugía, 8(1):67 tumor, Hipertensión endocraneana en el post-quirúrgico de, 8(1):99

cerebrales.

Metástasis: Consideraciones diagnósticas clínicas y de neuroimagen, 8(1):7
Metástasis: Valoración por tomografía axial computorizada, 8(1):23
tumores, Manejo neurointensivo de los pacientes con, 8(1):89

caso clínico, Reporte de,

del niño, Tumores, Progresos v esperanzas, 8(3):294 cerebrovasculares en cáncer, Complicaciones, 8(1):63 cervical cáncer. Adelantos en el manejo del, 7(4):276 invasor, Tratamiento quirúrgico del, 7(1):47 localmente avanzado, 8(2):233 Tuberculosis extrapulmonar y, Reporte de un caso y revisión de la literatura, 7(1):72 intraepitelial III, Neoplasia, en Solca Machala, 3(1):27 intraepitelial (NIC), Neoplasia, en el ION-SOLCA, Correlación colpocitológica e histológica, 6(2):149invasor, NIC, Diagnóstico y tratamiento de la neoplasia intraepitelial, 7(1):15 cérvico uterino Detección oportuna del cáncer, 5(2):29 invasor, Complicaciones urológicas en, 7(1):55 cérvix, Adenocarcinoma de, Reporte de un caso y revisión de la literatura, 7(1):63 Alternativa quirúrgica para conservar la función vaginal en el tratamiento radical del carcinoma de, 5(2):23 cáncer de ¿Como disminuir la mortalidad del cáncer de cérvix hacia el año 2000?, Editorial, 5(2):3 Manejo terpaéutico de la recaída/persistencia del, 7(4):235 Tratamientos de, en el ION (1999-2000), I.- Desde el Cobalto-60 hacia la braquiterapia, 10(4):233 Causas de muerte por cáncer de, en pacientes que se realiza necropsia en el INOR (1980-1994), 9(3-4):308 Complicaciones por radioterapia en el tratamiento del cáncer de, 2(1):39 Papel de la braquiterapia en el tratamiento del carcinoma de, 5(2):5

9(1-2):9 citología de citológico,

6(4):299 chemotherapy, Neurologic complications of radiation therapy and, 8(1):55 Childhood Acute Lymphoblastic Leukemia, 8(3):309 Cierre inmediato faringeo post-laringestomía, INOR, Habana, 8(4):433 cigarrillo y la dependencia emocional, El, 5(1):45 cirugía en el tratamiento del cáncer de lengua. Estudio de 10 años, 10(4):183 laparoscópica. El cáncer y la, Editorial, 8(4):405 en Ginecología Oncológica, Papel de la, 7(1):39 gástrica por cáncer, Complicaciones postoperatorias de la, 6(3):245 o Radioterapia, Quimioterapia? Retos terapéuticos en el manejo de las metástasis cerebrales, 8(1):29 Papel de la, en el tratamiento del cáncer pulmonar, 5(1):19 parcial laringea, 7(4):243 radical laringea. Complicaciones, 7(4):247 Rol de la, en el tratamiento de los sarcomas de tejidos blandos, 10(1-2):95 cistectomía radical, Alternativas de derivación urinaria en mujeres posterior a. 10(3):147 citogenética, Sarcomas de partes blandas: Historia natural, inmunohistoguímica, cérvix uterino, resultado de seis primeros meses de Solca Ambato, 1(1-2):43 mama, La, 6(1):24 Cáncer de pulmón, estudio de muestras de esputo fijado, lavado bronquial y cepillado. Revisión de 5 años en el INOR, 7(2):97 Diagnóstico, y el Dr. Eliseo Ramírez, 7(4):273 Clasificación histológica de tumores y lesiones relacionados con el cuerpo uterino, 7(1):33 Epidemiología, y estadiaje del cáncer

de mama, 6(1):54 Historia, 6(1):12 10(1-2):41 inmediata (RM), 4(1):49 colon caso, 9(1-2):153 endoscópico, 1(1-2):16 Perú, 8(2):201 colo-rectal Cáncer 8(2):252 7(4):269 quirúrgico del, 6(2):121 mesentérica, 7(4):274

socio-demográficas, Características, del cáncer de cuello uterino, 1993, Bahía, Brasil, 6(2):145 clitoris, Carcinoma epidermoide infiltrante del, Caso clínico, 7(1):79 Cobalto-60, hacia la braquiterapia, Tratamientos de cáncer de cérvix en el ION (1998-2000), 10(4):233 colangio pancreatografía endoscópica (CPRE), Análisis de la práctica de, Colgajo del músculo recto anterior del abdomen en la reconstrucción mamaria Cáncer de, Incidencia (1990-1994), Carcinoma mucinoso de, variante de células en anillo de sello, Linitis plástica colónica, Presentación de un Lesiones preneoplásicas de, y su manejo resecable, Cancer de , Factores pronósticos en, Hospital Belén, Trujillo enfermedad inflamatoria crónica del intestino, La Habana, Cuba. Experiencia de 10 años, 4(1):61 Incidencia y revisión, años 1990/1993, Diagnóstico endoscópico de cáncer, localmente avanzado, Cáncer, manejo Resección, por cáncer, Laparoscopía vs laparotomía, comparación de la extensión de los márgenes de resección y de la linfadenectomía Colostomías perinales "pseudo-continentes", colpocitológica, Correlación, e histológica de la neoplasica cervical intraepitelial Anatomía quirúrgica de los, 9(3-4):331 (NIC) en el ION-SOLCA, 6(2):149. Correlación imagenológica y anátomo Colposcopía: Enfoque a la evolución de las cromosómica líq23, Anomalías de la banda, ²SN 1090-0110

nomenclaturas histológicas, 7(1):11 columna vertebral, Tratamiento de las lesiones metastásicas de la, Descompresión quirúrgica vs Radioterapia. Controversias en neuro-Oncología, 8(1):137 Complicaciones cerebrovasculares en cáncer, 8(1):63 postoperatorias de la cirugia gástrica por cáncer, 6(3):245 por radioterapia en el tratamiento del cáncer de cérvix, 2(1):39 urológicas en cáncer cérvico uterino invasor, 7(1):55 Comportamiento invasivo de un microcarcinoma papilar de tiroides con metástasis ocular como presentación clínica inicial, Reporte de un caso, 9(3-4):269 Compresión medular metastásica y carcinomatosis leptomeningea, 8(1):51 Controversias actuales en el tratamiento del cáncer gástrico avanzado, 6(3):263 en Neuro-Oncología. Tratamiento de las lesiones metastásicas de la columna vertebral: Descompresión quirúrgica vs Radioterapia, 8(1):137 cordomas sacros previamente irradiados, Estabilización de la enfermedad recurrente con braquiterapia en 3 casos de, 9(3-4):297 corporal, Cáncer e imagen, Fantasías de "dispersión", 4(1):75 Enfermedad e imagen, 3(1):62 Correlación colpocitológica e histológica de la neoplasica cervical intraepitelial (NIC) en el ION-SOLCA, 6(2):149. imagenológica y anátomo quirúrgica de los tumores cráneofaciales, 10(1-2):76 craneal, Formas raras de neoplasias en la convexidad, Meningiomas intraóseos, 7(2):123 cráneofaciales, tumores

1(1-2):43

Citología de, resultado de seis

Quimioterapia en el cáncer de,

primeros meses de Solca Ambato,

quirúrgica de los , 10(1-2):76

Tratamiento de las lesiones metastásicas en las Leucemias Agudas del niño: de la columna vertebral:. Controversias en Análisis clínico y pronóstico, 8(3):360 neuro-Oncología, 8(1):137 Cuadro clínico-patológico y sobrevida en linfomas no-Hodgkin del anillo de desmoplástico, Tumor de células redondas pequeñas, Reporte de un caso, 9(1-2):90 Waldeyer, 9(1-2):138 cuello uterino. Demostración de proteína E7 Detección de papilomavirus de tipos 16 y 18 en de foco séptico mediante gammagrafía, biopsias de, 9(3-4):318 cuerpo uterino, Clasificación histológica de de hemorragia gastrointestinal mediante gammagrafía, 6(2):133 tumores y lesiones relacionados con el, oportuna del cáncer cérvico-uterino, 7(1):33 5(2):29 Cuidados Intensivos, Mortalidad en pacientes con Diagnóstico, cáncer gástrico, temprano, por "strip cáncer en, ventilados vs no ventilados, 9(3-4):324 biopsy", 6(3):275 citológico y el Dr. Eliseo Ramírez, paliativos: objetivos y organización del 7(4):273 clínico del cáncer gástrico, 6(3):231 equipo, Parte I, 6(4):373 confirmatorio del VIH, Evaluación del Objetivos y Organización del equipo. Liatek III para el, ION-SOLCA, 8(4):451 Parte II, 7(2):136 del carcinoma gástrico. Uso de los Curieterapia, marcadores tumorales en el, en cáncer 7(2):132 del pene, 8(2):235 de la uretra, 8(4):461 de la infección por Helicobaxter Pylori, Análisis de tres diferentes métodos, endoluminal exclusiva a alto débito en los cánceres bronquiales de células 10(1-2):73 de las metástasis linfáticas en el cáncer no pequeñas, 6(4):363 de la mama mediante inmunode dosis en los cánceres digestivos, 7(2):134 linfogammagrafía con anticuerpos La, 6(2):157 monoclonales, 1(1-2):54 endoscópico del cáncer moderna. Del radium a la, 6(2):158 Curso de mastología, Editorial: Primer, 6(1):3 colorectal, 7(4):269 gástrico. Reporte de casos clínicos, cutáneo, Linfoma, Electronterpia corporal total, Revisión de aspectos clínicos y 6(3):272 por imagen en el cáncer gástrico, técnica de tratamiento, 10(4):223 6(3):233 cutáneos, Carcinomas, 9(1-2):81 por imágenes D de las metástasis raquimedulares, Demostración de proteína E7 de 8(1):123 Hamartoma hepático: Hallazgos Papilomavirus de tipos 16 y 18 en biopsias clínicos y, 8(2):244 de cuello uterino, 9(3-4):318 mamográfico en pacientes de SOLCA dependencia emocional, El cigarrillo y la, Machala, 8(2):189 5(1):45 molecular, Técnicas de, 7(2):137 derivación urinaria. Alternativas de, en temprano del cáncer gástrico por "strip mujeres posterior a cistectomía radical, 10(3):147 biopsy", 6(3):275

con lesiones simultáneas en las regiones pineal y supraselar:, 8(1):151 digestiva. La eco-laparoscopía en patología, 7(2):111 hemorragia, alta, originada por melanoma maligno metastásico en estomago, Reporte de casos clínicos, 8(4):467 Ecoendoscopía, 8(3):380 Valoración de la endoscopía, en la investigación de neoplasias de origen indeterminado, 8(3):392 digestivos, cánceres, Curiterapia endoluminal exclusiva a alto débito de dosis en los, 7(2):134 diminuto, Cáncer gástrico, Reporte de caso clínico, 4(1):82 Disfagia pseudotumora! tuberculosa, Reporte de caso clínico, 3(1):64 Dolicoectasia del sistema arterial, 6(4):313 dolor abdominal por cáncer, Bloqueo neurolítico del plexo celíaco en, 2(1):49 Generalizado en pacientes con cáncer: Fibromialgia, una posibilidad, 8(4):476 en neuro-oncología: Sintomatología y enfoque terapéutico, 8(1):117 dosimetría, Tratamiento individualizado del cáncer diferenciado de tiroides mediante iodo-131, 9(3-4):245 Dr. Guillermo Paulson Bejar, semblanza del, 2(1):58 José Eduardo Molestina Roca, Semblanza del, 4(1):71 Juan Tanca Marengo, Biografía del, médico y maestro, Reseña histórica, 5(2):41 Julio Salem Dibo, Reseña histórica:, 6(4):362 Kléber Suárez Villacrés, Homenaje póstumo, 10(1-2):80 Luís Alonso Nevárez Zurita, Semblanza, 7(2):130 duodeno, Tumor carcinoide de, Reporte de un caso y revisión de la literatura, 9(3-4):364

Ecoendoscopía digestiva, 8(3):380

eco-laparoscopía, La, en patología

digestiva, 7(2):111

Ecomamografía y xeromamografía, 6(1):14 editores médicos, Sociedad Ecuatoriana de, Editorial, 7(2):91 Editorial. ¿Como disminuir la mortalidad del cáncer del cérvix hacia el año 2000?, 5(2):3 Curso de mastología, Primer, 6(1):3 El cáncer y la cirugía laparoscópica, 8(4):405 El fin del milenio, 9(3-4):287 El genoma humano, Editorial, 10(1-2):5 El nódulo centinela en cáncer de la mama. 9(1-2):117 La endrocrinología a través del tiempo, 9(3-4):189 La lucha contra el tabaco en el Ecuador, 2(1):5Lung cancer and the role of smoking, 5(1):3 Primer Curso de Mastología, 6(1):3 Simposio de cáncer gástrico, 6(3):203 Simposio de Neuro-Oncología, 8(1):5 Sociedad Ecuatoriana de editores édicos, 7(2):91 Simposio de Oncopediatría, 8(3):271 Elastofibroma, Presentación de dos casos, El cáncer de esófago inoperable, Tratado con irradiación bifraccionada acelerada, El cigarrillo y la dependencia emocional 5(1):45 Electronterapia corporal total en linfoma cutáneo. Revisión de aspectos clínicos y técnica de tratamiento, 10(4):223 El fin del milenio, Editorial, 9(3-4):287 El genoma humano, Editorial, 10(1-2):5 El paciente, su enfermedad y "algo más", 2(1):64 embarazo, Cáncer de mama y, 6(1):93 embriológico, Desarrollo, del aparato genital femenino, 7(1):5 endocraneana, Hipertensión, en el postquirúrgico de tumor cerebral, 8(1):99 endocrinología a traves del tiempo, La, Editotial, 9(3-4):189 endometrio, Cáncer de, Estudio estadístico y estadiaje quirúrgico, Saolca 1990-1994, Endoprotesis en las ictericias obstructivas,

9(3-4):380



y prevención, Cáncer gástrico, 3(1):23

intraepitelial cervical NIC, 7(1):15

Consideraciones, Germinoma intracraneal

v tratamiento de la neoplasia

diagnósticas y terapéuticas,

Ε

femenino, 7(1):5

Derrame pericárdico maligno: Reporte de

Desarrollo embriológico del aparato genital

Descompresión quirúrgica vs Radioterapia,

tres casos y revisión de literatura, 8(2):195

endoscopía digestiva, Valoración de, en la investigación de neoplasias de origen indeterminado, 8(3):392

endoscópica (CPRE), Análisis de la práctica de colangio pancreatografía, 10(1-2):41

endoscópico

del cáncer gástrico, Diagnóstico. Reporte casos clínicos, 6(3):272

Diagnóstico, del cáncer colo-rectal, 7(4):269

Estudio epidemiológico, clínico y, a poblaciones rurales del litoral ecuatoriano, Cáncer gástrico, 3(1):31 manejo, Lesiones preneoplásicas de colon y su, 1(1-2):16

endoluminal, Curiterapia, exclusiva a alto débito de dosis en los cánceres dígestivos, 7(2):134

endometrio, Adenocarcinoma de, 7(1):51 endometriosis extragonadal, Adenosarcoma de Müller originado en, (transformación maligna de quiste endometriósico del omentum). Reporte de un caso y revisión de la literatura, 7(4):295

Enfermedad

de Hodgkin en el Hospital de Solca, Revisión de la, 8(3):351

de Paget

extramamaria. Aportación de un caso de localización vulvar, 1(1-2):20 e imagen corporal, 3(1):62 El paciente, su, y "algo más", 2(1):64 filodes de la mama, 1(1-2):75 inflamatoria.

de la vulva, Caso clínico, 7(1):68

crónica del intestino, Cáncer colorectal y, La Habana, Cuba, 8(2):252 intestinal,

Cáncer y pre-cáncer en pacientes con, 8(3):372

Tratamiento médico, 8(3):386 neoplásica, Tratamiento de hepatitis crónica por VHC con interferón Alfa 2b recombinante en pacientes pediátricos con. 10(1-2):55

enfermedades infecciosas y cáncer, Simposium de, 7(3):157

enfermería, La supervisión en los servicios de, 1(1-2):73

Enfoque ético en el paciente afecto de cáncer de cabeza y cuello, 9(1-2):151 enteral precoz, Nutrición, en post-quirúrgicos de cáncer gástrico, 7(4):263

epidemiología, cáncer

de esófago, y factores predisponentes, 7(4):259

de mama, clínica y estadiaje del, 6(1):54

de ovario, biología v correlación

clínico-patológica, 2(1):52 gástrico.

en el Ecuador, 6(3):205

en Tungurahua, Resultados del cantón Quero, 4(1):33

epidemiológico, Estudio, clínico y endoscópico a poblaciones rurales del litoral ecuatoriano, Cáncer gástrico, 3(1):31

epidemiológicos, Factores, e incidencia del cáncer gástrico en población hospitalaria y rural de Manabí, 5(2):33

epidermoide infiltrante del clitoris, Carcinoma, Caso clínico, 7(1):79

epidermoides del tiroides, Carcinoma. Presentación de dos casos, 6(4):324

epitelial de ovario, Tratamiento quirúrgico del cáncer, 7(1):43

equipamiento, Instalación y, en los departamentos de Radioterapia y Física Médica, 9(3-4):355

escamocelular de piel, Radioterapia en el tratamiento del carcinoma basocelular y. Revisión de 5 años, 9(1-2):72

esófago,

Cáncer de, Epidemiología y factores predisponentes, 7(4):259

El cáncer de, inoperable, Tratado con irradiación bifraccionada acelerada. 3(1):47

Tratamiento paliativo de los tumores malignos del, 9(1-2):169

esplenectomía, post-, Infecciones, en pacientes oncológicos, 7(3):219

espontaneidad del cáncer, La, 6(2):155

esputo fijado, lavado bronquial y cepillado, Cáncer bronquial, Revisión de 5 años en el INOR, 7(2):97

Estabilización de la enfermedad recurrente con braquiterapia en 3 casos con cordomas sacros previamente irradiados, 9(3-4):297

Estadiaje,

Epidemiología clínica y, del cáncer de mama, 6(1):54

pronóstico y tratamiento del carcinoma vulvar, Importancia de la linfadenectomía en el, Vulvectomía radical, 7(4):251

Quirúrgico, Cáncer de endometrio, Estudio estadístico y, Solca 1990-1994, 4(1):39

estadificación del cáncer de pulmón, No células de avena, Métodos de imágenes en la, 5(1):15

esteroatáxica de mama, Biopsia, Estructura de la glándula mamaria, 6(1):7

estómago,

Anatomía quirúrgica del, 6(3):215 Radioterapia en el tratamiento del cáncer de, 6(3):259

Estesioneuroblastomas: Experiencia en el ION-SOLCA, 8(1):159

estómago, melanoma matigno metastásico en, Hemorragia originada por, Reporte de casos clínicos, 8(4):467

Estrógenos - Cáncer ginecológico -Reposición Hormonal, 7(1):59

Estudio retrospectivo sobre lesiones preneoplásicas de colon desde 1990-2000 en el servicio de gastroenterología del Hosp. Juan Tanca Marengo ION-Solca, Guayaquil, Revisión de la literatura, 10(4):213

etanol, inyección intratumoral de, Tratamiento del carcinoma hepatocelular mediante la, 7(4):292

ético, enfoque, en el paciente afecto de cáncer de cabeza y cuello, 9(1-2):151 Evaluación,

de la injuria pulmonar aguda, 8(4):426 del Liatek III para el diagnóstico confirmatorio del VIH, ION-SOLCA, 8(4):451

evolución

cronológica de la laringoscopía, 10(4):221 de las nomenclaturas histológicas, Colposcopía: Enfoque a la, 7(1):11

Experiencias con determinaciones de PSA, 4(1):73

extragonadal, endometriosis, Adenosarcoma de Müller originado en, (transformación maligna de quiste endometriósico del omentum). Reporte de un caso y revisión

de la literatura, 7(4):295

extramamaria, Enfermedad de Paget, Aportación de un caso de localización vulvar, 1(1-2):20

extraovárico, Tumor de Brenner, Reporte de caso clínico, 2(1):68

extrapulmonar, Tuberculosis, y cáncer cervical: Reporte de un caso y revisión de la literatura, 7(1):72

extremidades, Sarcoma de

partes blandas de, Experiencia de 20 años, 3(1):15

tejidos blandos de, ION SOLCA. Estudio retrospectivo. Análisis múltiples variables de pronóstico, 9(1-2):65

Factores,

de riesgo en cáncer de mama, 6(1):56 epidemiológicos e incidencia del cáncer gástrico en población hospitalaria y rural de Manabí, 5(2):33

pronósticos de sobrevida en adultos con Sarcomas de artes blandas de extremidades, Cuadro clínico, patológico y, 9(1-2):28

en Cáncer de Colon Resecable: Hospital Belén, Trujillo - Perú, 8(2):201

en cáncer diferenciado del tiroides, 9(3-4):203

y predictivos en el cáncer de mama, 6(1):59

"Fantasias de dispersión", Cáncer e imagen corporal, 4(1):75

faringeo, Cierre inmediato, postlaringectomia, 8(4):433

febriles post-transfusionales, Reacciones 7(3):171

femenino

(I), Desarrollo embriológico del aparato genital, 7(1):5

tracto genital inferior, La tuberculosis como pseudo tumor del, Reporte de caso clínico, 3(1):72

Fibroma osificante, Presentación de un caso y resumen de la literatura, 9(3-4):360

Fibromialgia: una posibilidad, Dolor generalizado en pacientes con cáncer, 8(4):476

fibroquísticos de la mama, Cambios,

292 · Oncología

Fisiopatología y tratamiento, 6(1):48 médica: valor clínico y aplicaciones. y lesiones proliferativas preneoplásicas, 10(3):151 6(1):37 99mTc-sestamibi, cáncer, Fibrosarcoma de ovario: Reporte de un mama, 6(4):345 caso, 7(2):143 tiroides, 6(4):328 Fighting against cancer now and in the ganglios negativos, Carcinoma mamario, future, 6(2):115 Manejo de pacientes con, 5(2):51 filodes de la mama, Enfermedad, 1(1-2):75 gastrointestinal crónico, sangrado, de Física Médica, Instalación y equipamiento en origen desconocido, Terapia médica para, los departamentos de Radioterapia y, 9(1-2):161 9(3-4):355 gástrico, cáncer, Fisiología de la glándula mamaria, 6(1):9 avanzado, Controversias actuales en el fisiopatología y tratamiento, Cambios tratamiento del, 6(3):263 fibroquísticos de la glándula mamaria, cirugía, Complicaciones postoperatorias 6(1):48 de la, 6(3):245 foco séptico, Detección de, mediante Diagnóstico. gammagrafía, 7(3):189 clínico del, 6(3):231 Formas clínicas de presentación en tumores endoscópico del, Reporte casos cerebrales, 8(1):41 clínicos, 6(3):272 Formas infecciosas pseudotumorales en el por imagen en el, 6(3):233 sistema nervioso central, 7(3):199 temprano, "strip biopsy", 6(3):275 Fr/Vt (frecuencia/volumen Tidal) como y prevención, 3(1):23 predictor de liberación de la ventilación diminuto, Reporte de caso clínico, 4(1):82 mecánica en pacientes oncológicos. Estudio epidemiológico, clínico v 9(1-2):145 endoscópico a poblaciones rurales del función vaginal, Alternativa quirúrgica para litoral ecuatoriano, 3(1):31 conservar la, en el tratamiento radical del Experiencia de 10 años, 2(1):33 carcinoma de cérvix, 5(2):23 Nutrición enteral precoz en postquirúrgico de, 7(4):263 Semiología del, 6(3):227 Galio-67, Utilidad del, en oncología, 2(1):61 Simposium de, 6(3):203 Gammagrafía, temprano, diagnosticado por "strip cáncer de mama, en el, 6(1):61 biopsy", 6(3):275 de la perfusión cerebral en neurología y Tratamiento. neurocirugía, 8(1):67 quimioterapia adyuvante y Detección de foco séptico mediante, neoadyuvante, 6(3):255 7(3):189 quirúrgico del, 6(3):237 evolutiva mediante 99mTc-sestamibi. gástrico, carcinoma, Uso de los marcadores Significado de los hallazgos mediante tumorales en el diagnóstico del, 7(2):132 la. Carcinoma diferenciado de tiroides Gastrointestinal, Detección de hemorragia, tratado con I-131, Reporte de casos mediante gammagrafia, 6(2):133 clínicos, 8(4):470 genital femenino. hemorragia gastrointestinal, Detección Desarrollo embriológico del aparato, 7(1):5 de, mediante, 6(2):133 inferior, La tuberculosis como mediante 99mTc-sestamibi, en pacientes pseudotumor del tracto, Reporte de con sospecha de cáncer de mama, caso clínico, 3(1):72 8(2):215 genoma humano, El, Editorial, 10(1-2):5 ósea germinales malignos, Tumores, secretantes de en el cáncer de la mama, 4(1):23 Alfa-Fetoproteina, en el niño, 8(3):354 y PSA en cáncer de próstata, 4(1):7 Germinoma intracraneal con lesiones

oof &

supraselar: Consideraciones diagnósticas Hamartoma; Hallazgos clínicos y y terapéuticas, 8(1):151 Ginecología Oncológica, Papel de la cirugía diagnóstico por imágenes, 8(2):244 Transplante, Indicaciones y laparoscópica en, 7(1):39 contraindicaciones del, 8(4):480 ginecológico, Cáncer - Estrógenos - Reposición hepatitis crónica por VHC, Tratamiento de la, con hormonal, 7(1):59 interferón Alfa 2b recombinante en Imagen en el cáncer, 7(1):19 Simposium de cáncer, 7(1):3 pacientes pediátricos con enfermedad Ginecomastia, 6(1):51 neoplásica, 10(1-2):55 viral, Resumen del primer consenso glándula nacional, abril 1999, 9(3-4):348 mamaria. hepatocelular, carcinoma, Cambios fibroquísticos de la, tipo Fibrolamelar, Reporte de un caso y Fisiopatología y tratamiento, 6(1):48 revisión de la literatura, 8(1):241 Estructura de la, 6(1):7 Tratamiento del, 8(2):258 Fisiología de la, 6(1):9 hereditarios, Caracteres, de las células suprarrenal, Histogénesis de tumores cancerosas, 6(2):154 de, 9(3-4):191 Hierro, Infecciones y la anemia de Tumores malignos de la, 6(1):38 inflamación, 6(4):379 tiroides, Tratamiento quirúrgico de los hígado, Anatomía quirúrgica del, 8(4):443 tumores de la, 1(1-2):46 Guillermo Paulson Bejar, Dr. semblanza Hipertensión endocraneana en el postquirúrgico de tumor cerebral, 8(1):99 del, 2(1):58 hipófisis, Tumores de la, experiencia en el Hosp. L. Vernaza 1977-1999, 9(3-4):235 Н Histiocitosis de células de Langerhans Hallazgos radiológicos de procesos (Histiocitosis X) asociada a otra neoplasia, infecciosos mamarios benignos que Reporte de un caso, 9(1-2):99 semejan neoplasias, 7(4):284 Histogénesis de tumores de glándula Hamartoma hepático: Hallazgos clínicos y suprarrenal, 9(3-4):191 diagnóstico por imágenes, 8(2):244 histológica, Helicobacter Pylori Clasificación, de tumores y lesiones Análisis de tres diferentes métodos para el diagnóstico de la infección por, relacionados con el cuerpo uterino, 7(1):33 10(1-2):73 confirmación, Lesiones mamarias en pacientes del litoral ecuatoriano, clínicamente ocultas: Procedimientos Seroprevalencia del, 7(2):93 Informe de investigación Fase Pillaro. radiológicos para su localización y, Prevalencia de, Pillaro 1996, ION-SOLCA, 8(2):211 Correlación colpocitológia e, de la 9(1-2):123 y lesiones premalignas, 6(3):221 neoplasia cervical intraepitelial (NIC) hemocultivos positivos, Análisis de, en el en el ION-SOLCA, 6(2):149 histológicas, Colposcopía: Enfoque a la Lab de Microbiología del ION-SOLCA, evolución de las nomenclaturas, 7(1):11 desde mayo-96 a mayo-97, 7(3):213 Historia. Hemorragia digestiva alta originada por melanoma clínica, 6(1):12 del Instituto del Cáncer, Reseña histórica, maligno metastásico en estómago, Casos Clínicos, 8(4):467 7(2):128 natural del cáncer de mama, 6(1):54 gastrointestinal, Detección de, mediante histórica, Reseña: Dr. Julio Salem Dibo, gammagrafía, 6(2):133 hepáticas, Resecciones, 9(3-4):341 6(4):362 Hodgkin, hepático. Enfermedad de, Revisión de la, Hospital

renal y de vías urinarias en la práctica

simultáneas en las regiones pineal y

de Solca, 8(3):351	Cáncer de colon, (1990-1994), 4(1):19
linfoma de, 1(1-2):33	del cáncer
linfoma no,	de riñón en el ION-Solca, Guayaquil,
Análisis del enfoque terapéutico del,	10(3):133
1(1-2):25	gástrico
en pacientes pediátricos, 2(1):29	en población hospitalaria y rural de
Linfocitopenia T periférica en, Un	Manabí, Factores
estudio de seguimiento, 10(1-2):67	epidemiológicos e, 5(2):33
hombre, Cáncer de mama en el, 6(1):90	en Solca, Machala, 10(4):209
Homenaje póstumo, Dr. Kléber Suárez	del tumor de Wilms. 90-97 ION-SOLCA,
Villacrés, 10(1-2):80	8(3):334
hormonal, Reposición - Estrógenos - Cáncer	del Rabdomiosarcoma en el ION-SOLCA
ginecológico, 7(1):59	1990-97, 8(3):341
Hormonoterapia, en cáncer de mama,	Indicaciones y contraindicaciones del
6(1):76	trasplante hepático, 8(4):480
Hospitalaria: reflexiones del director, 5(2):48	infancia, Tratamiento de la leucemia linfoide
humana, Atención, Tema de psicología:,	aguda de la, 10(1-2):33
6(2):163	infección por Helicobaxter Pylori, Análisis de
humano	tres diferentes métodos para el
El genoma, Editorial, 10(1-2):5	diagnóstico de la, 10(1-2):73
y <i>neoplasia</i> cervical, Papiloma virus,	Infecciones
7(1):7	en pacientes inmunodeprimidos,
1(1).	Prevención de, 7(3):159
1	nosocomiales del sistema
ictericia, La, como manifestación de un	nervioso central, 8(1):107
proceso oncológico, 5(2):45	postesplenectomía en pacientes
ictericias obstructivas, Endoprotesis en las,	oncológicos, 7(3):219
9(3-4):380	y <i>la anemia</i> de inflamación, Hierro,
lieo-transverso anastómosis en	6(4):379
telescopaje, Técnica quirúrgica,	infecciosas
ION-SOLCA, 8(4):464	y cáncer, Simposium de enfermedades,
imagen,	7(3):157
corporal,	formas, psudotumorales en el sistema
Cáncer e, Fantasías de "dispersión",	nervioso central, 7(3):199
4(1):75	· ·
Enfermedad e, 3(1):62	inflamación, anemia de, Hierro, infecciones, 6(4):379
Diagnóstico por,	Inflamatoria intestinal, enfermedad,
de las metástasis raquimedulares,	
8(1):123	Cáncer y pre-cáncer en pacientes con,
en el cáncer gástrico, 6(3):233	8(3):372 Tratamiento mádico, 9/3\296
en el cáncer gastrico, 6(3):233 en el cáncer ginecológico, 7(1):19	Tratamiento médico, 8(3):386
imágenes	inflamatorio, avanzado e, Cáncer de mama,
→	6(1):88
diagnóstico por, Hamartoma hepático: Hallazgos clínicos y, 8(2):244	Informe de investigación Fase Pillaro.
- , , ,	Prevalencia de Helicobacter Pylori. Pillaro
Métodos de, en la estadificación del	1996, 9(1-2):123
cáncer de pulmón, No células en	injuria pulmonar aguda, Evaluación de la,
avena, 5(1):15 imagenológica, Correlación, y anátomo	8(4):426
quirúrgica de los tumores cráneofaciales,	inmunodeprimidos, Prevención de
10(1-2):76	infecciones en pacientes, 7(3):159
incidencia,	inmunohistoquímica, citogenética, Sarcomas de partes blandas: Historia
moraciicia,	parcomas de partes plandas: Historia

natural, 9(1-2):9 inmuno-linfogammagrafía con anticuerpos monoclonales, Diagnóstico de las metástasis linfáticas en el cáncer de la mama mediante, 1(1-2):54 in situ, cáncer mamario no invasor, 6(1):94 Instalación y equipamiento en los departamentos de Radioterapia y Física Médica, 9(3-4):355 Instituto del Cáncer, Historia de, Reseña histórica, lodo-131. 7(2):128 Gustave Roussy, Acciones realizadas por el, en América Latina, 2(1):66 interferón alfa 2b recombinante, Tratamiento de hepatitis crónica por VHC con, en pacientes pediátricos con enfermedad neoplásica, 10(1-2):55 Internet para Onco-Hematólogos, 8(2):227 Intestinal, enfermedad inflamatoria, Cáncer y pre-cáncer en pacientes con, 8(3):372 3(1):47 Tratamiento médico, 8(3):386 Intestino. delgado, Neoplasias malignas del, Estudio retrospectivo de 1988-1997, ION-SOLCA, 8(4):415 enfermedad inflamatoria crónica del, Cáncer colorectal y, La Habana, Cuba, 5(2):41 8(2):252 intra abdominales, Abscesos, 7(3):177 6(4):362 intracraneal, Germinoma, con lesiones simultáneas en las regiones pineal y supraselar: Consideraciones diagnósticas y terapéuticas, 8(1):151 intraepitelial cervical NIC, Diagnóstico y tratamiento de la neoplasia, 7(1):15 III, Neoplasia cervical, en Solca machala, La 3(1):27 (NIC), neoplasia cervical, en el ION-SOLCA, Correlación colpocitológica e histológica, 6(2):149 1(1-2):10 intraóseos primarios, Meningiomas, Formas raras de neoplasias en la convexidad gammagrafía craneal, 7(2):123 intratorácicas pseudotumorales, sombras, de origen cardiovascular, 6(4):317 intratumoral de etanol, inyección,

invasor, in situ, cáncer mamario no, 6(1):94 Inversión uterina simulando patología tumoral cervical, Caso clínico, 7(1):75 investigación Fase Pillaro, Informe de. Prevalencia de Helicobacter Pylori. Pillaro 1996, 9(1-2):123 inyección intratumoral de etanol, Tratamiento del carcinoma hepatocelular mediante la, 7(4):292 Carcinoma diferenciado de tiroides tratado con, Significado de los hallazgos en la gammagrafía mediante 99mTcsestamibi, Reporte de casos clínicos, 8(4):470 Tratamiento individualizado del cáncer diferenciado de tiroides mediante, dosimetría, 9(3-4):245 irradiación bifraccionada acelerada, Tratado con, El cáncer de esófago inoperable, José Eduardo Molestina Roca, Dr. Semblanza del, 4(1):71 Juan Tanca Marengo, Dr. Biografía del, médico y maestro, Reseña histórica, Julio Salem Dibo, Dr. Reseña histórica:, Kléber Suárez Villacrés, Dr. Homenaje póstumo, 10(1-2):80 Krukenberg, Tumor de, Reporte de caso clínico, 6(3):277 biopsia percutánea con aguja fina en las lesiones mediastinales y pulmonares, endocrinología a través del tiempo, Editorial, 9(3-4):189 en los linfomas malignos, 10(1-2):23 ósea en el cáncer de la mama, 4(1):23 renal y de vías urinarias en la práctica médica: valor clínico y aplicaciones,

10(3):151

ictericia como manifestación de un

Tratamiento del carcinoma hepatocelular

mediante la, 7(4):292

proceso oncológico, 5(2):45 Experiencia de 2 años en el INOR. lucha contra el tabaco en el Ecuador, 9(1-2):119 Editorial, 2(1):5 laringoscopía, Evolución cronológica de la, pregunta radiológica, Reporte de un caso, 10(4):221 9(3-4):339 lavado bronquial y cepillado, esputo fijado, psico-oncología, 10(1-2):90 Cáncer de pulmón, Revisión de 5 años en radioterapia en el tratamiento el INOR, 7(2):97 conservador del cáncer del seno. Leiomioma gigante: Reporte de un caso, 2(1):7 7(1):67 paliativo del cáncer, 4(1):87 lengua, tuberculosis como pseudotumor del tracto Cáncer de, Estudio de 10 años, INOR, genital inferior femenino, Reporte de Habana, 9(1-2):135 caso clínico, 3(1):72 Carcinoma de, 1(1-2):50 supervisión en los servicios de lesiones. enfermería, 1(1-2):73 premalignas, Helicobacter pylori y, Langerhans, Histiocitosis de células de, 6(3):221 asociada a otra neoplasia. Reporte de un caso, preneoplásicas de colon 9(1-2):99 Estudio retrospectivo sobre, desde laparoscopia. 1900-2000 en el servicio de eco-, en patología digestiva, 7(2):111 gastroenterología del Hosp. Juan en cáncer: otra área de controversia. Tanca Marengo ION-Solca. 9(1-2):173vs Guayaquil, Revisión de la literatura, laparotomía, Resección colo-rectal por 10(4):213 cáncer, comparación de la extensión de y su manejo endoscópico, 1(1-2):16 los márgenes de resección y de la proliferativas preneoplásicas. Cambios linfadenectomía mesentérica, 7(4):274 fibroquísticos de la mama y, 6(1):37 laparoscópica. mamarias clínicamente ocultas: El cáncer y la cirugía, Editorial, 8(4):405 Procedimientos radiológicos para su cirugía, Papel de la, en Ginecología localización y obtención de material Oncológica, 7(1):39 para confirmación histológica: laparotomía, laparoscopía vs. Resección ION-SOLCA, 8(2):211 color-rectal por cáncer, comparación de la metastásicas de la columna vertebral: extensión de los márgenes de resección y Descompresión quirúrgica vs de la linfadenectomía mesentérica. radioterapia, 8(1):137 7(4):274 Leucemia laríngea, aguda, Radioterpia profiláctica sobre el Cirugía parcial, 7(4):243 sistema nervioso central en pacientes Cirugía radical. Complicaciones. pediátricos con, Revisión de 5 años. 7(4):247 10(4):187 laringe, Cáncer de, linfoblástica aguda en el niño, Inst. 6(4):305 Hematología, Habana, Cuba, 8(3):300 10(4):193 Linfoide Aguda, laringectomía, post-, Cierre inmediato de la infancia, Tratamiento de la, faringeo, INOR, Habana, 8(4):433 10(1-2):33 Laringectomías subtotales en el carcinoma Resultados preliminares con el laríngeo. Experiencia de 2 años en el protocolo Solca 95, 8(3):347 INOR, 9(1-2):119 Leucemias Agudas del niño. Anomalías de la laríngeo, Carcinoma, banda cromosómica Ilg23, Análisis clínico Incidencia en el INOR en 10 años (81-90), y pronóstico, 8(3):360 7(2):101 leukemia, Childhood acute lymphoblastic,

8(3):309

mucinoso de colon, variante de células en confirmatorio del VIH, ION-SOLCA, anillo de sello, Presentación de un caso, 8(4):451 9(1-2):153 linfadenectomía Lipomas mesencefálicos dorsales: en el estadiaje, pronóstico y tratamiento Consideraciones diagnósticas y del carcinoma vulvar. Vulvectomía radical, 7(4):251 mesentérica, Resección colo-rectal por cáncer, comparación de la extensión de los márgenes de resección y de la, 7(4):274 Linfadenitis tuberculosa mediastinal del adulto VIH negativo (con parénquima pulmonar normal) en área de alta prevalencia, presentación psudotumoral, Reporte de 3 casos, 7(2):105 Linfangioma retroperitoneal, Caso Clínico:, 6(4):375 linfáticas, Diagnóstico de las metástasis, en el cáncer de la mama mediante inmunogammagrafía con anticuerpos malignos. monoclonales, 1(1-2):54 Linfoblástica aguda en el niño, Leucemia, Inst. Hematología, Habana, Cuba, mama. 8(3):300 Linfocitopenia T periférica en linfomas no Hodgkin, Un estudio de seguimiento, 10(1-2):67 Linfoma cutáneo, Electronterpia corporal total en, Revisión de aspectos clínicos y técnica de tratamiento, 10(4):223 de Hodgkin, 1(1-2):33 No Hodgkin, Análisis del enfoque terapéutico del, 1(1-2):25 en pacientes pediátricos, 2(1):29 Revisión de las terapias en los, Solca 1986-1997, 8(3):344 primario del Sistema Nervioso Central, Reporte de Caso, 8(1):159 linfomas malignos, La gammagrafía en los, 10(1-2):23 no-Hodgkin del anillo de Waldeyer, Cuadro clínicopatológico y sobrevida en, 9(1-2):138 Linfocitopenia T periférica en, Un estudio de seguimiento, 10(1-2):67

Liatek III, Evaluación del, para el diagnóstico

terapéuticas, 8(1):145 Luchando contra el cáncer ahora y en el futuro, 6(2):195 Luis Alonso Nevárez Zurita, Dr. Semblanza, 7(2):130 Lung cancer and the role of smoking, Editorial, 5(1):3 Lymphoblastic leukemia, acute, Childhood, 8(3):309 malignas, Neoplasias, del intestino delgado, Estudio retrospectivo de 1988-1997, ION-SOLCA, 8(4):415 Lesiones premalignas y tumores, de vulva y vagina, 7(1):27 tumores, de la glándula mamaria, 6(1):38 Anatomía quirúrgica de la,, 6(1):6 Apariencia morfológica de los tumores benignos de la, 6(1):30 Cambios fibroquísticos de la, y lesiones proliferativas preneoplásicas, 6(1):37 Cáncer de, Aspectos psicológicos en, 6(1):84 biópsia en el cáncer de, 6(1):21 Diagnóstico de las metastasis linfáticas en el, mediante inmunogammagrafia con anticuerpos monoclonales, 1(1-2):54 El nódulo centinela en, Editorial, 9(1-2):117 Enfermedad filodes de la, 1(1-2):75 Epidemiología clínica y estadiaje, 6(1):54 en el homnre, 6(1):90 etapa II, 10(1-2):49 Experiencia de 10 años, 3(1):39 Factores. de riesgo en, 6(1):56 pronósticos y predictivos, 6(1):59 Gammagrafía. en el, 6(1):61 mediante 99mTc-sestamibi en Linitis plástica colónica, Carcinoma pacientes con sospecha de,





Laringectomías subtotales en el,

8(2):215 ósea en el, 4(1):23 sestamibi-99mTc, 6(4):345 Historia natural del, 6(1):54 Hormonoterapia en, 6(1):76 localmente avanzado e inflamatorio, 6(1):88 Protocolo, en SOLCA, 6(1):101 Protocolos de manejo del, 3(1):58 Quimioterapia adyuvante en, 9(3-4):313 adyuvante en, 10(1-2):61 en, 6(1):75 Tratamiento conservador del, 9(3-4):374 Radioterapia en, 6(1):79 Tratamiento mediante protocolos, 6(1):66 y embarazo, 6(1):93 La biopsia esteroatáxica del, 6(1):26 La citología del, 6(1):24 Tratamiento quirúrgico de los tumores benignos de la, 6(1):46 Estructura de la glándula, 6(1):7

mamaria.

Fisiología de la glándula, 6(1):9 La reconstrucción, 6(1):71 reconstrucción, inmediata (RM), Colgajo del músculo recto anterior del abdomen en la, 4(1):49 Tumores malignos de la glándula, 6(1):38

mamarias clínicamente ocultas, Lesiones: Procedimientos radiológicos para su localización y obtención de material para confirmación histológica: ION-SOLCA, 8(2):211

mamario.

Cáncer, no invasor: in situ, 6(1):94 Carcinoma, Manejo en pacientes con ganglios negativos, 5(2):51 Manejo del nódulo, 6(1):44 mamarios benignos, procesos infecciosos, Hallazgos radiológicos, que semejan neoplasias, 7(4):284 Mamografía, 6(1):16 mamográfico, Diagnóstico, en pacientes de SOLCA Machala, 8(2):189 Manejo, anestésico del paciente quirúrgico

neuro-oncológico, 8(1):81

del cáncer mediante protocolos, 3(1):56 neurointensivo de los pacientes con tumores cerebrales, 8(1):89 Protocolos de, del cáncer de mama, 3(1):58 del nódulo mamario, 6(1):44

marcadores tumorales

Breve revisión de la importancia de los, 1(1-2):67 en el diagnóstico del carcinoma gástrico,

Uso de, 7(2):132

Mastología, Editorial: Primer Curso de, 6(1):3 Mecanismos moleculares de activación oncogénica, 6(4):390

mediastinal, Linfadenitis tuberculosa, del adulto VIH negativo (con parénquima pulmonar normal) en área de alta prevalencia, presentación pseudotumoral, Reporte de 3 casos, 7(2):105

mediastinales y pulmonares, La biopsia percutánea con aguja fina en las lesiones, 1(1-2):10

mediastino posterior, Schwannoma benigno de, Reporte de caso clínico, 4(1):77

Medicina Nuclear: 1994, Aplicaciones en oncología de la, 3(1):82

medular metastásica, Compresión, y carcinomatosis leptomeningea, 8(1):51

medular-papilar de tiroides, Carcinoma mixto, Reporte de un caso, 9(3-4):263

Meduloblastomas, 8(1):75

Melanoma

Incidencia en ION SOLCA 1993-1997, 9(1-2):57 maligno metastásico en estómago, Hemorragia digestiva alta originada por, Reporte de casos clínicos, 8(4):467

Meningiomas intraóseos primarios: Formas raras de neoplasias en la convexidad craneal, 7(2):123

Merkel, Carcinoma de células de. Presentación de un caso, 8(2):248

mesencefálicos dorsales, Lipomas: Consideraciones diagnósticas y terapéuticas, 8(1):145

mesenquimatoso, Tumores

retroperitoneales de origen, 9(1-2):51

mesentérica, linfadenectomía, Resección colo-rectal por cáncer, Laparoscopía vs laparotomía, comparación de la extensión

de los márgenes de resección y de la, 7(4):274

metastásica, Compresión medular, y carcinomatosis leptomeningea, 8(1):51 metastásicas, lesiones, Tratamiento de las,

de la columna vertebral: Descompresión quirúrgica vs Radioterapia, Controversias en Neuro-Oncologá, 8(1):137

Metástasis

cerebrales.

Consideraciones diagnósticas clinicas y de neuroimagen, 8(1):7 Valoración por tomografía axial computorizada, 8(1):23 Retos terapéuticos en el manejo de las, Quimioterapia, Cirugía o Radioterapia?, 8(1):29

linfáticas en el cáncer de la mama, Diagnóstico de las, mediante inmunogammagrafía con anticuerpos monoclonales, 1(1-2):54

pulmonares por carcinoma diferenciado de Tiroides, 6(2):169

ocular como presentación clínica inicial, Comportamiento invasivo de un microcarcinoma papilar de tiroides con, Reporte de un caso, 9(3-4):269 raquimedulares, Diagnóstico por imagen de las, 8(1):123

Métodos de imágenes en la estadificación del cáncer de pulmón, No células en avena, 5(1):15

Micosis sistémicas y oportunistas asociadas al SIDA. Reporte de 18 casos en Ecuador, 8(2):207

microbiológico, Perfil, del paciente infectado del ION "Dr. Juan Tanca Marengo", 10(1-2):99

microcarcinoma papilar de tiroides, Comportamiento invasivo de un, con metástasis ocular como presentación clínica inicial, Reporte de un caso, 9(3-4):269

Midazolam oral en vista preanestésica, 10(4):177

molecular

del cáncer, Biología, 6(2):181 Técnicas de diagnóstico, 7(2):137 moleculares, Mecanismos, activación oncogénica, 6(4):390

Molestina Roca, Dr. José Eduardo,

Semblanza del, 4(1):71

Monitoreo en Neuroanestesia, 8(1):129 morfológica, Apariencia, de los tumores benignos de la mama, 6(1):30

mortalidad

del cáncer de cérvix, ¿Como disminuir la, hacia el año 2000?, Editorial, 5(2):3

en pacientes con cáncer en Cuidados Intensivos, ventilados vs no ventilados, 9(3-4):324

en pacientes con cáncer en Cuidados Intensivos, ventilados vs no ventilados, Carta al Editor, 10(1-2):81

Tendencia de la, por cáncer de pulmón en el Ecuador, 5(1):5

mucinoso de colon, Carcinoma, variante de células en anillo de sello, Linitis plástica colónica, Presentación de un caso, 9(1-2):153

muerte, Causas de, por cáncer de cérvix uterino en pacientes que se realiza necropsia en el INOR (1980-1994), 9(3-4):308

Müller, Adenosarcoma de, originado en endometriosis extragonadal (transformación maligna de quiste endometriósico del omentum). Reporte de un caso y revisión de la literatura, 7(4):295

músculo recto anterior del abdomen, Colgajo del, en la reconstrucción mamaria inmediata (RM), 4(1):49

N

nasofaringeo

Angiofibroma, Presentación de un caso, 5(2):56

Tratamiento combinado en el cáncer, INOR, Habana, 8(4):411

necropsia, Causas de muerte por cáncer de cérvix uterino en pacientes que se realiza, en el INOR (1980-1994), 9(3-4):308

Nefroblastoma bilateral, tumor de Wilms, Reporte de caso clínico, 3(1):69

neoadyuvante, Tratamiento con quimioterapia adyuvante y, en el cáncer gástrico, 6(3):255

neoplasia

cervical intraepitelial (NIC) en el ION-SOLCA, Correlación colpocitológica e histológica, 6(2):149 cervical (I), Papiloma virus humano y,

7(1):7 cervical intraepitelial III en Solca Machala, 3(1):27 Formas raras de, en la convexidad craneal, Meningiomas intraóseos, 7(2):123

Hallazgos radiológicos en procesos infecciosos mamarios benignos que semejan, 7(4):284

intraepitelial cervical NIC, Diagnóstico y tratamiento de la, 7(1):15 papilar sólida y quística del páncreas.

Reporte de un caso y revisión bibliográfica, 7(4):280

quísticas de páncreas. Revisión de 5 años en el Hosp. Vernaza, 7(2):117

Neoplasias

de origen indeterminado, Valoración de la endoscopía digestiva en la investigación de, 8(3):392

malignas del intestino delgado. Estudio retrospectivo de 1988-1997, ION-SOLCA, 8(4):415

neoplásica, enfermedad, Tratamiento de hepatitis crónica por VHC con interferón Alfa 2b recombinante en pacientes pediátricos con, 10(1-2):55

Neumotórax

bilateral simultáneo, 6(2):165 espontáneo y cáncer, Reporte de tres casos y revisión de la literatura, 2(1):13

Neuroblastoma, Presentación de un caso y revisión de la literatura, 10(1-2):82

Neurofibrosarcoma retroperitoneal con trombosis de la vena cava inferior, Reporte de caso clínico, 2(1):75

nervioso central, sistema

Formas infecciosas psudotumorales en el, 7(3):199

Infecciones nosocomiales del, 8(1):107 Linfoma Primario del, Reporte de caso, 8(1):166

neuroanestesia, Monitoreo en, 8(1):129 Neuroblastoma. Presentación de un caso y revisión de la bibliografía, 10(4):249

Neuroblastomas, Los, 8(3):284

neurocirugía, Gammagrafía de la perfusión cerebral en neurología y, 8(1):67

Neurocisticercosis y oncogénesis: Estado actual y perspectivas de investigación, 8(1):47

neuroectodérmico, Tumor, primitivo periférico. Reporte de un caso y revisión de la literatura, 7(4):287

Neurofibromatosis tipo I asociada a un astrocitoma del cerebelo: Consideraciones generales, Reporte de caso, 8(1):170

neuroimagen, Metástasis cerebrales: Consideraciones diagnósticas clínicas y de, 8(1):7

neurointensivo, Manejo, de los pacientes con tumores cerebrales, 8(1):89 neurolítico, Bloqueo, del plexo celíaco en

dolor abdominal por cáncer, 2(1):49

neurología y neurocirugía, Gammagrafía de la perfusión cerebral en, 8(1):67

Neurologic complications of radiation therapy and chemotherapy, 8(1):55

neuro-oncología,

Controversias en. Tratamiento de las lesiones metastásicas de la columna vertebral: Descompresión quirúrgica vs Radioterapia, 8(1):137

Dolor en: Sintomatología y enfoque terapéutico, 8(1):117 Simposio de, 8(1):5

neuro-oncológico, Manejo anestésico del paciente quirúrgico, 8(1):81

Nevárez Zurita, Dr. Luís Alonso. Semblanza, 7(2):130

NIC, Tratamiento del, por Radiofrecuencia. Experiencia el ION-SOLCA, 8(2):183

niñez, Cáncer en la, Una reseña para pediatras generales y médicos familiares que practican en países en desarrollo. 8(3):273

niño,

Anomalías de la banda cromosómica IIg23 en las Leucemias Agudas del, Análisis clínico y pronóstico, 8(3):360 Tumores,

cerebrales del, Progresos y esperanzas, 8(3):294 germinales malignos secretantes de Alfa-Fetoproteina en el, 8(3):354

niños, Tumor carcinoide maligno en. Presentación de un caso y actualización, 8(3):368

Nódulo

centinela en cáncer de mama, Editorial, 9(1-2):117 mamario, Manejo del, 6(1):44

nomenclaturas histológicas, Colposcopía: Enfoque a la evolución de las, 7(1):11 nosocomiales, Infecciones, del sistem nervioso central, 8(1):107 Nuclear, Medicina, Aplicaciones en oncología de la, 1994, 3(1):82 Nutrición enteral precoz en post-quirúrgicos de cáncer gástrico, 7(4):263 0 omentum, transformación maligna de quiste endometriósico del, Adenosarcoma de Müller originado en endometriosis extragonadal. Reporte de un caso y revisión de la literatura, 7(4):295 oncogénesis, Neurocisticercosis y: Estado actual y perspectivas de investigación, 8(1):47 oncogénica, activación, Mecanismos moleculares de, 6(4):390 Onco-Hematólogos, Internet para, 8(2):227 oncología, Aplicaciones en, de la Medicina Nuclear: 1994, 3(1):82 Utilidad del galio-67 en, 2(1):61 Oncológica, Ginecología, Papel de la cirugía

laparoscópica en, 7(1):39

oncológico

Atención al paciente, 5(2):50 La ictericia como manifestación de un proceso, 5(2):45

oncológicos, pacientes,

Abandono del tratamiento de los, Estudio preliminar, 6(4):358 Infecciones postesplenectomía en,

7(3):219

Problemática psicológica en el, 1(1-2):71 Oncopediatría, Simposio de, Editorial, 8(3):271

ósea, Gammagrafía,

en el cáncer de la mama, 4(1):23 y PSA en cáncer de próstata, 4(1):7

osificante, Fibroma, Presentación de un caso y resumen de la literatura, 9(3-4):360

Osteosarcomas tratados en Solca 1990-97, Resultados de los, 8(3):337

ovario.

Androblastoma tubular de, Reporte de un caso y revisión bibliográfica, 7(1):77 Cáncer de, Epidemiología, biología y

correlación clínico-patológica, 2(1):52 Fibrosarcoma de, Reporte de un caso, 7(2):143

Tratamiento quirúrgico del cáncer epitelial de, 7(1):43

tumores malignos de, Ruptura de los, Experiencia de la sociedad Francesa de Oncología Pediátrica, 8(3):357

P

paciente

con cáncer, Toxoplasmosis en el, 7(3):183 El, su enfermedad y "algo más", 2(1):64 infectado del ION "Dr. Juan Tanca Marengo", Perfil microbiológico del, 10(1-2):99 oncológico. Atención al, 5(2):50

Problemática psicológica en el, 1(1-2):71

quirúrgico neuro-oncológico, Manejo anestésico del, 8(1):81

pacientes

con cáncer, Apache II en, 8(4):436 con ganglios negativos, Carcinoma mamario, Manejo de, 5(2):51 oncológicos,

Abandono de tratamiento de los, Estudio preliminar, 6(4):358 Fr /Vt como predictor de liberación de la ventilación mecánica en, 9(1-2):145

Infecciones postesplenectomía en, 7(3):219

Urgencias quirúrgicas abdominales en, 2(1):17

pediátricos,

Linfoma no Hodgkin en, 2(1):29 Tratamiento de hepatitis cronica por VHC con interferón Alfa 2b recombinante en, con enfermedad neoplásica, 10(1-2):55

Paget, Enfermedad de,

de la vulva, Caso clínico, 7(1):68 extramamaria, Aportación de un caso de localización vulvar, 1(1-2):20

paliativo del cáncer, La radioterapia en el tratamiento, 4(1):87

paliativos, Cuidados, objetivos y organización del equipo, Parte I, 6(4):373



Parte II, 7(2):136

páncreas

ectópico, Carcinoma mixto dúctulo-insular de la ampolla de Vater, originado en, Reporte de un caso, 9(3-4):259 Neoplasias quísticas del. Revisión de 5

años en el Hosp. Vernaza, 7(2):117

Papel de la

braquiterapia en el tratamiento del carcinoma de cérvix, 5(2):5 cirugía

en el tratamiento del cáncer pulmonar, 5(1):19

laparoscópica en Ginecología Oncológica, 7(1):39

Radioterapia en el tratamiento del cáncer pulmonar de células no pequeñas, 5(1):29

papilar, Neoplasia, sólida y quística del páncreas. Reporte de un caso y revisión bibliográfica, 7(4):280

papilomavirus de tipos 16 y 18 en biopsias de cuello uterino, Demostración de proteína E7 de, 9(3-4):318

Papiloma virus humano y neoplasia cervical, 7(1):7

Paraganglioma retroperitoneal, Reporte de un caso, 9(3-4):275

partes blandas,

Historia natural, inmunohistoquímica, citogenética, Sarcomas de, 9(1-2):9 y cáncer cutáneo, Sarcoma de, 9(1-2):6 Sarcoma de, 9(1-2):39

Sarcoma de, de extremidades. Experiencia de 20 años, 3(1):15

patología

digestiva. La eco-laparoscopia en. 7(2):111

tumoral cervical, Inversión uterina simulando, Caso clínico, 7(1):75

Paulson Béjar, Dr. Guillermo, semblanza del, 2(1):58

pediátricos, Tratamiento de hepatitis crónica por VHC con interferón Alfa 2b recombinante en paciente, con enfermedad neoplásica, 10(1-2):55

pene, cáncer del, Curieterapia en el, 8(2):235 percutánea,

Biopsia, de masas guiada por tomografía helicoidal correlacionada con diagnóstico patológico inmediato por

congelación, 10(4):263

La biopsia, con aguja fina en las tesiones mediastinales y pulmonares, 1(1-2):10

Pérez-Larraza, Síndrome, Presentación de un caso y revisión de la literatura. 10(1-2):85

Perfil microbiológico del paciente infectado del ION "Dr. Juan Tanca Marengo", 10(1-2):99

perfusión cerebral en neurología y neurocirugía, Gammagrafía de la, 8(1):67

pericárdico maligno, Derrame: Reporte de tres casos y revisión de literatura, 8(2):195

periférico, Tumor neuroectodérmico primitivo. Reporte de un caso y revisión de la literatura, 7(4):287

perinales, Colostomías, "Pseudocontinentes", 3(1):13

peritoneal, Pseudomixoma, 10(4):245

Peritonitis bacteriana espontánea, 8(3):374 plaquetas, Trombopoietina. Aprendiendo a manipular las, 8(3):319

Plasmocitoma, 9(1-2):107

plexo celíaco, Bloqueo neurolítico del, en dolor abdominal por cáncer, 2(1):49

población hospitalaria y rural de Manabí, Factores epidemiológicos e incidencia dek cáncer gástrico en, 5(2):33

poblaciones rurales del litoral ecuatoriano, Cáncer gástrico: Estudio epidemiológico, clínico y endoscópico a, 3(1):31

postesplenectomía. Infecciones, en pacientes oncológicos, 7(3):219

postoperatorias, Complicaciones, de la cirugía gástrica por cáncer, 6(3):245

post-quirúrgico

de cáncer gástrico, Nutrición enteral precoz, 7(4):263 de tumor cerebral, Hipertensión

endocraneana en el, 8(1):99

post-transfusionales, Reacciones febriles, 7(3):171

preanestésica, Midazolam oral en vista, 10(4):177

pre-cáncer, Cáncer y, en pacientes con enfermedad inflamatoria intestinal, 8(3):372

predictivos en el cáncer de la mama. Factores pronósticos y, 6(1):59

premalignas, lesiones.

Helicobacter Pylori y, 6(3):221

y tumores malignos de vulva y vagina, 7(1):27

preneoplásicas, lesiones proliferativas preneoplásicas, Cambios fibroquísticos de la mama y, 6(1):37

Prevención

de infecciones en pacientes inmunodeprimidos, 7(3):159 Diagnóstico y, Cáncer gástrico, 3(1):23 prevention, Cancer, 8(4):407 primer consenso nacional de hepatitis viral,

Resumen, abril 1999, 9(3-4):348 primitivo, Tumor neuroectodérmico, periférico. Reporte de un caso y revisión de la literatura, 7(4):287

Problemática psicológica en el paciente oncológico, 1(1-2):71

Procedimientos radiológicos para su localización y obtención de material para confirmación histológica, Lesiones mamarias clínicamente ocultas, ION-SOLCA, 8(2):211

procesos infecciosos mamarios benignos que semejan neoplasias, Hallazgos radiológicos de, 7(4):284

Profesor doctor Juan Tanca Marengo, 1(1-2):64

Prolactinomas: tratamiento médico o quirúrugico, 9(3-4):225

proliferativas preneoplásicas, lesiones, Cambios fibroquísticos de la mama y, 6(1):37

pronóstico y tratamiento del carcinoma vulvar. Vulvectomía radical. Importancia de la linfadenectomía en el estadiaje, 7(4):251

pronósticos, Factores

en cáncer diferenciado del tiroides, 9(3-4):203

y predictivos en el cáncer de mama, 6(1):59

próstata,

cáncer de, Gammagrafía ósea y PSA en,

Carcinoma de, 1(1-2):7

Prostatectomía radical en el Hospital de Solca, 1996-1999, Estudio crítico,

proteína E7 de papilomavirus de tipos l6 y l8 en biopsias de cuello uterino, Demostración de, 9(3-4):318

Protocolo de cáncer,

estómago, en SOLCA, 6(3):280 mama, en SOLCA, 6(1):101 Solca 95 para el tratamiento de la Leucemia Linfoide Aguda, Resultados preliminares con el, 8(3):347

protocolos,

de manejo del cáncer de mama, 3(1):58 Manejo del cáncer mediante, 3(1):56 Tratamiento del cáncer de mama mediante, 6(1):66

PSA

Experiencias con determinaciones de,

Gammagrafía ósea y, en cáncer de próstata, 4(1);7

Pseudomixoma peritoneal, 10(4):245

pseudo tumor, La tuberculosis como, del tracto genital inferior femenino, Reporte de caso clínico, 3(1):72

pseudotumoral,

Disfagia, tuberculosa, Reporte de caso clínico, 3(1):64

presentación, Linfadenitis tuberculosa mediastinal del adulto VIH negativo (con parénquima pulmonar normal) en área del alta prevalencia, Reporte de 3 casos, 7(2):105

pseudotumorales, Formas infecciosas, en el sistema nervioso central, 7(3):199

psicología, Tema de:, atención humana, 6(2):163

psicológica, Problemática, en el paciente oncológico, 1(1-2):71

psicológicos, Aspectos, en cáncer de mama, 6(1):84

pulmonar

aguda, Evaluación de la injuria, 8(4):426 Anatomía patológica del cáncer, 5(1):9

pulmonares.

La biopsia percutanea con aguja fina en las lesiones mediastinales y, 1(1-2):10 Metástasis, por carcinoma diferenciado de

tiroides, 6(2):169

pulmón.

Adenocarcinoma de tipo fetal bien diferenciado de, Presentación de un caso clínico y revisión de la literatura, 10(4):239

Cancer de,



en el Ecuador, Tendencia de la tasa quirúrgico, cruda de mortalidad por, 5(1):5 Manejo, del cáncer colo-rectal estudio citológico de muestras de localmente avanzado, 6(2):121 neuro-oncológico, Manejo anestésico del esputo fijado, lavado bronquial y cepillado. Revisión de 5 años en el paciente, 8(1):81 INOR, 7(2):97 Tratamiento. Métodos de imágenes en la del cáncer cervical invasor, 7(1):47 estadificación del, No células en del cáncer epitelial de ovario, 7(1):43 avena, 5(1):15 de los tumores Carcinoma anaplásico a células pequeñas benignos de la mama, 6(1):46 de la glándula tiroides, 1(1-2):46 de, 5(1):39 quiste endometriósico del omentum, Q transformación maligna de, Quimioterapia, Adenosarcoma de Müller originado en endometriosis extragonadal. Reporte de advuvante un caso y revisión de la literatura, 7(4):295 en cáncer de mama, 9(3-4):313 en cáncer de mama, 10(1-2):61 quística del páncreas, Neoplasia. y neoadyuvante en el cáncer Papilar, sólida y, Reporte de un caso y gástrico, Tratamiento con, 6(3):255 revisión bibliográfica, 7(4):280 Revisión de 5 años en el Hosp. cáncer de cérvix uterino, 6(4):299 Vernaza, 7(2):117 mama, en, 6(1):75 R Catéteres venosos centrales Cirugía o Radioterpia? Retos terapéuticos en el Rabdomiosarcoma, Incidencia del, en el ION-SOLCA 1990-97, 8(3):341 en sarcomas de partes blandas, Papel de a, 9(1-2):86 radiation therapy and chemotherapy, manejo de las metástasis cerebrales:. Neurologic complications of, 8(1):55 8(1):29 radiofrecuencia, Tratamiento del NIC por, permanentes: uso en, complicaciones y Experiencia en el ION-SOLCA, 8(2):183 morbilidad, 6(2):127 radiológica, La pregunta, Reporte de un guirúrgica, caso, 9(3-4):339 Alternativa, para conservar la función radiológicos, vaginal, en el tratamiento radical del Hallazgos, de procesos infecciosos carcinoma de cérvix, 5(2):23 mamarios benignos que semejan Anatomía neoplasias, 7(4):284 de la mama, 6(1):6 Procedimientos, para su localización y de los tumores cráneofaciales, obtención de material para 9(3-4):331 confirmación histológica, Lesiones quirúrgica, Anatomía, del hígado, mamarias clínicamente ocultas, 8(4):443 8(1):137 descompresión, vs radioterapia, radioterapia, Tratamiento de las lesiones cáncer. metastásicas de la columna vertebral, estómago, 6(3):259 8(1):137 mama, 6(1):79 Técnica, La ileo-transverso anastomosis pulmonar de células no pequeñas, en telescopaje, ION-SOLCA, 8(4):464 Papel de la, en el, tratamiento del, quirúrgicas. Urgencias 5(1):29 abdominales en pacientes oncológicos. Complicaciones por, en el tratamiento del 2(1):17 cáncer de cérvix, 2(1):39

en el tratamiento

conservador del cáncer del seno,

paliativo del cáncer, 4(1):87 Papel de la, en el tratamiento del cáncer pulmonar de células no pequeñas, 5(1):29 Descompresión quirúrgica vs., Tratamiento de las metástasis de la columna vertebral, Controversias en Neurooncología, 8(1):137 en el tratamiento del carcinoma basocelular y escamocelular de piel. Revisión de 5 años, 9(1-2):72 Instalación y equipamiento en los departamentos de, y Física Médica, 9(3-4):355 postquirúrgica en sarcomas de partes blandas, 9(1-2):76 profiláctica sobre el sistema nervioso central en pacientes pediátricos con leucemia aguda. Revisión de 5 años, 10(4):187 Quimioterapia o Cirugía? Retos terapéuticos en el manejo de las metástasis cerebrales, 8(1):29 radium. Del, a la curieterapia moderna, 6(2):158 Ramírez, Dr. Eliseo, Diagnóstico citológico y el, 7(4):273 raquimedulares, metástasis, Diagnóstico por imagen de las, 8(1):123 Reacciones febriles post-transfusionales, 7(3):171 recaída/persistencia, Manejo terapéutico de la, del cáncer escamoso de cérvix, 7(4):235 reconstrucción mamaria *La*, 6(1):71 inmediata (RM), Colgajo del músculo recto anterior del abdomen en la, 4(1):49 rectal, colo-Cáncer, Experiencia de 10 años, 4(1):61 Diagnóstico endoscópico del cáncer, 7(4):269 rectal, Tuberculosis, Reporte de un caso y revisión de literatura, 9(1-2):157 reflexiones del director, Hospitalaria:, 5(2):48 Reporte de caso clínico. Adenosarcoma de Müller originado en endometriosis extragonadal (transformación maligna de quiste

2(1):7

endometriósico del omentum). revisión de la literatura, 7(4):295 de tipo fetal bien diferenciado de pulmón, Presentación de un caso clínico y revisión de la literatura, 10(4):239 Angiofibroma nasofaringeo, 5(2):56 cáncer de mama, 6(1):97 gástrico diminuto, 4(1):82 Carcinoma de células de Merkel, Presentación de un caso, 8(2):248 epidermoide del tiroides, 6(4):324 infiltrante del clítoris, 7(1):79 mixto dúctulo-insular de la ampolla de Vater, Originado en páncreas ectópico, 9(3-4):259 medular-papilar de tiroides, 9(3-4):263 mucinoso de colon, variante de células en anillo de sello, Linitis plástica colónica, 9(1-2):153 Comportamiento invasivo de un microcarcinoma papilar de tiroides con metástasis ocular como presentación clínica inicial, 9(3-4):269 Diagnóstico endoscópico de cáncer gástrico, 6(3):272 Disfagia pseudotumoral tuberculosa, 3(1):64 Elastofibroma, presentación de dos casos, 9(3-4):370 Enfermedad de Paget de la vulva, 7(1):68 Fibrosarcoma de ovario, 7(2):143 Fibroma osificante, 9(3-4):360 Hemorragia digestiva alta originada por melanoma maligno metastásico en estómago, 8(4):467 Histiocitosis de células de Langerhans (Histiocitosis X) asociada a otra neoplasia, 9(1-2):99 Inversión uterina simulando patología tumoral cervical, 7(1):75 La pregunta radiológica, 9(3-4):339 La tuberculosis como pseudo tumor del tracto genital inferior femenino, 3(1):72 Leiomioma gigante, 7(1):67

oncológicas, de origen abdominal en

niños, 8(3):328

306 · Oncología

Linfangioma retroperitoneal, 6(4):375
Neoplasia papilar sólida y quística del páncreas, revisión bibliográfica, 7(4):280

Nefroblastoma bilateral, Tumor de Wilms, 3(1):69

Neuroblastoma, y revisión de la bibliografía.

10(1-2):82 10(4):249

Neurofibrosarcoma retroperitoneal con trombosis de la vena cava inferior, 2(1):75

Paraganglioma retroperitoneal, 9(3-4):275 revisión bibliográfica,

Adenocarcinoma de cérvix, 7(1):63
Adenosarcoma de Müller originado
en endometriosis extragonadal
(transformación maligna de quiste
endometriósico del omentum).
Reporte de un caso y, 7(4):295
Neuroblastoma, reporte de caso y,
10(1-2):82

Androbastoma tubular de overio, 7(1):77

Neoplasia papilar sólida y quística del páncreas, 7(4):280

Tuberculosis extrapulmonar y cáncer cervical, 7(1):72

Tumor neuroectodérmico primitivo periférico., 7(4):287

Schwannoma benigno de mediastino posterior, 4(1):77

Síndrome Pérez-Larraza, 10(1-2):85 Tuberculosis

como pseudo tumor del tracto genital inferior femenino, 3(1):72 rectal, 9(1-2):157

Tumor

adrenal virilizante, Revisión de la bibliografía, 5(2):61 carcinoide de duodeno, 9(3-4):364 de Brenner extraovárico, 2(1):68 de células gigantes, 9(1-2):103 redondas pequeñas desmoplástico, 9(1-2):90

de Krukenberg, 6(3):277 de Wilms, Nefroblastoma bilateral,

neuroectodérmico primitivo periférico. Revisión de la literatura, 7(4):287 Reporte de 3 casos,

Carcinoma diferenciado de tiroides tratado con I-131: Significado de los hallazgos en la gammagrafía evolutiva mediante 88mTc-sestamibi, 8(4):470

Linfadenitis tuberculosa mediastinal del adulto VIH negativo (con parénquima pulmonar normal) en área de alta prevalencia, presentación pseudotumoral, 7(2):105

Neumotórax espontáneo y cáncer, 2(1):13

Reposición hormonal - Estrógenos - Cáncer ginecológico, 7(1):59

renal, Adenocarcinoma, cuadro clínico y sobrevida, 9(3-4):289

Resección colo-rectal por cáncer:
Laparoscopía vs laparotomía,
Comparación de la extensión de los
márgenes de resección y de la
linfadenectomía mesentérica, 7(4):274

Reseña histórica: Dr. Julio Salem Dibo, 6(4):362

Resultados,

de los Osteosarcomas tratados en Solca 1990-97, 8(3):337

preliminares con el protocolo Solca 95 para el tratamiento de la Leucemia Linfoide Aguda, 8(3):347

Retinoblastoma, 8(3):278

Retos terapéuticos en el manejo de las metástasis cerebrales: Quimioterapia, Cirugía o Radioterapia?, 8(1):29

retroperitoneal.

Linfangioma, Caso Clínico, 6(4):375 Neurofibrosarcoma, con trombosis de la vena cava inferior, Reporte de caso clínico, 2(1):75

Revisión bibliográfica,

Adenocarcinoma de tipo fetal bien diferenciado de pulmón: Presentación de un caso clínico y revisión de la literatura, 10(4):239

Adenosarcoma de Müller originado en endometriosis extragonadal (transformación maligna de quiste endometriósico del omentum), 7(4):295

de *la Enfermedad* de Hodgkin en el Hospital de Solca, 8(3):351

de *las terapias* de los Linfomas No Hodgkin en Solca 1986-1997, 8(3):344 de *15 pacientes*, Carcinoma de la vesícula biliar, 4(1):55

Neoplasia papilar sólida y quística del páncreas, 7(4):280

Neuroblastoma, 10(1-2):82

Paraganglioma retroperitoneal, 9(3-4):275 Sindrome Pérez-Larraza, 10(1-2):85 Tumor

adrenal virilizante, 5(2):61 neuroectodérmico primitivo periférico, 7(4):287

Resecciones hepáticas, 9(3-4):341 Resumen del primer consenso nacional de

hepatitis viral, abril 1999, 9(3-4):348
Retinoblastoma, Estudio retrospectivo

desde 1990-1997, 9(3-4):304

retroperitoneal, Paraganglioma, Reporte de un caso, 9(3-4):275

retroperitoneales de origen mesenquimatoso, Tumores, 9(1-2):51

riesgo, Factores de, en cáncer de mama, 6(1):56

Rof de la cirugía en el tratamiento de los sarcomas de tejidos blandos, 10(1-2):95

Ruptura de los tumores malignos del ovario: Experiencia de la Sociedad Francesa de Oncología Pediátrica, 8(3):357

S

sacros, cordomas, Estabilización de la enfermedad recurrente en 3 casos de, previamente irradiados, 9(3-4):297

Salem Dibo, Dr. Julio, Reseña histórica:, 6(4):362

sangrado gastrointestinal crónico de origen desconocido, Terapia médica para, 9(1-2):161

Sarcoma de partes blandas, 9(1-2):39 Sarcomas

de partes blandas, 9(1-2):39
de extremidades, Cuadro clínico,
patológico y factores pronósticos de
sobrevida en adultos con, 9(1-2):28
Experiencia de 20 años, 3(1):15
Historia natural, inmunohistoquímica,
citogenética, 9(1-2):9
Papel de la quimioterapia en, 9(1-2):86
Radioterapia post-quirúrgica en,
9(1-2):76
y cáncer cutáneo, 9(1-2):6
de tejidos blandos

de extremidades. ION SOLCA. Estudio retrospectivo. Análisis múltiples variables de pronóstico, 9(1-2):65 Rol de la cirugía en el tratamiento de los, 10(1-2):95

Schwannoma benigno de mediastino posterior, Reporte de caso clínico, 4(1):77

Segundos primarios en cáncer bucofaríngeo, 10(1-2):45

Semblanza del Dr. Luís Alonso Nevarez Zurita, 7(2):130

seminomatosos, Tumores testiculares no, 1(1-2):39

Semiología del cáncer gástrico, 6(3):227 seno, cáncer del, La radioterapia en el

tratamiento conservador del, 2(1):7 **séptico**, foco, Detección de, mediante gammagrafía. 7(3):189

Seroprevalencia del Helicobacter pylori en pacientes del litoral ecuatoriano, 7(2):93

sestamibi-99mTc, gammagrafía mediante, cáncer de

mama, 6(4):345 tiroides, 6(4):328

en pacientes con sospecha de cáncer de la mama, 8(2):215

significado evolutivo de los hallazgos en la, Carcinoma diferenciado de tiroides tratado con I-131, Reporte de casos clínicos, 8(4):470

Seudoinfecciones, 7(3):167

SIDA, Micosis sistémicas y oportunistas asociadas al, Reporte de 18 casos en Ecuador, 8(2):207

Simposio

cáncer ginecológico, 7(1):3 de enfermedades infecciosas y cáncer, 7(3):157

de Neuro-Oncología, Editorial, 8(1):5 de Oncopediatría, Editorial, 8(3):271

Simposium de cáncer gástrico. Editorial, 6(3):203

Síndrome Pérez-Larraza, Presentación de un caso y revisión de la literatura, 10(1-2):85

Sintomatología y enfoque terapéutico, Dolor en neuro-oncología:, 8(1):117

sistema

arterial, Dolicoectasia del, 6(4):313 nervioso central,
Formas infecciosas



3(1):69

psudotumorales en el. 7(3):199 SOLCA. Estudio retrospectivo. Análisis múltiples variables de pronóstico, Infecciones nosocomiales del, 8(1):107 Linfoma Primario del, Reporte de Caso, 9(1-2):65 8(1):166 sarcomas de, Rol de la cirugía en el Radioterapia profiláctica sobre el, en tratamiento de los, 10(1-2):95 pacientes pediátricos con leucemia Tema de psicología: atención humana, aguda. Revisión de 5 años, 6(2):163 10(4):187 Tendencia de la tasa cruda de mortalidad por Tumores del, Características cáncer de pulmón en el Ecuador, 5(1):5 macroscópicas, microscópicas, testiculares no seminomatosos, tumores. diagnóstico diferencial y métodos 1(1-2):39 de inmunohistoquímica. Parte I. terapéuticas, Consideraciones diagnósticas 10(1-2):7 y, Germinoma intracraneal con lesiones smoking, Lung cancer end the role of. simultáneas en las regiones pineal y Editorial, 5(1):3 supraselar:, 8(1):151 "strip biopsy", Cáncer gástrico temprano terapéutico. diagnosticado por, 6(3):275 Manejo, de la recaida/persistencia del sobrevida cáncer escamoso de cérvix, 7(4):235 Adenocarcinoma renal. Cuadro clínico y, Sintomatología y enfoque, Dolor en 9(3-4):289 Neuro-oncología:, 8(1):117 en linfomas no-Hodgkin del anillo de Terapia médica para sangrado Waldeyer, Cuadro clínico-patológico y, gastrointestinal crónico de origen 9(1-2):138 desconocido, 9(1-2);161 Sociedad Ecuatoriana de Editores Terapias de los Linfomas No Hodgkin. Médicos (SEEM), Editorial, 7(2):91 Revisión de las, Solca 1986,1997, sólida y quística del páncreas, Neoplasia 8(3):344 papilar. Reporte de un caso y revisión Termografía, 6(1):19 bibliográfica, 7(4):280 tiroides. Sombras intratorácicas psudotumorales de cáncer de. origen cardiovascular, 6(4):317 en el hospital de Solca núcleo de Loja, Sr. Guillermo José Arosemena Coronel. 9(3-4):255 Semblanza del, 3(1):54 Estudio retrospectivo 1979-1999. submaxilar gigante, Tumor, 6(2):177 9(3-4):209 suprarrenal, Histogénesis de tumores de Gammagrafía mediante 99mTcglándula, 9(3-4):191 sestamibi en el, 6(4):328 carcinoma, anaplásico de, Conceptos tradicionales tabaco. La lucha contra el, en el Ecuador, vigentes y consideraciones de Editorial, 2(1):5 actualidad, 10(4):253 Tanca Marengo, Dr. Juan, Biografía del, epidermoides. Presentación de dos médico y maestro, Reseña histórica, casos, 6(4):324 5(2):41 diferenciado, tasa cruda de mortalidad por cáncer de Metástasis pulmonares por, pulmón en el Ecuador, Tendencia de la, 6(2):169 tratado con I-131, Significado de los Técnica quirúrgica: La ileo-transverso hallazgos en la gammagrafía anastómosis en telescopaje, ION-SOLCA, mediante 99mTc-sestamibi. 8(4):464 Reporte de casos clínicos, Técnicas de diagnóstico molecular, 7(2):137 8(4):470



tejidos blandos

310 • Oncología

de extremidades, Sarcomas de, ION

ISSN 1390-0110

Factores pronósticos en cáncer Papel de la radioterapia en el, de diferenciado del, 9(3-4):203 células no pequeñas, 5(1):29 microcarcinoma papilar de. carcinoma Comportamiento invasivo de un, con de cérvix, Papel de la braquiterapia en metástasis ocular como presentación el, 5(2):5 clínica inicial, Reporte de un caso, hepatocelular, mediante invección 9(3-4):269 intramural de etanol, 7(4):292 Tratamiento vulvar. Vulvectomía radical. individualizado del cáncer diferenciado Importancia de la linfadenectomía de, mediante iodo-131: en el estadiaje, pronóstico y. dosimetría, 9(3-4):245 7(4):251 multimodal en los carcinomas combinado en el cáncer nasofaríngeo, anaplásicos del, 9(3-4):219 INOR, Habana, 8(4):411 tumores de la glándula, Tratamiento conservador del cáncer de mama, quirúrgico de los, 1(1-2):46 9(3-4):374 tomografía de la axial computorizada. Metástasis hepatitis crónica por VHC con cerebrales: Valoración por, 8(1):23 interferón Alfa 2b rercombinante en helicoidal, correlacionada con diagnóstico pacientes pediátricos con patológico inmediato por congelación, enfermedad neoplásica, 10(1-2):55 Biopsia percutánea de masas guiada leucemia linfoide aguda de la por, 10(4):253 infancia, 10(1-2:33 Toxoplasmosis en el paciente con cáncer, de las lesiones metastásicas de la 7(3):183 columna vertebral: Descompresión tracto genital inferior femenino, La quirúrgica vs Radioterapia. tuberculosis como psudotumor del, 3(1):72 Controversias en Neuro-Oncología, transfusionales, post-, Reacciones febriles, 8(1):137 7(3):171 del cáncer transplante hepático, Indicaciones y de lengua, Cirugía en el, Estudio de 10 contraindicaciones, 8(4):480 años, 10(4):183 tratados, Resultados de los Osteosarcomas, pulmonar, Papel de la cirugía en el. Solca 1990-97, 8(3):337 5(1):19 tratamiento. del carcinoma Abandono de, pacientes oncológicos, basocelular y escamocelular de piel, Estudio preliminar, 6(4):358 Radioterapia en el. Revisión de 5 cáncer. años, 9(1-2):72 cérvix. hepatocelular, 8(2):258 Complicaciones en et, por del NIC por Radiofrecuencia. Experiencia radioterapia, 2(1):39 en el ION-SOLCA, 8(2):183 en el ION (1998-2000), I.- Desde el de los sarcomas de tejidos blandos, Rol Cobalto-60 hacia la braquiterapia, de la cirugía en el, 10(1-2):95 10(4):233 Diagnóstico y, de la neoplasia estómago, Radioterapia en el, intraepitelial cervical NIC, 7(1):15 6(3):259 Fisiopatología y, Cambios fibroquísticos gástrico avanzado, Controversias de la glándula mamaria, 6(1):48 actuales en el, 6(3):263 individualizado del cáncer diferenciado de mama, del, mediante protocolos. tiroides mediante iodo-131: dosimetría, 6(1):66 9(3-4):245 pulmonar. La radioterapia en el, conservador del Papel de la cirugía en el, cáncer del seno, 2(1):7 5(1):19 médico

mixto medular-papilar de, Reporte de

un caso, 9(3-4):263

Intestinal, 8(3):386	de la Enfermedad Inflamatoria	de un caso y revisión bibliográfica, 7(1):77
o quirúrgico, Prolactinomas, 9(3-4):225 multimodal en los carcinomas anaplásicos del tirriodes, 9(3-4):219 paliativo del cáncer, La radioterapia en el, 4(1):87 de los turnores malignos del esófago, 9(1-2):169 Papel de la radioterapia en el, del cáncer pulmonar de cétulas no pequeñas, 5(1):29 quirúrgico cancer gástrico, 6(3):237 de los tumores de la glándula tiroides, 1(1-2):46 del cáncer cervical invasor, 7(1):47 del cáncer epitelial de ovario, 7(1):43 del cáncer epitelial de ovario, 7(1):43 del cáncer pulmonar, 5(1):19 tumores benignos de la mama, 6(1):46 quimioterapia adyuvante y neoadyuvante en el cáncer gástrico, 6(3):255 radical del carcinoma de cérvix, Alternativa para conservar la función vaginal en el, 5(2):23 Trombopietina, Aprendiendo a manipular las plaquetas, 8(3):319 trombosis de la vena cava inferior, Neurofibrosarcoma retroperitoneal con, Reporte de caso clínico, 2(1):75 tuberculosa, Distagia pseudotumoral, Reporte de caso clínico, 3(1):64 Linfadenitis mediastinal, del adulto VIH negativo (con parénquima pulmonar normal) en área de alta prevalencia, presentación de un caso y revisión de la titeratura, 9(3-4):364 maligno en niños. Presentación de un caso y revisión de la titeratura, 9(3-4):364 maligno en niños. Presentación de un caso clínico, 2(1):69 de duodeno, Reporte de un caso y revisión de la maligno y actualización, 8(3):388 cerebral, Hipertensión endocraneana en el post-quirúrgico de, 8(1):99 de Brenner extraovárico, Reporte de caso clínico, 2(1):68 de cábulas gigantes, Reporte de un caso, 9(1-2):90 de Wilms en el ION-SOLCA, Incidencia del, 8(3):334 Nefroblastoma bilateral, Reporte de caso clínico, 3(1):69 neuroectodérmico primitivo periférico. Reporte de un caso y revisión de la titeratura, 9(3-4):364 maligno en niños. Presentación de un caso clínico, 2(1):68 de duodeno, Reporte de un caso y entinos y actualización, 8(3):388 cerebral, Hipertensión endocraneana en el post-quirúrgico de, 8(1):99 de Brenner extraovárico, Reporte de un caso (linico, 3(1):69 neuroectodérmico primitivo periféri		
multimodal en los carcinomas anaplásicos del tiroides, 9(3-4)/219 paliativo del cáncer, La radioterapia en el, 4(1):87 de los turmores malignos del esófago, 9(1-2):169 Papel de la radioterapia en el, del cáncer pulmonar de céltulas no pequeñas, 5(1):29 quirúrgico cáncer capitalia de ovario, 7(1):43 del cáncer epitelial de ovario, 7(1):45 del cáncer epitelial de ovario, 7(1):46 del cáncer pulmonar, 5(1):19 tumores benignos de la mama, 6(1):46 quimioterapia adyuvante y neoadyuvante en el cáncer gástrico, 6(3):255 radical del carcinoma de cérvix, Alternativa para conservar la función vaginal en el, 5(2):23 Trombopoietina, Aprendiendo a manipular las plaquetas, 8(3):319 trombosis de la vena cava inferior, Neurofibrosarcoma retroperitoneal con, Reporte de caso clínico, 2(1):75 tuberculosa, Disfagia pseudotumoral, Reporte de caso clínico, 3(1):64 Linfadenitis mediastinal, del adulto VIH negativo (con parénquima pulmonar normal) en área de alta prevalencia, presentación pseudotumoral, Reporte de 3 casos, 7(2):105 Tuberculosis como pseudo tumor del tracto genital		adrenal virilizante, Prresentación de un
del tiroides, 9(3-4):219 paliativo del cáncer, La radioterapia en el, 4(1):87 de los turnores malignos del esófago, 9(1-2):169 Papel de la radioterapia en el, del cáncer pulmonar de céltulas no pequeñas, 5(1):29 quirurgico cáncer gástrico, 6(3):237 de los turnores de la glándula tiroides, 1(1-2):46 del cáncer cervical invasor, 7(1):47 del cáncer epitelial de ovario, 7(1):43 del cáncer epitelial de ovario, 7(1):46 quimioterapia adyuvante y neoadyuvante en el cáncer gástrico, 6(3):255 radical del carcinoma de cérvix, Alternativa para conservar la función vaginal en el, 5(2):23 Trombopoletina, Aprendiendo a manipular las plaquetas, 8(3):319 trombosis de la vena cava inferior, Neurofibrosarcoma retroperitoneal con, Reporte de caso clínico, 2(1):75 tuberculosa, Disfagia pseudotumoral, Reporte de caso clínico, 3(1):64 Linfadenitis mediastinal, del adulto VIH negativo (con parénquima pulmonar normal) en área de alta prevalencia, presentación pseudotumoral, Reporte de 3 casos, 7(2):105 Tuberculosis como pseudo tumor del tracto genital	•	
paliativo del câncer, La radioterapia en el, 4(1):87 de los tumores malignos del esófago, 9(1-2):169 Papel de la radioterapia en el, del câncer pulmonar de células no pequeñas, 5(1):29 quirurgico câncer gástrico, 6(3):237 de los tumores de la glándula tiroides, 1(1-2):46 del câncer cervical invasor, 7(1):47 del câncer epitelial de ovario, 7(1):43 del câncer epitelial de ovario, 7(1):43 del câncer pulmonar, 5(1):19 tumores benignos de la mama, 6(1):46 quimioterapia adyuvante y neoadyuvante en el câncer gástrico, 6(3):255 radical del carcinoma de cérvix, Alternativa para conservar la función vaginal en el, 5(2):23 Trombopoistina, Aprendiendo a manipular las plaquetas, 8(3):319 trombosis de la vena cava inferior, Neurofibrosarcoma retroperitoneal con, Reporte de caso clínico, 2(1):75 tuberculosa, Distagia pseudotumoral, Reporte de caso clínico, 3(1):64 Linfadenitis mediastinal, del adulto VIH negativo (con parénquima pulmonar normal) en área de alta prevalencia, presentación pseudotumoral, Reporte de 3 casos, 7(2):105 Tuberculosis como pseudo tumor del tracto genital	•	•
del cáncer, La radioterapia en el, 4(1):87 de los turnores malignos del esófago, 9(1-2):169 Papel de la radioterapia en el, del cáncer pulmonar de células no pequeñas, 5(1):29 quirúrgico cáncer gástrico, 6(3):237 de los tumores de la glándula tiroides, 1(1-2):46 del cáncer cervical invasor, 7(1):47 del cáncer epitelial de ovario, 7(1):43 del cáncer epitelial de ovario, 7(1):43 del cáncer pulmonar, 5(1):19 tumores benignos de la mama, 6(1):46 quimioterapia adyuvante y neoadyuvante en el cáncer gástrico, 6(3):255 radical del carcinoma de cérvix, Alternativa para conservar la función vaginal en el, 5(2):23 Trombopoietina, Aprendiendo a manipular ias plaquetas, 8(3):319 trombosis de la vena cava inferior, Neurofibrosarcoma retroperitoneal con, Reporte de caso clínico, 2(1):75 tuberculosa, Disfagia pseudotumoral, Reporte de caso clínico, 3(1):64 Linfadentits mediastinal, del adulto VIH negativo (con parénquima pulmonar normal) en área de alta prevalencia, presentación de un caso y revisión de la literatura, 9(3-4):364 maligno en nifios. Presentación de un caso clínico y actualización, 8(3):368 cerebral, Hipertensión endocraneana en el post-quirrigico de, 8(1):99 de Brenner extraovárico, Reporte de caso clínico, 2(1):68 de cálulas gigantes, Reporte de un caso, 9(1-2):103 redondas pequeñas desmoplástico. Reporte de un caso, 9(1-2):103 de loáncer epitelial de ovario, redondas pequeñas desmoplástico. Reporte de un caso o gínico, 3(1):69 neuroectodérmico primitivo periférico. Reporte de un caso y revisión de la literatura, 7(4):287 Krukenberg, Reporte de caso clínico, 6(3):277 submaxilar gigante, 6(2):177 tumorales. maligno en nidios. Presentación de un caso clínico, 2(1):59 de Brenner extraovárico, Reporte de caso clínico, 2(1):69 de wilms en el ION-SOLCA, Incidencia del, 8(3):324 Krukenberg, Reporte de caso clínico, 6(3):277 submaxilar gigante, 6(2):177 tumorales. macadores Breve revisión de la importancia de los, 1(1-2):67 uso de, en el diagnóstico del carcinoma gástrico, 7(2):132 Virus en células, 6(2):12:87 uso de		• •
4(1):87 de los tumores malignos del esófago, 9(1-2):169 Papel de la radioterapia en el, del cáncer pulmonar de células no pequeñas, 5(1):29 guirrirgico cáncer gástrico, 6(3):237 de los tumores de la glándula tiroides, 1(1-2):46 del cáncer cervical invasor, 7(1):47 del cáncer epitelial de ovario, 7(1):43 del cáncer pulmonar, 5(1):19 tumores benignos de la mama, 6(1):46 quimioterapia adyuvante y neoadyuvante en el cáncer gástrico, 6(3):255 radical del carcinoma de cérvix, Alternativa para conservar la función vaginal en el, 5(2):23 Trombopoletina, Aprendiendo a manipular las plaquetas, 8(3):319 trombosis de la vena cava inferior, Neurofibrosarcoma retroperitoneal con, Reporte de caso clínico, 2(1):75 tuberculosa, Disfagia pseudotumoral, Reporte de caso clínico, 3(1):64 Linfadentits mediastinal, del adulto VIH negativo (con parénquima pulmonar normal) en área de alta prevalencia, presentación pseudotumoral (Reporte de 3 casos, 7(2):105 Tuberculosis como pseudo tumor del tracto genital	·	de duodeno, Reporte de un caso y
de los tumores malignos del esófago, 9(1-2):169 Rapel de la radioterapia en el, del cáncer pulmonar de células no pequeñas, 5(1):29 quirúrgico cáncer gástrico, 6(3):237 de los tumores de la glándula tiroides, 1(1-2):46 del cáncer eorical invasor, 7(1):47 del cáncer epitelial de ovario, 7(1):43 del cáncer epitelial de ovario, 7(1):43 del cáncer pulmonar, 5(1):19 tumores benignos de la mama, 6(1):46 quimioterapia adyuvante y neoadyuvante en el cáncer gástrico, 6(3):255 radical del carcinoma de cérvix, Alternativa para conservar la función vaginal en el, 5(2):23 Trombopoietina, Aprendiendo a manipular las plaquetas, 8(3):319 Trombosis de la vena cava inferior, Neurofibrosarcoma retroperitoneal con, Reporte de caso clínico, 2(1):75 tuberculosa. Distagia pseudotumoral, Reporte de caso clínico, 3(1):64 Linfadentits mediastinal, del adulto VIH negativo (con parénquima pulmonar normal) en área de alta prevalencia, presentación pseudotumoral, Reporte de 3 casos, 7(2):105 Tuberculosis como pseudo tumor del tracto genital		· · · · · · · · · · · · · · · · · · ·
Papel de la radioterapia en el, del cáncer pulmonar de células no pequeñas, 5(1):29 quirúrgico cáncer gástrico, 6(3):237 de los tumores de la glándula tiroides, 1(1-2):46 del cáncer cervical invasor, 7(1):47 del cáncer epitelial de ovario, 7(1):43 del cáncer pulmonar, 5(1):19 tumores benignos de la mama, 6(1):46 quimioterapia adyuvante y neoadyuvante en el cáncer gástrico, 6(3):255 radical del carcinoma de cérvix, Alternativa para conservar la función vaginal en el, 5(2):23 Trombopoietina, Aprendiendo a manipular las plaquetas, 8(3):319 trombosis de la vena cava inferior, Neurofibrosarcoma retroperitoneal con, Reporte de caso clínico, 3(1):64 Linfadenitis mediastinal, del adulto VIH negativo (con parénquima pulmonar normal) en área de alta prevalencia, presentación pseudo tumor del tracto genital	·	maligno en niños. Presentación de un
pulmonar de células no pequeñas, 5(1):29 quirúrgico cáncer gástrico, 6(3):237 de los tumores de la glándula tiroides, 1(1-2):46 del cáncer cervical invasor, 7(1):47 del cáncer epitellal de ovario, 7(1):43 del cáncer pulmonar, 5(1):19 tumores benignos de la mama, 6(1):46 quimioterapia adyuvante y neoadyuvante en el cáncer gástrico, 6(3):255 radical del carcinoma de cérvix, Alternativa para conservar la función vaginal en el, 5(2):23 Trombopoietina, Aprendiendo a manipular las plaquetas, 8(3):319 trombosis de la vena cava inferior, Neurofibrosarcoma retroperitoneal con, Reporte de caso clínico, 2(1):68 de células gigantes, Reporte de un caso, 9(1-2):90 de Wilms en el ION-SOLCA, Incidencia del, 8(3):334 Nefroblastoma bilateral, Reporte de caso clínico, 3(1):69 neuroectodérmico primitivo periférico. Reporte de un caso y revisión de la literatura, 7(4):287 Krukenberg, Reporte de caso clínico, 6(3):277 submaxilar gigante, 6(2):177 tumorales. marcadores Breve revisión de la importancia de los, 1(1-2):67 uso de, en el diagnóstico del carcinoma gástrico, 7(2):132 Virus en células, 6(2):153 tumores cerebrals, Hipertensión endocraneana en el post-quirúrgico de, 8(1):99 de Brenner extraovárico, Reporte de cisso clínico, 2(1):68 de células gigantes, Reporte de un caso, 9(1-2):90 de Wilms en el ION-SOLCA, Incidencia del, 8(3):334 Nefroblastoma bilateral, Reporte de caso clínico, 3(1):69 neuroectodérmico primitivo periférico. Reporte de un caso, 9(1-2):90 de Wilms en el ION-SOLCA, Incidencia del, 8(3):334 Nefroblastoma bilateral, Reporte de caso clínico, 2(1):287 Krukenberg, Reporte de caso clínico, 9(1):297 uso de, en el diagnóstico del carcinoma gástrico, 6(3):277 uso de células en el ION-SOLCA, Incidencia del, 8(3):334 Nefroblastoma bilateral, Reporte de caso clínico, 2(1):298 Krukenberg, Reporte de caso clínico, 9(1):299 de Wilms en el ION-SOLCA, Incidencia del, 8(3):334 Nefroblastoma bilateral, Peporte de caso clínico, 3(1):69 uroreta de un caso, 9(1-2):90 de Wilms en el ION-SOLCA, Incidencia del, 8(3):237 uroreta de un	9(1-2):169	caso clínico y actualización,
jest-quirúrgico de, 8(1):99 quirúrgico cáncer gástrico, 6(3):237 de los tumores de la glándula tiroides, 1(1-2):46 del cáncer cervical invasor, 7(1):47 del cáncer epitelial de ovario, 7(1):43 del cáncer pulmonar, 5(1):19 tumores benignos de la mama, 6(1):46 quimioterapia adyuvante y necadyuvante en el cáncer gástrico, 6(3):255 radical del carcinoma de cérvix, Alternativa para conservar la función vaginal en el, 5(2):23 Trombopoletina, Aprendiendo a manipular las plaquetas, 8(3):319 trombosis de la vena cava inferior, Neurofibrosarcoma retroperitoneal con, Reporte de caso clínico, 2(1):75 tuberculosa, Disfagia pseudotumoral, Reporte de caso clínico, 2(1):68 de cálulas gigantes, Reporte de un caso, 9(1-2):103 redondas pequeñas desmoplástico. Reporte de un caso, 9(1-2):90 de Wilms en el ION-SOLCA, Incidencia del, 8(3):334 Nefroblastoma bilateral, Reporte de caso clínico, 3(1):69 neuroectodérmico primitivo periférico. Reporte de un caso y revisión de la literatura, 7(4):287 Krukenberg, Reporte de caso clínico, 6(3):277 submaxilar gigante, 6(2):177 tumorales. Breve revisión de la importancia de los, 1(1-2):67 uso de, en el diagnóstico del carcinoma gástrico, 7(2):132 Virus en células, 6(2):153 tumores cerebrales, del cáncer extraovárico, Reporte de cáso clínico, 2(1):68 de cálulas gigantes, Reporte de un caso, 9(1-2):90 de Wilms en el ION-SOLCA, Incidencia del, 8(3):334 Nefroblastoma bilateral, Reporte de caso clínico, 3(1):69 neuroectodérmico primitivo periférico. Reporte de un caso clínico, 2(1):75 tumorales. Breve revisión de la importancia de los, 1(1-2):67 uso de, en el diagnóstico del carcinoma gástrico, 7(2):132 Virus en células, 6(2):153 tumores cerebrales, de cálulas	Papel de la radioterapia en el, del cáncer	, ,
quirúrgico de Brenner extraovárico, Reporte de caso clínico, 2(1):68 de los tumores de la glándula tiroides, 1(1-2):46 del cáncer cervical invasor, 7(1):47 del cáncer epitelial de ovario, 7(1):43 gigantes, Reporte de un caso, 9(1-2):103 del cáncer pulmonar, 5(1):19 redondas pequeñas desmoplástico. del cáncer pulmonar, 5(1):19 de Wilms tumores benignos de la mama, 6(1):46 en el ION-SOLCA, Incidencia del, 8(3):334 quimioterapia adyuvante y neoadyuvante en el cáncer gástrico, 6(3):255 neoadyuvante en el cáncer gástrico, vaginal en el, 5(2):23 radical del carcinoma de cérvix, Alternativa para conservar la función vaginal en el, 5(2):23 Reporte de un caso y revisión de la literatura, 7(4):287 Krukenberg, Reporte de caso clínico, 6(3):277 submaxilar gigante, 6(2):177 submaxilar gigante, 6(2):177 tumorales, marcadores Breve revisión de la importancia de los, 1(1-2):67 tuberculosa, Distagia pseudotumoral, Reporte de 3 casos, 7(2):105 Breve revisión de la importancia de los, 2(1):75 tuberculosis del adulto VIH negativo (con parénquima pulmonar normal) en área de alta prevalencia, presentación pseudotumoral, Reporte de 3 casos, 7(2):105 de adulto VIH negativo (con parénquima pulmonar normal) en área de alta prevalencia, presentación pseudotumoral, Reporte de 3 casos, 7(2):105 de Brenner extraovárico, 2(1):68 de Milms en el ION-SOLCA, Incidencia del, 8(3):334 Nefroblastoma bilateral, Reporte de caso clínico, 6(3):277 submaxilar gigante, 6(2):177<	•	·
cáncer gástrico, 6(3):237 de los tumores de la glándula tiroides, 1(1-2):46 del cáncer cervical invasor, 7(1):47 del cáncer epitelial de ovario, 7(1):43 del cáncer epitelial de ovario, 7(1):43 del cáncer pulmonar, 5(1):19 tumores benignos de la mama, 6(1):46 quimioterapia adyuvante y neoadyuvante en el cáncer gástrico, 6(3):255 radical del carcinoma de cérvix, Alternativa para conservar la función vaginal en el, 5(2):23 Trombopoietina, Aprendiendo a manipular las plaquetas, 8(3):319 trombosis de la vena cava inferior, Neurofibrosarcoma retroperitoneal con, Reporte de caso clínico, 2(1):75 tuberculosa, Disfagía pseudotumoral, Reporte de caso clínico, 2(1):68 de céiulas gigantes, Reporte de un caso, 9(1-2):103 redondas pequeñas desmoplástico. Reporte de un caso, 9(1-2):90 de Wilms en el ION-SOLCA, Incidencia del, 8(3):334 Nefroblastoma bilateral, Reporte de caso clínico, 3(1):69 neuroectodérmico primitivo periférico. Reporte de un caso, 9(1-2):103 redondas pequeñas desmoplástico. Reporte de un caso, 9(1-2):90 de Wilms en el ION-SOLCA, Incidencia del, 8(3):334 Nefroblastoma bilateral, Reporte de caso clínico, 3(1):69 neuroectodérmico primitivo periférico. Reporte de un caso, 9(1-2):90 de Wilms en el ION-SOLCA, Incidencia del, 8(3):334 Nefroblastoma bilateral, Reporte de caso clínico, 3(1):69 neuroectodérmico primitivo periférico. Reporte de un caso (1010-, 3(1):69 neuroectodérmico primitivo periférico. Reporte de un caso (1010-, 3(1):69 neuroectodérmico primitivo periférico. Reporte de un caso (1010-, 3(1):69 neuroectodérmico primitivo periférico. Reporte de un caso (1010-, 3(1):69 neuroectodérmico primitivo periférico. Reporte de un caso (1010-, 3(1):69 neuroectodérmico primitivo periférico. Reporte de un caso (1010-, 3(1):69 neuroectodérmico primitivo periférico. Reporte de un caso (1010-, 3(1):69 neuroectodérmico primitivo periférico. Reporte de un caso (1010-, 3(1):69 neuroectodérmico primitivo periférico. Reporte de un caso (1010-, 3(1):69 neuroectodérmico primitivo periférico. Reporte de un caso (1010-, 3(1)	5(1):29	· · ·
de los tumores de la glándula tiroides, 1(1-2):46 del cáncer cervical invasor, 7(1):47 del cáncer epitelial de ovario, 7(1):43 del cáncer pulmonar, 5(1):19 tumores benignos de la mama, 6(1):46 quimioterapia adyuvante y neoadyuvante en el cáncer gástrico, 6(3):255 radical del carcinoma de cérvix, Alternativa para conservar la función vaginal en el, 5(2):23 Trombopoietina, Aprendiendo a manipular las plaquetas, 8(3):319 trombosis de la vena cava inferior, Neurofibrosarcoma retroperitoneal con, Reporte de caso clínico, 2(1):75 tuberculosa, Disfagia pseudotumoral, Reporte de caso clínico, 3(1):64 Linfadenitis mediastinal, del adulto VIH negativo (con parénquima pulmonar normal) en área de alta prevalencia, presentación pseudotumoral, Reporte de 3 casos, 7(2):105 Tuberculosis como pseudo tumor del tracto genital	· ·	
1(1-2):46 del cáncer cervical invasor, 7(1):47 del cáncer epitelial de ovario, 7(1):43 del cáncer pulmonar, 5(1):19 tumores benignos de la mama, 6(1):46 quimioterapia adyuvante y neoadyuvante en el cáncer gástrico, 6(3):255 radical del carcinoma de cérvix, Alternativa para conservar la función vaginal en el, 5(2):23 Trombopoietina, Aprendiendo a manipular las plaquetas, 8(3):319 trombosis de la vena cava inferior, Neurofibrosarcoma retroperitoneal con, Reporte de caso clínico, 2(1):75 tuberculosa, Distagia pseudotumoral, Reporte de caso clínico, 3(1):64 Linfadenitis mediastinal, del adulto VIH negativo (con parénquima pulmonar normal) en área de alta prevalencia, presentación pseudotumoral, Reporte de 3 casos, 7(2):105 Tuberculosis como pseudo tumor del tracto genital	_ · · · · · · · · · · · · · · · · · · ·	· • •
del cáncer cervical invasor, 7(1):47 del cáncer epitelial de ovario, 7(1):43		
del cáncer epitelial de ovario, 7(1):43	1 7	
T(1):43 del cáncer pulmonar, 5(1):19 tumores benignos de la mama, 6(1):46 quimioterapia adyuvante y neoadyuvante en el cáncer gástrico, 6(3):255 radical del carcinoma de cérvix, Alternativa para conservar la función vaginal en el, 5(2):23 Trombopoietina, Aprendiendo a manipular las plaquetas, 8(3):319 trombosis de la vena cava inferior, Neurofibrosarcoma retroperitoneal con, Reporte de caso clínico, 2(1):75 tuberculosa, Disfagia pseudotumoral, Reporte de caso clínico, 3(1):64 Linfadenitis mediastinal, del adulto VIH negativo (con parénquima pulmonar normal) en área de alta prevalencia, presentación pseudotumoral, Reporte de 3 casos, 7(2):105 Tuberculosis como pseudo tumor del tracto genital		
del cáncer pulmonar, 5(1):19 tumores benignos de la mama, 6(1):46 quimioterapia adyuvante y neoadyuvante en el cáncer gástrico, 6(3):255 radical del carcinoma de cérvix, Alternativa para conservar la función vaginal en el, 5(2):23 Trombopoietina, Aprendiendo a manipular las plaquetas, 8(3):319 trombosis de la vena cava inferior, Neurofibrosarcoma retroperitoneal con, Reporte de caso clínico, 2(1):75 tuberculosa, Disfagia pseudotumoral, Reporte de caso clinico, 3(1):64 Linfadenitis mediastinal, del adulto VIH negativo (con parénquima pulmonar normal) en área de alta prevalencia, presentación pseudotumoral, Reporte de 3 casos, 7(2):105 Tuberculosis como pseudo tumor del tracto genital de Wilms en el ION-SOLCA, Incidencia del, 8(3):334 Nefroblastoma bilateral, Reporte de caso clínico, 3(1):69 Reporte de un caso y revisión de la literatura, 7(4):287 Krukenberg, Reporte de caso clínico, 6(3):277 submaxilar gigante, 6(2):177 tumorales. marcadores Breve revisión de la importancia de los, 1(1-2):67 uso de, en el diagnóstico del carcinoma gástrico, 6(3):278 submaxilar gigante, 6(2):177 tumorales. marcadores Breve revisión de la importancia de los, 1(1-2):67 uso de, en el diagnóstico del carcinoma gástrico, 6(3):277 submaxilar gigante, 6(2):175 tumorales. marcadores Breve revisión de la importancia de los, 1(1-2):67 uso de, en el diagnóstico del carcinoma gástrico, 6(3):277 submaxilar gigante, 6(2):175 tumorales. Cincidentia del caso clínico, 6(3):277 submaxilar gigante, 6(2):175 tumorales. Cincidentia del caso clínico, 6(3):277 submaxilar gigante, 6(2):175 tumorales. Cincidentia del caso clínico, 6(3):277 submaxilar gigante, 6(2):175 tumorales. Cincidentia del caso clínico, 6(3):277 submaxilar gigante, 6(2):175 del niño: Progresos y esperanzas, 8(3):294 Clasificación histológica de los, y lesiones relacionados con el cuerpo uterino,		
tumores benignos de la mama, 6(1):46 quimioterapia adyuvante y neoadyuvante en el cáncer gástrico, 6(3):255 radical del carcinoma de cérvix, Alternativa para conservar la función vaginal en el, 5(2):23 Trombopoietina, Aprendiendo a manipular las plaquetas, 8(3):319 trombosis de la vena cava inferior, Neurofibrosarcoma retroperitoneal con, Reporte de caso clínico, 2(1):75 tuberculosa, Distagia pseudotumoral, Reporte de caso clínico, 3(1):64 Linfadenitis mediastinal, del adulto VIH negativo (con parénquima pulmonar normal) en área de alta prevalencia, presentación pseudotumoral, Reporte de caso, 7(2):105 Tuberculosis como pseudo tumor del tracto genital en el ION-SOLCA, Incidencia del, 8(3):334 Nefroblastoma bilateral, Reporte de caso clínico, 3(1):69 neuroectodérmico primitivo periférico. Reporte de un caso y revisión de la literatura, 7(4):287 Krukenberg, Reporte de caso clínico, 6(3):277 submaxilar gigante, 6(2):177 tumorales. marcadores Breve revisión de la importancia de los, 1(1-2):67 uso de, en el diagnóstico del carcinoma gástrico, 7(2):132 Virus en células, 6(2):153 tumores cerebrales, del niño: Progresos y esperanzas, 8(3):294 Clasificación histológica de los, y lesiones relacionados con el cuerpo uterino,	* *	
6(1):46 quimioterapia adyuvante y necadyuvante en el cáncer gástrico, 6(3):255 radical del carcinoma de cérvix, Alternativa para conservar la función vaginal en el, 5(2):23 Trombopoietina, Aprendiendo a manipular las plaquetas, 8(3):319 trombosis de la vena cava inferior, Neurofibrosarcoma retroperitoneal con, Reporte de caso clínico, 2(1):75 tuberculosa, Distagia pseudotumoral, Reporte de caso clínico, 3(1):64 Linfadenitis mediastinal, del adulto VIH negativo (con parénquima pulmonar normal) en área de alta prevalencia, presentación pseudotumoral, Reporte de 3 casos, 7(2):105 Tuberculosis como pseudo tumor del tracto genital Nefroblastoma bilateral, Reporte de caso clínico, 3(1):69 neuroectodérmico primitivo periférico. Reporte de un caso y revisión de la literatura, 7(4):287 Krukenberg, Reporte de caso clínico, 6(3):277 submaxilar gigante, 6(2):177 tumorales. marcadores Breve revisión de la importancia de los, 1(1-2):67 uso de, en el diagnóstico del carcinoma gástrico, 7(2):132 Virus en células, 6(2):153 tumores cerebrales, del niño: Progresos y esperanzas, 8(3):294 Clasificación histológica de los, y lesiones relacionados con el cuerpo uterino,		
quimioterapia adyuvante y neoadyuvante en el cáncer gástrico, 6(3):255 radical del carcinoma de cérvix, Alternativa para conservar la función vaginal en el, 5(2):23 Trombopoietina, Aprendiendo a manipular las plaquetas, 8(3):319 trombosis de la vena cava inferior, Neurofibrosarcoma retroperitoneal con, Reporte de caso clínico, 2(1):75 tuberculosa, Disfagia pseudotumoral, Reporte de caso clínico, 3(1):64 Linfadenitis mediastinal, del adulto VIH negativo (con parénquima pulmonar normal) en área de alta prevalencia, presentación pseudotumoral, Reporte de 3 casos, 7(2):105 Tuberculosis como pseudo tumor del tracto genital Nefroblastoma bilateral, Reporte de caso clínico, 3(1):69 neuroectodérmico primitivo periférico. Reporte de un caso y revisión de la literatura, 7(4):287 Krukenberg, Reporte de caso clínico, 6(3):277 tumorales. marcadores Breve revisión de la importancia de los, 1(1-2):67 uso de, en el diagnóstico del carcinoma gástrico, 7(2):132 Virus en células, 6(2):153 tumores cerebrales, del niño: Progresos y esperanzas, 8(3):294 Clasificación histológica de los, y lesiones relacionados con el cuerpo uterino,	-	
neoadyuvante en el cáncer gástrico, 6(3):255 radical del carcinoma de cérvix, Alternativa para conservar la función vaginal en el, 5(2):23 Trombopoletina, Aprendiendo a manipular las plaquetas, 8(3):319 trombosis de la vena cava inferior, Neurofibrosarcoma retroperitoneal con, Reporte de caso clínico, 2(1):75 tuberculosa, Disfagia pseudotumoral, Reporte de caso clínico, 3(1):64 Linfadenitis mediastinal, del adulto VIH negativo (con parénquima pulmonar normal) en área de alta prevalencia, presentación pseudotumoral, Reporte de tracto genital neoadyuvante en el cáncer gástrico, acaso clínico, 3(1):69 neuroectodérmico primitivo periférico. Reporte de un caso y revisión de la literatura, 7(4):287 Krukenberg, Reporte de caso clínico, 6(3):277 submaxilar gigante, 6(2):177 tumorales. marcadores Breve revisión de la importancia de los, 1(1-2):67 uso de, en el diagnóstico del carcinoma gástrico, 7(2):132 Virus en células, 6(2):153 tumores cerebrales, del niño: Progresos y esperanzas, del niño: Progresos y esperanzas, del niño: Progresos y esperanzas, relacionados con el cuerpo uterino,	• •	• •
6(3):255 radical del carcinoma de cérvix, Alternativa para conservar la función vaginal en el, 5(2):23 Trombopoietina, Aprendiendo a manipular las plaquetas, 8(3):319 trombosis de la vena cava inferior, Neurofibrosarcoma retroperitoneal con, Reporte de caso clínico, 2(1):75 tuberculosa, Disfagia pseudotumoral, Reporte de caso clínico, 3(1):64 Linfadenitis mediastinal, del adulto VIH negativo (con parénquima pulmonar normal) en área de alta prevalencia, presentación pseudotumoral, Reporte de 3 casos, 7(2):105 Tuberculosis como pseudo tumor del tracto genital Reporte de un caso y revisión de la literatura, 7(4):287 Krukenberg, Reporte de caso clínico, 6(3):277 submaxilar gigante, 6(2):177 tumorales. marcadores Breve revisión de la importancia de los, 1(1-2):67 uso de, en el diagnóstico del carcinoma gástrico, 7(2):132 Virus en células, 6(2):153 tumores cerebrales, del niño: Progresos y esperanzas, 8(3):294 Clasificación histológica de los, y lesiones relacionados con el cuerpo uterino,		•
radical del carcinoma de cérvix, Alternativa para conservar la función vaginal en el, 5(2):23 Trombopoietina, Aprendiendo a manipular las plaquetas, 8(3):319 trombosis de la vena cava inferior, Neurofibrosarcoma retroperitoneal con, Reporte de caso clínico, 2(1):75 tumorales. Disfagia pseudotumoral, Reporte de caso clínico, 3(1):64 Linfadenitis mediastinal, del adulto VIH negativo (con parénquima pulmonar normal) en área de alta prevalencia, presentación pseudotumoral, Reporte de 3 casos, 7(2):105 Tuberculosis como pseudo tumor del tracto genital Reporte de un caso y revisión de la literatura, 7(4):287 Krukenberg, Reporte de caso clínico, 6(3):277 submaxilar gigante, 6(2):177 tumorales. marcadores Breve revisión de la literatura, 7(4):287 Krukenberg, Reporte de caso clínico, 6(3):277 submaxilar gigante, 6(2):177 tumorales. marcadores Breve revisión de la interatura, 7(4):287 Krukenberg, Reporte de caso clínico, 6(3):277 submaxilar gigante, 6(2):177 tumorales. Viruorales. Vir		
Alternativa para conservar la función vaginal en el, 5(2):23 Trombopoietina, Aprendiendo a manipular ias plaquetas, 8(3):319 trombosis de la vena cava inferior, Neurofibrosarcoma retroperitoneal con, Reporte de caso clínico, 2(1):75 tumorales, Disfagia pseudotumoral, Reporte de caso clínico, 3(1):64 Linfadenitis mediastinal, del adulto VIH negativo (con parénquima pulmonar normal) en área de alta prevalencia, presentación pseudotumoral, Reporte de caso como pseudo tumor del tracto genital Alternatura, 7(4):287 Krukenberg, Reporte de caso clínico, 6(3):277 submaxilar gigante, 6(2):177 tumorales, marcadores Breve revisión de la importancia de los, 1(1-2):67 uso de, en el diagnóstico del carcinoma gástrico, 7(2):132 Virus en células, 6(2):153 tumores cerebrales, del niño: Progresos y esperanzas, del niño: Progresos y esperanzas, relacionados con el cuerpo uterino,	• •	·
vaginal en el, 5(2):23 Trombopoietina, Aprendiendo a manipular ias plaquetas, 8(3):319 trombosis de la vena cava inferior, Neurofibrosarcoma retroperitoneal con, Reporte de caso clínico, 2(1):75 tuberculosa, Disfagia pseudotumoral, Reporte de caso clínico, 3(1):64 Linfadenitis mediastinal, del adulto VIH negativo (con parénquima pulmonar normal) en área de alta prevalencia, presentación pseudotumoral, Reporte de caso clínico, 7(2):105 Tuberculosis como pseudo tumor del tracto genital Krukenberg, Reporte de caso clínico, 6(3):277 submaxilar gigante, 6(2):177 tumorales. Breve revisión de la importancia de los, 1(1-2):67 uso de, en el diagnóstico del carcinoma gástrico, 7(2):132 Virus en células, 6(2):153 tumores cerebrales, del niño: Progresos y esperanzas, 8(3):294 Clasificación histológica de los, y lesiones relacionados con el cuerpo uterino,		•
Trombopoietina, Aprendiendo a manipular ias plaquetas, 8(3):319 trombosis de la vena cava inferior, Neurofibrosarcoma retroperitoneal con, Reporte de caso clínico, 2(1):75 tuberculosa, Disfagia pseudotumoral, Reporte de caso clínico, 3(1):64 Linfadenitis mediastinal, del adulto VIH negativo (con parénquima pulmonar normal) en área de alta prevalencia, presentación pseudotumoral, Reporte de 3 casos, 7(2):105 Tuberculosis como pseudo tumor del tracto genital 6(3):277 submaxilar gigante, 6(2):177 tumorales. marcadores Breve revisión de la importancia de los, 1(1-2):67 uso de, en el diagnóstico del carcinoma gástrico, 7(2):132 Virus en células, 6(2):153 tumores cerebrales, del niño: Progresos y esperanzas, 8(3):294 Clasificación histológica de los, y lesiones relacionados con el cuerpo uterino,		
submaxilar gigante, 6(2):177 trombosis de la vena cava inferior, Neurofibrosarcoma retroperitoneal con, Reporte de caso clínico, 2(1):75 tuberculosa, Disfagia pseudotumoral, Reporte de caso clínico, 3(1):64 Linfadenítis mediastinal, del adulto VIH negativo (con parénquima pulmonar normal) en área de alta prevalencia, presentación pseudotumoral, Reporte de 3 casos, 7(2):105 Tuberculosis como pseudo tumor del tracto genital submaxilar gigante, 6(2):177 tumorales. marcadores Breve revisión de la importancia de los, 1(1-2):67 uso de, en el diagnóstico del carcinoma gástrico, 7(2):132 Virus en células, 6(2):153 tumores cerebrales, del niño: Progresos y esperanzas, 8(3):294 Clasificación histológica de los, y lesiones relacionados con el cuerpo uterino,	* '	· ,
trombosis de la vena cava inferior, Neurofibrosarcoma retroperitoneal con, Reporte de caso clínico, 2(1):75 tuberculosa, Disfagia pseudotumoral, Reporte de caso clínico, 3(1):64 Linfadenitis mediastinal, del adulto VIH negativo (con parénquima pulmonar normal) en área de alta prevalencia, presentación pseudotumoral, Reporte de 3 casos, 7(2):105 Tuberculosis como pseudo tumor del tracto genital tumorales, marcadores Breve revisión de la importancia de los, 1(1-2):67 uso de, en el diagnóstico del carcinoma gástrico, 7(2):132 Virus en células, 6(2):153 tumores cerebrales, del niño: Progresos y esperanzas, 8(3):294 Clasificación histológica de los, y lesiones relacionados con el cuerpo uterino,		• •
Neurofibrosarcoma retroperitoneal con, Reporte de caso clínico, 2(1):75 tuberculosa, Disfagia pseudotumoral, Reporte de caso clínico, 3(1):64 Linfadenitis mediastinal, del adulto VIH negativo (con parénquima pulmonar normal) en área de alta prevalencia, presentación pseudotumoral, Reporte de 3 casos, 7(2):105 Tuberculosis Nerve revisión de la importancia de los, 1(1-2):67 uso de, en el diagnóstico del carcinoma gástrico, 7(2):132 Virus en células, 6(2):153 tumores cerebrales, del niño: Progresos y esperanzas, 8(3):294 Clasificación histológica de los, y lesiones relacionados con el cuerpo uterino,		- · · · · · · · · · · · · · · · · · · ·
Reporte de caso clínico, 2(1):75 Breve revisión de la importancia de los, 1(1-2):67 Disfagia pseudotumoral, Reporte de caso clínico, 3(1):64 Linfadenitis mediastinal, del adulto VIH negativo (con parénquima pulmonar normal) en área de alta prevalencia, presentación pseudotumoral, Reporte de 3 casos, 7(2):105 Tuberculosis como pseudo tumor del tracto genital Breve revisión de la importancia de los, 1(1-2):67 uso de, en el diagnóstico del carcinoma gástrico, 7(2):132 Virus en células, 6(2):153 tumores cerebrales, del niño: Progresos y esperanzas, 8(3):294 Clasificación histológica de los, y lesiones relacionados con el cuerpo uterino,	•	
tuberculosa, Disfagia pseudotumoral, Reporte de caso clínico, 3(1):64 Linfadenítis mediastinal, del adulto VIH negativo (con parénquima pulmonar normal) en área de alta prevalencia, presentación pseudotumoral, Reporte de 3 casos, 7(2):105 Tuberculosis como pseudo tumor del tracto genital 1(1-2):67 uso de, en el diagnóstico del carcinoma gástrico, 7(2):132 Virus en células, 6(2):153 tumores cerebrales, del niño: Progresos y esperanzas, 8(3):294 Clasificación histológica de los, y lesiones relacionados con el cuerpo uterino,	· · · · · · · · · · · · · · · · · · ·	
Disfagia pseudotumoral, Reporte de caso clínico, 3(1):64 Linfadenítis mediastinal, del adulto VIH negativo (con parénquima pulmonar normal) en área de alta prevalencia, presentación pseudotumoral, Reporte de 3 casos, 7(2):105 Tuberculosis como pseudo tumor del tracto genital uso de, en el diagnóstico del carcinoma gástrico, 7(2):132 Virus en células, 6(2):153 tumores cerebrales, del niño: Progresos y esperanzas, 8(3):294 Clasificación histológica de los, y lesiones relacionados con el cuerpo uterino,	•	•
clínico, 3(1):64 Linfadenítis mediastinal, del adulto VIH negativo (con parénquima pulmonar normal) en área de alta prevalencia, presentación pseudotumoral, Reporte de 3 casos, 7(2):105 Tuberculosis como pseudo tumor del tracto genital carcinoma gástrico, 7(2):132 Virus en células, 6(2):153 tumores cerebrales, del niño: Progresos y esperanzas, 8(3):294 Clasificación histológica de los, y lesiones relacionados con el cuerpo uterino,		
Linfadenítis mediastinal, del adulto VIH negativo (con parénquima pulmonar normal) en área de alta prevalencia, presentación pseudotumoral, Reporte de 3 casos, 7(2):105 Tuberculosis como pseudo tumor del tracto genital Virus en células, 6(2):153 tumores cerebrales, del niño: Progresos y esperanzas, 8(3):294 Clasificación histológica de los, y lesiones relacionados con el cuerpo uterino,		
negativo (con parénquima pulmonar normal) en área de alta prevalencia, presentación pseudotumoral, Reporte de 3 casos, 7(2):105 Tuberculosis como pseudo tumor del tracto genital tumores cerebrales, del niño: Progresos y esperanzas, 8(3):294 Clasificación histológica de los, y lesiones relacionados con el cuerpo uterino,	·	_ , .
normal) en área de alta prevalencia, presentación pseudotumoral, Reporte de 3 casos, 7(2):105 Tuberculosis como pseudo tumor del tracto genital cerebrales, del niño: Progresos y esperanzas, 8(3):294 Clasificación histológica de los, y lesiones relacionados con el cuerpo uterino,		, .
presentación pseudotumoral, Reporte del niño: Progresos y esperanzas, 8(3):294 Tuberculosis Clasificación histológica de los, y lesiones relacionados con el cuerpo uterino,		
de 3 casos, 7(2):105 Tuberculosis como pseudo tumor del tracto genital 8(3):294 Clasificación histológica de los, y lesiones relacionados con el cuerpo uterino,	•	
TuberculosisClasificación histológica de los, y lesionescomo pseudo tumor del tracto genitalrelacionados con el cuerpo uterino,	·	<u> </u>
como pseudo tumor del tracto genital relacionados con el cuerpo uterino,		• •
, ·		
Interior temening 3/11/72 7/11/33	inferior femenino, 3(1):72	7(1):33
extrapulmonar y cáncer cervical: Reporte craneofaciales,	, ,	· ·
de un caso y revisión de la literatura, Anatomía quirúrgica de los, 9(3-4):331		·
7(1):72 Correlación imagenológica y anátomo		• •
rectal. Reporte de un caso y revisión de quirúrgica de los, 10(1-2):76		
literatura, 9(1-2):157 benignos de la mama,	· · · · · · · · · · · · · · · · · · ·	• • •
tubular de ovario, Androblastoma, Reporte Apariencia morfológica, 6(1):30	, ·	-

U 8(4):461 **Urgencias** 10(3):147

ISSN 1390-0110

malignos de la glándula mamaria, urológico, Cáncer, Editorial, 10(3):131 6(1):38 urológicos, Los cánceres, 7(4):278 del sistema nervioso central, Uso de los marcadores tumorales en el Características macroscópicas, diagnóstico del carcinoma gástrico, microscópicas, diagnóstico 7(2):132 diferencial y métodos de uterina, Inversión, simulando patología inmunohistoquímica. tumoral cervical, Caso clínico, 7(1):75 Parte I, 10(1-2):7 Uterino. Parte II, 10(4):165 cérvico, de glándula Detección oportuna del cáncer, 5(2):29 suprarrenal, Histogénesis, 9(3-4):191 invasor, Complicaciones urológicas en tiroides, Tratamiento quirúrgico de los, cáncer, 7(1):55 1(1-2):46 cérvix, de la hipófisis: experiencia en el Hosp. L. cáncer de, Quimioterapia en el, Vernaza, 1977-1999, 9(3-4):235 Formas clínicas de presentación en, 6(4):299 Citología de, resultado de seis 8(1):41 primeros meses de Solca ambato, germinales malignos secretantes de Alfa-Fetoproteína en el niño, 8(3):354 1(1-2):43 cuello, Características clínicasmalignos sociodemográficas del cáncer de, del esófago, Tratamiento paliativo de 1993, Bahia, Brasil, 6(2):145 los, 9(1-2):169 cuerpo, Clasificación histológica de óseos en menores de 20 años, 2(1):45 tumores y lesiones relacionados con Manejo neurointensivo de los pacientes el, 7(1):33 con, 8(1):89 Utilidad de Galio-67 en Oncología, 2(1):61 retroperitoneales de origen mesenquimatoso, 9(1-2):51 V testiculares no seminomatosos, 1(1-2):39 vagina, Lesiones premalignas y tumores de Tratamiento quirúrgico, 6(1):46 vulva y, 7(1):27 malignos de vulva y vagina, Lesiones Valoración de la endoscopía digestiva en la premalignas y, 7(1):27 investigación de neoplasias de origen malignos de ovario, Ruptura de los, indeterminado, 8(3):392 Experiencia de la Sociedad Francesa Vater, ampolla de, Carcinoma mixto dúctulode Oncología Pediátrica, 8(3):357 insular de la, originado en páncreas ectópico, Reporte de un caso, 9(3-4):259 vena cava inferior, Neurofibrosarcoma uretra, La curieterapia en el cáncer de la, retroperitoneal con trombosis de la, Reporte de caso clínico, 2(1):75 venosos centrales permanentes, Cateteres, oncológicas quirúrgicas de origen uso en quimioterapia, complicaciones y abdominal en niños, 8(3):328 morbilidad, 6(2):127 quirúrgicas abdominales en pacientes ventilación mecánica en pacientes oncológicos, 2(1):17 oncológicos, Fr/Vt como predictor de urinaria, derivación, Alternativas de, en liberación de la, 9(1-2):145 mujeres posterior a cistectomía radical, ventilados vs no ventilados, Mortalidad en pacientes con cáncer en Cuidados urinarias, vías, La gammagrafía renal y de, Intensivos, 9(3-4):324 en la práctica médica: valor clínico y vejiga, Carcinoma de, Estudio retrospectivo aplicaciones, 10(3):151 1990-1999 en ION-Solca, Guayaquil, urológicas, Complicaciones, en cáncer 10(3):143 cérvico uterino invasor, 7(1):55 vesícula biliar, Carcinoma de la, Una

revisión de 15 pacientes, 4(1):55 vesicular en Chile, Cáncer, 3(1):75 vías urinarias. La gammagrafía renal y de, en la práctica médica: valor clínico y aplicaciones, 10(3):151

VIH

diagnóstico confirmatorio del, Evaluación del Liatek III en el, ION-SOLCA, 8(4):451

negativo. Linfadenitis tuberculosa mediastinal del adulto (con parénguima pulmonar normal) en área de alta prevalencia, presentación pseudotumoral, Reporte de 3 casos, 7(2):105

viral, hepatitis, Resumen del primer consenso nacional, abril 1999, 9(3-4):348 virilizante, tumor adrenal, Presentación de

un caso y revisión de la bibliografía, 5(2):61

Virus

en células tumorales, 6(2):153 humano y neoplasia cervical, Papiloma, 7(1):7

vulva

Enfermedad de Paget de la, Caso clínico, 7(1):68 v vagina, Lesiones premalignas y tumores malignos de, 7(1):27

vulvar.

carcinoma, Vulvectomía radical, Importancia de la lifadenectomía en el estadiale, pronóstico y tratamiento del 7(4):251

Enfermedad de Paget extramamaria, Aportación de un caso de localización, 1(1-2):20

Vulvectomía radical. Importancia de la linfadenectomía en el estadiaje, pronóstico v tratamiento del carcinoma vulvar. 7(4):251

W

Wilms, Incidencia del tumor de, ION-SOLCA, 8(3):334

Xeromamografía, Ecomamografía y, 6(1):14

Vol. 10 • N° 4, Oct.- Dic. 2000

Revista "ONCOLOGÍA" Índice de Autores (Volúmenes I al 10)

Abad J, 9(3-4):348 Abarca, C., 6(3):272 Acosta C., J, 8(3):368 Aguilar Salazar A, 4(1):33; 9(1-2):123 Andino Rodríguez F. 8(2):207 Andrés Noriega P, 9(1-2):39 Alarcón Andrade C, 8(2):183; 9(1-2):51, 65 Alarcón, C., 6(3):215; 7(2):117 Álava Villavicencio, E., 6(4):375; 7(1):19 Almeida C, F, 7(3):213 Almeida Fabiany R, 8(2):207 Almeida N, 1(1-2):43 Alvarado, I.J., 6(4):317; 7(2):105 Alvaro Galindo CH, 7(2):97 Alvarado R, 5(2):29 Alvarado Suárez, I., 6(3):245 Álvarez A, 4(1):49 Álvarez Molina, M., 6(2):127; 6(4):299 Álvarez O, M, 10(1-2):7 Álvarez Ortiz M, 10(4):165 Álvarez Plaza A, 3(1):58 Andrade M., D., 6(1):9, Andrade Yánez F, 1(1-2):50 Areces Delgado F, 9(1-2):90, 99 Arévalo CA, 7(2):93 Arias Martínez J, 8(1):123; 9(3-4):339; 10(4):263 Ariosa Arguelles JC, 9(1-2):135; 10(4):183 Arozarena Fundora R, 10(4):221 Arreaga CJ, 9(1-2):76 Arrebola Suárez, J.A., 6(2):121; 6(4):324; 7(4):235; 9(3-4):308 Astudillo de Sánchez M, 8(2):189 Astudillo Navarrete DR, 9(3-4):255 Aveiga R, F, 7(3):213 Ávila Gamboa D, 7(2):91 Azcue Bilbao M, 5(2):56; 9(3-4):331; 10(1-2):76

В

Balladares A., E, 8(2):258; 8(3):392 Balseca Sánchez V, 9(1-2):57 Banegas Ayala G, 7(4):269; 9(1-2):57 Baquerizo A., L., 6(2):153, 154, 155 Baquerizo de Sánchez, T., 1(1-2):71; 2(1):64; 3(1):62; 4(1):75; 5(1):45; 5(2):50; 6(1):84; 6(2):149; 6(4):373; 7(2):136

Barbery Gómez C, 1(1-2):25, 33; 2(1):29; 3(1):69 Barkin JS, 9(1-2):161 Barrat C, 7(4):274 Barredo Batalla R, 4(1):77; 8(1):137 Barroso Alvarez MC, 10(1-2):67 Benites Quintero E, 1(1-2):46 Benitez S, 8(4):436 Benito L, 2(1):7 Blum L, 9(3-4):339 Bonilla A, 9(3-4):304; 10(4):249 Bonilla E, 8(3):334, 337, 341, 344, 347, 351 Bonilla Nuñez A, 7(4):287; 10(1-2):82 Bordas JM, 8(3):380; 9(1-2):169; 9(3-4):380 Bosque Diego OJ, 9(3-4):308 Bravo D, 9(3-4):348 Briones C. K, 7(4):263; 8(4):436; 9(1-2):145; 9(3-4):324 Briones C., M, 8(4):436; 9(1-2):145; 9(3-4):324 Bruto del, OH, 8(1):41, 47, 166 Bustamante, M.F., 3(1):64; 6(2):165; 6(4):317; 7(4):263

C

Cabrera García R, 9(1-2):57 Cabrera L. E, 7(4):263; 8(4):436 Calderón Astudillo C, 2(1):49 Calderón M, 7(1):55 Calderón Marín C. 10(1-2):67 Calderón Von Buchwald, G, 1(1-2):7; 2(1):75; 3(1):69 Calderón V., R, 9(3-4):348 Calero Elizalde D, 8(2):207 Calle D, 4(1):19; 8(3):284, 354, 357, 360 Calipuy Abanto W, 9(3-4):289 Camacho Alvarez, F., 6(1):7; 6(3):280; 8(1):159; 8(2):248; 9(3-4):225, 235, 269 Campos Díaz M, 10(1-2):33 Campos X, 8(1):41 Campoverde G., N, 8(2):195 Camputaro LA, 8(1):99 Caicedo Sotomayor, J., 5(2):61; 6(4):328; 8(4):470; 9(3-4):189, 209, 225, 235, 269 Caputi O, R, 7(3):157, 167, 183, 213, 219; 8(1):107; 8(4):451; 10(1-2):99 Cárdenas BA, 8(1)7, 145, 151, 159 Cárdenas NM, 8(1):151, 170



Cárdenas Valdés, R., 1(1-2):54; 3(1):82; 4(1):7, 23; 6(1):61; 6(2):133, 169; 6(4):328, 345; 7(3):189; 8(1):67; 8(2):215; 8(4):470; 9(1-2):39, 117; 9(3-4):209, 245, 269; 10(1-2):23; 10(3):151 Carrillo L, 9(3-4):348 Carpio Villacís M, 9(3-4):255 Carvajal A, 9(3-4):304 Carvajal Andrade, J., 6(3):205; 8(3):334, 337, 341 Casamayor Lonchán A, 9(1-2):135 Cassola Santana, J.R., 6(4):324; 8(4):420; 9(1-2):90; 9(3-4):203, 219 Castaigne D, 5(2):5 Castillo A, 1(1-2):75 Castillo P, 8(1):47 Catheline JM, 7(2):111 Castro Vita H, 9(3-4):297 Ceballos Escala, F., 1(1-2):75; 3(1):7; 6(1):56, 59, 101; 6(4):345; 7(4):280; 8(1):29, 75; 8(2):215, 248; 8(3):337, 344, 351; 8(4):407; 10(4):239 Cedeño Vera M, 9(3-4):275 Celi JC, 9(3-4):355; 10(4):223, 233 Cervantes Polo F, 7(1):79 Cervantez M, 10(4):177 Cevallos Mosquera, G., 6(4):328; 9(3-4):245; 10(1-2):23 Champault G, 7(2):111; (4):274 Chang Cruz F, 7(1):7, 39, 43, 59, 68, 75 Checa R., F., 3(1):15; 5(2):51; 6(2):127; 9(3-4):348 Chehab Gómez, J., 6(2):177 Cherrez B, P, 1(1-2):46 Choy Argil JA, 1(1-2):54 Cirera I, 8(3):374; 8(4):480	Cuevas Pérez I, 7(2):97; 9(1-2):119; 10(1-2):49, 76; 10(4):193, 221 Cuevas Véliz I, 9(3-4):313, 331; 10(1-2):45, 49, 61, 76 Cynthia C, 2(1):13 D Dalmau J, 8(1):51, 63 de la Torre Terranova O, 8(1):81; 10(4):177 del Bruto OH, 8(1):41, 47, 166 de Freire NV, 8(2):227 Delgado Camba., X., 1(1-2):10; 2(1):61; 5(1):15; 6(1):26 Delgado Ramos C, 9(3-4):209 Desjardins L, 8(3):278 Díaz Benalcazar, R., 6(4):299 Díaz Díaz I, 7(4):235 Díaz J, 8(4):433 Díaz Martínez JR, 5(2):56; 7(2):97, 101; 7(4):243, 247; 9(1-2):103, 107, 119, 135, 151; 9(3-4):313, 331, 360, 370; 10(1-2):45, 49, 61, 76; 10(4):193, 221 Díaz Plasencia J, 8(2):201; 9(1-2):28, 138; 9(3-4):289 Díaz Salas C, 10(1-2):67 Donoso M, 8(3):392 Doz F, 8(3):278, 294, 354, 357 Duque Andrade O, 1(1-2):50 Durán Sarduy, R., 1(1-2):54; 3(1):82; 4(1):7, 23; 6(2):133; 6(4):328, 345; 7(3):189; 8(1):67; 8(2):215; 8(4):470; 9(1-2):39; 9(3-4):245; 10(1-2):23; 10(3):151 Duvillard P, 5(2):5
Cobeñas K, 2(1):33	Duvinaru F, 5(2).5
Collado J, 8(4):420 Colombini A, 8(3):309	E
Conter V, 8(3):309	Echeverria Muñoz E, 9(1-2):123
Contreras P., JE, 3(1):75	Eguez A, 1(1-2):75
Contreras Rojas M, 8(1):29; 9(1-2):72; 9(3-4):355;	Eguiguren León J, 8(3):368
10(4):187 Contreras Villovicencie S. 4(4.2):20, 5(4) p.s.	Elías D, 3(1):13
Contreras Villavicencio, S., 1(1-2):39; 5(1):39; 6(1):54, 66; 8(3):337, 347, 351; 10(1-2):23	Encalada Orellana, J., 2(1):29; 3(1):7; 6(1):12, 54,
Cordero Jaramillo L, 5(2):41	75, 101; 8(3):337, 344, 347, 351; 9(1-2):39
Coronel E, 9(3-4):348	Encalada Orellana, S., 1(1-2):25, 33, 75; 6(2):149; 8(2):183
Coronel Intriago, M., 6(3):205, 215: 7(2):117	Espejo Cárdenas MT, 9(1-2):72, 76; 10(4):187, 223
Coronel Jiménez J, 2(1):33; 3(1):39; 4(1):61	Espinel J, 8(4):443
Cruz González P, 9(3-4):313, 331; 10(1-2):45,	Espín L, 8(3):334, 337, 341, 344, 347, 351;
49, 61	9(3-4):304; 10(1-2):82; 10(4):249
Cruz Mojarrieta J, 7(2):97; 9(3-4):370	Espinoza A, 10(4):233
Cruz-Yupanqui , 9(1-2):28	Espinoza, J.A., 6(4):317
Cueto García J, 9(1-2):173	Expósito Rodríguez GCC, 10(1-2):67
	, , , , , , , , , , , , , , , , , , ,



3(1):64; 5(2):56; 7(2):97, 101; 7(4):243, 247; Falquez, R., 6(1):101; 10(4):233 8(4):433; 9(1-2):90, 103, 107; 9(3-4):360, 370 Farmer RG, 8(3):372, 386 Gubitz Scheibe M, 1(1-2):7; 2(1):75; 3(1):69; Feijoó E, 1(1-2):43 7(1):55; 8(3):334; 10(3):133, 137, 143, 147, 151 Ferbeyre Binelfa L, 9(3-4):313, 331; 10(1-2):49, Guerchicoff Svarch E, 8(3):300; 10(1-2):33 61, 76 Guerra J, 8(4):420 Fernández Chiriguaya, D., 6(3):277; 6(4):375 Guerra MC, 9(3-4):380 Fernández F, 2(1):7 Guerra Mesa JL, 9(1-2):90; 9(3-4):203, 219; Ferraris M, 9(3-4):297 10(4):253 Ferretti Robles, C., 5(2):61; 6(4):328; 9(3-4):209, Guerra Yi M, 10(1-2):67 225, 235, 269 Guerrón, M., 6(4):305 Finán MA, 7(4):276; 8(2):233 Gutiérrez Calderín, J., 6(2):121; 6(4):324 Fleites González, 8(4):420; 9(1-2):99 Foghini Fiumi FA, 10(1-2):90 H Franco Odio, S., 6(2):121 Haie-Meder C, 5(2):5 Freire Torres., A.X., 2(1):13; 3(1):64; 5(1):5; Haro Salvatierra, E., 4(1):7, 23; 6(2):133; 6(4):345; 5(2):48; 6(2):165, 169; 6(4):317; 7(2):105; 10(3):151 8(2):227; 10(1-2):81 Hidalgo J, 8(3):334, 341 Freire N de, 2(1):13; 7(2):105; 8(2):227 Hernández García JJ, 9(3-4):313; 10(1-2):61 Freire, N.V., 5(1):5; 6(2):165; 6(4):317 Fruggone Morla L, 9(3-4):348 Ibarra Ortiz, V., 6(4):328; 9(3-4):245; 10(1-2):23 G Iruroretagoyena Batista D, 7(4):235 Galán Álvarez Y, 9(3-4):374 Gallesio A, 8(4):426 Gamarra Cabezas E, 9(3-4):275 Jankovic M, 8(3):309 Game R, 2(1):33 Jerves Andrade M, 5(2):29; 5(2):45 Garcés Santos, J.C., 1(1-2):10; 3(1):69, 72; 5(1):9; Jijón Orcés J, 5(2):61 6(1):37, 101; 6(3):221 Jijón P, 2(1):45 García Barandearán G, 9(3-4):209 Jiménez Galainena JJ, 5(2):56; 9(1-2):103, 107; García Cruz C, 7(4):263; 8(1):89; 8(4):426, 436; 9(3-4):360 9(1-2):145; 9(3-4):324 Jiménez Mesa G, 8(2):252 Gavilánez, P., 5(2):51; 6(2):127 Jiménez S, 10(1-2):82; 10(4):249 Gerbaulet, A., 5(2):5; 6(2):157, 158; 7(2):134; Juárez Poma J, 9(3-4):255 8(2):235; (4):461 Jurado Bambino, A., 1(1-2):20; 2(1):17, 68; Giler C, S, 1(1-2):73 3(1):64; 4/1):39, 77; 5(2):23; 6(2):149; Ginés A, 8(3):380; 9(3-4):380 6(3):245; 6(4):375; 7(1):68, 79; 7(2):143; Giogrande JC, 9(3-4):318 7(4):251 Girinsky F, D, 3(1):47 Jurado Barahona K, 4(1):19; 7(1):77; (2):143 Gómezcoello Moya G, 10(4):245 Jurado B., L., 6(2):149 Gómez A., C., 6(1):6, Jurado B., R.L., 6(4):379 Gómez NA, 4(1):55; 7(2):93 Jurado RL, 7(3):159, 171 González C, 1(1-2):43 González García, E., 6(4):324 González L, 8(4):426 Lanzós E, 2(1):7 González N, 8(4):433 Lara M, 7(2):123 González Otero A, 8(3):300; 10(1-2):33 Lara Valverde M, 7(4):280, 287; 9(3-4):269; Gordillo M., V., 6(1):101; 6(3):233; 7(4):292; 10(1-2):99; 10(4):239 8(1):23; 8(2):211, 215 Lartigau E, 5(2):5 Grande M, 9(3-4):348 Lasser Ph, 3(1):13 Guarnaluse Brooks R, 1(1-2):75; 2(1):68, 75; Layana, DW, 6(3):259, 280; 8(1):137

Moncayo Cervantes, J., 2(1):33; 3(1):39; 4(1):61; Lazcano Andrade C, 4(1):33; 9(1-2):123 6(1):76: 9(3-4):348 Leblanc T, 8(3):360 Moncayo Guillén M, 3(1):31; 5(2):33 Lefort, M., 6(4):305; 8(4):470 Mondelo F, 9(3-4):380 León Cj. 4(1):55 Monserrate JO, 4(1):55 León E, 5(2):51 Montenegro Saldaña L, 8(2):201 Leone Stay G, 4(1):77 Leone Pignataro., M., 6(2):149; 6(3):215; 7(1):15; Morales M., D., 6(1):14 Morán, B., 6(2):177 7(2):117; 8(2):183; 9(1-2):6, 39, 51, 65; Moreno de Miguel LF, 9(3-4):374 9(3-4):209, 269 Moya Paredes P, 7(4):295; 8(2):248;, 9(1-2):123, Leone S., A, 9(3-4):209, 235 Leone Stay, G., 6(1):30; 7(2):123 153, 259; 9(3-4):263 Muñoz M, 2(1):7 L'Homme C, 5(2):5 Lino Gutiérrez, N., 2(1):49; 6(4):313; 8(1):117 Ν Llach J, 8(3):380; 9(3-4):380 Naranio KV, 8(2):227 Lomparte Iwanaga C, 9(1-2):138 Navarrete Guerrón F, 4(1):39 López A, 9(3-4):348 López J. 3(1):27 Navarro Vera R, 7(1):5, 66, 75 Navasa M, 8(3):374; 8(4):480 López Villalta J, 10(4):209 Nevarez, L., 6(3):280; 8(3):337, 341, 344, 347, 351 Luque Robles G, 3(1):31 Nieto Orellana I., 6(3):272; 7(4):292; 8(1):241; Lusinch A, 5(2):5 8(2):258; 8(3):392; 8(4):467; 9(1-2):157; М 9(3-4):348, 364; 10(1-2):41, 55, 73; 10(4):213 Macchiavello T, 1(1-2):67; 4(1):7, 73; 7(2):132; 0 7(3):213: 8(4):451 Machin García S, 10(1-2):33 Oleas Chávez R, 1(1-2):39; 2(1):52 Ordoñez Valarezo, L., 6(2):177 Mañas A, 2(1):7 Marengo Baguerizo, C., 2(1):17, 52; 3(1):56, 58, 73; Ortega Cabrera L., 9(3-4):255 Ortega Díaz I, 9(3-4):308 4(1):19, 49, 39; 6(1):66; 6(3):237, 280; 6(4):313 Marriott D., E, 9(3-4):348 Ortega JA, 8(3):273 Marsiglia H, 2(1):66; 3(1):47; 5(2):5 Ortega Moreira E, 1(1-2):64 Ortiz Acosta P. 10(3):143 Martinez Carrión G, 9(3-4):225, 235 Martinez JR, 10(4):183 Ortiz R, A, 2(1):33 Martinez N, 4(1):33 Martinez Neira D, 9(3-4):225, 235 Pacheco Ojeda, L., 6(4):305 Martinez Rosero N, 1(1-2):43; 9(1-2):123 Masera G, 8(3):309 Pacquement H, 8(3):354, 357 Padilla Bartra F, 8(2):201 Masselot J. 5(2):5 Mateus Chérrez X, 10(3):133, 137, 143, 147 Padrón Soriano E. 9(3-4):203 Paez Z, H, 3(1):15; 5(2):51; 9(3-4):348 Mejía Murillo L, 9(3-4):308, 374 Mena Blacio IX, 4(1):77; 6(4):313; 7(2):123; Paez Zaldumbide., H., 6(2):127; 6(4):299 Paladines Paladines E, 1(1-2):16; 3(1):23; 6(3):227, 7(3):199; 8(1):5, 7, 29, 75, 137, 145, 151, 159 Méndez Ortega, A., 6(1):48 272, 275; 7(4):269, 292; 8(2):258; 8(3):392; 9(1-2):157; 9(3-4):348, 364; 10(1-2):41, 55, 73; Mendoza Jaime F, 6(3):231, 272; 7(4):292; 8(2):258; 8(3):392; 8(4):467; 9(1-2):157; 10(4):213 9(3-4):348, 364; 10(1-2):41, 55, 73; 10(4):213 Palaoro LA, 9(3-4):318 Merchán J, 2(1):13 Panchana Eguez, G.A., 3(1):56, 58; 4(1):19, 49, 77; Merino Espinoza M, 7(2):137 6(1):21, 97; 6(2):165, 177; 7(2):111; 7(4):274 Michel G, 5(2):5 Parrales García J, 3(1):31; 4(1):82; 5(2):33 Michon J, 8(3):284, 354, 357 Parra Rambay, M., 6(2):149; 6(4):375; 7(1):5, 47, Miranda P, 2(1):7 66, 75; 7(3):177; 7(4):295; 8(3):328; 9(1-2):57

69; 6(1):88; 6(3):255; 7(4):287; 8(3):271, 334, 337, 341, 344, 347, 351; 8(4):407; 9(3-4):304, 348; 10(1-2):82; 10(4):249 Péndola Gómez L, 3(1):13, 47, 56, 58; 4(1):19, 49; 6(1):71; 7(1):51; 9(1-2):6, 39, 81 Peña JD, 9(3-4):348 Peralta González, R., 6(4):324 Peralta Pérez, R., 6(2):121; 9(3-4):203 Peralta R, 8(4):420 Pérez Báez VT, 10(4):221 Pérez Braojo I, 9(3-4):374 Pérez Dávalos MC, 8(3):368 Pérez JC, 6(1):38; 8(4):467; 10(1-2):7 Pérez Merizalde JC, 7(1):33; 7(4):280, 295; 9(1-2):9,153; 9(3-4):191, 259, 263, 364; 10(1-2):85; 10(4):165 Pérez Morgan R, 8(3):368 Pérez V, 8(3):392 Peyrot D, 9(3-4):297 Pilamunga M, 1(1-2):67 Pino Espinoza JW, 1(1-2):50 Pinos MW, 8(1):170 Pinzón Bravo L. 2(1):49 Plaza B., F., 6(1):93 Plaza Cepeda, J., 1(1-2):75; 2(1):17, 52; 3(1):56, 58; 4(1):19, 39; 5(2):23; 6(1):46, 101; 6(4):345; 7(1):47; 8(2):215; 8(4):464; 9(1-2):81 Plaza J, 8(1):129 Plaza M. M. 9(3-4):324 Plaza Rubio J, 10(4):177 Posligua, K, 8(3):347 Pozo Palacios M, 1(1-2):7; 2(1):75; 3(1):69; 10(3):131, 133, 137, 143, 147, 151 Q Quijano-Pitman F, 7(4):273 Quingalahua Flores A, 8(1):241; 8(3):392; 8(4):467; 9(1-2):157; 9(3-4):364; 10(1-2):41, 55, 73 Quintana E, 8(3):278, 284, 354, 357 Quintero Cayola S, 9(1-2):99 Quiñonez E, 4(1):73 Quiróz de Sánchez I, 8(2):195 R Ramírez J, 9(3-4):304 Ramírez Massuh R, 7(1):11 Ramos A, 2(1):7 Ramos de Delgado G, 1(1-2):25; 9(1-2):86; 10(4):223 Ramos Tavares, M.E., 2(1):39; 6(2):145 Rendon Jonioux M, 10(3):133; 10(3):137, 143, 147

Reyes G, 10(1-2):73 Rhor A, 1(1-2):25; 3(1):7 Richardet E, 9(3-4):297 Rivadeneira S., N., 3(1):72; 4(1):19; 6(1):51 Rizo R, 9(3-4):370 Rizzaru C, 8(3):309 Rizzo P, 9(3-4):348 Robles Jara C, 4(1):33; 5(2):33 Robles Jara C, 3(1):31; 4(1):82 Rocher A, 9(3-4):318 Rodas Espinoza P, 9(1-2):138 Rodas P, 8(1):241 Rodriguez Espejo G, 9(3-4):289 Rodriguez M, 8(1):117 Rodriguez Mora DO, 1(1-2):46 Rodriguez Saldaña C, 7(2):101; 7(4):247; 9(1-2):119; 10(1-2):45 Rodríguez Ycaza DO, 1(1-2):46 Romero C. A, 7(4):292 Romero L., A, 8(2):248 Romo C, 3(1):27 Rojas J, 8(4):476 Rojas JE, 7(2):93 Rojas Martinez F, 9(3-4):289 Roldós Garcés A, 2(1):58 Romo C, 9(3-4):348 Rosenfeld M, 8(1):55 Rougier P. 3(1):47 Roustila N, 8(3):354, 357 Ruíz J, 8(4):451 Ruíz MJ, 2(1):7

S

Salazar B, 7(4):284 Salazar F, 8(4):436 Salazar Herrera, B., 6(4):345; 8(2):211, 215 Salazar R. F, 7(2):105; 7(4):263 Salazar Rodríguez S, 9(1-2):90, 103, 107; 9(3-4):360 Salvador Valencia-Reyes M, 9(1-2):173 Samper P, 2(1):7 Sánchez Ferrer L, 9(3-4):289 Sánchez H, 3(1):27 Sánchez Hilbrón A, 7(1):59; 7(4):263; 8(1):89; 8(4):436; 9(1-2):145; 9(3-4):324 Sánchez J, 8(1):166 Sánchez Sabando, J., 1(1-2):20, 75; 2(1):17, 52, 68; 3(1):56, 58, 94; 4(1):19, 39, 77; 5(1):19; 5(2):3, 23; 6(1):3, 44, 90, 94, 100; 6(2):149, 169; 6(3):245, 277; 6(4):345, 375; 7(1):3, 47, 63, 66, 68, 72, 77, 79; 7(2): 128, 143; 7(3):177;

Miranda Vargas F, 9(3-4):209

318 · Oncología

Paulson Vernaza, G., 1(1-2):25, 33; 2(1):29; 3(1):7,

7(4):251, 295; 8(2):183, 215; 8(3):328; 8(4):405, 464; 9(1-2):39, 51, 57, 117; 9(3-4):287; 10(1-2):5, 95; 10(4):245 Sánchez Soria D, 9(1-2):72; 9(3-4):245; 10(4): 187, 233 Sánchez Varela I, 9(3-4):374 Santana Garay JC, 9(3-4):360; 10(1-2):45; 10(4):183 San Román J. 8(4):426 Sarasti Sánchez D, 9(1-2):72, 76; 10(4):187, 223 Sarrazin Dávila L. 4(1):71 Sierra A, 2(1):7 Silveira Pablo M, 9(3-4):308 Smart C, 6(2):115; 8(4):407 Smart RS, 5(1):3 Sola MC, 8(3):319 Solis Barahona I, 7(1):63, 72 Solórzano JL, 7(1):27 Solórzano Morales H, 10(4):245 Solorzano S. J., 6(1):24 Soriano García, J.L., 6(2):121 Suárez JJ, 9(3-4):348 Suárez Villacrés, K.E., 4(1):87; 5(1):29; 6(1):79; 9(1-2):76; 9(3-4):269 Suquilanda D, 8(1):170

T

Tamayo Escobar L, 4(1):33; 9(1-2):123
Tanca Campozano, J., 1(1-2):16; 3(1):23, 64; 6(3):203, 272, 280; 7(4):259, 280, 292; 8(2):258; 8(3):392; 8(4):415, 467; 9(1-2):157; 9(3-4):348, 364; 10(1-2):41, 55, 73; 10(4):213
Tantaleán Ramella E, 8(2):201
Torre, de Ia, M., 6(4):305
Torre, de Ia, Terranova O, 2(1):49; 8(1):81
Torres, L., 6(3):275

U

Ulloa J, 5(2):29

٧

Valencia Moreira J, 10(4):245 Valencia V., E., 3(1):15; 5(2):51; 6(2):127 Vallejo Martínez M, 7(4):259, 280, 287; 8(1):7;

8(2):248; 8(4):415; 10(4):177 Varas Torres JM, 9(3-4):225, 235 Vargas González S, 10(4):209 Vargas M, 7(2):123 Vásconez, JV, 6(4):313; 7(2):123; 8(1):7, 75, 145, 151, 159 Vásquez-Frias, JA, 9(1-2):173 Vásquez M. 3(1):27 Vega Espinoza W, 8(2):207 Vela Barragán, E, 2(1):33; 3(1):39; 4(1):61 Vélez G. 9(3-4):297 Veloz Guzmán., M., 6(1):16,19; 6(3):233, 280 Veloz M, 8(1):123 Vera J., V. 9(3-4):324 Verdesoto Gaibor T, 9(1-2):157; 9(3-4):364; 10(1-2):55; 10(4):213 Vergara Domínguez B, 10(1-2):33 Ver Intriago J, 4(1):82 Vilela Guillén E, 9(1-2):138 Villacís BA, 8(4):443; 9(3-4):341; 10(1-2):95 Villacís BE, 8(4):443 Villacís M, 7(1):55 Villanueva Pomacóndor I, 8(2):201 Villegas Ramos LA, 7(2):97 Vinueza García €, 8(1):23; 8(2):215; 9(3-4):341; 9(3-4):339, 364; 10(4):263 Viteri F. 1(1-2):43

W

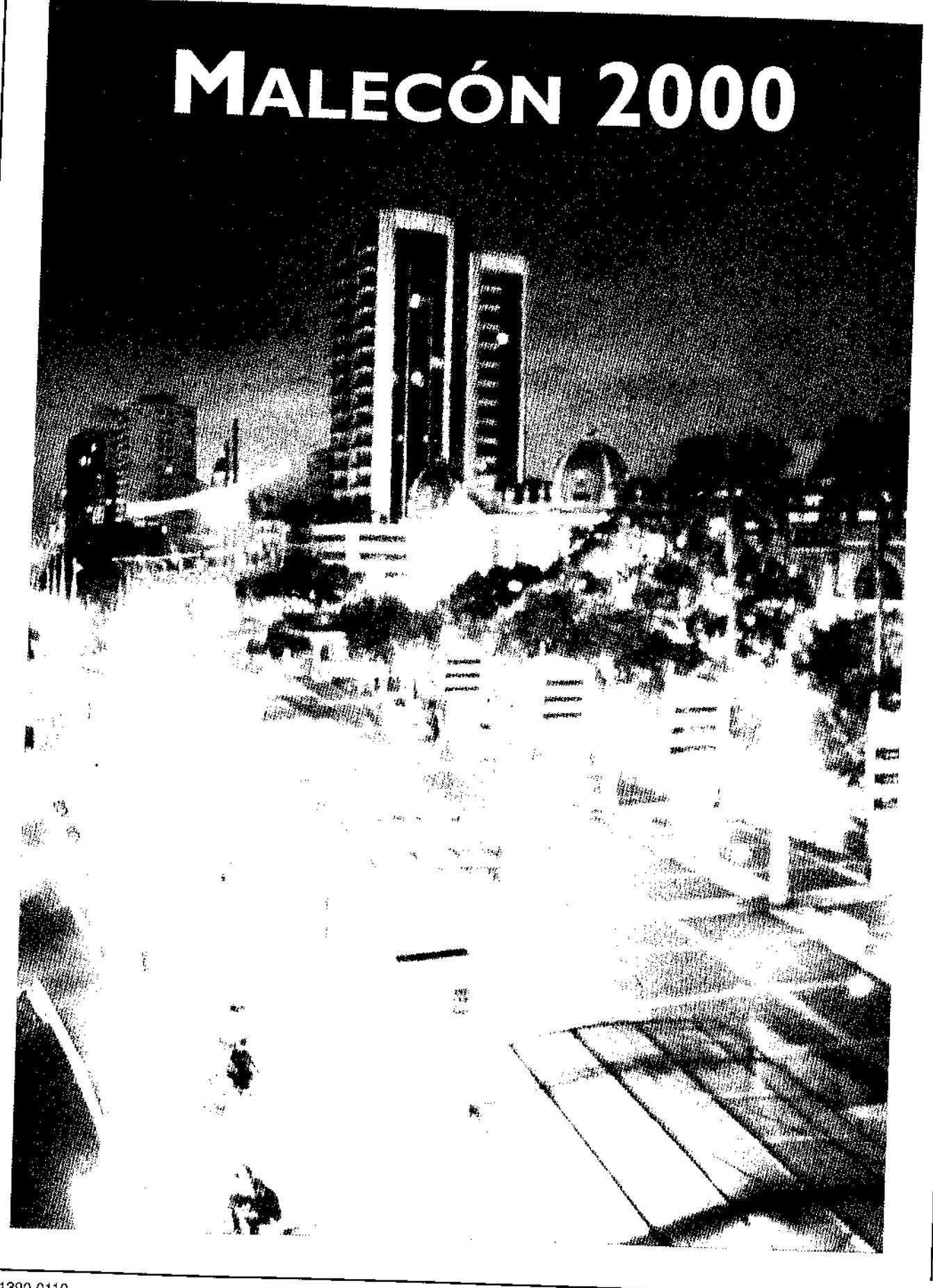
Wesner S, 9(3-4):304 Weber Sánchez A, 9(1-2):173 Wiessner S, 2(1):45

Υ

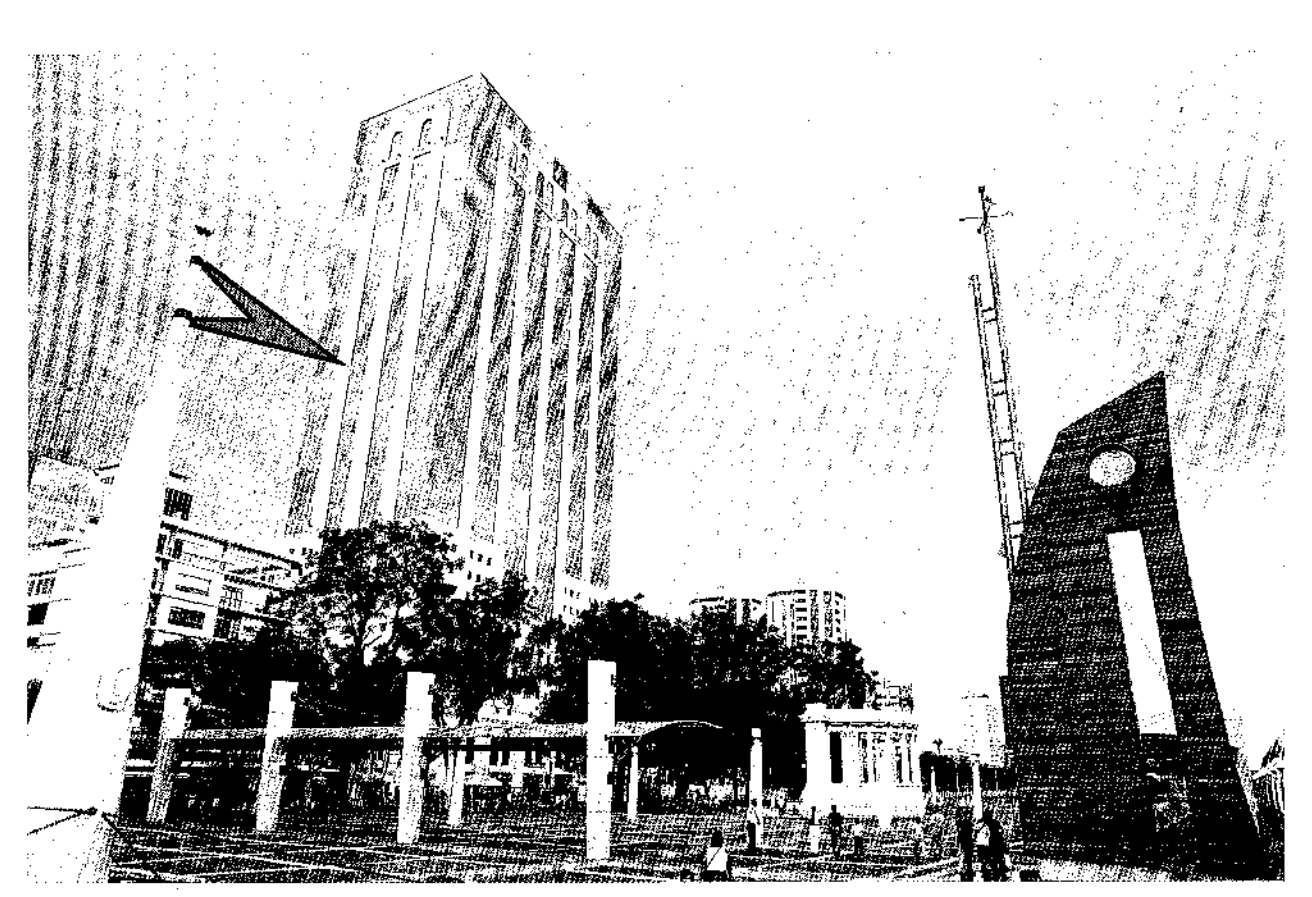
Yagual Vizueta G, 8(1):23; 8(2):211, 215; 9(1-2):39; 10(1-2):23 Yee Guim J, 7(1):19; 7(4):284; 8(1):123; 8(2):244

Ζ

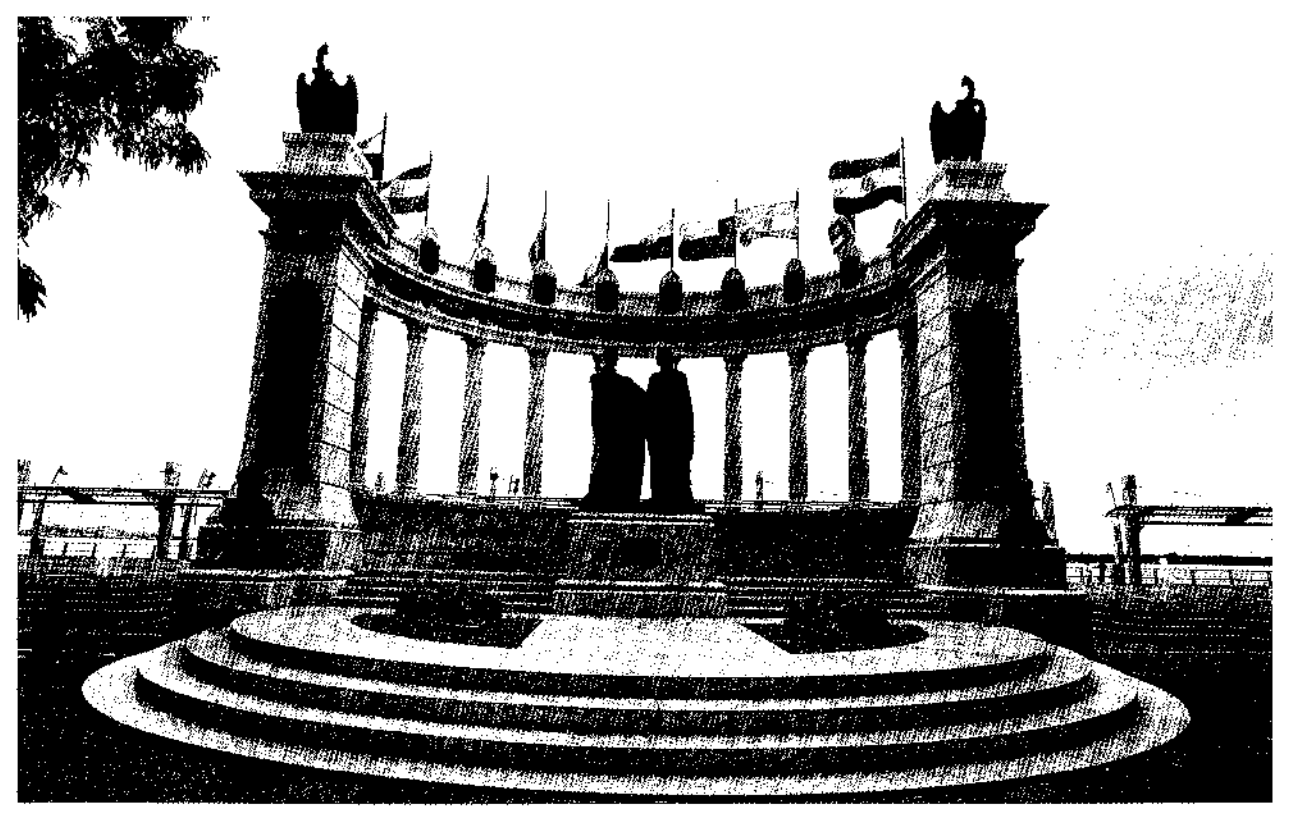
Zaldua Vélez J, 9(1-2):9, 51, 9(3-4):191, 364 Zambrano Tola, E., 6(2):181; 6(4):390; 7(2):137 Zavala Calahorrano A, 8(3):368 Zúñiga Germán, F., 6(3):205 Zucker JM, 8(3):354, 357







Malecón 2000



La Rotonda

